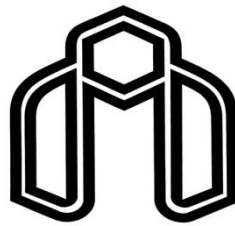


بِنَامِ خَدَا



دانشگاه صنعتی شهرورد

دانشکده شیمی

رساله دکتری شیمی تجزیه

طراحی و به کار گیری الکترودهای اصلاح شده شیمیایی برای اندازه گیری ولتاوی

برخی از ترکیبات دارویی

نگارنده: عطیه احمدی رسکتی

اساتید راهنمای:

دکتر منصور عرب چم جنگلی

دکتر ناصر گودرزی

استاد مشاور:

دکتر قدملی باقریان دهقی

خرداد ۱۳۹۶

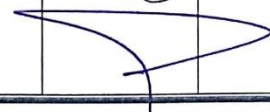
پیوست شماره ۲

دانشکده : شیمی

گروه : تجزیه

رساله دکتری خانم عطیه احمدی رسکتی

تحت عنوان: طراحی و به کار گیری الکترودهای اصلاح شده شیمیایی برای اندازه گیری ولتاژی برخی از ترکیبات دارویی
در تاریخ ۱۳۹۶/۰۳/۰۱ توسط کمیته تخصصی زیر جهت اخذ مدرک دکتری ارزیابی گردید و با درجه **سبیل حرفب** مورد پذیرش قرار گرفت.

امضاء	اساتید مشاور	امضاء	اساتید راهنما
	نام و نام خانوادگی: دکتر قدمعلی باقریان دهقی		نام و نام خانوادگی: دکتر منصور عرب چم جنگلی
			نام و نام خانوادگی: دکتر ناصر گودرزی

امضاء	نماینده تحصیلات تکمیلی	امضاء	اساتید داور
	نام و نام خانوادگی: دکتر مهدی میرزایی		نام و نام خانوادگی: دکتر فاطمه مصدرالامور
			نام و نام خانوادگی: دکتر علیرضا اشرفی
			نام و نام خانوادگی: دکتر سید حسن زوار موسوی

تَقْدِيمَهُ

مَدْرَوْمَادِ عَزِيزٍ

با سپاس صمیمانه خدمت استاد بزرگوار، جناب آقای دکتر منصور عرب چم جنگلی، که زحمت راهنمایی این رساله را بر عهده داشتند و همواره از راهنمایی‌ها و نظرات ارزشمند ایشان بهره‌مند گشته‌ام.

با تشکر از استاد گرانقدر، جناب آقای دکتر ناصر گودرزی، که از راهنمایی‌های ارزشمندشان طی انجام این رساله بهره گرفتم.

با قدردانی از استاد محترم، جناب آقای دکتر قدملی باقیان دهقی، که مشاوره این رساله را پذیرفتند و در مسیر پیشبرد آن بی‌دریغ مساعدت نمودند.

با سپاس فراوان و قدردانی از سرکار خانم دکتر فاطمه مصدرالامور و جناب آفایان دکتر علیرضا اصغری و دکتر سید حسن زوار موسوی (اعضای محترم هیات علمی دانشگاه سمنان)، که زحمت مطالعه رساله اینجانب را با سعه صدر پذیرفته و با ارائه پیشنهادات و نظرات ارزشمند جهت بهبود آن یاری رساندند.

با تشکر از جناب آقای دکتر مهدی میرزایی که در سمت نماینده تحصیلات تکمیلی زحمت مدیریت جلسه دفاع از رساله اینجانب را بر عهده داشتند.

با سپاس فراوان از خانواده عزیز و مهربانم که همیشه مدیون لطف ایشان هستم.

صمیمانه‌ترین و خالصانه‌ترین مراتب سپاسگزاری خود را حضور دو گوهر ارزشمند زندگیم، پدر و مادر عزیزم، اعلام می‌دارم که لطف و حمایت بی‌دریغشان همواره حامی و مشوق من در پیمودن این مسیر بوده است. با تشکر فراوان از خواهر نازنین و برادرهای عزیزم که همیشه یاور و پشتیبان من بوده‌اند.

همچنین، از تمامی دوستان عزیزم در آزمایشگاه‌های تجزیه و سایر آزمایشگاه‌های تحقیقاتی شیمی، کلیه اساتید محترم و کارمندان زحمتکش دانشکده شیمی کمال تشکر را دارم.

تعهد نامه

اینجانب عطیه احمدی رسکتی دانشجوی دوره دکتری رشته شیمی تجزیه دانشکده شیمی دانشگاه صنعتی شاهروド نویسنده رساله طراحی و به کارگیری الکترودهای اصلاح شده شیمیایی برای اندازه‌گیری ولتاوری برخی از ترکیبات دارویی تحت راهنمایی دکتر منصور عرب چم جنگلی و دکتر ناصر گودرزی و مشاوره دکتر قدمعلی باقریان متعهد می‌شوم :

- تحقیقات در این پایان نامه توسط اینجانب انجام شده است و از صحت و اصالت برخوردار است .
- در استفاده از نتایج پژوهش‌های محققان دیگر به مرجع مورد استفاده استناد شده است .
- مطالب مندرج در پایان نامه تاکنون توسط خود یا فرد دیگری برای دریافت هیچ نوع مدرک یا امتیازی در هیچ جا ارائه نشده است .
- کلیه حقوق معنوی این اثر متعلق به دانشگاه صنعتی شاهروド می‌باشد و مقالات مستخرج با نام « دانشگاه صنعتی شاهرود » و یا « Shahrood University of Technology » به چاپ خواهد رسید.
- حقوق معنوی تمام افرادی که در به دست آمدن نتایج اصلی پایان نامه تأثیرگذار بوده اند در مقالات مستخرج از پایان نامه رعایت می‌گردد.
- در کلیه مراحل انجام این پایان نامه ، در مواردی که از موجود زنده (یا بافت‌های آنها) استفاده شده است ضوابط و اصول اخلاقی رعایت شده است .
- در کلیه مراحل انجام این پایان نامه، در مواردی که به حوزه اطلاعات شخصی افراد دسترسی یافته یا استفاده شده است اصل رازداری ، ضوابط و اصول اخلاق انسانی رعایت شده است .

امضای دانشجو

تاریخ

مالکیت نتایج و حق نشر

- کلیه حقوق معنوی این اثر و محصولات آن (مقالات مستخرج ، کتاب ، برنامه‌های رایانه‌ای ، نرم افزار‌ها و تجهیزات ساخته شده است) متعلق به دانشگاه صنعتی شاهرود می‌باشد . این مطلب باید به نحو مقتضی در تولیدات علمی مربوطه ذکر شود .
- استفاده از اطلاعات و نتایج موجود در پایان نامه بدون ذکر مرجع مجاز نمی‌باشد.

چکیده

به کارگیری برخی از نانو مواد، مانند: نانو لوله‌های کربنی چند دیواره و نانو ذرات طلا، واسطه‌گرهای الکتروشیمیایی، نظریه متیل تیوراسیل و پلی آلیزارین قرمز S در اصلاح سطح الکترودهای کربن شیشه‌ای و خمیر کربن بهمنظور تهیه حسگرهای الکتروشیمیایی برای اندازه‌گیری ترکیبات دارویی مانند وراپامیل، جم فیروزیل و دوپامین بررسی شد.

در این راستا، الکترود کربن شیشه‌ای با استفاده از نانو لوله‌های کربنی چند دیواره اصلاح و اکسایش الکتروشیمیایی و اندازه‌گیری وراپامیل در سطح این الکترود اصلاح شده مطالعه گردید. نتایج نشان داد که اکسایش این ترکیب در سطح الکترود اصلاح نشده یک دماغه اکسایشی ضعیف نشان می‌دهند، در حالیکه در سطح الکترود اصلاح شده دماغه آندی تیزی باشد جریان قابل ملاحظه مشاهده می‌شود. گستره خطی غلظتی روش در اندازه‌گیری وراپامیل با استفاده از ولتاوتمتری چرخه‌ای و پالس تفاضلی $1\text{ L}^{-1} \mu\text{mol}$ $70,000 - 2/50,000$ بدست آمد. حد تشخیص وراپامیل از طریق ولتاوتمتری چرخه‌ای و پالس تفاضلی به ترتیب $1\text{ L}^{-1} \mu\text{mol}$ 200 و $1\text{ L}^{-1} \mu\text{mol}$ 160 به دست آمد. الکترود اصلاح شده به عنوان حسگر الکتروشیمیایی برای اندازه‌گیری ولتاوتمتری وراپامیل در نمونه‌های دارویی و نمونه‌های بیولوژیکی (مانند سرم خون) به کار گرفته شد.

الکترود خمیر کربن با متیل تیوراسیل اصلاح شد و در اندازه‌گیری دوپامین به روش ولتاوتمتری مورد استفاده قرار گرفت. حسگر الکتروشیمیایی تهیه شده به دلیل حضور اصلاحگر حاوی گروه عاملی نوکلئوفیل در پیکره‌ی خمیر کربن فعالیت الکتروکاتالیزوری بالایی نسبت به اکسایش دوپامین طی واکنش افزایش ۴,۱ مایکل نشان می‌دهد. رفتار الکتروشیمیایی دوپامین در سطح الکترود خمیر کربن اصلاح شده با تیوراسیل توسط ولتاوتمتری چرخه‌ای و کرونوكولومتری مورد مطالعه قرار گرفت. در این مطالعه، پارامترهای مهم توسط طراحی پلاکت-برمن تعیین و سپس توسط طراحی مکعب مرکز وجه پر بهینه شد. تحت شرایط بهینه گستره خطی غلظت و حد تشخیص روش به ترتیب $1\text{ L}^{-1} \mu\text{mol}$ $15,000 - 20,000$ و $1\text{ L}^{-1} \mu\text{mol}$ $73,000$ با استفاده از ولتاوتمتری برنه سازی پالس تفاضلی جذب سطحی بدست آمد. توانمندی حسگر الکتروشیمیایی پیشنهادی برای اندازه‌گیری دوپامین در نمونه‌های حقیقی تایید شد.

سطح الکترود کربن شیشه‌ای با استفاده از نانو لوله‌های کربنی چند دیواره اصلاح شد و سپس نانو ذرات طلا در سطح آن بطور الکتروشیمیایی ثبت گردید. میکروسکوپ الکترونی روبشی، طیف بینی پراش انرژی پرتو ایکس و طیف بینی امپدانس الکتروشیمیایی برای بررسی ویژگی‌های سطح الکترود کربن شیشه

اصلاح شده با نانو لوله‌های کربنی و نانو ذرات طلا مورد استفاده قرار گرفت. اندازه‌گیری جم فیبروزیل در سطح حسگر تهیه شده با استفاده از روش‌های ولتامتری برخنه سازی موج مربعی جذب سطحی و امپدیمتری مورد مطالعه قرار گرفت که گستره خطی غلظتی برای اندازه‌گیری جم فیبروزیل به ترتیب $L^{-1} \mu\text{mol} 0.15-0.45$ و $L^{-1} \mu\text{mol} 0.10-0.45$ حد تشخیص در روش ولتامتری $L^{-1} \mu\text{mol} 0.10$ و در روش امپدیمتری $L^{-1} \mu\text{mol} 0.074$ تعیین شد. در نهایت، توانمندی حسگر الکتروشیمیایی پیشنهادی برای اندازه‌گیری جم فیبروزیل در نمونه‌های دارویی و بیولوژیکی مورد ارزیابی قرار گرفت.

یک حسگر الکتروشیمیایی بر پایه ترسیب فیلم پلیمری به روش الکتروشیمیایی، برای اندازه‌گیری جم فیبروزیل به روش ولتامتری پالس تفاضلی، بر سطح الکترود کربن شیشه تهیه شد. در این روش از آلیزارین قرمز S که یک رنگدانه است برای افزایش پخش شدن نانو لوله‌های کربنی در محیط‌های آبی استفاده شد. این پخش شدگی از طریق برهمنکش‌های غیرکووالانسی بین این رنگدانه‌ها با نانو لوله‌های کربنی اتفاق می‌افتد. ترکیب حاصله سپس به کمک روش ولتامتری چرخه‌ای بر سطح الکترود پلیمریزه شد. پس از تهیه الکترود اصلاح شده با فیلم پلیمری آلیزارین قرمز S/نانو لوله‌های کربنی، اندازه‌گیری جم فیبروزیل در سطح آن به روش ولتامتری پالس تفاضلی انجام شد. گستره خطی غلظتی و حد تشخیص برای اندازه‌گیری این آنالیت به ترتیب $L^{-1} \mu\text{mol} 0.22-0.24$ و $L^{-1} \mu\text{mol} 0.100-0.22$ محاسبه گردید. در نهایت، توانایی این حسگر برای اندازه‌گیری جم فیبروزیل در نمونه‌های حقیقی سرم خون انسان، آب شهر و کپسول توسط روش ولتامتری پالس تفاضلی مورد بررسی قرار گرفت.

واژه‌های کلیدی:

نانو لوله‌های کربنی چند دیواره، متیل تیوراسیل، نانو ذرات طلا، فیبر کربن، افزایش ۴،۱ مایکل، امپدیمتری، پلی آلیزارین قرمز، فیلم پلیمری، حسگر الکتروشیمیایی.

مقالات مستخرج از این رساله که در مجلات ISI، علمی پژوهشی و همایش ارائه شده است:

- 1- M. Arab Chamjangali, N. Goudarzi, G. Bagherian, A. Ahmadi Reskety, Development of a new electrochemical sensor for verapamil based on multi-walled carbon nanotube immobilized on glassy carbon electrode, Measurement 71 (2015) 23–30.
- 2- M. Arab Chamjangali, A. Ahmadi Reskety, N. Goudarzi, G. Bagherian, Methylthiouracil-modified carbon paste electrode as a new voltammetric sensor based on a 1,4-Michael addition reaction for detection of dopamine, Electroanalysis 27 (2015) 2708 –2717.

۳- عطیه احمدی رسکتی، منصور عرب چم جنگلی، ناصر گودرزی، قدمعلی باقریان، مجید سلامی، الکترود کربن شیشه‌ای اصلاح شده با نانولوله‌های کربنی چند دیواره و پلی آلیزارین قرمز S به عنوان حسگر ولتاوتمتری جدید برای اندازه‌گیری جم فیبروزیل، مجله نانو مواد-دانشگاه آزاد شاهروود- بهار ۱۳۹۶.

- 4- M. Arab Chamjangali, A. Ahmadi Reskety, N. Goudarzi, G. Bagherian, Synthesis and characterization of a novel impedimetric and voltammetric sensor for detection of gemfibrozil in pharmaceutical and serum samples. 23rd Iranian Seminar of Analytical Chemistry, August 2016, Sharif University of Technology, Tehran, Iran.

عنوان	فهرست مطالب	صفحه
فصل اول- مقدمه و تئوری		۱
۱-۱ مقدمه		۲
۲-۱ الکترودهای اصلاح شده شیمیایی (CMEs)		۲
۳-۱ طراحی الکترود اصلاح شده شیمیایی		۴
۱-۳-۱ آماده سازی الکترود اصلاح شده		۴
۱-۳-۱-۱ نوع بستر		۵
۱-۳-۱-۲ اصلاح کردن بستر		۵
۴-۱ مواد اصلاح کننده		۸
۱-۴-۱ نانو لوله‌های کربنی و کاربید آن‌ها در الکتروشیمی		۹
۱-۴-۲ نانو ذرات طلا و کاربید آن‌ها در الکتروشیمی		۱۲
۱-۴-۳ واکنش‌های افزایش مایکل و کاربید آن‌ها در الکتروشیمی		۱۳
۱-۴-۴ پلیمرهای هادی و کاربید آن‌ها در الکتروشیمی		۱۴
۱-۴-۵ بررسی خصوصیات الکترود اصلاح شده شیمیایی		۱۴
۶-۱ اساس ایجاد سیگنان		۱۵
۱-۶-۱ ولتاومتری چرخه‌ای		۱۶
۱-۱-۶-۱ مطالعه مکانیسم واکنش‌ها		۱۸
۲-۶-۱ کرونوآمپرومتری		۲۰
۳-۶-۱ طیف بینی امپدانس الکتروشیمیایی		۲۱
۷-۱ طراحی آماری آزمایش		۲۲
۱-۷-۱ خطوط راهنمای طراحی آزمایش		۲۴
۱-۱-۷-۱ درک و بیان مسئله		۲۵
۱-۱-۷-۱-۱ انتخاب متغیر پاسخ		۲۵
۱-۱-۷-۱-۲ انتخاب عامل‌ها، سطوح و دامنه‌ها		۲۵
۱-۱-۷-۱-۳ انتخاب طرح آزمایش		۲۵
۱-۱-۷-۱-۴ انتخاب طرح آزمایش		۲۵
۱-۱-۷-۱-۵ انجام آزمایش		۲۶
۱-۱-۷-۱-۶ تجزیه و تحلیل آماری داده‌ها		۲۶
۱-۱-۷-۱-۷ نتیجه گیری و پیشنهادات		۲۶
۱-۱-۷-۱-۸ دسته بندی روش‌های طراحی آزمایش		۲۷

عنوان	فهرست مطالب	صفحة
۱-۷-۲-۱ طرح غربالگری	۲۷	
۱-۷-۲-۲ طراحی بهینه سازی	۲۹	
۱-۷-۳ تابع مطلوبیت	۳۳	
فصل دوم- بخش تجربی	۳۵	
۱-۲ مواد شیمیایی	۳۶	
۲-۲ وسایل و تجهیزات	۳۷	
۳-۲ آماده سازی محلول‌ها	۳۹	
۴-۲ اندازه‌گیری الکتروشیمیایی و راپامیل با استفاده از الکترود کربن شیشه‌ای اصلاح شده با نانو لوله‌های کربنی چند دیواره	۴۱	
۴-۲-۱ تهیه الکترود کربن شیشه‌ای اصلاح شده با نانو لوله‌های کربنی چند دیواره	۴۳	
۴-۲-۲ بررسی و مشخصه یابی الکترود اصلاح شده	۴۴	
۴-۲-۳ ریخت شناسی سطح الکترود	۴۴	
۴-۲-۴-۲ اندازه‌گیری مساحت سطح الکترودهای اصلاح شده و اصلاح نشده	۴۵	
۴-۲-۴-۳ معرفی سیستم الکتروشیمیایی مورد استفاده برای اندازه‌گیری و راپامیل	۴۷	
۴-۲-۴-۴ بهینه سازی شرایط آزمایش	۴۸	
۴-۲-۴-۵ روش کار کلی برای بهینه سازی پارامترهای موثر بر اکسایش و راپامیل به روش ولتامتری چرخه‌ای	۴۸	
۴-۲-۴-۶ تعیین pH بهینه و نوع بافر در اکسایش و راپامیل در سطح MWCNT/GCE	۴۹	
۴-۲-۴-۷ بهینه سازی حجم بافر در اکسایش و راپامیل در سطح MWCNT/GCE	۵۱	
۴-۲-۴-۸ بهینه سازی حلal پخش کننده، غلظت و حجم قطره	۵۳	
۴-۲-۴-۹ اثر سرعت روش پتانسیل بر سیگنال تجزیه‌ای و راپامیل در سطح MWCNT/GCE به کمک ولتامتری چرخه‌ای	۵۶	
۴-۲-۴-۱۰ شرایط بهینه حاصل از مطالعات ولتامتری چرخه‌ای	۵۸	
۴-۲-۴-۱۱ بهینه سازی پارامترهای موثر بر ولتاکوگرام‌های پالس تفاضلی	۵۸	
۴-۲-۴-۱۲ بهینه سازی سرعت روش برای اکسایش و راپامیل با تکنیک ولتامتری پالس تفاضلی	۵۹	
۴-۲-۴-۱۳ بهینه سازی ارتفاع پالس در اکسایش و راپامیل با کمک ولتامتری پالس تفاضلی	۶۰	
۴-۲-۴-۱۴ بهینه سازی مدت زمان اعمال پالس برای اکسایش و راپامیل با تکنیک ولتامتری پالس تفاضلی	۶۲	
۴-۲-۴-۱۵ بررسی الکتروشیمیایی اکسایش و راپامیل	۶۳	
۴-۲-۴-۱۶ بررسی پارامترهای تجزیه‌ای	۶۷	

عنوان	فهرست مطالب	صفحة
۱-۸-۴-۲ منحنی کالیبراسیون و تعیین ناحیه خطی روش		۶۷
۲-۸-۴-۲ بررسی تکرارپذیری و تکشیرپذیری		۷۱
۳-۸-۴-۲ بررسی دقت و صحت روش		۷۲
۴-۸-۴-۲ بررسی پایداری MWCNT/GCE		۷۳
۵-۸-۴-۲ بررسی اثر مزاحمت برخی از ترکیبات در اندازه‌گیری ولتامتری و راپامیل در سطح MWCNT/GCE		۷۴
۶-۸-۴-۲ اندازه‌گیری ولتامتری و راپامیل در نمونه‌های حقیقی		۷۵
۹-۴-۲ نتیجه گیری		۷۶
۱-۵ الکترود خمیرکربن اصلاح شده با متیل تیوراسیل به عنوان حسگر ولتامتری جدید بر اساس واکنش افزایشی ۴،۱ مایکل برای اندازه‌گیری دوپامین		۷۹
۲-۵-۱ تهیه الکترود خمیر کربن اصلاح شده با متیل تیوراسیل		۸۲
۲-۵-۲ معرفی سیستم الکتروشیمیایی مورد استفاده برای اندازه‌گیری دوپامین		۸۲
۲-۵-۳ بررسی و بهینه سازی متغیرهای موثر بر روی حساسیت به روش طراحی آزمایش		۸۷
۲-۵-۴ غربال کردن پارامترهای مهم با استفاده از طرح پلاکت - برنم		۸۸
۲-۵-۵ تجزیه و تحلیل داده‌های حاصل از طرح پلاکت - برنم و تعیین عوامل مهم		۹۰
۲-۵-۶ بهینه سازی عوامل موثر در اندازه‌گیری دوپامین با استفاده از طراحی مرکب مرکزی		۹۲
۲-۵-۷ ارزیابی آماری مدل		۹۶
۲-۵-۸ تعیین سطوح بهینه عوامل موثر		۱۰۰
۲-۵-۹ بررسی الکتروشیمیایی اکسایش دوپامین		۱۰۰
۲-۵-۱۰ بررسی تاثیر تغییر pH محیط بر اکسایش دوپامین در سطح MT/MCPE		۱۰۲
۲-۵-۱۱ بررسی تاثیر حجم بافر در اکسایش دوپامین در سطح MT/MCPE		۱۰۳
۲-۵-۱۲ بررسی تاثیر تغییر سرعت روش پتانسیل بر اکسایش دوپامین به کمک ولتامتری چرخه‌ای		۱۰۴
۲-۵-۱۳ مطالعات جذب سطحی		۱۰۸
۲-۵-۱۴ مطالعات کرونوکولومتری		۱۰۹
۲-۵-۱۵ بررسی پارامترهای تجزیه‌ای		۱۱۲
۲-۵-۱۶ منحنی کالیبراسیون و تعیین ناحیه خطی روش		۱۱۲
۲-۵-۱۷ بررسی تکرارپذیری و تکشیرپذیری		۱۱۵
۲-۵-۱۸ بررسی دقت و صحت روش		۱۱۵
۲-۵-۱۹ بررسی پایداری الکترود MT/MCPE		۱۱۶

عنوان	فهرست مطالب	صفحة
۱۱۷..MT/MCPE بررسی اثر مزاحمت برخی از ترکیبات در اندازه‌گیری ولتامتری دوپامین در سطح		۲
۱۱۸..... به کارگیری روش پیشنهادی برای اندازه‌گیری دوپامین در نمونه‌های حقیقی		۲
۱۱۹..... نتیجه گیری		۲
۲-۶ الکترود کربن شیشه اصلاح شده با نانو لوله کربنی چند دیواره و نانو ذرات طلا به عنوان حسگر جدید امپدیومتری و ولتامتری برخene سازی برای اندازه‌گیری جم فیبروزیل	۱۲۲	۲
۱۲۴..... تهییه الکترود کربن شیشه اصلاح شده با نانو لوله کربنی چند دیواره و نانو ذرات طلا		۲
۱۲۵..... ۲-۶ بررسی و مشخصه یابی الکترود اصلاح شده		۲
۱۲۵..... ۱-۲-۶ سنتز الکتروشیمیایی نانو ذرات طلا		۲
۱۲۶..... ۲-۶-۲ ریخت شناسی و تعیین ترکیب کاتالیزگر		۲
۱۲۹..... ۳-۶-۲ اندازه‌گیری مساحت سطح الکترودهای اصلاح نشده و اصلاح شده		۲
۱۳۱..... ۳-۶ مطالعات طیف‌بینی امپدانس الکتروشیمیایی سطح الکترودهای مختلف		۲
۱۳۲..... ۴-۶ معرفی سیستم الکتروشیمیایی مورد استفاده برای اندازه‌گیری جم فیبروزیل		۲
۱۳۴..... ۵-۶ بھینه سازی شرایط آزمایش		۲
۱۳۴..... ۱-۵-۶ روش کار کلی برای بھینه سازی پارامترهای موثر بر اکسایش جم فیبروزیل		۲
۱۳۶..... ۲-۵-۶-۲ تعیین pH بھینه و نوع بافر در اکسایش جم فیبروزیل در سطح Au/MWCNT/GCE		۲
۱۳۹..... ۳-۵-۶-۲ تعیین حجم بافر در اکسایش جم فیبروزیل در سطح Au/MWCNT/GCE		۲
۱۴۰..... ۴-۵-۶-۲ بھینه سازی غلظت نانو لوله‌های کربنی چند دیواره		۲
۱۴۲..... ۵-۶-۲ بھینه سازی مقدار نانو ذرات طلا		۲
۱۴۶..... ۶-۵-۶-۲ بھینه سازی پتانسیل و زمان انباشت		۲
۱۴۷..... ۶-۶-۲ بھینه سازی پارامترهای دستگاهی		۲
۱۴۷..... ۱-۶-۶-۲ بھینه سازی ارتفاع پالس در بررسی اکسایش جم فیبروزیل با تکنیک ولتامتری موج مربعی		۲
۱۴۸..... ۲-۶-۶-۲ بھینه سازی فرکانس اعمالی در بررسی اکسایش جم فیبروزیل با تکنیک ولتامتری موج مربعی		۲
۱۵۰..... ۷-۶-۲ بررسی الکتروشیمیایی اکسایش جم فیبروزیل در سطح Au/MWCNT/GC		۲
۱۵۰..... ۱-۷-۶-۲ بررسی تاثیر تغییر pH محیط بر اکسایش جم فیبروزیل		۲
۱۵۲..... ۲-۷-۶-۲ بررسی تاثیر تغییر سرعت روبش بر اکسایش جم فیبروزیل به کمک ولتامتری چرخه‌ای		۲
۱۵۵..... ۸-۶-۲ مطالعات جذب سطحی		۲
۱۵۶..... ۹-۶-۲ مطالعات کرونوکولومتری		۲
۱۵۸..... ۱۰-۶-۲ بررسی پارامترهای تجزیه‌ای حسگر در اندازه‌گیری جم فیبروزیل		۲
۱۵۹..... ۱-۱۰-۶-۲ منحنی کالیبراسیون و تعیین ناحیه خطی روش به روش ولتامتری موج مربعی		۲

عنوان	فهرست مطالب	صفحة
۲-۱۰-۶-۲ رسم منحنی کالبیراسیون و تعیین ناحیه خطی جم فیبروزیل به روش امپدیمتری.....	۱۶۱	
۲-۱۰-۶-۳ بررسی تکرارپذیری و تکثیرپذیری.....	۱۶۴	
۲-۱۰-۶-۴ بررسی دقت و صحت روش	۱۶۵	
۲-۱۰-۶-۵ بررسی پایداری الکترود Au/MWCNT/GC.....	۱۶۶	
۲-۱۰-۶-۶ بررسی اثر مزاحمت برخی از ترکیبات در اندازه‌گیری جم فیبروزیل در سطح الکترود اصلاح شده.....	۱۶۷	
۲-۱۰-۶-۷ به کارگیری روش ولتامتری موج مربعی و امپدیمتری برای اندازه‌گیری جم فیبروزیل در نمونه‌های حقیقی.....	۱۷۰	
۲-۱۱-۶-۲ نتیجه گیری.....	۱۷۳	
۲-۷-۲ الکترود کربن شیشه اصلاح شده با نانو لوله کربنی چند دیواره و پلی آلیزارین قرمز S به عنوان حسگر ولتامتری جدید برای اندازه‌گیری جم فیبروزیل.....	۱۷۵	
۲-۷-۱ تهیه الکترود کربن شیشه اصلاح شده با نانو لوله کربنی چند دیواره/ پلی آلیزارین قرمز S.....	۱۷۷	
۲-۷-۲ بررسی و مشخصه یابی الکترود اصلاح شده.....	۱۷۸	
۲-۷-۱-۲ پلیمریزاسیون الکتروشیمیایی ARS در سطح GCE.....	۱۷۸	
۲-۷-۲-۲ ریخت شناسی سطح الکترود.....	۱۷۹	
۲-۷-۳-۲ اندازه‌گیری مساحت سطح الکترودهای اصلاح شده.....	۱۷۹	
۲-۷-۳ مطالعات طیف‌بینی امپدانس الکتروشیمیایی در سطح الکترودهای مختلف.....	۱۸۰	
۲-۷-۴ بررسی رفتار الکتروشیمیایی فیلم MWCNT-PARS در سطح الکترود کربن شیشه.....	۱۸۲	
۲-۷-۵ معرفی سیستم الکتروشیمیایی مورد استفاده برای اندازه‌گیری جم فیبروزیل.....	۱۸۴	
۲-۷-۶ بهینه سازی شرایط آزمایش.....	۱۸۶	
۲-۷-۱ روش کار کلی برای بهینه سازی پارامترهای موثر بر اکسایش جم فیبروزیل.....	۱۸۶	
۲-۷-۲-۶ تعیین pH بهینه و نوع بافر در اکسایش جم فیبروزیل در سطح MWCNT-PARS/GCE.....	۱۸۷	
۲-۷-۳-۶ تعیین حجم بافر در اکسایش جم فیبروزیل در سطح MWCNT-PARS/GCE.....	۱۹۱	
۲-۷-۴-۶ بهینه سازی مقدار نانو لوله‌های کربنی چند دیواره.....	۱۹۲	
۲-۷-۵-۶ بهینه سازی مقدار ARS.....	۱۹۴	
۲-۷-۶-۶ بهینه سازی تعداد چرخه‌های تشکیل پلیمر.....	۱۹۵	
۲-۷-۷-۶ بهینه سازی سرعت رویش پتانسیل به کار گرفته شده در ولتامتری پالس تفاضلی برای اکسایش جم فیبروزیل.....	۱۹۷	
۲-۷-۸-۶ بهینه سازی ارتفاع پالس به کار گرفته شده در ولتامتری پالس تفاضلی برای اکسایش جم فیبروزیل.....	۱۹۸	

عنوان	فهرست مطالب	صفحه
۹-۶-۲ بهینه سازی مدت زمان اعمال پالس به کار گرفته شده در ولتامتری پالس تفاضلی برای اکسایش جم فیبروزیل	۱۹۹	
۷-۷-۲ بررسی الکتروشیمیایی اکسایش جم فیبروزیل در سطح MWCNT-PARS/GCE	۲۰۱	
۷-۷-۲ بررسی تاثیر تغییر pH محیط بر اکسایش جم فیبروزیل	۲۰۱	
۷-۷-۲ بررسی تاثیر تغییر سرعت روش بر اکسایش جم فیبروزیل به کمک ولتامتری چرخه‌ای	۲۰۲	
۸-۷-۲ مطالعات کرونوآمپرومتری	۲۰۵	
۹-۷-۲ بررسی پارامترهای تجزیه‌ای حسگر در اندازه‌گیری جم فیبروزیل	۲۰۶	
۹-۷-۲ منحنی کالیبراسیون و تعیین ناحیه خطی روش	۲۰۶	
۹-۷-۲ بررسی تکرارپذیری و تکثیرپذیری	۲۰۹	
۳-۹-۷-۲ بررسی دقت و صحت روش	۲۱۰	
۴-۹-۷-۲ بررسی پایداری الکترود MWCNT-PARS/GCE	۲۱۱	
۵-۹-۷-۲ بررسی اثر مزاحمت برخی از ترکیبات در اندازه‌گیری ولتامتری جم فیبروزیل در سطح الکترود اصلاح شده با فیلم MWCNT-PARS	۲۱۲	
۶-۹-۷-۲ به کارگیری روش ولتامتری پالس تفاضلی برای اندازه‌گیری جم فیبروزیل در نمونه‌های حقیقی	۲۱۳	
۱۰-۷-۲ نتیجه گیری	۲۱۵	
۷-۲ فصل سوم-نتیجه گیری	۲۱۷	
۷-۲ نتیجه گیری کلی	۲۱۸	
۷-۲ آینده‌نگری	۲۲۱	
۷-۲ پیوست	۲۲۳	
۷-۲ مراجع	۲۴۲	

عنوان	فهرست جدول‌ها	صفحة
جدول (۱-۱) آزمون‌های تشخیصی برای واکنش‌های ECE	۲۰	
جدول (۱-۲) مشخصات مواد شیمیایی استفاده شده در این کار تحقیقاتی	۳۶	
جدول (۲-۱) نتایج بهدست آمده از شدت جریان دماغه اکسایش $50/0$ میکرومولار و راپامیل آمده با استفاده از روش ولتامتری چرخه‌ای در محلول حاوی بافر فسفاتی $0/0\text{--}27$ مولار با $\text{pH}=5/0$ های مختلف، سرعت روبش mV s^{-1} ، حجم قطره گذاری μL $10/0$ از تعلیق MWCNT:DMF با نسبت $1/0\text{--}100$ mg/mL	۵۰	
جدول (۲-۲): نتایج بهدست آمده از شدت جریان دماغه اکسایش $50/0$ میکرومولار و راپامیل آمده با استفاده از روش ولتامتری چرخه‌ای در محلول حاوی بافرهای مختلف با $\text{pH}=5/0$ ، سرعت روبش mV s^{-1} ، حجم قطره گذاری μL $10/0$ از تعلیق MWCNT:DMF با نسبت $1/0\text{--}100$ mg/mL	۵۱	
جدول (۲-۳): نتایج حاصل از بررسی حجم‌های متفاوت بافر فسفاتی در $\text{pH}=5/0$ بر روی شدت جریان دماغه اکسایش و راپامیل $50/0$ میکرومولار با روش ولتامتری چرخه‌ای، سرعت روبش mV s^{-1} ، حجم قطره گذاری μL $10/0$ از تعلیق MWCNT:DMF با نسبت $1/0\text{--}100$ mg/mL	۵۲	
جدول (۲-۴) نتایج بهدست آمده از شدت جریان دماغه اکسایش $50/0$ میکرومولار و راپامیل در بافر فسفاتی $0/0\text{--}27$ مولار، در حضور الکترود اصلاح شده با μL $10/0$ از حللهای پخش کننده متفاوت با نسبت $1/0\text{--}100$ mg/mL با استفاده از ولتامتری چرخه‌ای با سرعت روبش mV s^{-1}	۵۴	
جدول (۲-۵) نتایج بهدست آمده از شدت جریان دماغه اکسایش $50/0$ میکرومولار و راپامیل در بافر فسفاتی $0/0\text{--}27$ مولار، $\text{pH}=5/0$ ، با استفاده از روش ولتامتری چرخه‌ای با سرعت روبش mV s^{-1} ، در نسبت‌های غلظتی متفاوت MWCNT:DMF	۵۴	
جدول (۲-۶) نتایج بهدست آمده از شدت جریان دماغه اکسایش $50/0$ میکرومولار و راپامیل در بافر فسفاتی $0/0\text{--}27$ مولار، $\text{pH}=5/0$ ، با استفاده از روش ولتامتری چرخه‌ای با سرعت روبش mV s^{-1} ، در اصلاح شده با حجم‌های قطره گذاری متفاوت از تعلیق MWCNT:DMF با نسبت $1/0\text{--}100$ mg/mL	۵۶	
جدول (۲-۷) نتایج بهدست آمده از شدت جریان دماغه اکسایش $50/0$ میکرومولار و راپامیل در بافر فسفاتی $0/0\text{--}27$ مولار، $\text{pH}=5/0$ ، با استفاده از روش ولتامتری چرخه‌ای با سرعت روبش mV s^{-1} ، در حضور الکترود اصلاح شده با حجم‌های قطره گذاری متفاوت از تعلیق MWCNT:DMF با نسبت $1/0\text{--}100$ mg/mL	۵۶	
جدول (۲-۸) نتایج حاصل از بررسی سرعت روبش بر شدت جریان دماغه اکسایش $50/0$ میکرومولار و راپامیل در بافر فسفاتی $0/0\text{--}27$ مولار، $\text{pH}=5/0$ ، با استفاده از روش ولتامتری چرخه‌ای، با حجم قطره گذاری μL $10/0$ از تعلیق MWCNT:DMF با نسبت $1/0\text{--}100$ mg/mL	۵۶	
جدول (۲-۹) نتایج بهدست آمده از بهینه سازی پارامترهای موثر بر سیگنال تجزیه‌ای اکسایش و راپامیل با غلطت $50/0$ میکرومولار با استفاده از روش ولتامتری چرخه‌ای در سطح MWCNT/GCE	۵۸	
جدول (۲-۱۰) اطلاعات مربوط به منحنی‌های کالیبراسیون در ناحیه خطی $2/50$ تا $70/00$ میکرومولار و راپامیل در محلول بافر فسفاتی $0/0\text{--}27$ مولار با $\text{pH}=5/0$ در سطح MWCNT/GCE	۶۹	
جدول (۲-۱۱) نتایج تکرارپذیری الکترودهای MWCNT/GC برای اندازه‌گیری سیگنال تجزیه‌ای محلول $50/0$ میکرو مولار و راپامیل در محلول بافر فسفاتی $0/0\text{--}27$ مولار با $\text{pH}=5/0$ به روش ولتامتری چرخه‌ای در سرعت روبش 150 mVs^{-1}	۷۱	

عنوان	فهرست جدول‌ها	صفحة
جدول (۱۲-۲) تحلیل واریانس داده‌های مربوط به اندازه‌گیری سیگنال تجزیه‌ای محلول ۵٪ میکرو مولار وراپامیل در محلول بافر فسفاتی ۰٪ pH=۵ مولار با ۰٪ توسط الکترودهای MWCNT/GC مختلف در روزهای مختلف به روش ولتامتری چرخه‌ای با سرعت روبش 150 mVs^{-1}	۷۲	
جدول (۱۳-۲) نتایج دقت و صحت روش برای اندازه‌گیری محلول‌های استاندارد وراپامیل به روش ولتامتری چرخه‌ای در سطح MWCNT/GCE در محلول بافر فسفاتی ۰٪ pH=۵ مولار با ۰٪ pH=۵ مولار با سرعت روبش 150 mVs^{-1}	۱۵۰	۷۳
جدول (۱۴-۲) بررسی تاثیر حضور گونه‌های آزمایشی مختلف بر شدت جریان دماغه آندی وراپامیل ($\mu\text{g/mL}$) در محلول بافر فسفاتی ۰٪ pH=۵ مولار در سطح MWCNT/GCE به روش ولتامتری چرخه‌ای با سرعت روبش 150 mVs^{-1}	۷۵	۱۰٪
جدول (۱۵-۲) نتایج حاصل از اندازه‌گیری ولتامتری وراپامیل در محلول بافر فسفاتی ۰٪ pH=۵ مولار با ۰٪ در سطح الکترود MWCNT/GC با روش ولتامتری چرخه‌ای در نمونه‌های آب شهر، سرم و قرص (n=۳)	۷۷	۷۷
جدول (۱۶-۲) الکترودهای اصلاح شده مختلف برای اندازه‌گیری وراپامیل	۷۸	
جدول (۱۷-۲) مقادیر بهینه به دست آمده برای اکسایش محلول ۱٪ میکرو مولار دوپامین در سطح MT/MCPE از طریق روش تک متغیره با استفاده از روش ولتامتری پالس تفاضلی جذب سطحی	۸۸	
جدول (۱۸-۲) فاکتورها و سطوح به کار گرفته شده در طراحی پلاکت-برمن برای اندازه‌گیری دوپامین ۱٪ میکرو مولار در سطح MT/MCPE با استفاده از روش ولتامتری پالس تفاضلی جذب سطحی	۸۹	
جدول (۱۹-۲) ضرایب حاصل از طرح PB برای اندازه‌گیری دوپامین ۱٪ میکرو مولار در سطح MT/MCPE با استفاده از روش ولتامتری پالس تفاضلی جذب سطحی	۹۰	
جدول (۲۰-۲) فاکتورها و سطوح به کار گرفته شده در طراحی مرکب مرکزی برای اندازه‌گیری دوپامین ۱٪ میکرو مولار در سطح MT/MCPE با استفاده از روش ولتامتری پالس تفاضلی جذب سطحی	۹۳	
جدول (۲۱-۲) تحلیل واریانس و پارامترهای آماری برای مدل پیشنهادی مربوط به دوپامین ۱٪ میکرو مولار در سطح MT/MCPE با استفاده از روش ولتامتری پالس تفاضلی جذب سطحی	۹۷	
جدول (۲۲-۲) شدت جریان‌های آندی و کاتدی در سرعت روبشهای پتانسیل متفاوت در محلول بافر فسفاتی ۰٪ pH=۷ مولار با ۰٪ pH=۷ مولار با ۰٪ میکرو مولار در سطح MT/MCPE به وسیله ولتامتری چرخه‌ای	۱۰۵	
جدول (۲۳-۲) مقادیر Γ^0 محاسبه شده برای MT/MCPE و CPE اصلاح نشده در محلول بافر فسفاتی ۰٪ pH=۷ مولار با ۰٪ pH=۷ مولار با ۰٪ حاوی غلظت‌های مختلف دوپامین	۱۱۱	
جدول (۲۴-۲) اطلاعات مربوط به منحنی‌های کالیبراسیون در ناحیه خطی ۰٪ تا ۱۵٪ میکرومولار دوپامین در محلول بافر فسفاتی ۰٪ pH=۷ مولار با ۰٪ pH=۷ مولار با ۰٪ در سطح MT/MCPE با روش ولتامتری پالس تفاضلی جذب سطحی	۱۱۳	

عنوان	فهرست جدول‌ها	صفحة
جدول (۲۵-۲) نتایج تکراربذیری الکترودهای MT/MCPE برای اندازه‌گیری سبگانال تجزیه‌ای محلول میکرومولار دوپامین در محلول بافر فسفاتی $pH=7/0$ توسط روش ولتامتری پالس تفاضلی جذب سطحی.....	۱۰۰ ۱۱۵	
جدول (۲۶-۲) تحلیل واریانس داده‌های مربوط به اندازه‌گیری محلول $10/0$ میکرومولار دوپامین در محلول بافر فسفاتی $pH=7/0$ توسط الکترودهای MT/MCPE در روزهای مختلف توسط روش ولتامتری پالس تفاضلی جذب سطحی.....	۱۰۰ ۱۱۵	
جدول (۲۷-۲) نتایج دقیق و صحیح روش برای اندازه‌گیری ولتامتری محلول استاندارد دوپامین در غلظت‌های مختلف توسط MT/MCPE در محلول بافر فسفاتی $pH=7/0$ مولار با $0/027$ مولار با $pH=7/0$	۱۱۶	
جدول (۲۸-۲) بررسی تاثیر حضور گونه‌های آزمایشی مختلف بر شدت جریان دماغه آندی دوپامین ($\mu g/mL$) در بافر فسفاتی $0/027$ مولار با $pH=7/0$ در سطح MT/MCPE با روش ولتامتری پالس تفاضلی جذب سطحی.....	۱۱۸	
جدول (۲۹-۲) نتایج حاصل از اندازه‌گیری ولتامتری دوپامین در بافر فسفاتی $0/027$ مولار با $pH=7/0$ در سطح MT/MCPE با روش ولتامتری پالس تفاضلی جذب سطحی در نمونه‌های آب شهر، سرم و آمپول ($n=3$).....	۱۲۰	
جدول (۳۰-۲) الکترودهای خمیر کربن اصلاح شده مختلف برای اندازه‌گیری دوپامین.....	۱۲۱	
جدول (۳۱-۲) جدول انرژی آنالیز EDX.....	۱۲۷	
جدول (۳۲-۲) داده‌های حاصل از آزمایش EDX بر روی الکترود Au/MWCNT/GC.....	۱۲۹	
جدول (۳۳-۲) نتایج بدست آمده از شدت جریان دماغه اکسایش $30/0$ میکرومولار جم فیبروزیل در بافر فسفاتی $0/027$ مولار با $pH=3/0$ های مختلف در سطح Au/MWCNT/GCE به کمک روش ولتامتری موج مربعی جذب سطحی.....	۱۳۷	
جدول (۳۴-۲): نتایج حاصل از شدت جریان دماغه اکسایش $30/0$ میکرومولار جم فیبروزیل در الکتروولیت‌های حامل متفاوت با $pH=3/0$ در سطح Au/MWCNT/GCE به کمک روش ولتامتری موج مربعی جذب سطحی.....	۱۳۹	
جدول (۳۵-۲): نتایج حاصل از بررسی حجم‌های متفاوت بافر فسفاتی در $pH=3/0$ بر شدت جریان دماغه اکسایش $30/0$ میکرومولار جم فیبروزیل در سطح Au/MWCNT/GCE به کمک روش ولتامتری موج مربعی.....	۱۴۰	
جدول (۳۶-۲) نتایج حاصل از بررسی مقدار MWCNT با کمک روش ولتامتری موج مربعی در محلول بافر فسفاتی $0/027$ مولار با $pH=3/0$ حاوی $30/0$ میکرو مولار جم فیبروزیل.....	۱۴۲	
جدول (۳۷-۲) نتایج حاصل از بررسی غلظت HAuCl ₄ با کمک روش ولتامتری موج مربعی در محلول بافر فسفاتی $0/027$ مولار با $pH=3/0$ حاوی $30/0$ میکرو مولار جم فیبروزیل.....	۱۴۳	
جدول (۳۸-۲) نتایج حاصل از بررسی تعداد چرخه‌های لازم برای ترسیب HAuCl ₄ با کمک روش ولتامتری موج مربعی در محلول بافر فسفاتی $0/027$ مولار با $pH=3/0$ حاوی $30/0$ میکرو مولار جم فیبروزیل.....	۱۴۵	

عنوان	فهرست جداول	صفحة
جدول (۳۹-۲) نتایج بهدست آمده از بهینه سازی پارامترهای موثر بر سیگنال تجزیه‌ای اکسایش جم فیروزیل ۳۰/۰ میکرو مولار در سطح Au/MWCNT/GCE	۱۵۰	
جدول (۴۰-۲) مقادیر Γ^0 محاسبه شده برای Au/MWCNT/GCE، MWCNT/GCE و GCE اصلاح نشده در محلول بافر فسفاتی ۰/۰۲۷ مولار با $pH=۳/۰$ حاوی غلظت‌های مختلف جم فیروزیل	۱۵۸	
جدول (۴۱-۲) اطلاعات مربوط به منحنی‌های کالیبراسیون در ناحیه خطی ۰/۰۱۵ تا ۰/۰۴۵ میکرومولار جم فیروزیل در محلول بافر فسفاتی ۰/۰۲۷ مولار با $pH=۳/۰$ در سطح Au/MWCNT/GCE با روش ولتامتری موج مربعی	۱۶۰	
جدول (۴۲-۲) اطلاعات مربوط به منحنی‌های کالیبراسیون در ناحیه خطی ۰/۰۱۰ تا ۰/۰۴۵ میکرومولار جم فیروزیل در محلول بافر فسفاتی با $pH=۳/۰$ با استفاده از روش طیف بینی امپدانس الکتروشیمیایی در سطح Au/MWCNT/GCE	۱۶۳	
جدول (۴۳-۲) نتایج تکرارپذیری الکترودهای Au/MWCNT/GC مختلف برای اندازه‌گیری ۰/۰۱۲ میکرومولار جم فیروزیل در بافر فسفاتی $pH=۳/۰$ توسط تکنیک ولتامتری موج مربعی	۱۶۴	
جدول (۴۴-۲) نتایج تکرارپذیری الکترودهای Au/MWCNT/GC مختلف برای اندازه‌گیری ۰/۰۲۵ میکرومولار جم فیروزیل در بافر فسفاتی $pH=۳/۰$ توسط تکنیک امپدیمتری	۱۶۴	
جدول (۴۵-۲) تحلیل واریانس داده‌های مربوط به اندازه‌گیری جم فیروزیل توسط الکترودهای Au/MWCNT/GC مختلف در روزهای مختلف توسط روش ولتامتری موج مربعی	۱۶۵	
جدول (۴۶-۲) تحلیل واریانس داده‌های مربوط به اندازه‌گیری جم فیروزیل توسط الکترودهای Au/MWCNT/GC مختلف در روزهای مختلف توسط روش امپدیمتری	۱۶۵	
جدول (۴۷-۲) نتایج دقت و صحت روش برای اندازه‌گیری ولتامتری موج مربعی محلول استاندارد جم فیروزیل توسط Au/MWCNT/GCE در محلول بافر فسفاتی با $pH=۳/۰$	۱۶۶	
جدول (۴۸-۲) نتایج دقت و صحت روش برای اندازه‌گیری محلول استاندارد جم فیروزیل به کمک روش امپدیمتری توسط Au/MWCNT/GCE در محلول بافر فسفاتی با $pH=۳/۰$	۱۶۶	
جدول (۴۹-۲) بررسی تاثیر حضور گونه‌های آزمایشی مختلف بر شدت جریان دماغه آندی جم فیروزیل (۰/۰ $\mu g/mL$) در بافر فسفاتی ۰/۰۲۷ مولار با $pH=۳/۰$ در سطح Au/MWCNT/GC توسط تکنیک ولتامتری موج مربعی جذب سطحی	۱۶۹	
جدول (۵۰-۲) بررسی تاثیر حضور گونه‌های آزمایشی مختلف بر شدت جریان دماغه آندی جم فیروزیل (۰/۰ $\mu g/mL$) در بافر فسفاتی ۰/۰۲۷ مولار با $pH=۳/۰$ در سطح Au/MWCNT/GC توسط تکنیک امپدیمتری	۱۷۰	
جدول (۵۱-۲) نتایج حاصل از اندازه‌گیری ولتامتری موج مربعی جذب سطحی جم فیروزیل در نمونه‌های آب شهر، سرم و کپسول ($n=۳$) در بافر فسفاتی ۰/۰۲۷ مولار با $pH=۳/۰$ در سطح Au/MWCNT/GCE	۱۷۲	

عنوان	فهرست جدول‌ها	صفحة
جدول (۵۲-۲) نتایج حاصل از اندازه‌گیری امپدیتمتری جم فیبروزیل در نمونه‌های آب شهر، سرم و کپسول (n=۳) در بافر فسفاتی pH=۳/۰ مولار با ۰/۰۲۷ در سطح Au/MWCNT/GCE	۱۷۳	
جدول (۵۳-۲) الکترودهای کربن شیشه اصلاح شده مختلف برای اندازه‌گیری جم فیبروزیل.	۱۷۴	
جدول (۵۴-۲) داده‌های حاصل از بررسی پاسخ الکترود MWCNT-PARS/GC در محلول H ₂ SO ₄ ۰/۵ مولار در سرعت‌های روش مختلف	۱۸۳	
جدول (۵۵-۲) نتایج بهدست آمده از شدت جریان دماغه اکسایش ۰/۰۱ میکرومولار جم فیبروزیل در محلول حاوی بافر فسفاتی با pH های مختلف با روش ولتاوتمتری پالس تفاضلی در سطح الکترود MWCNT-/GC/PARS	۱۸۹	
جدول (۵۶-۲): نتایج حاصل از بررسی الکتروولیتهای حامل متفاوت در pH=۴/۵ برای محلول ۰/۰۱ میکرومولار جم فیبروزیل در سطح MWCNT-PARS/GCE به کمک روش ولتاوتمتری پالس تفاضلی	۱۹۰	
جدول (۵۷-۲): نتایج حاصل از بررسی حجم‌های متفاوت بافر استاتی در pH=۴/۵ برای محلول ۰/۰۱ میکرومولار جم فیبروزیل در سطح MWCNT-PARS/GCE به کمک روش ولتاوتمتری پالس تفاضلی	۱۹۲	
جدول (۵۸-۲) نتایج حاصل از بررسی مقدار MWCNT برای محلول ۰/۰۱ میکرومولار جم فیبروزیل در بافر استاتی pH=۴/۵ در سطح MWCNT-PARS/GCE به کمک روش ولتاوتمتری پالس تفاضلی	۱۹۳	
جدول (۵۹-۲) نتایج حاصل از بررسی مقدار ARS برای محلول ۰/۰۱ میکرومولار جم فیبروزیل در بافر استاتی pH=۴/۵ در سطح MWCNT-PARS/GCE به کمک روش ولتاوتمتری پالس تفاضلی	۱۹۴	
جدول (۶۰-۲) نتایج حاصل از بررسی تعداد چرخه‌های لازم برای تشکیل پلیمر برای محلول ۰/۰۱ میکرومولار جم فیبروزیل در بافر استاتی pH=۴/۵ مولار در سطح MWCNT-PARS/GCE به کمک روش ولتاوتمتری پالس تفاضلی	۱۹۶	
جدول (۶۱-۲) نتایج حاصل از بررسی سرعت روش در ولتاوتمتری پالس تفاضلی برای محلول ۰/۰۱ میکرومولار جم فیبروزیل در بافر استاتی pH=۴/۵ مولار در سطح MWCNT-PARS/GCE	۱۹۷	
جدول (۶۲-۲) نتایج بهدست آمده از بهینه سازی پارامترهای موثر بر سیگنال تجزیه‌ای اکسایش جم فیبروزیل ۰/۰۱ میکرومولار در سطح MWCNT-PARS/GCE	۲۰۰	
جدول (۶۳-۲) اطلاعات مربوط به منحنی‌های کالیبراسیون در ناحیه خطی ۰/۰۱ تا ۰/۰۲۲ میکرومولار جم فیبروزیل در بافر استاتی pH=۴/۵ مولار در سطح MWCNT-PARS/GCE با روش ولتاوتمتری پالس تفاضلی	۲۰۷	
جدول (۶۴-۲) نتایج تکرارپذیری الکترودهای MWCNT-PARS/GC مختلف برای اندازه‌گیری جم فیبروزیل ۰/۰۱ میکرومولار در بافر استاتی pH=۴/۵ توسط تکنیک ولتاوتمتری پالس تفاضلی	۲۰۹	
جدول (۶۵-۲) تحلیل واریانس داده‌های مربوط به اندازه‌گیری جم فیبروزیل توسط الکترودهای مختلف در روزهای مختلف توسط روش ولتاوتمتری پالس تفاضلی	۲۱۰	
جدول (۶۶-۲) نتایج دقت و صحت روش برای اندازه‌گیری ولتاوتمتری پالس تفاضلی محلول استاندارد جم فیبروزیل در سطح MWCNT-PARS/GCE در محلول بافر استاتی pH=۴/۵ مولار با ۰/۰۱	۲۱۱	

عنوان	فهرست جدول‌ها	صفحه
جدول (۶۷-۲) بررسی تاثیر حضور گونه‌های آزمایشی مختلف بر شدت جریان دماغه آندی جم فیبروزیل ۲۱۳ MWCNT-PARS/GC در سطح الکترود pH=۴/۵ مولار با ۰/۱۰ μg/mL		
جدول (۶۸-۲) نتایج حاصل از اندازه‌گیری ولتاوی متری جم فیبروزیل در سطح الکترود MWCNT-PARS/GC در نمونه‌های آب شهر، سرم و کپسول (n=۳) با روش ولتاوی پالس تفاضلی ۲۱۴		
جدول (۶۹-۲) الکترودهای کربن شیشه اصلاح شده مختلف برای اندازه‌گیری جم فیبروزیل ۲۱۶		

عنوان	فهرست شکل‌ها	صفحه
شکل (۱-۱): انواع نانو لوله‌های کربنی: (الف) تک دیواره و (ب) چند دیواره.	۱۰	
شکل (۲-۱): طرح واکنش افزایش مایکل.	۱۳	
شکل (۳-۱): نمایی از طرح مرکب مرکزی مركزی وجهه پر.	۳۳	
شکل (۱-۲): فرمول ساختاری وراپامیل.	۴۱	
شکل (۲-۲): (الف) تصاویر میکروسکوپ الکترونی روبشی الکترود کربن شیشه‌ای اصلاح نشده و (ب) الکترود کربن شیشه‌ای اصلاح شده با نانو لوله‌های کربنی چند دیواره.	۴۵	
شکل (۳-۲): (الف) ولتاموگرام‌های چرخه‌ای MWCNT/GCE در محلول $K_4Fe(CN)_6$ ۱/۰ mM حاوی KCl ۰/۱۰ در سرعت روبش‌های مختلف: (الف تا ج) مربوط به سرعت‌های روبش ۱۰، ۲۰، ۴۰، ۸۰، ۱۰۰ و 150 mV s^{-1} میباشند. (ب) نمودار تغییرات شدت جریان دماغه آندی بر حسب جذر سرعت روبش.	۴۶	
شکل (۴-۲): ولتاموگرام‌های چرخه‌ای وراپامیل (μM) ۵۰/۰ در محلول بافر فسفاتی $0.27\text{ pH}=5.0$ مولار با در سطح الکترودهای کربن شیشه‌ای اصلاح شده با نانو لوله‌های کربنی چند دیواره (الف) و کربن شیشه‌ای اصلاح نشده (ب). (پ) و (ت) به ترتیب ولتاموگرام‌های زمینه الکترودهای اصلاح شده و اصلاح نشده می‌باشند، سرعت روبش 150 mV s^{-1} .	۴۸	
شکل (۵-۲): نمودار تغییرات جریان آندی بر حسب pH (باfer فسفاتی $0.27\text{ pH}=5.0$ مولار) برای محلول ۵۰/۰ میکرومولار وراپامیل به دست آمده از روش ولتامتری چرخه‌ای در سطح MWCNT/GCE با سرعت روبش 100 mV s^{-1} انجام شده است. حجم قطره گذاری $10\text{ }\mu\text{L}$ ز تعليق MWCNT:DMF با نسبت ۵۰/۱۰ mL/mg .		
شکل (۶-۲): نمودار تغییرات شدت جریان آندی محلول ۵۰/۰ میکرومولار وراپامیل بر حسب نوع باfer در pH در سطح MWCNT/GCE با روش ولتامتری چرخه‌ای، سرعت روبش 100 mV s^{-1} . حجم قطره گذاری $10\text{ }\mu\text{L}$ ز تعليق MWCNT:DMF با نسبت ۱۰/۱۰ mL/mg .	۵۱	
شکل (۷-۲): نمودار تغییرات شدت جریان آندی وراپامیل $50\text{ }\mu\text{M}$ میکرومولار بر حسب حجم باfer فسفاتی در pH در سطح MWCNT/GCE با روش ولتامتری چرخه‌ای، سرعت روبش 100 mV s^{-1} . حجم قطره گذاری $10\text{ }\mu\text{L}$ از تعليق MWCNT:DMF با نسبت ۱۰/۱۰ mg/mL .	۵۲	
شکل (۸-۲): نمودار تغییرات شدت جریان دماغه اکسایش ۵۰/۰ میکرومولار وراپامیل در محلول باfer فسفاتی pH=۵/۰ در سطح MWCNT/GCE بر حسب جذر سرعت روبش پتانسیل در محدوده ۲۵ تا ۵۷ میلی ولت بر ثانیه.	۲۰۰	
شکل (۹-۲): ولتاموگرام‌های پالس تفاضلی با سرعت روبش 100 mVs^{-1} (ارتفاع پالس 80 mV و مدت زمان اعمال پالس ۵۰ میلی ثانیه) در سطح MWCNT/GCE در محلول باfer فسفاتی $0.27\text{ pH}=5.0$ مولار با (الف) در غیاب وراپامیل و (ب) در حضور ۲۵/۰ میکرو مولار وراپامیل.	۵۹	

عنوان	فهرست شکل‌ها	صفحه
شكل (۱۰-۲): نمودار تغییرات شدت جریان آندی وراپامیل ۵۰/۰ میکرومولار در بافر فسفاتی ۰/۰۲۷ مولار pH=۵/۰ در سطح MWCNT/GCE، بر حسب سرعت روش به کار گرفته شده در تکنیک ولتامتری پالس تفاضلی ارتفاع پالس: ۶۰ میلی ولت و مدت زمان اعمال پالس ۵۰ میلی ثانیه.....	۶۰	
شكل (۱۱-۲): نمودار حاصل از بررسی ارتفاع پالس در روش ولتامتری پالس تفاضلی برای اندازه ۵۰/۰ میکرومولار وراپامیل در محلول بافر فسفاتی ۰/۰۲۷ مولار با pH=۵/۰ در سطح MWCNT/GCE. سرعت روش mVs^{-1} ۱۰۰، مدت زمان اعمال پالس ۵۰ میلی ثانیه.....	۶۱	
شكل (۱۲-۲): نمودار حاصل از بررسی مدت زمان اعمال پالس در روش ولتامتری پالس تفاضلی برای اندازه ۵۰/۰ میکرومولار وراپامیل در محلول بافر فسفاتی ۰/۰۲۷ مولار با pH=۵/۰ در سطح MWCNT/GCE سرعت روش mVs^{-1} ۱۰۰، ارتفاع پالس ۸۰ میلی ولت.....	۶۲	
شكل (۱۳-۲): (الف) ولتاموگرام‌های چرخه‌ای محلول ۵۰/۰ میکرومولار وراپامیل در بافر فسفاتی ۰/۰۲۷ مولار با pH های مختلف در سطح MWCNT/GCE با سرعت روش mVs^{-1} ۱۰۰، (الف) تا (ج) به ترتیب: ۳/۰، ۴/۰، ۵/۰، ۶/۰، ۷/۰، ۸/۰ و ۹/۰. (ب) نمودار تغییرات پتانسیل دماغه آندی وراپامیل بر حسب pH.....	۶۳	
شكل (۱۴-۲): (الف) ولتاموگرام‌های چرخه‌ای وراپامیل با غلظت ۵۰/۰ میکرومولار در محلول بافر فسفاتی ۰/۰۲۷ مولار با pH=۵/۰ در سطح MWCNT/GCE در سرعت روش‌های مختلف: (الف تا ث) مربوط به سرعت‌های روش ۲۵، ۵۰، ۱۰۰، ۱۵۰ و ۲۰۰ میلی ولت برثانیه می‌باشد. (ب) نمودار تغییرات پتانسیل دماغه اکسایش وراپامیل بر حسب لگاریتم طبیعی سرعت روش پتانسیل.....	۶۶	
شكل (۱۵-۲): (الف) ولتاموگرام‌های چرخه‌ای با سرعت روش mVs^{-1} ۱۵۰ و (ب) ولتاموگرام‌های پالس تفاضلی با سرعت روش mVs^{-1} ۱۰۰ (ارتفاع پالس mVs^{-1} ۸۰ و مدت زمان اعمال پالس ۵۰ میلی ثانیه) در سطح MWCNT/GCE در محلول بافر فسفاتی ۰/۰۲۷ مولار با pH=۵/۰ و غلظت‌های مختلف وراپامیل: (الف) تا (ج) به ترتیب: ۷۰/۰، ۷۰/۰، ۵۰/۰، ۲۵/۰، ۱۰/۰، ۲/۵ میکرومولار و در غیاب وراپامیل.....	۷۰	
شكل (۱۶-۲): (الف): نمودار تغییرات شدت جریان اکسایش بر حسب غلظت وراپامیل در محدوده ۷۰/۰-۲/۵ میکرومولار به کمک ولتامتری چرخه‌ای با سرعت روش mVs^{-1} ۱۵۰. (ب): نمودار تغییرات شدت جریان اکسایش بر حسب غلظت وراپامیل در محدوده ذکر شده به کمک ولتامتری پالس تفاضلی با سرعت روش mVs^{-1} ۱۰۰ (ارتفاع پالس mVs^{-1} ۸۰) در سطح MWCNT/GCE در محلول بافر فسفاتی ۰/۰۲۷ مولار با pH=۵/۰.....	۷۰	
شكل (۱۷-۲): فرمول ساختاری دوپامین.....	۷۹	
شكل (۱۸-۲): (الف) ولتاموگرام‌های چرخه‌ای مربوط به MT/MCPE در غیاب دوپامین در بافر فسفاتی با pH=۷/۰ در بازه $-۰/۵$ - $+۰/۵$ ولت (۱)، $۱/۰$ mM دوپامین روی سطح CPE (۲) و MT/MCPE (۳). (ب) ولتاموگرام‌های مربوط به CPE در محلول $۱/۰$ mM متیل تیوراسیل (۱)، $۱/۰$ mM دوپامین (۲) و محلول حاوی $۱/۰$ mM متیل تیوراسیل و $۱/۰$ mM دوپامین (۳) در بافر فسفاتی ۰/۰۲۷ مولار با pH=۷/۰. سرعت روش mVs^{-1} ۱۰۰؛ پتانسیل انباشت، $-۰/۲$ ولت؛ زمان انباشت ۱۶۰ ثانیه؛ زمان استراحت ۲۰ ثانیه.....	۸۳	

عنوان	فهرست شکل‌ها	صفحة
شکل (۱۹-۲): (الف) ولتاموگرام‌های پالس تفاضلی مربوط به MT/MCPE در غیاب دوپامین در بافر فسفاتی با pH=۷/۰، ۰/۱۰ mM دوپامین روی سطح CPE (۲) و MT/MCPE (۳). (ب) ولتاموگرام‌های مربوط به MT در محلول mM ۰/۱۰ دتیل تیوراسیل (۱)، mM ۰/۱۰ دوپامین (۲) و محلول حاوی mM ۰/۱۰ متیل CPE در محلول mM ۰/۱۰ دوپامین (۳) در بافر فسفاتی pH=۷/۰ ۰/۲۷ مولار با سرعت روش تیوراسیل و mM ۰/۱۰ دوپامین (۳) در بافر فسفاتی pH=۷/۰ ۰/۲۷ مولار با سرعت روش ارتفاع پالس mVs^{-1} ۸۶.....	۸۶	
شکل (۲۰-۲): نمودار پارتوی اثرات استاندارد در طراحی پلاکت-برمن برای اندازه‌گیری دوپامین.....	۹۲	
شکل (۲۱-۲): نمودار احتمال نرمال در طراحی پلاکت-برمن برای اندازه‌گیری دوپامین.....	۹۲	
شکل (۲۲-۲): نمودار احتمال نرمال باقیمانده‌ها برای اندازه‌گیری دوپامین.....	۹۸	
شکل (۲۳-۲): نمودار باقیمانده‌ها بر حسب مقادیر پیش‌بینی شده برای اندازه‌گیری دوپامین.....	۹۹	
شکل (۲۴-۲): ولتاموگرام چرخه‌ای محلول ۵۰/۰ میکرومولار دوپامین در سطح MT/MCPE در محلول باfer فسفاتی pH=۷/۰ مولار با pH های مختلف از ۴/۰ تا ۹/۰ سرعت روش $s^{-1} mVs^{-1}$ ۱۰۰، پتانسیل انباشت: ۰/۲-۰/۲ ولت، زمان انباشت: ۱۶۰ ثانیه و زمان استراحت: ۲۰ ثانیه. ضمیمه: تغییرات دماغه پتانسیل اکسایش دوپامین را بر حسب pH نشان می‌دهد.....	۱۰۳	
شکل (۲۵-۲): نمودار تغییرات میزان شدت جریان آندی دوپامین بر حسب حجم باfer فسفاتی در pH=۷/۰ در محلول ۱۰/۰ میکرومولار دوپامین در سطح MT/MCPE به کمک روش ولتامتری پالس تفاضلی، سرعت روش $s^{-1} mVs^{-1}$ ۵۰، پتانسیل انباشت: ۰/۱-۰/۰ ولت، زمان انباشت: ۱۲۰ ثانیه و زمان استراحت: ۲۰ ثانیه.....	۱۰۴	
شکل (۲۶-۲): (الف) ولتاموگرام‌های چرخه‌ای MT در محلول باfer فسفاتی pH=۷/۰ مولار با pH=۷/۰ حاوی ۰/۱۰ میلی مولار دوپامین در سرعت روش‌های مختلف. به ترتیب از پایین به بالا سرعت‌های روش (الف) تا (ج): ۴۰، ۸۰، ۱۵۰، ۲۵۰ و ۳۰۰ میلی ولت بر ثانیه می‌باشند. ضمیمه الف: نمودار تغییرات بر حسب سرعت روش پتانسیل. (ب) نمودار تغییرات شدت جریان دماغه اکسایش دوپامین بر حسب جذر سرعت روش پتانسیل. (ج) نمودار تغییرات شدت جریان دماغه احیای ترکیب افزایشی (V) بر حسب سرعت روش پتانسیل. پتانسیل انباشت: ۰/۰-۰/۲ ولت، زمان انباشت: ۱۶۰ ثانیه و زمان استراحت: ۲۰ ثانیه.....	۱۰۶	
شکل (۲۷-۲): نمودار تافل به دست آمده از رسم لگاریتم شدت جریان اکسایش دوپامین ۰/۱۰ میلی مولار بر حسب تغییرات پتانسیل در محلول باfer فسفاتی pH=۷/۰ مولار با pH=۷/۰، حاصل از ولتاموگرام‌های چرخه‌ای در سرعت‌های روش ۴۰، ۸۰، ۱۵۰، ۲۵۰ و ۳۰۰ میلی ولت بر ثانیه.....	۱۰۷	
شکل (۲۸-۲): ولتاموگرام‌های پالس تفاضلی MT/MCPE در محلول باfer فسفاتی pH=۷/۰ مولار با pH=۷/۰ دوپامین ۱۰/۰ میکرومولار در زمان‌های انباشت (الف) ۰، (ب) ۴۰، (پ) ۸۰، (ت) ۱۶۰ و (ث) ۲۰۰ ثانیه پتانسیل انباشت ۰/۰-۰/۰ ولت؛ زمان استراحت ۲۰ ثانیه و سرعت روش mVs^{-1} ۵۰.....	۱۰۹	
شکل (۲۹-۲): (الف) کرونوكولوگرام‌های MT/MCPE در محلول باfer فسفاتی pH=۷/۰ مولار با pH=۷/۰ حاوی غلظت‌های متفاوت دوپامین (الف) غیاب، (ب) ۱۰/۰، (پ) ۱۵/۰، (ت) ۲۰/۰ و (ث) ۲۵/۰ میکرو مولار. پله پتانسیل آندی در ۰/۴۰ ولت نسبت به الکترود شاهد می‌باشد. پتانسیل انباشت: ۰/۰-۰/۲ ولت، زمان انباشت: ۱۶۰ ثانیه و زمان استراحت: ۲۰ ثانیه. (ب) نمودار تغییرات $t^{1/2} - Q$ - $t^{1/2}$ به دست آمده از کرونوكولوگرام‌های (ب-ث) بعد از کم کردن نقطه به نقطه از زمینه است. (ج) نمودار شب خطوط $t^{1/2} - Q$ بر حسب غلظت دوپامین.....	۱۱۱	

عنوان	فهرست شکل‌ها	صفحه
شكل (۳۰-۲): ولتاموگرام‌های پالس تفاضلی محلول بافر فسفاتی pH=۷/۰ ۰/۰۲۷ مولار با ۱۵/۰ میکرومولار مختلف دوپامین در منحنی‌های (الف) تا (خ): (الف) پتانسیل انباشت: ۰/۰۰، ۰/۰۵، ۰/۱۰، ۰/۱۵، ۰/۲۰، ۰/۴۰، ۰/۸۰، ۱/۰۰، ۱/۲۰ و ۱۵/۰ میکرومولار در سطح MT/MCPE. سرعت روبش ۶۰ mV s ⁻¹ دامنه پالس اعمالی ۸۰ میلی ولت و مدت زمان اعمال پالس ۴۰ ثانیه می‌باشد..... ۱۱۴		شکل (۳۰-۲)
شكل (۳۱-۲): نمودار تغییرات شدت جریان اکسایش بر حسب غلظت دوپامین در محدوده ۰/۰۰ تا ۱۵/۰ میکرومولار به کمک ولتامتری پالس تفاضلی. پتانسیل انباشت: ۰/۰۰-۰/۲۰ ولت، زمان انباشت: ۱۶۰ ثانیه و زمان استراحت: ۲۰ ثانیه و سرعت روبش ۶۰ mV s ⁻¹ دامنه پالس اعمالی ۸۰ میلی ولت و مدت زمان اعمال پالس ۴۰ ثانیه می‌باشد..... ۱۱۴		شکل (۳۱-۲)
شكل (۳۲-۲): فرمول ساختاری جم فیبروزیل..... ۱۲۳		
شكل (۳۳-۲): ولتاموگرام‌های چرخه‌ای (۱۲ چرخه) در محلول ۱۰۰/۰ µg/mL pH=۷/۰ تتراکلروآئوریک اسید در بافر فسفاتی ۵۰ mV s ⁻¹ سرعت روبش ۱۲۶		شکل (۳۳-۲)
شكل (۳۴-۲): تصاویر میکروسکوپ الکترونی روبشی الکترود (الف) کربن شیشه‌ای اصلاح نشده (ب) کربن شیشه اصلاح شده با نانو لوله کربنی چند دیواره و (پ) الکترود کربن شیشه‌ای اصلاح شده با نانو لوله‌های کربنی چند دیواره/نانو ذرات طلا..... ۱۲۶		شکل (۳۴-۲)
شكل (۳۵-۲): طیف EDX، مربوط به Au/MWCNT/GCE ۱۲۹		
شكل (۳۶-۲): (الف) ولتاموگرام‌های چرخه‌ای در محلول Au/MWCNT/GCE در محلول K ₄ Fe(CN) ₆ ۱/۰ mM pH=۷/۰ KCl ۰/۱۰ M در سرعت روبش‌های مختلف: (الف تا ج) مربوط به سرعت‌های روبش ۰/۲۵، ۰/۵۰، ۰/۷۵، ۰/۱۵۰ و ۰/۳۰۰ میلی ولت برثانیه می‌باشند. (ب) نمودار تغییرات شدت جریان دماغه آندی بر حسب جذر سرعت روبش. ۱۳۰		شکل (۳۶-۲)
شكل (۳۷-۲): (الف) نمودار نایکوئیست در سطح الکترودهای GC اصلاح نشده، MWCNT/GC و Au/MWCNT/GC در محلول ۵۰ میلی مولار پتانسیم هگزاسیانو فرات/پتانسیم هگزاسیانو فریت حاوی ۰/۵۰ M مولار پتانسیم کلرید، محدوده فرکانس ۰/۱ Hz تا ۱۰۰۰۰ Hz. (ب) نمایش طرح نموداری مدار معادل شده. ۱۳۲		شکل (۳۷-۲)
شكل (۳۸-۲): ولتاموگرام‌های (الف) چرخه‌ای و (ب) موج مربعی ۳۰/۰ میکرومولار جم فیبروزیل در محلول بافر فسفاتی pH=۷/۰ مولار با ۳/۰ pH در سطح الکترودهای کربن شیشه‌ای اصلاح نشده (۲)، اصلاح شده با نانو لوله‌های کربنی چنددیواره (۳) و اصلاح شده با نانو لوله‌های کربنی چنددیواره/نانو ذرات طلا (۴). منحنی (۱) در (الف و ب)، به ترتیب ولتاموگرام چرخه‌ای و موج مربعی الکترود کربن شیشه‌ای اصلاح شده با نانو لوله‌های کربنی چنددیواره/نانو ذرات طلا را در غیاب جم فیبروزیل نشان میدهد..... ۱۳۴		شکل (۳۸-۲)
شكل (۳۹-۲): نمودار تغییرات جریان آندی بر حسب pH باfer فسفاتی برای محلول ۳۰/۰ میکرومولار جم فیبروزیل در سطح الکترود Au/MWCNT/GC با روش ولتامتری موج مربعی جذب سطحی. خط چین: پس از اعمال زمان انباشت: ۰/۰۰ ثانیه، خط پر: بدون اعمال زمان انباشت، ارتفاع پالس ۵۰ میلی ولت و فرکانس ۵۰ هرتز..... ۱۳۸		شکل (۳۹-۲)

عنوان	فهرست شکل‌ها	صفحه
شکل (۴۰-۲): نمودار تغییرات میزان شدت جریان آندی بر حسب نوع الکتروولیت حامل در pH=۳/۰ حاوی ۳۰/۰ میکرومولار جم فیبروزیل در سطح Au/MWCNT/GCE با روش ولتاوگرامی موج مربعی. زمان انباشت: ۷۰ ثانیه، ارتفاع پالس ۵۰ میلی ولت و فرکانس ۵۰ هرتز.....	۱۳۹	
شکل (۴۱-۲): نمودار تغییرات میزان شدت جریان آندی جم فیبروزیل بر حسب حجم بافر فسفاتی ۰/۰۲۷ مولار در pH=۳/۰ حاوی ۳۰/۰ میکرومولار جم فیبروزیل در سطح Au/MWCNT/GCE با روش ولتاوگرامی موج مربعی. زمان انباشت: ۷۰ ثانیه، ارتفاع پالس ۵۰ میلی ولت و فرکانس ۵۰ هرتز.....	۱۴۰	
شکل (۴۲-۲): تاثیر مقدار MWCNT در سطح الکترود اصلاح شده روی شدت جریان دماغه جم فیبروزیل با غلظت ۳۰/۰ میکرومولار در محلول بافر فسفاتی pH=۳/۰ مولار با ۰/۰۲۷ زمان انباشت: ۷۰ ثانیه، ارتفاع پالس ۵۰ میلی ولت و فرکانس ۵۰ هرتز.....	۱۴۲	
شکل (۴۳-۲): تاثیر غلظت HAuCl ₄ مورد استفاده برای اصلاح الکترود روی شدت جریان دماغه جم فیبروزیل با غلظت ۳۰/۰ میکرومولار در محلول بافر فسفاتی pH=۳/۰ مولار با ۰/۰۲۷ با روش ولتاوگرامی موج مربعی. زمان انباشت: ۷۰ ثانیه، ارتفاع پالس ۵۰ میلی ولت و فرکانس ۵۰ هرتز.....	۱۴۴	
شکل (۴۴-۲): تاثیر تعداد چرخه‌های ترسیب نانو ذرات طلا بر روی شدت جریان دماغه جم فیبروزیل با غلظت ۳۰/۰ میکرومولار در محلول بافر فسفاتی pH=۳/۰ مولار با ۰/۰۲۷ با روش ولتاوگرامی موج مربعی. زمان انباشت: ۷۰ ثانیه، ارتفاع پالس ۵۰ میلی ولت و فرکانس ۵۰ هرتز.....	۱۴۵	
شکل (۴۵-۲): تاثیر (الف) پتانسیل و (ب) زمان انباشت بر روی شدت جریان دماغه جم فیبروزیل با غلظت ۳۰/۰ میکرومولار در محلول بافر فسفاتی pH=۳/۰ مولار با ۰/۰۲۷ با روش ولتاوگرامی موج مربعی جذب سطحی در سطح Au/MWCNT/GCE. ارتفاع پالس ۵۰ میلی ولت و فرکانس ۵۰ هرتز.....	۱۴۶	
شکل (۴۶-۲): نمودار حاصل از بررسی ارتفاع پالس در روش ولتاوگرامی موج مربعی جذب سطحی برای اندازه گیری ۳۰/۰ میکرومولار جم فیبروزیل در محلول بافر فسفاتی pH=۳/۰ مولار با ۰/۰۲۷ در سطح Au/MWCNT/GCE. زمان انباشت: ۵۰ ثانیه و فرکانس ۵۰ هرتز.....	۱۴۸	
شکل (۴۷-۲): (الف) نمودار حاصل از بررسی فرکانس موج مربعی در روش ولتاوگرامی موج مربعی جذب سطحی (ب) ولتاوگرام‌های موج مربعی برای اندازه گیری ۳۰/۰ میکرومولار جم فیبروزیل در محلول بافر فسفاتی pH=۳/۰ در سطح Au/MWCNT/GCE. زمان انباشت: ۵۰ ثانیه و ارتفاع پالس ۵۰ میلی ولت.	۱۴۹	
شکل (۴۸-۲): (الف) ولتاوگرام موج مربعی برهمه سازی جذب سطحی محلول ۳۰/۰ میکرومولار جم فیبروزیل در سطح Au/MWCNT/GCE در محلول بافر فسفاتی با pH های مختلف از ۲۰ تا ۶۰ زمان انباشت: ۷۰ ثانیه، ارتفاع پالس ۵۰ میلیولت و فرکانس ۵۰ هرتز. (ب) تغییرات پتانسیل دماغه اکسایش جم فیبروزیل را بر حسب pH نشان میدهد.....	۱۵۱	
شکل (۴۹-۲): نمودار تغییرات شدت جریان دماغه اکسایش ۳۰/۰ میکرومولار جم فیبروزیل در محلول بافر فسفاتی pH=۳/۰ مولار با ۰/۰۲۷، بر حسب جذر سرعت روش پتانسیل در محدوده ۴۰ تا ۲۰۰ میلی ولت بر ثانیه به کمک روش ولتاوگرامی چرخه‌ای در سطح الکترود Au/MWCNT/GC	۱۵۳	

عنوان	فهرست شکل‌ها	صفحه
شكل (۵۰-۲): (الف) ولتاموگرام‌های چرخه‌ای در سطح Au/MWCNT/GCE در محلول بافر فسفاتی pH=۳/۰ مolar با دارای ۳۰/۰ میکرومولار جم فیبروزیل در سرعت روش‌های مختلف: (الف تا ج) مربوط به سرعت‌های روش ۴۰، ۵۰، ۸۰، ۱۰۰، ۱۲۵ و ۲۰۰ میلی ولت برآنیه میباشند. (ب) نمودار تغییرات پتانسیل دماغه اکسایش جم فیبروزیل بر حسب لگاریتم طبیعی سرعت روش پتانسیل.....		۰/۰۲۷
شكل (۵۱-۲): ولتاموگرام‌های موج مربعی در سطح Au/MWCNT/GCE، در محلول بافر فسفاتی pH=۳/۰ مolar با حاوی جم فیبروزیل ۳۰/۰ میکرومولار در زمانهای انباشت (الف-ج) ۰/۰، ۱۵/۰، ۲۵/۰، ۳۵/۰ و ۵۰/۰ ثانیه بدون اعمال پتانسیل انباشت، ارتفاع پالس ۵۰ میلی ولت، فرکانس ۵۰ هرتز.....		۰/۰۲۷
شكل (۵۲-۲): (الف) کرونوكولوگرام‌های Au/MWCNT/GCE در محلول بافر فسفاتی با pH=۳/۰ حاوی غلظت‌های متفاوت جم فیبروزیل (الف) غیاب ، (ب) ۱۰/۰، (پ) ۲۰/۰، (ت) ۴۵/۰ و (ث) ۶۰/۰ میکرو مولار. پله پتانسیل آندی در ۱/۴۵ ولت نسبت به الکترود شاهد میباشد. زمان انباشت: ۵۰ ثانیه و زمان استراحت: ۱۰ ثانیه. (ب) نمودار تغییرات $Q - t^{1/2}$ به دست آمده از کرونوكولوگرام های (ب-ث) بعد از کم کردن نقطه به نقطه از زمینه است. (ج) نمودار شبیه خطوط $Q - t^{1/2}$ بر حسب غلظت جم فیبروزیل.....		۱۵۴
شكل (۵۳-۲): ولتاموگرام‌های موج مربعی جذب سطحی در سطح Au/MWCNT/GCE در محلول بافر فسفاتی pH=۳/۰ مolar با دارای غلظت‌های مختلف جم فیبروزیل از ۱۵/۰ تا ۴۵/۰ میکرو مولار. زمان انباشت: ۵۰ ثانیه، زمان استراحت: ۱۰ ثانیه، ارتفاع پالس ۵۰ میلی ولت و فرکانس ۴۰ هرتز.....		۰/۰۲۷
شكل (۵۴-۲): نمودار تغییرات شدت جریان اکسایش بر حسب غلظت جم فیبروزیل در محدوده ۰/۰ تا ۴۵/۰ میکرومولار در بافر فسفاتی pH=۳/۰ مolar با pH=۳/۰ به کمک ولتامتری موج مربعی جذب سطحی در سطح Au/MWCNT/GCE. زمان انباشت: ۵۰ ثانیه و زمان استراحت: ۱۰ ثانیه، ارتفاع پالس ۵۰ میلی ولت و فرکانس ۴۰ هرتز.....		۱۵۵
شكل (۵۵-۲): (الف) نمودار نایکوئیست در سطح الکترود Au/MWCNT/GC در غیاب و حضور غلظت‌های فراینده جم فیبروزیل از ۱۰/۰ تا ۴۵/۰۰ میکرو مولار در محلول بافر فسفاتی با pH=۳/۰ ولت و فرکانس ۱۰۰۰۰۰ تا ۱/۰ هرتز. زمان انباشت ۵۰ ثانیه و زمان استراحت ۱۰ ثانیه. (ب) نمایش طرح نموداری مدار معادل شده.....		۱۶۲
شكل (۵۶-۲): نمودار تغییرات معکوس مقاومت در برابر انتقال بار بر حسب غلظت جم فیبروزیل در محدوده ۰/۰-۴۵/۰۰ میکرو مولار در بافر فسفاتی pH=۳/۰ مolar با Au/MWCNT/GC در سطح الکترود با روش امپدیمتری.....		۱۶۳
شكل (۵۷-۲) فرمول ساختاری آلیزارین قرمز S.....		۱۷۶
شكل (۵۸-۲): الکتروپلیمریزاسیون MWCNT-ARS در سطح الکترود کربن شیشه در ۱۰/۰ میلی لیتر بافر فسفاتی pH=۷/۰ مolar حاوی ۶/۰ میلی گرم ARS و ۸/۰ میلی گرم MWCNT، سرعت روش ۱۰۰ میلی ولت بر ثانیه.....		۱۷۸
شكل (۵۹-۲): تصاویر میکروسکوپ الکترونی روشنی الکترونی کربن شیشه‌ای اصلاح شده با (الف) PARS (ب) MWCNT-PARS		۱۷۹

عنوان	فهرست شکل‌ها	صفحة
شکل (۶۰-۲): (الف) ولتاموگرامهای چرخه‌ای MWCNT-PARS/GCE در محلول $K_4Fe(CN)_6$ ۱/۰ mM حاوی ۰/۱۰ M KCl در سرعت روبش‌های مختلف: (الف تا ج) مربوط به سرعت‌های روبش ۲۵، ۵۰، ۷۵، ۱۰۰، ۱۵۰، و ۲۰۰ میلی ولت بر ثانیه میباشند. (ب) نمودار تغییرات شدت جریان دماغه آندی بر حسب جذر سرعت روبش.....	۱۸۰	
شکل (۶۱-۲): (الف) نمودار نایکوئیست در سطح الکترودهای GC اصلاح نشده، PARS/GC و PARS/GC در محلول ۰/۵ میلار پتاسیم هگزاسیانو فرات/پتاسیم هگزاسیانو فریت حاوی ۰/۵ M مولار پتاسیم کلرید، محدوده فرکانس ۱۰۰۰۰ Hz تا ۱۰/۰ Hz. (ب) نمایش طرح نموداری مدار معادل شده.....	۱۸۱	
شکل (۶۲-۲): (الف) ولتاموگرامهای چرخه‌ای MWCNT-PARS/GCE در محلول ۰/۵۰ M مولار H_2SO_4 در سرعت روبش‌های مختلف: (الف تا ث) مربوط به سرعت‌های روبش ۵۰، ۱۰۰، ۱۵۰، ۲۰۰ و ۲۵۰ میلی ولت بر ثانیه میباشند. (ب) نمودار تغییرات شدت جریان آندی بر حسب سرعت اسکن.....	۱۸۳	
شکل (۶۳-۲): ولتاموگرامهای (الف) چرخه‌ای و (ب) پالس تفاضلی ۲۰/۰ میکرومولار جم فیبروزیل در محلول بافر استاتی ۰/۱۰ M مولار با $pH = ۴/۵$ در سطح الکترودهای کربن شیشه‌ای اصلاح نشده (۲)، اصلاح شده با PARS (۳) و اصلاح شده با فیلم MWCNT-PARS (۴). ولتاموگرام (۱) در (الف و ب) بهترین، مربوط به ولتاموگرام چرخه‌ای و پالس تفاضلی الکترود کربن شیشه‌ای اصلاح شده با فیلم MWCNT-PARS در غیاب جم فیبروزیل میباشد. سرعت روبش در ولتامتری چرخه‌ای ۱۰۰ میلی ولت بر ثانیه. برای ولتاموگرام پالس تفاضلی ارتفاع پالس ۷۰ میلی ولت، مدت زمان اعمال پالس ۲۰ میلی ثانیه و سرعت روبش ۵۰ میلی ولت بر ثانیه.....	۱۸۶	
شکل (۶۴-۲): نمودار تغییرات جریان آندی بر حسب pH برای محلول $10/0$ میکرومولار جم فیبروزیل. تمامی اندازه گیری‌ها در محلول ۰/۰۲۷ M مولار بافر فسفاتی و در سطح الکترود کربن شیشه‌ای اصلاح شده با MWCNT-PARS. ارتفاع پالس ۵۰ میلی ولت و مدت زمان اعمال پالس ۵۰ میلی ثانیه و سرعت روبش ۵۰ میلی ولت بر ثانیه.....	۱۸۹	
شکل (۶۵-۲): نمودار تغییرات میزان شدت جریان آندی بر حسب نوع بافر در $pH = ۴/۵$ در محلول $10/0$ میکرومولار جم فیبروزیل در سطح MWCNT-PARS/GCE. ارتفاع پالس ۵۰ میلی ولت و مدت زمان اعمال پالس ۵۰ میلی ثانیه و سرعت روبش ۵۰ میلی ولت بر ثانیه.....	۱۹۱	
شکل (۶۶-۲): نمودار تغییرات میزان شدت جریان آندی جم فیبروزیل بر حسب حجم بافر استاتی ۰/۱۰ M مولار در محلول $pH = ۴/۵$ در محلول $10/0$ میکرومولار جم فیبروزیل در سطح MWCNT-PARS/GCE به روش ولتامتری پالس تفاضلی. ارتفاع پالس ۵۰ میلی ولت و مدت زمان اعمال پالس ۵۰ میلی ثانیه و سرعت روبش ۵۰ میلی ولت بر ثانیه.....	۱۹۲	
شکل (۶۷-۲): تاثیر مقدار MWCNT مورد استفاده در اصلاح الکترود روی شدت جریان دماغه جم فیبروزیل با غلظت ۱۰/۰ M میکرومولار در محلول بافر استاتی با $pH = ۴/۵$ با روش ولتامتری پالس تفاضلی. ارتفاع پالس ۵۰ میلی ولت و مدت زمان اعمال پالس ۵۰ میلی ثانیه و سرعت روبش ۵۰ میلی ولت بر ثانیه.....	۱۹۴	
شکل (۶۸-۲): تاثیر مقدار ARS مورد استفاده در اصلاح الکترود روی شدت جریان دماغه جم فیبروزیل با غلظت ۱۰/۰ M میکرومولار در محلول بافر استاتی با $pH = ۴/۵$ با روش ولتامتری پالس تفاضلی. ارتفاع پالس ۵۰ میلی ولت و مدت زمان اعمال پالس ۵۰ میلی ثانیه و سرعت روبش ۵۰ میلی ولت بر ثانیه.....	۱۹۵	

عنوان	فهرست شکل‌ها	صفحة
شکل (۶۹-۲): تاثیر تعداد چرخه‌های تشکیل پلیمر بر روی شدت جریان دماغه جم فیبروزیل با غلظت ۱۰/۰ میکرومولار در محلول بافر استات ۰/۱۰ مولار با pH=۴/۵ با روش ولتاوتمتری پالس تفاضلی. ارتفاع پالس ۵۰ میلی ولت و مدت زمان اعمال پالس ۵۰ میلی ثانیه و سرعت روبش ۵۰ میلی ولت بر ثانیه.....۱۹۶		
شکل (۷۰-۲): تاثیر سرعت روبش بر روی شدت جریان دماغه جم فیبروزیل با غلظت ۱۰/۰ میکرومولار در محلول بافر استات ۰/۱۰ مولار با pH=۴/۵ با روش ولتاوتمتری پالس تفاضلی در سطح MWCNT-PARS/GCE ارتفاع پالس ۵۰ میلی ولت و مدت زمان اعمال پالس ۵۰ میلی ثانیه.....۱۹۸		
شکل (۷۱-۲): نمودار حاصل از بررسی ارتفاع پالس در روش ولتاوتمتری پالس تفاضلی برای اندازه گیری ۱۰/۰ میکرومولار جم فیبروزیل در محلول بافر استات ۰/۱۰ مولار با pH=۴/۵ در سطح MWCNT-PARS/GCE سرعت روبش ۵۰ میلی ولت بر ثانیه، مدت زمان اعمال پالس ۵۰ میلی ثانیه.....۱۹۹		
شکل (۷۲-۲): نمودار حاصل از بررسی مدت زمان اعمال پالس در روش ولتاوتمتری پالس تفاضلی برای اندازه گیری ۱۰/۰ میکرومولار جم فیبروزیل در محلول بافر استات ۰/۱۰ مولار با pH=۴/۵ در سطح MWCNT-PARS/GCE سرعت روبش ۵۰ میلی ولت بر ثانیه، ارتفاع پالس ۷۰ میلی ولت.....۲۰۰		
شکل (۷۳-۲): (الف) ولتاوگرام پالس تفاضلی محلول ۱۰/۰ میکرومولار جم فیبروزیل در سطح MWCNT-PARS/GCE در محلول بافر استاتی با pH های مختلف از ۳/۵ تا ۵/۵ سرعت روبش ۵۰ میلی ولت بر ثانیه. (ب) تغییرات پتانسیل دماغه اکسایش جم فیبروزیل را بر حسب pH نشان میدهد.....۲۰۲		
شکل (۷۴-۲): نمودار تغییرات شدت جریان دماغه اکسایش ۱۰/۰ میکرومولار جم فیبروزیل در محلول بافر استاتی ۰/۱۰ مولار با pH=۴/۵ بر حسب جذر سرعت روبش پتانسیل در محدوده ۲۰۰ تا ۲۰۰ میلی ولت بر ثانیه به روش ولتاوتمتری چرخه‌ای در سطح MWCNT-PARS/GCE		
شکل (۷۵-۲): (الف) ولتاوگرام‌های چرخه‌ای در سطح MWCNT-PARS/GCE در محلول بافر استاتی ۰/۱۰ مولار با pH=۴/۵ دارای ۲۰/۰ میکرومولار جم فیبروزیل در سرعت روبش‌های مختلف: (الف تا ج) مربوط به سرعت‌های روبش ۲۰، ۴۰، ۶۰، ۱۰۰، ۱۲۰ و ۲۰۰ میلی ولت بر ثانیه می‌باشند. (ب) نمودار تغییرات پتانسیل دماغه اکسایش جم فیبروزیل بر حسب لگاریتم طبیعی سرعت روبش پتانسیل.....۲۰۴		
شکل (۷۶-۲): (الف) کرونوامپروگرام‌های MWCNT-PARS/GCE در محلول بافر استات با pH=۴/۵ حاوی غلظت‌های متفاوتی از جم فیبروزیل: (الف) غیاب، (ب) ۲/۰، (پ) ۵/۰، (ت) ۱۰/۰ و (ث) ۲۰/۰ میکرومولا. پله پتانسیل آندی برابر با ۱/۴۰ ولت نسبت به الکترود شاهد می‌باشد. (ب) نمودار تغییرات $t^{-1/2}$ - I ، مربوط به کرونوامپروگرام‌های (ب-ث) قسمت (الف) است. (ج) نمودار شیب خطوط $t^{-1/2}$ - I بر حسب غلظت جم فیبروزیل.....۲۰۵		
شکل (۷۷-۲): ولتاوگرام‌های جم فیبروزیل در محلول بافر استات با pH=۴/۵ در سطح الکترود MWCNT-PARS/GC در غلظت‌های مختلف. سرعت روبش ۵۰ میلی ولت بر ثانیه، ارتفاع پالس ۷۰ میلی ولت و مدت زمان اعمال پالس ۲۰ میلی ثانیه.....۲۰۸		

عنوان	فهرست شکل‌ها	صفحه
شکل (۷۸-۲): نمودار تغییرات شدت جریان اکسایش بر حسب غلظت جم فیبروزیل در محدوده‌ی ۱/۰ تا ۲۲/۰ میکرومولار در بافر استاتی ۰/۱۰ مولار با $pH = ۴/۵$ به کمک ولتاوتمتری پالس تفاضلی. سرعت روش ۵۰ میلی ولت بر ثانیه، ارتفاع پالس ۷۰ میلی ولت و مدت زمان اعمال پالس ۲۰ میلی ثانیه.	۲۰۹	۲

عنوان	فهرست طرح‌ها	صفحه
طرح (۱-۲): فرایند الکترودی پیشنهادی و راپامیل در سطح MWCNT/GCE	۶۴	
طرح (۲-۲): مکانیسم اکسایش دوپامین در سطح CPE	۸۶	
طرح (۳-۲): مکانیسم پیشنهادی برای واکنش کلی دوپامین در سطح MT/MCPE	۸۶	
طرح (۴-۲): مکانیسم پیشنهادی برای واکنش الکترودی روی سطح MT/MCPE	۱۰۱	
طرح (۵-۲): فرآیند الکتروشیمیایی پیشنهادی برای اکسایش جم فیبروزیل	۱۵۲	

فهرست عالیم و اختصارات

معادل فارسی	معادل انگلیسی	علامت یا اختصارات
انحراف استاندارد.....	(Standard deviation).....	SD.....
الکترود خمیر کربن.....	(Carbon paste electrode).....	CPE.....
الکترود کربن شیشه.....	(Glassy carbon electrode).....	GCE.....
الکترود کربن شیشه اصلاح شده با شده با نانولوله های کربنی چند دیواره(Glassy carbon modified with multiwalled carbon nanotube).....	MWCNT/GCE.....
الکترود کربن شیشه اصلاح شده با شده با نانولوله های کربنی چند دیواره و نانوذرات طلا.....(Glassy carbon modified with multiwalled carbon nanotube and gold nano particles)....	Au/MWCNT/GCE.....
الکترود کربن شیشه اصلاح شده با نانولوله های کربنی چند دیواره و پلی آلیزارین قرمز.....(Glassy carbon modified with multi-walled carbon nanotube and poly alizarin red S)..	MWCNT-PARS/GCE....
الکترود خمیر کربن اصلاح شده با متیل تیوراسیل.....(Carbon paste electrode modified with methylthiouracil).....	MT/MCPE.....
امپدانس واربورگ.....	(Warburg impedance).....	Z _W
پتانسیل فرمال	(Formal potential).....	E' ₀
پتانسیل دماغه	(Peak potential).....	E _p
پتانسیل جران کننده مستقیم	(DC offset potential)	E _{dc}
تابع مطلوبیت	(Desirability function).....	D.....
ثابت سرعت انتقال بار ناهمگن	(Heterogeneous electron transfer rate constant).....	k ₀
جريان دماغه	(Peak current).....	i _p
حد تشخیص	(Limit of detection).....	LOD.....
سرعت روش پتانسیل	(Potential scan rate)	v.....
مساحت سطح	(Surface area)	A.....
ضریب نفوذ	(Diffusion coefficient).....	D.....
طراحی پلاکت-برمن	(Plackett – Burman design).....	PB design.....
طراحی مکعب مرکزی مرکز وجوه پر	(Central composite face- centered design)	CCF.....
طیف بینی امپدانس الکتروشیمیایی	(Electrochemical impedance spectroscopy).....	EIS.....
طیف سنجی پراش انرژی اشعه ایکس	(Energy dispersive x-ray spectroscopy).....	EDX.....
عنصر فاز ثابت	(Constant phase element).....	CPE.....
غلظت	(Concentration).....	C.....
غلظت سطح گونه های الکتروفعال	(Surface concentration of electro active species).....	Γ
کولن	(Coulomb).....	C.....
مقاومت انتقال بار	(Resistance to charge transfer).....	R _{ct}
مقاومت محلول	(Solution resistance).....	R _s

فهرست علایم و اختصارات

معادل فارسی	معادل انگلیسی	علامت یا اختصارات
میکروسکوپ الکترونی رویشی	(Scanning electron microscopy)	SEM
ناحیه خطی	(Linear dynamic range)	LDR
ولتامتری چرخه‌ای	(Cyclic voltammetry)	CV
ولتامتری پالس تفاضلی جذب سطحی	(Adsorptive stripping differential pulse voltammetry)	Ads-DPV
ولتامتری موج مربعی جذب سطحی	(Adsorptive stripping square wave voltammetry)	Ads-SWV

فصل اول - مقدمه و تئوري

۱-۱ مقدمه

نظر به اهمیت و نقش موثر بسیاری از ترکیبات بیولوژیکی و دارویی در فرایندهای متابولیتی و مصارف درمانی گستردۀ آن‌ها، ارائه روش‌های سریع، ساده و دقیق برای اندازه‌گیری این ترکیبات از اهمیت فوق العاده‌ای برخوردار است. الکتروشیمی یکی از مهمترین شاخه‌های شیمی تجزیه است که کاربردهای عملی فراوانی در زمینه‌های مختلف پزشکی، همچون: تشخیص عوامل بیماریزا، اندازه‌گیری داروها و متابولیت‌های آن‌ها، ارزیابی و اندازه‌گیری گونه‌های آزمایشی هدف موجود در نمونه‌های بیولوژیکی را دارد. به دلیل مزایایی، از قبیل: حساسیت، گزینش‌پذیری بالا، استفاده آسان، آماده‌سازی سریع، مقرن به صرفه بودن و قابلیت کوچک‌سازی، توجه زیادی به سمت ساخت و طراحی حسگرهای حسگرهای الکتروشیمیایی^۱ به منظور اندازه‌گیری ترکیبات مهم بیولوژیکی و دارویی با استفاده از فنون الکتروشیمیایی معطوف شده است [۵-۱].

۱-۲ الکترودهای اصلاح شده شیمیایی^۲ (CMEs)

حسگرهای شیمیایی، متشکل از یک عنصر انتقال دهنده علائم پوشیده از یک لایه شناساگر شیمیایی یا زیستی می‌باشند و در اثر برهم‌کنش گونه آزمایشی هدف با این لایه، تغییرات شیمیایی بوجود آمده به علامت الکتریکی تبدیل می‌گردد. حسگرهای الکتروشیمیایی، زیر شاخه مهمی از حسگرهای شیمیایی می‌باشند که در آن‌ها، از یک الکترود به عنوان عنصر انتقال دهنده علائم استفاده می‌شود که علامت تجزیه‌ای^۳ را به صورت پتانسیل الکتریکی یا شدت جریان ظاهر می‌نماید [۶]. برای توسعه موفق حسگرهای الکتروشیمیایی، تقویت علامت تجزیه ای و کاهش نویه^۴ برای تعیین و اندازه‌گیری گونه آزمایشی هدف در تجزیه بیوشیمیایی بسیار

^۱ Electrochemical biosensors

^۲ Chemically modified electrodes

^۳ Signal

^۴ Noise

حائز اهمیت است. از آنجایی که سینتیک مبادله الکترون برخی از گونه‌های آزمایشی مهم بیولوژیکی و دارویی در سطح الکترودهای معمولی بسیار کند است، انجام این فرآیندها ملزم به اعمال اضافه ولتاژ زیادی می‌باشد. از اینرو، بهبود خواص سطح الکترودهای معمولی در نتیجه تثبیت و یا وارد کردن سنجیده اصلاح‌گرهای مناسب، به عنوان راهکاری مناسب برای کاهش اضافه ولتاژ و غلبه بر سینتیک کند بسیاری از فرایندهای الکترودی انجام می‌پذیرد [۷]. هم‌چنان، می‌توان از این الکترودهای اصلاح شده برای جدا کردن علامت‌های الکتروتجزیه‌ای گونه‌های آزمایشی هدف متعدد موجود در یک نمونه بیولوژیکی واحد که در سطح الکترودهای اصلاح نشده، در پتانسیل‌های نزدیک به یکدیگر بوقوع می‌پیوندد، بهره جست و بدین ترتیب به اندازه‌گیری همزمان چندین گونه آزمایشی در یک محلول واحد دست یافت [۸]. در واقع، اصلاح‌گرهای انتقال الکترون بین سطح الکترود و گونه‌های آزمایشی مورد نظر را تسهیل کرده و باعث افزایش حساسیت و بهبود میزان حد تشخیص^۱ در اندازه‌گیری‌های الکتروشیمیایی آن‌ها می‌شوند [۷].

یک الکترود اصلاح شده شیمیایی ایده آل دارای ویژگی‌های زیر است [۹]:

- ۱- سادگی و سهولت تهیه: مواد خامی که برای اصلاح الکترود مورد استفاده قرار می‌گیرند باید ارزان بوده و مراحل آماده سازی سریع باشد.
- ۲- پایداری مکانیکی و شیمیایی: الکترودها باید در مراحل مختلف آماده سازی و نگهداری مقاوم باشند.
- ۳- بی اثر بودن الکتروشیمیایی: گستره پتانسیل الکتروشیمیایی باید برای آزمایش تجزیه ای مورد نظر مناسب باشد.

^۱ Limit of detection (LOD)

۴- توانایی تمایز قائل شدن بین اجزای بافت: اجزای بافت نباید تولید سیگنال تجزیه‌ای کنند، همچنین نباید با سیگنال گونه هدف تداخل داشته باشند.

۵- حساسیت بالا: امکان رسیدن به حساسیت بالا از طریق پیش تغليظ و یا الکتروکاتالیز وجود دارد.

۶- قابلیت استفاده مجدد: باید قابلیت انجام تعداد محدودی آنالیز، قبل از پاک کردن و تجدید سطح CME وجود داشته باشد.

۷- پاکسازی و تولید مجدد: این امر باید به راحتی و با تکرارپذیری خوب صورت پذیرد.

به‌طور کلی، فرایندهای الکترودی روی سطح الکترودهای اصلاح شده شامل چیزی بیش از انتقال الکترون در یک محدوده و مرز کاملاً شناخته شده است. برای درک محدودیت‌های الکترودهای اصلاح شده و به حداقل رساندن مزایای آن‌ها، مکانیسم عملکردشان باید به‌خوبی شناخته شده باشد.

۱-۳-۱ طراحی الکترود اصلاح شده شیمیایی

هنگام طراحی الکترود اصلاح شده برای یک هدف خاص، باید به هر دو جنبه شیمیایی و انتقال الکترون توجه شود. CME‌ها در حالت کلی مسئول القای تاثیرات شیمیایی و الکتروشیمیایی موردنظر در حین انجام تجزیه می‌باشند.

۱-۳-۲ آماده سازی الکترود اصلاح شده

بسته به اینکه حسگر بر اساس کدامیک از فرایندهای فیزیکی یا شیمیایی عمل خواهد کرد، مراحل و شرایط آماده سازی الکترود باید تعریف شود. بنابراین، نوع بستر، روش اصلاح بستر و خواص الکترود در این مرحله حائز اهمیت است.

۱-۳-۱ نوع بستر

بستر الکترودی به سطح صاف و همواری اطلاق می‌گردد که اصلاح‌گر بر روی آن قرار می‌گیرد و در حالت اصلاح نشده به عنوان الکترود به کار می‌رود.

در سال‌های گذشته الکترودهای قطره جیوه به عنوان بستر مورد استفاده قرار می‌گرفتند، اما این الکترودها دارای معايیت نظیر محدودیت‌های مکانیکی و همچنین محدود بودن پنجره آندی می‌باشند. سایر الکترودهای جامد، مانند: طلا، پلاتین و کربن (بهویزه پیروولیتیک گرافیت) امروزه کاربرد بیشتری دارند. علاوه بر الکترودهای ذکر شده، الکترودهای کربنی (مانند کربن شیشه مشبك^۱، کربن شیشه^۲، فیبر کربن، پارچه کربن^۳) امروزه در تهیه بسیاری از الکترودهای اصلاح شده به کار می‌روند.

۱-۳-۲ اصلاح کردن بستر

این مسئله بدون شک، در مورد الکترودهای اصلاح شده شیمیایی، بیشترین توجه را به خود جلب کرده است. بدون توسعه روش‌های آماده سازی ساده و تکرارپذیر، مطالعه CME در حد مطالعه دانشگاهی باقی می‌ماند. اما خوشبختانه شیوه تهیه آسان و عملی این الکترودها به وفور در مقالات ارائه شده است. همان‌طور که قبل‌اشاره شد، الکترودها باید به سادگی تهیه شوند و ارزان هم باشند، همچنین باید خواص فیزیکی و شیمیایی دلخواه را نشان دهند و از ثابت سرعت انتقال الکترون مناسبی برای فرآیند الکترودی گونه هدف برخوردار باشند.

روش‌های آماده سازی CME‌ها به‌طور کلی در چهار دسته اصلی قرار می‌گیرند که همه این موارد شامل افزودن یک اصلاح‌گر، یا یک جزء فعال شیمیایی به بستری است که در حالت عادی از نظر شیمیایی غیرفعال است [۹]. این چهار دسته عبارتند از:

^۱ Reticulated vitreous carbon

^۲ Glassy carbon electrode (GCE)

^۳ Carbon clothes

۱- آماده سازی الکترودهای مرکب^۱

CME هایی که در آنها اصلاحگر به طور فیزیکی با مواد الکترودی مخلوط می شود در این دسته قرار می گیرند، در واقع در این روش اصلاح از طریق توده الکترود انجام می پذیرد.

متداول ترین مثال این دسته شامل الکترودهای خمیر کربن است که معمولاً در آنها اصلاحگر در حین مرحله آماده سازی الکترود با درصد وزنی / وزنی مشخص به مخلوط گرافیت / روغن خمیر کننده، افزوده می شود [۱۰-۱۲]. تهیه این الکترودها بسیار ساده و ارزان است. سطح این الکترودها به راحتی قابل تجدید می باشد و در نتیجه مشکلات ناشی از اثرات حافظه به جا مانده از جذب سطحی برگشت ناپذیر آنالیت را که در دیگر الکترودهای اصلاح شده می توان با آن مواجه بود در این الکترودها وجود ندارد. بزرگترین مشکل الکترودهای شیمیایی اصلاح شده مرکب از این نوع مربوط به شسته شدن اصلاحگر از سطح الکترود می باشد چراکه نمی توان انتظار داشت اصلاحگرهای مورد استفاده کاملاً در حلal های متداول غیر محلول باشند.

۲- جذب سطحی شیمیایی^۲

جذب سطحی شیمیایی بیشترین کاربرد را در مورد اصلاحگرهایی دارد که قابلیت حل شدن در حلal گونه هدف را نداشته باشند. این نوع اصلاحگرهای معمولاً در حلal های فرار قابل حل هستند و به کمک پیپت روی سطح الکترود قرار داده می شوند. سپس حلal تبخیر شده و اصلاحگر روی سطح باقی می ماند. در این حالت توجه به این نکته ضروری است که اصلاحگر باید همه سطح را به منظور ایجاد یک پوشش یکنواخت در برگیرد [۹].

روش جذب سطحی شیمیایی، به طور گسترده برای پوشاندن سطح الکترود با پلیمر [۱۳-۱۵]

^۱ Composite electrodes

^۲ Chemisorption

و بسیاری از مواد آلی [۱۶] و معدنی [۱۷, ۱۸] مورد استفاده قرار گرفته شده است.

الکترودهایی که به این ترتیب تهیه می‌شوند اگر به تدریج در دمای اتاق خشک شوند پایداری مکانیکی بالاتری از خود نشان می‌دهند. الکترودهای تهیه شده به این روش نیز از مشکلی مشابه با الکترودهای مرکب رنج می‌برند و در این حالت نیز اصلاح‌گر ممکن است بتدیر از سطح الکترود شسته و پاک شود [۱۳]. البته پایداری در این نوع الکترودهای اصلاح شده بستگی به نوع اصلاح‌گر و بستر به کار برده شده دارد.

نقص دیگر هر دو روش آماده سازی الکترود مرکب و جذب سطحی شیمیایی شرح داده شده برای اصلاح الکترود، این است که پوشاندن سطح به طور یکنواخت به راحتی امکان‌پذیر نیست و بنابراین تهیه الکترودهای تکرار‌پذیر با استفاده از این روش‌ها با مشکل مواجه خواهد بود.

۳- پیوندهای کووالانسی

اصلاح الکترود از طریق ایجاد پیوندهای کووالانسی راه حلی برای رفع این مشکلات است.

با استفاده از این فرآیند، اصلاح‌گر از طریق برقراری پیوندهای کووالانسی به طور مستقیم [۱۹] یا به کمک حدوات [۲۰, ۲۱] به بستر متصل می‌شود.

۴- پلیمریزاسیون در محل^۱

روش دیگر برای آماده سازی الکترودهای اصلاح شده شیمیایی تشکیل فیلم‌های پلیمری است. به طور کلی، منومر در محلول متحمل واکنش شده و پوشش پلیمری روی سطح الکترود ایجاد می‌کند. از میان روش‌های متفاوت ایجاد پوشش پلیمری روش‌های الکتروشیمیایی به دلیل امکان کنترل ضخامت فیلم پلیمری، کوتاه بودن زمان تشکیل پلیمر و سادگی بیشتر از اهمیت بهسزایی برخوردار است [۲۲-۲۶].

^۱ In-situ polymerization

۴-۱ مواد اصلاح کننده

ترکیبات ثبیت شده به عنوان اصلاحگر بر سطح الکترودها معمولاً خواص متفاوتی دارند

که مهمترین آن‌ها عبارتند از [۲۶-۲۲]:

۱- مبادله کنندگی سریع الکترون در لایه خارجی

۲- خواص کاتالیزوری جهت تسریع واکنش‌های مبادله الکترون مربوط به بسترهای

مختلف

۳- خواص کمپلکس کنندگی برای جمع آوری مقادیر اندک^۱ مولکول‌ها و یون‌ها از

محلول‌ها جهت اندازه‌گیری آن‌ها

۴- خواص مهارکنندگی خوردگی

از ترکیبات شیمیایی آلی و معدنی می‌توان جهت اصلاح سطوح الکترودها استفاده کرد.

در اغلب موارد این ترکیبات الکتروفعال می‌باشند. البته الکتروفعال بودن شرط لازم برای انتخاب

یک معرف اصلاح کننده نبوده و در مواردی می‌توان از ترکیبات غیر الکتروفعال نظیر نافیون که

یک پلی آنیون است به عنوان اصلاح کننده بهره گرفت. در این حالت گونه آزمایشی مورد نظر

همانند ۵و۵-دی فنیل هیدانتوین^۲ با بار مثبت بر اساس نفوذ انتخابی^۳ می‌تواند خود را به

سطح الکترود رسانده و در مبادله الکترون در سطح الکترود شرکت نماید [۲۷].

خواص ساختاری و الکترونیکی بی‌نظیر نانو مواد، کاربرد و دامنه کارایی آن‌ها را در

سیستم‌های الکتروشیمیایی به صورت قابل ملاحظه‌ای افزایش داده است، به گونه‌ای که

به کارگیری نانومواد در تهیه الکترودهای اصلاح شده جهت ساخت حسگرها و زیست حسگرها

می‌تواند منجر به کاهش اضافه ولتاژ لازم برای اکسایش و یا کاهش الکتروشیمیایی برخی از

^۱ Trace

^۲ 5,5-Diphenylhydantoin

^۳ Permselectivity

ترکیبات مهم بیولوژیکی و دارویی با رفتار سینتیکی کند گردد [۲۸, ۲۹]. به عبارت دیگر، با کاهش اندازه مواد تا ابعاد نانومتری، خواص الکتریکی آن‌ها بهبود قابل توجهی پیدا می‌کند [۳۰, ۳۱] و این تغییر در خواص الکتریکی و بهبود در انتقال الکترون، باعث افزایش کارایی این دسته از مواد در اصلاح سطوح الکترودها برای آنالیز ترکیبات بیولوژیکی می‌گردد [۳۲, ۳۳]. استفاده از نانوموادی، نظیر: نانو لوله‌های کربنی^۱ و نانو ذرات فلزی^۲، به عنوان حدواسط در مبادله مبادله الکترون بین سطح الکترود و گونه فعال الکتروشیمیایی با رفتار سینتیکی کند، به دلیل خواص بی‌نظیری که در ادامه به آن‌ها اشاره خواهد شد، توجه بسیاری از الکتروشیمیدان‌ها را به خود جلب کرده است [۳۴, ۳۵]. در این رساله، با بهره‌برداری از خواص منحصر به‌فرد نانو لوله‌های کربنی، نانو ذرات طلا، ترکیب نوکلئوفیلی نظیر متیل تیوراسیل و همچنین فیلم پلیمری آلیزارین قرمز^۳، به ساخت انواع حسگرهای الکتروشیمیایی به روش‌های مختلف نظیر قطره گذاری روی سطح الکترود، آماده‌سازی الکترود مرکب و پلیمریزاسیون در محل پرداخته شده است. اندازه‌گیری ترکیبات بیولوژیکی و دارویی و مطالعه رفتار الکتروشیمیایی آن‌ها از اهمیت به‌سزایی برخوردار است اما بروز رفتار الکتروشیمیایی آن‌ها در سطح الکترودهای متداول با اضافه ولتاژ بالایی همراه است. در این رساله تلاش شده است تا با استفاده از حسگرهای الکتروشیمیایی تهیه شده، اندازه‌گیری ترکیبات دارویی نظیر وراپامیل، دوپامین و جم فیبروزیل به روش‌های الکتروشیمیایی مورد بررسی قرار گیرد. بنابراین در ادامه این فصل به توضیح مختصری از ویژگی‌های هر یک از موارد نامبرده برای ساخت حسگرهای الکتروشیمیایی مورد نظر می‌پردازیم.

۱-۴-۱ نانو لوله‌های کربنی و کاربرد آن‌ها در الکتروشیمی

طی آزمایش‌های انجام شده در سال ۱۹۸۵ میلادی که منجر به کشف فولرن‌ها^۴ گردید

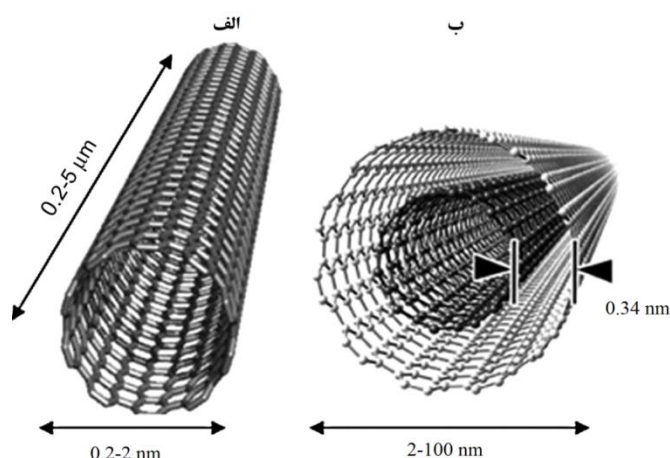
^۱ Carbon nanotubes

^۲ Metalic nanoparticles

^۳ Fullerenes

[۳۶]، نگرش نوینی نسبت به نانو ساختارهای کربنی به وجود آمد. این کشف نشان داد که چگونه مولکول‌های ایجاد شده از کربن sp^2 که بر مبنای اصول هندسی ساده قابل بیان هستند، می‌توانند ساختارهای متقارن جدیدی با ویژگی‌های بسیار جالب و مفید ایجاد کنند. نانو لوله‌های کربنی، نمونه مهمی از این ساختارهای متقارن هستند که توسط ایجیما^۱ (۱۹۹۱) کشف گردید [۳۷].

نانو لوله‌های کربنی، نتیجه نوآرایی کربن‌های sp^2 در صفحه گرافیتی بوده که برای تشکیل لوله خالی یکنواخت، به صورت استوانه در آمده‌اند. نانو لوله‌های کربنی به دو گروه کلی نانو لوله‌های کربنی تک‌دیواره (SWCNTs)^۲ و نانو لوله‌های کربنی چند‌دیواره (MWCNTs)^۳ تقسیم می‌شوند [۳۷]. نانو لوله‌های کربنی تک‌دیواره (شکل ۱-۱-الف)، دارای یک دیواره استوانه‌ای شکل گرافیتی با قطر بین ۰.۲-۰.۲۵ nm می‌باشند. نانو لوله‌های کربنی چند‌دیواره (شکل ۱-۱-ب)، از چندین دیواره استوانه‌ای گرافیتی هم مرکز با قطر ۰.۳۴ nm تشکیل می‌شوند که فاصله دیواره‌ها از هم دیگر ۰.۳۴ nm است. طول نانو لوله‌ها در هر دو نوع از چند صد نانومتر تا چند میکرومتر متغیر است [۳۸, ۳۹].



شکل (۱-۱): انواع نانو لوله‌های کربنی: (الف) تک دیواره و (ب) چند دیواره [۳۸, ۳۹].

^۱ Iijima

^۲ Single-walled carbon nanotubes

^۳ Multi-walled carbon nanotubes

هدايت الکترونيکي نانو لوله‌های کربنی و خواص الکترونيکي آن‌ها سبب شده تا در فرایندهای الکتروشيميايی، تاثير بهسزايی در تقويت انتقال الکترون واکنش‌های اکسایش-کاهش از خود نشان دهند [۲۹]. اين تاثيرات و خواص ويژه نانو لوله‌های کربنی، با داشتن نقص در ساختار آن‌ها که سرعت انتقال الکترون را تا حد قابل ملاحظه‌اي تقويت می‌کند، توجيه می‌شود. براین اساس، نانو لوله‌های کربنی امروزه بهصورت گستردگی در ساخت حسگرها و زیست‌حسگرهاي الکتروشيميايی، باتری‌ها و پیل‌های سوختی به‌کار گرفته می‌شوند [۴۰, ۴۱].

یکی از کاربردهای ويژه نانو لوله‌های کربنی، استفاده از آن‌ها در ساخت حسگرهاي الکتروشيميايی می‌باشد. توانایي ويژه نانو لوله‌های کربنی در کاهش ميزان اضافه ولتاژ الکتروشيميايی و افزایش سرعت انتقال الکترون برخی از فرآيندهای الکترودی با رفتار سینتیکی کند در سطح الکترودهای اصلاح شده با آن‌ها باعث افزایش روزافزون استفاده از اين دسته از مواد در اصلاح سطح الکترودها شده است. گروه بريتو^۱ در سال ۱۹۹۹ گزارشی را ارائه کرده‌اند که در آن، تاثير نانو لوله‌های کربنی بر فرایند انتقال الکترون در سیستم‌های الکتروشيميايی بهوضوح نشان داده شد [۴۲]. بررسی‌ها نشان داده‌اند که حضور لبه‌های بسیار تیز در انتهای دیواره و یا در محل نواقص سطحی موجود بر روی آن‌ها، عامل اصلی در افزایش سینتیک انتقال الکترون و در نتیجه کاهش ميزان اضافه ولتاژ الکتروشيميايی مورد نیاز برای واکنش گونه‌های آزمایشی الکتروفعال مورد نظر (يعنى انجام فرایند الکتروکاتالیز^۲) می‌باشد. بهطورکلی ریخت‌شناسی سطح مشترک الکترودهای اصلاح شده با نانو لوله‌های کربنی و محلول آزمایشی دارای گونه‌های آزمایشی الکتروفعال، نقش قابل ملاحظه‌ای را در سینتیک انتقال الکترون و کاهش اضافه ولتاژ آن‌ها ایفا می‌کند [۴۲].

^۱ Britto

^۲ Electrocatalysis

۱-۴-۲ نانو ذرات طلا و کاربرد آنها در الکتروشیمی

به طور کلی استفاده از نانو ذرات فلزی از فلزات نجیب تا فلزات واسطه در حسگرهای [۴۴,۴۳] و اپتیک [۴۵] مورد توجه زیادی قرار گرفته است. در این میان نانو ذرات فلزات نجیب، به دلیل دارا بودن ابعاد ویژه و خواص الکتریکی و کاتالیتیکی به عنوان الکتروکاتالیزور مورد توجه بوده‌اند. این مواد، به دلیل دارا بودن خواص بی‌همتا مانند: سطح مقطع بالا و فعالیت کاتالیتیکی فوق العاده‌ای که برای هر دو نوع واکنش‌های اکسایشی و کاهشی دارند در سال‌های اخیر به عنوان کاتالیزور بسیار مورد استفاده بوده‌اند [۴۶, ۴۷]. از میان نانو ذرات فلزات نجیب، نانو ذرات طلا، به دلیل قابلیت افزایش رسانایی الکترود و سهولت انتقال الکترون در بسیاری از کاربردهای الکتروشیمیایی و ساخت حسگر و زیست حسگر مورد استفاده قرار گرفته است. نانو ذرات طلا را می‌توان به روش‌های شیمیایی [۴۸]، نور UV یا پرتو الکترونی [۴۹] و یا روش‌های الکتروشیمیایی [۵۰, ۵۱] تهییه کرد. دو روش اول معمولاً زمان بر و پر هزینه می‌باشند. بر عکس، ترسیب الکتروشیمیایی می‌تواند جایگزین مناسبی برای تهییه نانو ذرات طلا در مدت زمان مناسب باشد. علاوه بر این، در روش‌های الکتروشیمیایی شکل و اندازه نانو ذرات از طریق تغییر محیط و شرایط سنتز به راحتی قابل کنترل است [۵۲].

از جمله کاربردهای الکتروشیمیایی نانو ذرات طلا می‌توان به انتقال الکترون مستقیم^۱ پروتئین‌های ردوكس [۵۳]، کاربرد به عنوان حسگرهای زن^۲ [۵۴]، استفاده در حسگرهای ایمنی [۵۵]، بستری برای افزایش قابلیت الکتروکاتالیز و استفاده به عنوان حسگر الکتروشیمیایی نام برد. استفاده از نانو ذرات طلا به عنوان الکتروکاتالیزور برای بهبود فعالیت کاتالیتیکی و گزینش‌پذیری در حال افزایش است. نسبت بالای سطح به حجم و مکان‌های

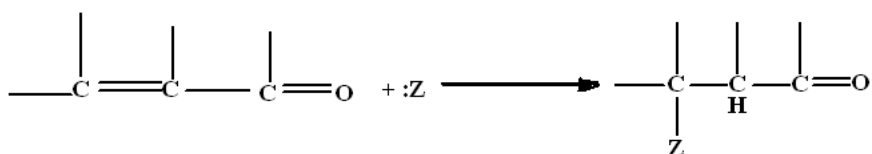
^۱ Direct electron transfer

^۲ Genosensor

فعال^۱ موجود در این نانو ذرات نیروی محرکه لازم برای توسعه الکتروکاتالیزورهایی با ابعاد نانو را فراهم می‌کند.

۱-۴-۳- واکنش‌های افزایش مایکل^۲ و کاربرد آن‌ها در الکتروشیمی

واکنش افزایش مایکل گونه‌ای از واکنش افزایشی هسته‌دوستی است که طی آن یک کربانیون یا گونه‌ای دیگر از هسته‌دوست‌ها، با یک ترکیب آلفا، بتا کربونیل غیر اشباع واکنش می‌دهد (شکل ۱-۲). این روش، روشی مفید در تشکیل یک پیوند کربن-کربن است که نخستین بار توسط شیمیدان آلمانی آمریکایی، آرتور مایکل معرفی گردید [۵۶].



شکل (۱-۲): طرح واکنش افزایش مایکل [۵۶].

طی واکنش افزایش مایکل، مشتقات کتکول به عنوان سوبسترا مورد استفاده قرار می‌گیرند و اکسایش این ترکیبات منجر به تولید اورتو بنزوکینون‌های مربوطه می‌شود. از آنجایی که این ارتوبنزوکینون‌ها، حد واسطه‌های الکتروفعالی به حساب می‌آیند با نوکلئوفیل مناسب وارد واکنش افزایش مایکل می‌شوند [۵۷]. از طرف دیگر، گروهی از مولکول‌های آلی با خاصیت نوکلئوفیلی نظیر ۴-آمینو بنزوئیک اسید [۵۸]، ۴-آمینو بنزو سولفونات [۵۹] و پارافنیلن دی‌آمین [۶۰]، با شرکت در واکنش‌های افزایشی مایکل قادر به اندازه‌گیری سوبستراهاست نظیر دوپامین هستند. گزارش‌هایی برای به کار گیری الکتروشیمیایی واکنش افزایش ۴,۱ مایکل، که یک فرآیند شناخته شده برای سنتر الکتروشیمیایی ترکیبات مختلف آلی می‌باشد [۶۱,۶۲]، در اندازه‌گیری برخی ترکیبات زیستی مانند سیستئین، هموسیستئین و گلوتاتیون به عنوان

^۱ Electroactive sites

^۲ Michael addition

گونه‌های نوکلئوفیل ارائه شده است [۶۳-۶۶].

۴-۴-۱ پلیمرهای هادی و کاربرد آن‌ها در الکتروشیمی

پلیمرهای هادی در سال‌های اخیر برای توسعه زیست حسگرها بسیار مورد توجه بوده‌اند.

پلیمرهای هادی در زنجیره الکترونی خود دارای الکترون‌های π هستند که مسئول خواص ویژه

آن‌ها نظیر هدایت الکتریکی، پتانسیل یونش پایین و الکtron خواهی بالا می‌باشد [۶۷].

راه‌های گوناگونی برای سنتز پلیمرهای هادی وجود دارد که از بین آن‌ها سنتز الکتروشیمیایی همانطور که قبلاً اشاره شد، به دلیل سادگی روش و تکراپذیری به یکی از پرکاربردترین روش‌ها تبدیل شده است. مزیت پلیمریزاسیون الکتروشیمیایی این است که واکنش می‌تواند در دمای اتاق انجام شود و از سوی دیگر با تغییر پتانسیل یا جریان می‌توان ضخامت فیلم را کنترل نمود [۶۷].

الکترودهای اصلاح شده پلیمری کاربردهای فراوانی همچون محافظت در برابر خوردگی، با تریهای قابل شارژ، انواع حسگرهای شیمیایی و الکتروشیمیایی، الکتروکاتالیز فرآیندهای الکترودی و اندازه‌گیری‌های الکتروشیمیایی دارد [۶۷]. الکتروکاتالیز فرآیندهای الکترودی یکی از کاربردهای مهم الکترودهای اصلاح شده پلیمری است [۶۷]. بطوریکه پلیمر ثبیت شده در سطح الکترود می‌تواند بعنوان حد واسط در واکنش الکترودی بین الکترود و سوبسترا دخالت نموده و واکنش مبادله الکtron را تسريع نماید [۶۷].

۱-۵ بررسی خصوصیات الکترود اصلاح شده شیمیایی

بعد از اصلاح بسترهای الکترودی به کمک اصلاحگرهای مورد نظر، از تکنیک‌های

مختلفی برای آنالیز و بررسی خصوصیات الکترودهای اصلاح شده استفاده می‌شود.

در واقع در مرحله توسعه الکترودهای اصلاح شده، اطلاعاتی که از طریق روش‌های

تجزیه‌ای می‌توان در مورد ضخامت، یکنواختی، تراوایی، ضریب نفوذ و ترکیب شیمیایی یک الکترود اصلاح شده شیمیایی به دست آورد، بسیار ارزشمند است [۹]. از میان روش‌های الکتروشیمیایی تجزیه‌ای می‌توان به ولتامتری چرخه‌ای اشاره کرد که می‌تواند برای بررسی فعالیت الکتروشیمیایی الکترودهای اصلاح شده مورد استفاده قرار گیرد. همچنین با استفاده از کرونوآمپرومتری و کرونوکولومتری می‌توان اطلاعات مفیدی در مورد ضریب انتشار گونه هدف در فرآیندهای الکترودی مورد نظر به دست آورد. از دیگر روش‌های الکتروشیمیایی که معمولاً برای بررسی خصوصیات الکترودهای اصلاح شده مورد استفاده قرار می‌گیرد می‌توان به اسپکتروسکوپی امپدانس الکتروشیمیایی^۱، اشاره کرد. این روش نیز اطلاعات مفیدی درباره خواص مواد نظیر هدایت و غلظت گونه‌های باردار در حالت تعادل ارائه می‌دهد. از میان سایر روش‌های موجود نیز می‌توان به استفاده از میکروسکوپ الکترونی روبشی^۲، اشاره کرد که قادر است با تصویر برداری مستقیم از سطح الکترود، اطلاعات مفیدی درباره ریخت شناسی و اندازه ذرات ارائه دهد. همچنین، روش‌های دیگری نیز می‌توانند برای درک ترکیب شیمیایی الکترود اصلاح شده مورد استفاده قرار گیرند. برای مثال، طیف‌سنجی پراش انرژی پرتو ایکس (EDX)^۳، می‌تواند برای مطالعه‌ی لایه نازک روی بستر مورد استفاده قرار گیرد. EDX قادر است اطلاعات کیفی و کمی مناسبی از عناصر موجود در اصلاح‌گر در اختیار قرار دهد.

۱-۶ اساس ایجاد سیگنال

برای به کارگیری الکترودهای اصلاح شده شیمیایی به عنوان یک حسگر، آن‌ها باید قادر به تولید سیگنال الکتریکی وابسته به غلظت گونه هدف باشند. سیگنال می‌تواند به صورت تغییر مقاومت CME (امپدیمتری^۴)، تغییر اختلاف پتانسیل در CME (پتانسیومتری) و یا تولید

^۱ Electrochemical impedance spectroscopy

^۲ Scanning electron microscopy

^۳ Energy dispersive x-ray spectroscopy

^۴ Impedimetry

جريان ناشی از اکسایش و یا احیای گونه هدف (روش‌های ولتامتری و آمپرومتری) اندازه‌گیری گردد [۹]. روش‌های ولتامتری منجر به ایجاد تکنیک‌های حساس با زمان پاسخ سریع می‌شوند، و بنابراین امروزه کاربردهای بسیار زیادی دارند. در ادامه به توضیح مختصاتی در رابطه با روش‌های الکتروشیمیایی به کار گرفته شده در این رساله پرداخته می‌شود.

۱-۶ ولتامتری چرخه‌ای

روش ولتامتری چرخه‌ای^۱ (CV)، یکی از بهترین شیوه‌ها در زمینه بررسی مکانیسم واکنش‌ها بر پایه روش پتانسیل^۲ است. ولتامتری چرخه‌ای، تقریباً همیشه به عنوان یک روش مفید برای سیستم‌هایی که برای بار اول مورد مطالعه قرار می‌گیرند، به کار برده می‌شود. در آزمایش‌های ولتامتری چرخه‌ای، پتانسیل الکترود کار به صورت خطی از پتانسیل اولیه، که در آن واکنش فارادایی مربوط به گونه‌ی هدف اتفاق نمی‌افتد، به پتانسیل نهایی که در آن اکسایش و یا کاهش گونه هدف اتفاق می‌افتد تغییر می‌کند. پس از عبور از قله‌ی پتانسیلی^۳ (E_p)، که در آن امکان انجام یک یا چند واکنش الکترودی وجود دارد و حداقل جریان^۴ (I_p)، نیز در این نقطه قابل دسترسی است، جهت روش خطی معکوس می‌شود و واکنش الکترودی گونه‌های حدواسط و یا محصولات، تولید شده طی روش رفت، قابل رویت خواهد بود. سرعت تغییر پتانسیل در واقع سرعت روش^۵، s^{-1} ، است و گستره پتانسیل بین پتانسیل شروع و خاتمه را پنجه روش^۶ می‌نامند که به خواص الکتروشیمیایی گونه هدف، الکترود و الکترولیت بستگی دارد. در یک ولتاژ‌گرام چرخه‌ای، جریان ناشی از واکنش اکسایش/کاهش گونه هدف به تدریج افزایش پیدا می‌کند تا اینکه در E_p به بیشترین مقدار خود یعنی I_p می‌رسد. مقدار I_p به عوامل

^۱ Potential sweep

^۲ Peak potential

^۳ Peak current

^۴ Scan rate

^۵ Potential window

مختلفی از جمله غلظت گونه هدف، سینتیک انتقال الکترون و انتقال جرم گونه هدف بستگی دارد. در حالتیکه تنها راه انتقال جرم نفوذ باشد (کنترل شده با انتشار) و سینتیک انتقال الکترون سریع باشد (واکنش برگشت‌پذیر)، جریان تئوری متناظر با E_p از رابطه راندلس-سویک^۱، پیروی می‌کند که در زیر آورده شده است [۶۸]:

$$I_p = (2.69 \times 10^5) n^{3/2} ACD^{1/2} v^{1/2} \quad (1-1)$$

که در آن I_p بر حسب آمپر، n تعداد الکترون‌ها، A مساحت الکترود بر حسب سانتی‌متر مربع، C غلظت بر حسب مول بر سانتی‌مترمکعب، D ضریب انتشار بر حسب سانتی‌مترمربع بر ثانیه، v سرعت روبش پتانسیل بر حسب ولت بر ثانیه و n تعداد الکترون‌های شرکت کننده در مرحله تعیین کننده‌ی سرعت می‌باشد.

ولتاوتمتری چرخه‌ای برای مشخص کردن نوع فرآیند انتقال ماده در یک سیستم الکتروشیمیایی مفید است. طراحی سیستم به نحوی است که امکان دو نوع انتقال ماده وجود دارد: (الف) نفوذ و (ب) جذب سطحی.

سیستم الکتروشیمیایی ممکن است یک یا ترکیبی از هر دو راه انتقال ماده را در بر گیرد. در واکنش‌های کنترل شده با جذب سطحی، گونه هدف نیاز به حرکت به سمت سطح الکترود را ندارد. بنابراین، وقتی پتانسیل به حد مورد نظر برای انجام فرآیند الکتروشیمیایی گونه هدف رسید، افزایش یا کاهش جریان با سرعت بیشتری انجام می‌شود. نتیجه این امر دماغه تیز با شدت جریان بالا خواهد بود (چرا که همه گونه هدف به یکباره واکنش می‌دهد).

یکی از راه‌های تشخیص نوع فرآیند انتقال ماده، تغییر سرعت روبش پتانسیل است (۷). همانطور که در رابطه (۱-۱) اشاره شد در واکنش‌های کنترل شده با انتشار، I_p با محدود سرعت

^۱ Randles-Sevcik equation

رووش ارتباط دارد. در حالیکه برای واکنش‌های کنترل شده با جذب سطحی، جریان دماغه در یک واکنش برگشت‌پذیر طبق (۲-۱) با سرعت روش مرتبط است [۶۸].

$$I_p = \frac{n^2 F^2 A v \Gamma}{4 RT} \quad (2-1)$$

که در آن Γ میزان پوشش سطح بر حسب مول بر سانتی‌متر مربع، F ثابت فارادی بر حسب کولن، R ثابت جهانی گاز بر حسب ژول بر مول کلوین و T دما بر حسب کلوین می‌باشد، سایر متغیرها مشابه شرایط کنترل شده با انتشار می‌باشد.

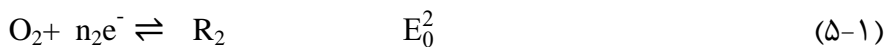
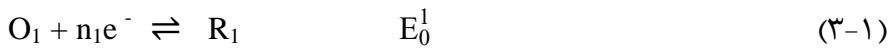
۱-۱-۶ مطالعه مکانیسم واکنش‌ها

یکی از کاربردهای مهم ولتاوتمتری چرخه‌ای، تشخیص کیفی واکنش‌های شیمیایی است که بر فرآیند ردوكس پیشی گرفته، یا به دنبال آن ظاهر می‌شوند [۶۹]. تحقیقات اولیه در مورد واکنش‌های شیمیایی همراه^۱ توسط بردیکا^۲ و همکاران، در دهه ۱۹۴۰ در مدرسه پلاروگرافی چک صورت پذیرفت [۶۸]. مکانیسم این گونه واکنش‌های الکتروشیمیایی، با استفاده از حروف E و C تعیین می‌شود که به ترتیب نشانگر مرحله انتقال الکترون در سطح الکترود و مرحله واکنش شیمیایی همگن است [۷۰]. برای مثال، مکانیسم واکنشی که در آن ترتیب این مراحل شامل انجام واکنش شیمیایی پس از انجام واکنش انتقال الکترون باشد به صورت EC نمایش داده می‌شود. وقوع این گونه واکنش‌های شیمیایی، که غلظت سطحی در دسترس گونه الکتروفعال را به طور مستقیم تحت تاثیر قرار می‌دهد، در بسیاری از فرایندهای ردوكس ترکیبات آلی و معدنی دیده می‌شود. تغییر شکل ولتاومگرام چرخه‌ای، که نتیجه رقابت شیمیایی بین واکنش‌گر و محصول واکنش الکتروشیمیایی است، می‌تواند برای آشکارسازی مسیرهای این واکنش و فراهم ساختن اطلاعات شیمیایی قابل اعتماد درباره حد واسطه‌ای فعل بسیار مفید باشد [۶]. از دیگر مکانیسم‌های تاثیرگذار در واکنش‌های الکتروشیمیایی،

^۱ Coupled chemical reactions

^۲ Brdicka

می‌توان به آن دسته از واکنش‌هایی اشاره کرد که شامل دو یا تعداد بیشتری از مراحل انتقال الکترون می‌باشند [۶۸]. برای مثال فرایندهای ECE، با یک مرحله شیمیایی قرار گرفته در میان مراحل انتقال الکترون:



در این مکانیسم، محصول واکنش اول به صورت شیمیایی عمل می‌کند و گونه O_2 را تولید می‌نماید که آن نیز به آسانی (حداقل مانند O_1) احیا می‌شود.

در این حالت دو پتانسیل وجود دارد، یکی مربوط به واکنش الکترودی اول و دیگری مربوط به واکنش الکترودی دوم می‌باشد که با توجه به مقدار این پتانسیل‌ها و نوع واکنش شیمیایی ولتاژ‌گرام‌های چرخه‌ای مختلفی خواهند داشت. در یک دسته از این واکنش‌ها، واکنش الکترودی اول راحت‌تر از واکنش الکترودی دوم انجام می‌شود. در این شرایط شکل ولتاژ‌گرام چرخه‌ای هیچ تفاوتی با مکانیسم EC ندارد فقط یک گونه الکتروواکتیو دیگر تولید می‌شود که شکل آن وابسته به نوع واکنش الکترودی می‌باشد. در واقع در این حالت یک مکانیسم EC یا EC همراه با یک مکانیسم E ایجاد می‌گردد. دسته دیگر از این واکنش‌ها، آن‌هایی هستند که واکنش الکترودی دوم راحت‌تر از واکنش الکترودی اول انجام می‌شود. در این حالت نسبت به حالت قبلی تفاوت‌هایی وجود داد. در حالت رفت مربوط به چرخه اول یک دماغه مشاهده می‌شود اما در حالت برگشت دو دماغه مشاهده می‌شود، که دماغه رفت در چرخه اول و دماغه برگشتی که دارای پتانسیلی نزدیک به پتانسیل دماغه رفت در چرخه اول می‌باشد مربوط به گونه‌های درگیر در واکنش الکترودی اول می‌باشد. حال اگر چرخه دوم به صورت متوالی با چرخه اول روش را انجام دهد، در حالت رفت یک دماغه دیگر ظاهر خواهد

شد که این دماغه با دماغه برگشت نزدیک به آن مربوط به گونه‌های درگیر در واکنش الکترودی دوم می‌باشد. در این مکانیسم با کاهش سرعت روبش پتانسیل، جریان دماغه آندی اول در واکنش الکترودی اول کاهش پیدا می‌کند ولی جریان دماغه آندی دوم در واکنش الکترودی دوم افزایش پیدا می‌کند. هر چقدر سرعت روبش کاهش یابد این اختلاف بیشتر می‌شود تا این که جریان دماغه واکنش اول کاملاً حذف می‌شود یعنی با کاهش سرعت، ورود به ناحیه سینتیکی اتفاق می‌افتد [۶۸]. آزمون‌های تشخیصی برای واکنش‌های ECE در جدول (۱-۱) آورده شده است.

جدول (۱-۱) آزمون‌های تشخیصی برای واکنش‌های ECE [۷۱]

۱ | $I_p^C / v^{1/2}$ | با سرعت روبش تغییر می‌کند اما ممکن است در سرعت‌های روبش زیاد یا کم به مقادیر حد برسد.

۲ | I_p^A / I_p^C | با سرعت روبش زیاد می‌شود و در سرعت‌های روبش زیاد به یک میل می‌کند.

۲-۶ کرونوآمپرومتری

اساس این روش همانند همه روش‌های کنترل شده با پتانسیل، اندازه‌گیری جریان حاصل از اعمال پتانسیل است. در روش کرونوآمپرومتری، پتانسیل الکترود کار به‌طور لحظه‌ای، از پتانسیلی که در آن واکنش الکتروشیمیایی رخ نمی‌دهد به پتانسیلی که در آن غلظت سطحی گونه الکتروفعال به‌طور موثر برابر صفر می‌گردد تغییر می‌کند. وابستگی جریان حاصل نسبت به زمان پیگیری می‌شود و ارتباط بین جریان و زمان در ناحیه کنترل شده با انتشار طبق معادله کاترل بیان می‌شود (رابطه (۶-۱)):

$$I = \frac{nFACD^{1/2}}{\pi^{1/2} t^{1/2}} \quad (6-1)$$

که در آن n , F , A , C و t به ترتیب تعداد الکترون‌ها، ثابت فارادی، مساحت سطح، غلظت، ضریب انتشار و زمان می‌باشند.

کرونوآمپرومتری اغلب برای اندازه‌گیری ضرایب انتشار گونه‌های الکتروفعال یا مساحت سطح الکترود کار مورد استفاده قرار می‌گیرد.

اگرچه در روش‌های کنترل شده با پتانسیل معمولاً این جریان است که به عنوان تابعی از زمان یا پتانسیل مشاهده می‌شود، اما در برخی آزمایش‌ها نیز ثبت انتگرال جریان بر حسب زمان می‌تواند مفید باشد. از آنجایی که انتگرال جریان برابر با میزان بار عبور کرده است (Q)، این شیوه‌ها کرونوكولومتری نام دارند. این روش به ویژه برای اندازه‌گیری مقدار واکنش‌های جذب سطحی شده مفید است (معادله ۱-۷). چرا که این روش قادر است بارهای تولید شده از واکنش گونه‌های جذب سطحی شده را از بار مربوط به گونه‌های محلول جدا کند [۶۸].

$$Q = \frac{2nFAD^{1/2}Ct^{1/2}}{\pi^{1/2}} + nFA\Gamma^0 + Q_{dl} \quad (1-7)$$

که Q_{dl} و $nFA\Gamma^0$ به ترتیب بار حاصل از بارداری لایه دوگانه و جزء فارادایی حاصل از گونه‌های جذب سطحی می‌باشد. همان‌طور که در معادله بالا مشخص است با استفاده از عرض از مبدا منحنی Q بر حسب $t^{1/2}$ ، می‌توان مقدار مازاد سطحی گونه الکتروفعال (Γ^0) را محاسبه نمود.

۳-۶-۱ طیف بینی امپدانس الکتروشیمیایی

طیف بینی امپدانس الکتروشیمیایی (EIS)، تکنیک مفیدی برای مطالعه واکنش‌های الکترودی به منظور بررسی تغییرات ایجاد شده هنگام اعمال اغتشاش کوچک به سیستم آزمایشی است. مطالعات زیادی برای درک کارایی این تکنیک و تایید قابلیت استفاده از آن در عملکرد تجزیه‌ای الکترودهای اصلاح شده مختلف صورت گرفته است [۷۲-۷۴].

کاربردهای گسترده‌ای در زمینه بررسی سینتیک واکنش‌های صورت گرفته در سطح الکترود دارد [۷۵-۷۸]. علاوه بر این، EIS می‌تواند در زیست حسگرها به دلیل عملکرد ساده و حساسیت بالا مورد استفاده قرار گیرد [۷۹-۸۱]. این حسگرها که با نام حسگرها امپدیمتری شناخته می‌شوند علاوه بر مزایای ذکر شده، به دلیل ولتاژ اعمالی پایین مخرب محسوب نمی‌شوند و از اینرو برای اندازه‌گیری ترکیبات مهم زیستی نظیر آنزیم‌ها و DNA با حد تشخیص‌های بسیار پایین به کار گرفته می‌شوند [۸۲].

به منظور طراحی یک حسگر امپدیمتری، باید بتوان رابطه مناسبی بین پاسخ الکتریکی سطح الکترود و الکتروولیت در حضور و غیاب گونه هدف تعریف نمود [۸۳]. در واقع رابطه بین مقاومت در برابر انتقال بار (R_{ct}) و غلظت گونه هدف به کمک رابطه (۸-۱) قابل تعریف است

[۶۸]

$$R_{ct} = \frac{RT}{nFV_0} \quad (8-1)$$

که در آن $C = K_{ct} n F A K_{ct}^2 C$ و در نتیجه معادله (۸-۱) به شکل زیر در می‌آید:

$$R_{ct} = \frac{RT}{n^2 F^2 A K_{ct}^2 C} \quad (9-1)$$

در معادله بالا K_{ct} ثابت سرعت انتقال بار مستقل از پتانسیل و C غلظت گونه الکتروفعال است. بر اساس معادله (۹-۱)، R_{ct} رابطه معکوس با غلظت گونه الکتروفعال دارد.

۷-۱ طراحی آماری آزمایش

در روش بهینه سازی تک متغیره^۱، برای بهینه سازی یک متغیر، سایر متغیرها ثابت نگه داشته شده و متغیر مورد نظر تغییر داده می‌شود تا حداکثر پاسخ ایجاد شود. سایر متغیرها نیز به همین روش بهینه می‌شوند [۸۴]. بعد از انجام کلیه آزمایش‌ها، معمولاً مجموعه ای از

^۱ One-at-a time

نمودارها تهیه می‌شود که این نمودارها نحوه تأثیرپذیری متغیر پاسخ از تغییر ایجاد شده در یکی از عامل‌ها، زمانی که سایر عوامل ثابت نگاه داشته شده‌اند را نشان می‌دهد [۸۵]. این روش ساده است ولی اصلی‌ترین عیب این روش آن است که اثرات ترکیبی بین همه متغیرها را نشان نمی‌دهد. همچنان این روش طولانی است و نیاز به تعداد آزمایش‌های زیادی برای تعیین سطوح بهینه دارد و بهینه واقعی به دست نمی‌آید. این محدودیت‌های روش‌های کلاسیک تک متغیره، می‌تواند توسط بهینه سازی فاکتورهای مؤثر به روش طراحی آزمایش^۱ کاهش یابد [۸۶]. طراحی آزمایش در سال ۱۹۲۰، توسط یک دانشمند انگلیسی به نام سر رونالد فیشر^۲ ایجاد شد [۸۴]. طراحی آزمایش به‌طور متعدد، برای بهینه سازی شرایط عملیاتی فرایندهای مختلف استفاده می‌شود. استفاده از طراحی آزمایش مؤثرترین راه برای شناسایی و بهینه سازی متغیرهای مهم و دستیابی به نتایج مناسب با استفاده از چند آزمایش می‌باشد [۸۵].

طراحی آزمایش و تجزیه و تحلیل داده‌ها دو جنبه مهم هر آزمایش است. رابطه تنگاتنگی بین این دو موضوع وجود دارد زیرا روش تجزیه و تحلیل داده‌ها به‌طور مستقیم بستگی به طرح انتخاب شده دارد. طراحی آماری آزمایش‌ها، به فرآیند انجام یک آزمایش با هدف جمع آوری داده‌های مناسب و تحلیل آن‌ها با استفاده از روش‌های آماری جهت کسب نتایج معتبر اشاره می‌کند. اگر علاقه مند به کسب نتایج معقول در مورد داده‌ها باشیم، آنگاه استفاده از رویکرد آماری در زمینه‌ی طراحی آزمایش‌ها امری غیرقابل اجتناب خواهد بود [۸۵].

سه اصل اساسی در طراحی آزمایش‌ها عبارتند از: تصادفی سازی^۳، تکرار^۴ و بلوك بندی^۵. تصادفی سازی، یکی از فعالیت‌های اساسی در زمینه استفاده از روش‌های آماری در طراحی

^۱ Exprimental Design

^۲ Sir Ronald A. Fisher

^۳ Randomization

^۴ Replication

^۵ Blocking

آزمایش‌ها محسوب می‌شود. تصادفی سازی بدین معناست که ترتیب هریک از آزمایش‌ها، به طور تصادفی انجام می‌شود. در روش‌های آماری نیاز است که مشاهدات (یا خطاهای) به صورت تصادفی و از یکدیگر مستقل باشند. تصادفی سازی باعث برقراری این فرض می‌شود. وجود نرم افزارهای متعدد در زمینه طراحی آزمایش‌ها، باعث شده تا آزمایشگر بتواند به سهولت طرح‌های مورد نیاز را انتخاب و نتایج حاصل را تجزیه و تحلیل کند. در این نرم افزارها معمولاً ترتیب انجام آزمایش‌ها به صورت تصادفی در نظر گرفته می‌شود.

منظور از تکرار، انجام مجدد طرح اولیه است. تکرار آزمایش دو دلیل مهم دارد. ابتدا اینکه آزمایشگر این فرصت را به دست خواهد آورد تا خطای آزمایش را برآورد کند. دوم این که اگر از میانگین نمونه جهت برآورد اثر یک عامل استفاده شود، آنگاه تکرار آزمایش این امکان را برای آزمایش‌گر فراهم خواهد ساخت تا بتواند برآورد بهتری از اثر مورد نظر به دست آورد.

بلوک بندی یکی از فنون طراحی است که می‌توان از آن جهت افزایش دقت مقایسه‌های انجام شده بین عامل‌های مورد نظر، استفاده نمود. تکنیک بلوک بندی، غالباً به منظور کاهش تغییرات ناشی از عوامل اغتشاش^۱ مورد استفاده قرار می‌گیرد. عامل‌های اغتشاش، عامل‌هایی هستند که احیاناً بر متغیر خروجی آزمایش تأثیر می‌گذارد ولی ارزیابی مستقیم آن‌ها مورد نظر آزمایشگر نیست [۸۵].

۱-۷-۱ خطوط راهنمای برای طراحی آزمایش

به منظور استفاده از روش‌های آماری جهت طراحی و تحلیل یک آزمایش، لازم است که آزمایشگر قبل از انجام آزمایش درک واضحی از هدف آزمایش، نحوه جمع آوری داده‌ها و هم چنین یک شناخت اولیه از چگونگی انجام تجزیه و تحلیل داده‌ها داشته باشد.

^۱ Noise Factors

۱-۱-۷-۱ درک و بیان مسئله

در عمل، غالباً تشخیص این که یک مسئله را می‌توان از طریق طراحی آزمایش‌ها حل کرد، بسیار دشوار است. بنابراین شاید نتوان به‌طور واضح مسئله را بیان کرد. با این حال باید بدانیم که تهیه و ارائه کلیه نظرات در مورد اهداف یک آزمایش امری ضروری محسوب می‌شود. غالباً بیان صریح و واضح مسئله و اهداف آزمایش در درک بهتر فرایند و حل مسئله کمک به‌سرایی خواهد داشت [۸۵].

۱-۱-۷-۲ انتخاب متغیر پاسخ

در زمان انتخاب متغیر پاسخ، شخص آزمایشگر باید اطمینان داشته باشد که متغیر انتخاب شده اطلاعات مفیدی در رابطه با فرایند مورد مطالعه فراهم می‌کند. در اغلب موارد میانگین یا انحراف استاندارد (یا هر دو) مشخصه اندازه‌گیری شده، به عنوان متغیر پاسخ انتخاب می‌شود [۸۵].

۱-۱-۷-۳ انتخاب عامل‌ها، سطوح و دامنه‌ها

شخص آزمایشگر باید عامل‌هایی که در آزمایش تغییر داده می‌شوند، دامنه‌های مربوط به تغییرات عامل‌ها و سطوح خاص عوامل برای انجام آن آزمایش را انتخاب کند. معمولاً این کار به‌کمک ترکیبی از تجارت‌عملی و درک تئوری صورت می‌گیرد [۸۵].

۱-۱-۷-۴ انتخاب طرح آزمایش

اگر مرحله برنامه‌ریزی قبل از انجام آزمایش به نحوی صحیح انجام شود، آنگاه انتخاب طرح آزمایش کار نسبتاً ساده‌ای خواهد بود. انتخاب طرح آزمایش، شامل تعیین اندازه نمونه (تعداد تکرار)، ترتیب انجام آزمایش‌ها و تعیین محدودیت‌های بلوک بندی یا تصادفی سازی است. نرم افزارهای متعددی نیز وجود دارد که می‌توان از آن‌ها جهت انجام این مرحله استفاده نمود. در زمان انتخاب طرح حتماً باید اهداف آزمایش را در نظر گرفت [۸۵].

۱-۷-۵ انجام آزمایش

در زمان آزمایش لازم است نظارت دقیقی بر مراحل انجام آزمایش به عمل آید تا اطمینان حاصل شود که تمام مراحل آزمایش طبق برنامه پیش رود. وجود خطا در این مرحله باعث بی اعتبار شدن نتایج آزمایش خواهد شد. بنابراین برنامه‌ریزی یک اصل ضروری برای موفقیت محسوب می‌شود [۸۵].

۱-۷-۶ تجزیه و تحلیل آماری داده‌ها

داده‌های حاصل از آزمایش باید به وسیله روش‌های آماری، مورد تجزیه و تحلیل قرار گیرد تا اعتبار نتایج از لحاظ علمی تایید شود و تصمیم گیری بر اساس قضاوت شخصی انجام نشود. اغلب برنامه‌هایی که در مرحله چهار جهت تعیین طرح، مورد استفاده قرار می‌گیرند قادر به انجام تجزیه و تحلیل آماری هستند. هم‌چنین باید توجه داشت که روش‌های نموداری ساده نیز نقش مهمی در تعبیر و تفسیر داده‌ها ایفا می‌کنند. ارائه نتایج حاصل از اغلب آزمایش‌ها به صورت یک مدل تجربی^۱ و یا به عبارت دیگر مدلی که رابطه بین متغیر پاسخ و عامل‌های مهم طراحی را براساس داده‌های حاصل بیان کند می‌تواند مفید باشد. تجزیه و تحلیل باقیماندها و ارزیابی کفايت مدل نیز از جمله فنون تجزیه و تحلیلی مهم محسوب می‌شود. برای تجزیه و تحلیل می‌توان از روش‌های آماری هم استفاده کرد ولی این روش‌ها نمی‌توانند وجود اثر خاصی را برای عامل (یا عامل‌ها) اثبات کنند [۸۵].

۱-۷-۷ نتیجه گیری و پیشنهادات

وقتی داده‌ها مورد تجزیه و تحلیل قرار گرفتند، آنگاه شخص آزمایشگر باید براساس نتایج حاصل، نتیجه گیری عملی و پیشنهادات مورد نیاز برای انجام اقدامات بعدی را ارائه کند. در این مرحله روش‌های نموداری، مخصوصاً اگر قرار باشد که نتایج برای افراد دیگر ارائه شود، مفید خواهد بود [۸۵].

^۱ Empirical Model

۲-۷-۱ دسته بندی روش های طراحی آزمایش

براساس اهداف یک آزمایش، همه طرح‌ها می‌توانند در دو طبقه بزرگ دسته بندی شوند

که عبارتند از: طرح غربالگری^۱ و طرح بهینه سازی^۲ [۸۶].

۱-۲-۷-۱ طرح غربالگری

این طرح، برای تعیین عوامل مهم و اثر متقابل آن‌ها از تمام عوامل بالقوه استفاده می‌شود. این نوع طرح‌ها، عوامل کیفی، کمی و ترکیب آن‌ها را به‌طور همزمان بررسی می‌کنند [۸۵]. در واقع در یک آزمایش غربالگری، معمولاً علاقه مند هستیم متغیرهای تأثیرگذار بر پاسخ فرایند را شناسایی کنیم [۸۵]. به‌وسیله طرح مذکور می‌توان عوامل‌های غیر مهم را حذف کرده و بنابراین تعداد آزمایش‌های لازم برای بهینه سازی روش را کاهش داد [۸۶]. اغلب برای مرحله‌ی غربالگری، از روش‌های فاکتوریال کامل دو سطحی^۳، فاکتوریال کسری دو سطحی^۴ و پلاکت-برمن^۵ استفاده می‌شود [۸۵].

طرح پلاکت - برمن

این طرح که به‌طور گسترده برای غربالگری پارامترهای مهم یک فرایند به‌کار می‌رود، توسط پلاکت و برمن ابداع شد. در این طرح، تعداد زیادی از متغیرها می‌توانند با تعداد کمی آزمایش بررسی شوند اما برهم‌کنش‌های بین متغیرها در نظر گرفته نمی‌شود. ماکزیمم عامل‌هایی (f) را که در این طرح می‌توان بررسی کرد برابر است با $f = N-1$ که در آن N تعداد آزمایش‌های تعریف شده است و مضربی از $4^{\frac{1}{N}}$ می‌باشد [۸۵]. هنگامی که در یک طرح پلاکت - برمن نقاط مرکزی و تکرار وجود داشته باشد، تعداد آزمایش از معادله $(10-1)$ به‌دست می‌آید:

^۱ Screening Design

^۲ Optimization Design

^۳ Two Level Full Factorial Design

^۴ Two Level Fractional Factorial Design

^۵ Plackett – Burman Design

$$\text{تعداد کل آزمایش} = (N+C_p) \times r \quad (10-1)$$

در این معادله، C_p تعداد نقاط مرکزی و r تعداد تکرارهاست [۸۵].

همیشه یک مدل چند جمله‌ای درجه اول، در طراحی پلاکت – برنم برای تخمین اثرات فاکتورهای مختلف به کار برد می‌شود [۸۵]. در این طراحی با استفاده از نرم افزار ضرایب رگرسیونی برای هر عامل محاسبه می‌شود که در ادامه به تفسیر این ضرایب پرداخته شده است.

اثر: بعد از اجرای آزمایش‌های طراحی شده، اثر هر فاکتور از رابطه (۱۱-۱) محاسبه می‌شود:

$$E_x = \frac{\sum Y(+1) - \sum Y(-1)}{\frac{N}{2}} \quad (11-1)$$

در این رابطه E_x اثر فاکتور x و Y پاسخ اندازه‌گیری شده است. $\sum Y(+1)$ و $\sum Y(-1)$ به ترتیب مجموع پاسخ‌های فاکتور x در سطح ۱+ یا سطح ۱- هستند و N تعداد آزمایش‌های طراحی شده است [۸۵]. مقدار مثبت هر اثر نشان می‌دهد که با افزایش سطح یک متغیر از پایین به بالا مقدار پاسخ افزایش می‌یابد و مقدار منفی یک اثر نشان دهنده آن است که با افزایش سطح یک متغیر از پایین به بالا مقدار پاسخ کاهش می‌یابد [۸۴].

ضریب: مقدار ضریب هر متغیر از تقسیم اثر آن بر دو به دست می‌آید:

$$\text{coefficient} = \text{effect}/2 \quad (12-1)$$

بزرگی ضرایب، وابستگی اثرات متغیرها را با تابع پاسخ نشان می‌دهد.

ضریب خطای استاندارد: برای هر ضریب رگرسیون برآورد شده، انحراف استانداردی اندازه‌گیری می‌شود که با استفاده از آن می‌توان دقت مدل را در تخمین ضریب سنجید. خطای

استاندارد کوچک‌تر نشانه دقت تخمین بالاتر است. خطای استاندارد ضریب همیشه مقداری مثبت است.

آماره T : مقدار T با تقسیم ضریب بر خطای استاندارد محاسبه می‌شود که نشان می‌دهد ضریب در مقابل خطای استاندارد چه مقدار بزرگ است.

ارزش P : یک فرض آماری، یک جمله یا نظریه ای را در مورد پارامترهای یک توزیع احتمال یا پارامترهای یک مدل بیان می‌کند. آزمون‌های فرض شامل دو نوع فرضیه می‌باشند: فرضیه صفر که با H_0 نشان داده می‌شود، بیان می‌کند اختلاف بین کمیت‌های مورد مقایسه وجود ندارد که معمولاً در آزمون‌های درستی فرضیه صفر بررسی می‌شود. فرضیه متقابل که با H_1 نشان داده می‌شود، فرضیه ای است که بیان می‌کند دو کمیت یکسان نیستند. به‌منظور آزمون یک فرض نیاز است آماره مناسبی محاسبه و در نهایت فرض H_0 پذیرش و یا رد شود. در بخشی از این روش، مجموعه ای از مقادیر آماره آزمون که منجر به رد H_0 می‌شود را تعیین می‌کنیم. این مجموعه از مقادیر را ناحیه بحرانی یا ناحیه رد آزمون می‌نامند. معمولاً آماره آزمون، زمانی که فرض H_0 رد می‌شود معنادار تلقی می‌شود. کلیه نرم افزارهای آماری از جمله نرم افزار Minitab ارزیابی آزمون فرض را بر مبنای معیاری تحت عنوان P-value قرار داده‌اند. مقدار P را می‌توان به‌عنوان کوچک‌ترین سطح معنادار که منجر به رد فرض H_0 می‌شود، تعریف نمود. اگر مقدار P از احتمال خطای نوع اول (α) بزرگ‌تر یا با آن مساوی باشد فرض H_0 را می‌پذیریم. در غیر اینصورت فرض H_0 را رد می‌کنیم. در صورت معلوم بودن مقدار P تصمیم گیرنده قادر خواهد بود تا میزان معنادار بودن داده را تعیین کند.

۲-۲-۷-۱ طراحی بهینه سازی

بعد از انجام آزمایش غربالگری، مرحله‌ی معقول بعدی بهینه سازی فرایند خواهد بود و یا به عبارت دیگر، شناسایی ناحیه ای که متغیرهای مهم در آن واقع شده‌اند و باعث می‌شوند

پاسخ بهینه به دست آید [۸۵]. روش بهینه سازی همیشه با یک طراحی غربالگری برای انتخاب فاکتورهای مهم آغاز شده و با یک طراحی بهینه سازی پیش برد می‌شود. برای بهبود کارایی روش و تعیین شرایط بهینه (مقدار بهینه عامل‌های مهم)، استفاده از مدل‌های درجه دوم (طرح‌های سطح پاسخ^۱، که در آن‌ها بیش از دو سطح برای عامل‌ها در نظر گرفته می‌شود، متداول است [۸۵].

RSM، ابزارهای قدرتمند برای بهینه سازی واکنش‌های شیمیایی و یا فرایندهای صنعتی است [۸۷]. RSM، مجموعه‌ای از روش‌های آماری و ریاضی است که برای توسعه، بهبود و بهینه سازی فرایندها مفید است. در این تکنیک، هدف اصلی بهینه کردن سطح پاسخ است که به وسیله پارامترهای مختلفی تحت تأثیر قرار می‌گیرد [۸۷].

فواید اصلی این روش عبارتند از:

- درک این که چگونه متغیرهای فرایند روی پاسخ فرایند انتخاب شده اثر می‌گذارند.
- تعیین هرگونه رابطه‌ای بین متغیرها
- تشخیص اثرات ترکیبی که همهٔ متغیرها ممکن است روی پاسخ فرایند داشته باشند [۸۷].

RSM شامل مراحل اصلی زیر می‌باشد:

- طراحی آماری مجموعه‌ای از آزمایش‌ها برای اندازه‌گیری مناسب و قابل اطمینان پاسخ مورد نظر به‌گونه‌ای که متغیرها به طور همزمان در طول آزمایش‌ها تغییر می‌کنند.
- ایجاد یک مدل ریاضی درجه دوم برای سطح پاسخ با بهترین تطبیق

^۱ Response Surface Methodology (RSM)

- تخمین ضرایب در این مدل ریاضی براساس طراحی آزمایش
 - پیش بینی پاسخ و یافتن مقدار بهینه پارامترهای آزمایشگاهی با استفاده از مدلی معتبر، به گونه‌ای که مقداری ماکزیمم یا مینیمم برای پاسخ فراهم شود.
 - نمایش اثرات مستقیم و برهمکنش‌های پارامترهای فرایند از طریق نمودارهای دو بعدی و سه بعدی
 - بررسی شایستگی مدل توسعه یافته
- اگر فرض کنیم همه متغیرها قابل اندازه‌گیری هستند، سطح پاسخ می‌تواند به صورت رابطه (۱۳-۱) بیان شود:

$$y=f(x_1, x_2, x_3, \dots, x_k) \quad (13-1)$$

که در این معادله y پاسخ سیستم است و x_i متغیرهای فعال هستند که به آن‌ها فاکتور گفته می‌شود. هدف بهینه سازی متغیر پاسخ y است. فرض می‌شود که متغیرها مستقل، پیوسته و قابل کنترل هستند و خطاهای محدود دارند.

لازم است یک تقریب مناسب برایتابع رابطه بین متغیرهای مستقل و سطح پاسخ پیدا کنیم. معمولاً یک مدل درجه دوم در این روش به کار برده می‌شود که می‌توان آن را به صورت رابطه (۱۴-۱) نشان داد:

$$y=\beta_0 + \sum_{i=1}^k \beta_i x_i + \sum_{i=1}^k \beta_{ii} x_i^2 + \sum_{i=1}^{k-1} \sum_{j=2}^k \beta_{ij} x_i x_j + \epsilon \quad (14-1)$$

در این معادله، x_1, x_2, \dots, x_k فاکتورهای ورودی هستند که پاسخ y را تحت تأثیر قرار می‌دهند. β_0, β_i و β_{ij} ($i=1, 2, \dots, k$) و β_{ii} پارامترهای مجهول هستند و ϵ خطای تصادفی است. ضرایب β که باید در مدل درجه دوم تعیین شوند، به وسیله روش حداقل مربعات به دست می‌آیند.

در این پروژه از نرم افزار مینی تب^۱ ۱۶ برای مراحل غربالگری و بهینه سازی پارامترهای مهم استفاده شده است. این نرم افزار دو نوع طراحی سطح پاسخ مرکب مرکزی^۲ را فراهم می کند. بنابراین در ادامه به توضیح آن پرداخته می شود.

طرح مرکب مرکزی

باکس و ویلسون^۳ در سال ۱۹۵۱، طرح مرکب مرکزی (CCD) را ارائه کردند. این طرح، جایگزینی مناسب برای طراحی فاکتوریال سه سطحی است، به گونه ای که نتایج قابل مقایسه ای با تعداد آزمایش های کمتر فراهم می کند. معمولاً CCD ترکیبی از طراحی فاکتوریال کامل یا طراحی فاکتوریال کسری با دو سطح است که نقاط محوری (یا نقاط ستاره ای^۴) و حداقل یک نقطه مرکزی آزمایش به آن اضافه شده است. تعداد آزمایش های CCD طبق رابطه (۱۵-۱) محاسبه می گردد:

$$N = (2^{k-p} + 2k + C_p) \times r \quad (15-1)$$

که در این رابطه، C_p تعداد تکرار نقطه مرکزی، k تعداد فاکتورها، p تعداد کاهش از طراحی کامل و r تعداد تکرارهاست [۸۵].

طرح مرکب مرکزی به سه دسته تقسیم می شوند که عبارتند از طرح مرکب مرکزی محدود شده^۵ (CCC)، طرح مرکب مرکزی مرکز وجوده پر^۶ (CCF) و طرح مرکب مرکزی محاط شده^۷ (CCI). این تقسیم بندی براساس فاصله نقاط محوری از نقطه مرکزی طرح است که با پارامتر α نشان داده می شود. در طرح CCF مقدار این پارامتر برابر یک بوده در حالی که در

^۱ Minitab

^۲ Central Composite Design

^۳ Box and Wilson

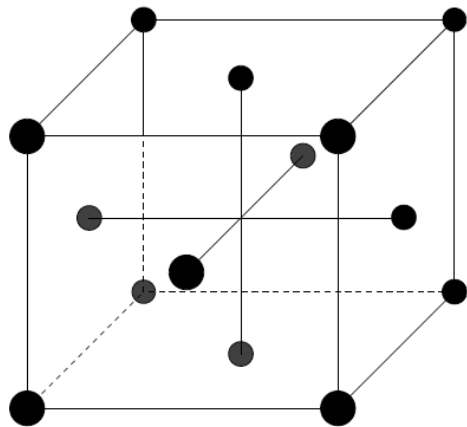
^۴ Axial or Star Points

^۵ Central composite circumscribed

^۶ Central composite face- centered

^۷ Central composite inscribed

طرح‌های CCC و CCI به ترتیب بزرگتر و کوچکتر از یک می‌باشد [۸۴]. در شکل (۱-۳) طرح CCF نشان داده شده است.



شکل (۱-۳): نمایی از طرح مركب مرکزی مركب وجهه پر.

۱-۷-۳ تابع مطلوبیت^۱

به منظور درک چگونگی رسیدن به پاسخ مطلوب از طریق تغییر پارامترهای موثر در یک آزمایش، باید مطلوبیت ویژه^۲ (d) و مركب^۳ (D) را تعیین نمود.

مطلوبیت ویژه که معیاری است از نزدیکی مقادیر برآشش شده^۴ (در شرایط بهینه پارامترها) به مقدار مطلوب، مشخص می‌کند که چگونه تغییر شرایط موجب بهینه سازی یک پاسخ می‌شود [۸۸]. در حالیکه، به کمک مطلوبیت مركب می‌توان تشخیص داد که چگونه تغییرات اعمال شده منجر به بهینه سازی چند پاسخ می‌شود. تابع مطلوبیت گسترده‌ای بین صفر تا یک دارد. یک، نشانگر حالت ایده‌آل است؛ صفر نشانگر این نکته است که یک یا تعداد بیشتری از پاسخ‌ها در محدوده پذیرفته شده قرار ندارند [۸۸].

^۱ Desirability Function

^۲ Individual desirability

^۳ Composite desirability

^۴ Fitted value

درينگر^۱ و سويخ^۲ به منظور تعیینتابع مطلوبیت برای k پاسخ با استفاده از مقادیر مطلوبیت ویژه معادلات زیر را ارائه کردند [۸۹]. به این منظور مقادیر پاسخ بدست آمده (u)، در معادله (۱۶-۱) قرار می‌گیرد تا مقدار مطلوبیت ویژه محاسبه گردد.

$$d = \left(\frac{u-\alpha}{\beta-\alpha} \right)^{\frac{w_i}{k}} \quad \alpha \leq u \leq \beta \quad (16-1)$$

$$d=1 \quad u > \beta$$

$$d=0 \quad u < \alpha$$

در اين معادله α و β بالاترین و پایین ترین مقدار به دست آمده برای پاسخ i هستند. w_i

وزن هر پاسخ می‌باشد. درجات مطلوبیت ویژه پاسخها با هم ترکیب می‌شوند تا مقدار D ، مطابق

معادله (۱۷-۱) محاسبه گردد [۸۸]:

$$D = (d_1 \times d_2 \times d_3 \times \dots \times d_k)^{1/k} \quad (17-1)$$

بر اساس تابع مطلوبیت می‌توان تاثیر هر پارامتر و سطح بهینه برای هر متغیر را محاسبه نمود.

در اين رساله با به کار گيری اصلاحگرهای متفاوت، به طراحی و ساخت انواع الکترودهای اصلاح شده برای اندازه گیری برخی از ترکیبات بیولوژیکی و دارویی نظری و راپامیل، دوپامین و جم فیبروزیل پرداخته شده است. از آنجاییکه اکسایش این ترکیبات دارویی در سطح الکترودهای اصلاح نشده معمولاً با پتانسیل اضافی بالا همراه است و یا از شدت جریان پایینی برخوردار است، هدف از اصلاح سطح الکترود ایجاد شرایطی برای رفع این نواقص و اندازه گیری این ترکیبات دارویی با حساسیت و گزینش پذیری بالاتری می‌باشد.

^۱ Derringer

^۲ Suich

فصل دوم- بخش تجربی

۱-۲ مواد شیمیایی

مشخصات مواد شیمیایی مورد استفاده برای انجام کارهای آزمایشگاهی مرتبط با موضوع این رساله در جدول (۱-۲) ارائه شده است. در این رساله، از اصلاحگرهای نانو لوله‌های کربنی چنددیواره، نانو ذرات طلا و مخلوط پلی آلیزارین قرمز (S) و نانو لوله‌های کربنی برای ساخت حسگرهای الکتروشیمیایی در سطح الکترودهای کربن شیشه‌ای استفاده شد. از سوی دیگر، متیل تیوراسیل به عنوان اصلاحگر برای اصلاح خمیر کربن به منظور تهیه حسگر الکتروشیمیایی استفاده گردید. سایر مواد شیمیایی استفاده شده در این پژوهه تحقیقاتی، در جدول (۱-۲) مشاهده می‌گردد.

جدول (۱-۲) مشخصات مواد شیمیایی استفاده شده در این کار تحقیقاتی

شماره ردیف	نام ترکیب شیمیایی	فرمول شیمیایی	درصد خلوص	نام شرکت سازنده
۱	وراپامیل ^۱	C ₂₇ H ₃₈ N ₂ O ₄	>۹۸	دیفارما ^۲
۲	دوپامین ^۳	C ₈ H ₁₁ NO ₂	>۹۸	مرک ^۴
۳	جم فیبروزیل ^۵	C ₁₅ H ₂₂ O ₃	>۹۹	دیفارما
۴	نانو لوله‌های کربنی	-	>۹۵	موسسه تحقیقات آمریکا ^۶
۵	چنددیواره عاملدار ^۷	-	-	نوترینو ^۸
۶	پودر گرافیت	C	۹۹/۵	مرک
۷	متیل تیوراسیل ^۹	C ₅ H ₆ N ₂ OS	۹۹	مرک
۸	تتراکلروآئوریک اسید سه آبه ^{۱۰}	HAuCl ₄ , 3 H ₂ O	۹۹/۵	مرک
۹	آلیزارین قرمز S ^{۱۱}	C ₁₄ H ₈ O ₄	۹۹	سیگما ^{۱۲}
۱۰	دی پتاسیم هیدروژن فسفات ^{۱۳}	K ₂ HPO ₄	۹۹	مرک

^۱ Verapamil

^۲ Dopamine

^۳ Gemfibrozil

^۴ Functionalized multi-walled carbon nanotube

^۵ Methyl thiouracil

^۶ Tetrachloroauric(III) acid trihydrate

^۷ Alizarin red S

^۸ Dipotassium hydrogen phosphate

ادامه جدول (۱-۲)

مرک	۹۹	KH_2PO_4	پتاسیم دی هیدروژن فسفات	۱۱
مرک	۷۵	H_3PO_4	فسفریک اسید	۱۲
سیگما	۹۸	NaOH	سدیم هیدروکسید	۱۳
سیگما	>۹۹	$\text{C}_3\text{H}_7\text{NO}$	دی متیل فرمامید	۱۴
مرک	۹۹	$\text{C}_2\text{H}_6\text{O}$	اتانول	۱۵
مرک	۹۹	CH_3OH	متانول	۱۶
مرک	۹۹	$\text{C}_2\text{H}_3\text{N}$	استونیتریل	۱۷
مرک	۷۰	HNO_3	نیتریک اسید	۱۸
مرک	۳۷	HCl	هیدروکلریک اسید	۱۹
مرک	۹۹	CH_3COOH	استیک اسید	۲۰
فلوکا ^۱	۹۹	KCl	پتاسیم کلرید	۲۱
مرک	>۹۹	$\text{K}_3\text{Fe}(\text{CN})_6$	پتاسیم هگراسیانو فرات	۲۲
مرک	>۹۹	$\text{K}_4\text{Fe}(\text{CN})_6$	پتاسیم هگراسیانوفریت	۲۳
مرک	>۹۹	$\text{C}_8\text{H}_5\text{K}_4\text{O}$	پتاسیم هیدروژن فتالات	۲۴
دیفارما	>۹۸	$\text{C}_{12}\text{H}_{12}\text{N}_2\text{O}_3$	نالیدکسیک اسید	۲۵
مرک	>۹۹	$\text{C}_6\text{H}_{12}\text{O}_6$	گلوکز	۲۶
مرک	>۹۹	$\text{C}_{12}\text{H}_{22}\text{O}_{11}$	لاکتوز	۲۷
مرک	>۹۹	$\text{C}_5\text{H}_4\text{N}_4\text{O}_3$	اوریک اسید	۲۸
مرک	>۹۹	$\text{CH}_4\text{N}_2\text{O}$	اوره	۲۹
مرک	>۹۹	$\text{CH}_4\text{N}_2\text{S}$	تیواوره	۳۰
مرک	>۹۸	$\text{C}_6\text{H}_8\text{O}_6$	آسکوربیک اسید	۳۱
مرک	>۹۸	$\text{C}_8\text{H}_9\text{NO}_2$	استامینوفن	۳۲
مرک	>۹۸	$\text{C}_5\text{H}_{11}\text{NO}_2\text{S}$	متیونین	۳۳
مرک	>۹۸	$\text{C}_3\text{H}_7\text{NO}_2\text{S}$	سیستئین	۳۴
دیفارما	>۹۸	$\text{C}_{33}\text{H}_{35}\text{FN}_2\text{O}_5$	آترواستاتین	۳۵
دیفارما	>۹۸	$\text{C}_{22}\text{H}_{23}\text{ClN}_6\text{O}$	لوزارتان	۳۶
مرک	>۹۹	$\text{C}_6\text{H}_8\text{O}_7$	سیتریک اسید	۳۷
مرک	>۹۹	$\text{C}_4\text{H}_6\text{O}_6$	تارتاریک اسید	۳۸

^۱Dipharma, ^۲Merck, ^۳US Research, ^۴Neutrino, ^۵Sigma, ^۶Fluka

۲-۲ وسایل و تجهیزات

برای اجرای تحقیقات این رساله، از وسایل و تجهیزات زیر استفاده شد:

۱) پتانسیواستات-گالوانواستات ایویوم^۱ (مدل Compactstat)، جهت ثبت

^۱ Ivium

ولتاموگرام‌های چرخه‌ای، پالس تفاضلی و موج مربعی، کرونوامپرومتری و طیف بینی امپدانس الکتروشیمیایی.

۲) سل سه الکترودی.

۳) الکترودهای کربن شیشه‌ای (با قطر ۲۰ میلی‌متر) و خمیر کربن (با قطر ۶۰ میلی‌متر) ساخت شرکت آذر الکترود به عنوان الکترود کار.

۴) الکترود مرجع (۳/۰ مولار Ag/AgCl/KCl) ساخت شرکت آذر الکترود.

۵) الکترود سیم پلاتین به عنوان الکترود کمکی، ساخت شرکت متروهم.^۱

۶) دستگاه فراصوت باندلین- سونورکس دیجیتک^۲ مدل DT510H، به منظور پخش کردن نانو لوله‌های کربن چند دیواره در محلول دی متیل فرمامید.

۷) pH ۷۴۴ متر، مدل ساخت شرکت متروهم.

۸) ترازوی تجزیه‌ای با دقیقیت ۰/۰ میلی‌گرم سارتریوس^۳ مدل A200S.

۹) میکروسکوپ‌های الکترونی روبشی تسکن^۴ مدل VEGA II و هیتاچی مدل S4160.

۱۰) دستگاه طیف‌سنجی پراش انرژی پرتو ایکس (EDX) تسکن مدل XMU-VEGA.

۱۱) میکروپیپ ساخت شرکت ایندورف.^۵

^۱ Metrohm

^۲ Bandelin- Sonorex Digitec

^۳ Sartorius

^۴ Tescan

^۵ Eppendorf

۳-۲ آماده سازی محلول‌ها

از محلول‌های پتاسیم دی هیدروژن فسفات و دی پتاسیم هیدروژن فسفات برای تهیه بافرهای فسفاتی (هر کدام با غلظت 0.067 مولار) در pH های مختلف (گستره $4.0 - 9.0$) استفاده شد و سپس pH محلول‌های بافر تهیه شده توسط دستگاه pH متر تنظیم شد. برای تهیه محلول‌های بافر با pH های کمتر از 4.0 ، از محلول فسفریک اسید و سدیم دی هیدروژن فسفات (هر کدام با غلظت 0.067 مولار) استفاده گردید.

محلول بافر استاتی $pH=4.5$ از مخلوط کردن محلول استیک اسید $1/0$ مولار و محلول سدیم هیدروکسید با غلظت $1/0$ مولار تهیه گردید.

محلول بافر سیتراتی $pH=5.0$ از مخلوط کردن سدیم سیترات $1/0$ مولار و محلول سدیم هیدروکسید با غلظت $1/0$ مولار تهیه گردید.

محلول بافر سیتراتی $pH=3.0$ از مخلوط کردن سدیم سیترات $0/30$ مولار و محلول هیدروکلریک اسید با غلظت $0/30$ مولار تهیه گردید.

محلول بافر فتالاتی $pH=5.0$ از مخلوط کردن محلول پتاسیم هیدروفتالات و محلول سدیم هیدروکسید با غلظت $1/0$ مولار تهیه گردید.

محلول بافر فتالاتی $pH=3.0$ از مخلوط کردن محلول پتاسیم هیدروفتالات و محلول هیدروکلریک اسید با غلظت $0/20$ مولار تهیه گردید.

محلول مادر 1.0×10^{-2} مولار وراپامیل هیدرو کلرید از حل کردن 0.0490 گرم وراپامیل در اتانول در یک بالن حجمی ده میلی لیتری به طور روزانه تهیه گردید.

محلول مادر 1.0×10^{-2} مولار دوپامین هیدروکلرید از حل کردن 0.0190 گرم دوپامین در آب مقطر در یک بالن حجمی ده میلی لیتری به طور روزانه تهیه گردید.

محلول مادر 10×10^{-3} مولار جم فیبروزیل از حل کردن 0.250 گرم جم فیبروزیل در متانول در یک بالن حجمی ده میلی لیتری به طور روزانه تهیه گردید.

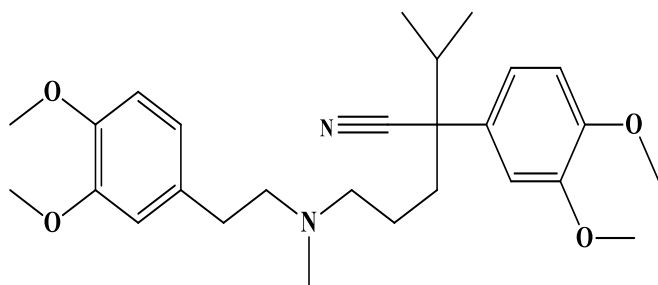
تعليق نانو لوله‌های كربني در حللهای پخش كننده نظير آب، اتانول، دی متيل سولفوکسيد و محلول سورفكتنت سديم دو دسيل سولفات از توزيع $10/0$ ميلى گرم نانو لوله كربني چند ديواره در $10/0$ ميلى لیتر از حللهای ذكر شده پس از قرار دادن در حمام اولتراسونيك بdst آمد. تعليق نانو لوله‌های كربني در دی متيل فرماميد از توزيع $10/0$ ميلى گرم نانو لوله كربني در حجم‌های مختلفی در گستره $15/0-10/0$ ميلى لیتر از اين حللهای پس از قرار دادن در حمام اولتراسونيك بdst آمد.

محلول مادر $1000/0$ ppm تراکلروآئوريك اسيد از انحلال $10/0$ گرم محلول تراکلروآئوريك اسيد در آب قطره در یک بالن حجمی صد ميلى لیتری تهیه گردید.

۴-۲ اندازه‌گیری الکتروشیمیایی و راپامیل با استفاده از الکترود کربن شیشه‌ای اصلاح شده با نانو لوله‌های کربنی چند دیواره

راپامیل^۱ ($pK_a = 8/7$) یا $[N-(3-4-5-6)-N-CH_2-CH_2-C≡N-CH_2-CH_2-NH_2]$ متوکسی فنتیل (N-متیل آمینو)-2-(3-4-

دی متوكسی فنیل)-2-ایزو-پروپیل والرونیتریل] [۹۰]. شکل (۱-۲)، دارویی است که برای درمان فشار خون، اختلال در ضربان قلب و اخیرا برای درمان سردردهای خوش‌های استفاده می‌شود [۹۰]. راپامیل همچنین در شیمی درمانی بیماری‌های سرطانی مورد استفاده قرار گرفته و نتایج بیانگر پتانسیل درمانی مناسب این ترکیب دارویی برای درمان سرطان‌هایی مانند سرطان خون، ریه و پروستات می‌باشد [۹۳-۹۱]. از آنجایی که مقدار راپامیل مورد نیاز، با توجه به میزان تعیین شده توسط پژوهشک، برای هر بیمار متفاوت است و همچنین احتمال مصرف نادرست نیز وجود دارد، اندازه‌گیری این ترکیب در نمونه‌های بیولوژیکی بسیار حائز اهمیت است. در سال ۱۹۶۴، داروی پروپرانولول با نام تجاری ایندرال^۲، اولین داروی کنترل کننده فشار خون بود که به صورت تجاری به فروش رسید. موفقیت این دارو منجر به افزایش تقاضا برای تولید داروهایی با خواص مشابه گردید و این امر منجر به تولید راپامیل شد [۹۴].



شکل (۱-۲): فرمول ساختاری راپامیل [۹۰].

راپامیل به عنوان اولین مسدود کننده کانال کلسیم، به طور گسترده برای درمان فشار خون بالا، بی‌نظمی ضربان قلب و همچنین سردردهای خوش‌های استفاده می‌شود [۹۰]. بدلیل خواص و ویژگی‌های ذکر شده برای راپامیل اندازه‌گیری این ترکیب دارویی به روش‌های مختلفی نظری:

^۱ Verapamil

^۲ Inderal

کروماتوگرافی مایع با عملکرد بالا [۹۵-۹۹]، کروماتوگرافی گازی [۱۰۰-۱۰۲]، میکرو استخراج فاز جامد [۱۰۳]، اسپکتروفوتومتری و فلوریمتری [۱۰۴,۸۱] گزارش شده است. روش‌های الکتروشیمیایی نیز برای اندازه‌گیری این ترکیب مهم دارویی مورد توجه دانشمندان بوده‌اند [۱۰۴,۸۱]. از طرف دیگر، پتانسیل مازاد بالای مورد نیاز برای انجام فرایند اکسایش و راپامیل در سطح الکترودهای متداول، مشکلی در اندازه‌گیری الکتروشیمیایی این ترکیب بوده که می‌توان با به کار گیری اصلاح کننده مناسب جهت ساخت الکترودهای اصلاح شده بر این مشکل غلبه کرد. کاسیم^۱ و همکاران در سال ۲۰۰۲، به اندازه‌گیری و راپامیل در ادرار و ترکیبات دارویی پرداختند [۱۰۵]. این گروه از الکترود قطره جیوه به عنوان الکترود کار استفاده نمودند. در این آزمایش تکنیک ولتاوتمتری بر هنرهای جذب سطحی به کار گرفته شد و حد تشخیص این روش $50/0$ نانو مولار گزارش شد، و ناحیه خطی بین $10^{-6} \times 10^{-6}$ مولار می‌باشد. چن^۲ و همکاران نیز در سال ۲۰۱۳، اندازه‌گیری الکتروشیمیایی و راپامیل را روی سطح الکترود طلا گزارش دادند [۱۰۶]. حد تشخیص و ناحیه خطی در این گزارش با استفاده از تکنیک ولتاوتمتری چرخه‌ای به ترتیب، $10/0$ نانوگرم بر میلی‌لیتر، $10/0$ نانوگرم بر میلی‌لیتر تا $100/0$ میکروگرم بر میلی‌لیتر گزارش شده است. از سوی دیگر سمان^۳ و همکاران در سال ۲۰۰۹ با استفاده از الکترود مرکب گرافیت-پلی اورتان و با به کار گیری تکنیک ولتاوتمتری پالس تفاضلی به اندازه‌گیری و راپامیل پرداختند. این گروه ناحیه خطی $20/0 \times 10^{-6} - 30/0$ مولار و حد تشخیص روش را $7/0 \times 10^{-6}$ مولار گزارش دادند [۱۰۷]. مطالعه انجام شده دیگری در سال ۲۰۰۷ توسط دمیرکان^۴ و همکاران برای اندازه‌گیری و راپامیل در سطح دیسک کربن شیشه با تکنیک ولتاوتمتری پالس تفاضلی در نمونه‌های دارویی و سرم انسان انجام شد.

^۱ Kasim

^۲ Chen

^۳ Semaan

^۴ Demircan

[۱۰۸]. در این مطالعات ناحیه خطی $10^{-7} \times 10^{-4} \times 10^{-7} \times 10^{-7}$ مولار و حد تشخیص روش $10^{-7} \times 10^{-7} \times 10^{-7}$ مولار گزارش شد. اولیویرا^۱ و همکاران نیز در سال ۲۰۱۳ به اندازه‌گیری و راپامیل و پروپرانولول در سطح الکترود کربن شیشه اصلاح شده با نانو لوله کربنی و فیلم پلی آلیل آمین هیدروکلراید پرداختند [۱۰۹]. این مطالعات با تکنیک ولتامتری برخene سازی جذب سطحی انجام شد و حد تشخیص روش برای اندازه‌گیری و راپامیل $10^{-9} \times 3/6$ مولار گزارش شد. در حالیکه ناحیه خطی روش $10^{-9} \times 1/1 \times 10^{-7}$ مولار بوده است. حسن زاده و همکاران نیز در سال ۲۰۱۳ با استفاده از تکنیک ولتامتری پالس تفاضلی در سطح الکترود خمیر کربن اصلاح شده با مواد بلورین مغناطیسی پیوند شده با اسید سولفونیک به اندازه‌گیری و راپامیل پرداختند [۱۱۰]. مطالعات انجام شده منجر به دسترسی به حد تشخیص $10^{-9} \times 41/0$ مولار و ناحیه خطی $10^{-9} \times 160/0 \times 10^{-9}$ مولار شد.

از آنجاییکه از میان روش‌های تجهیه‌ای، روش‌های الکتروشیمیایی دارای حساسیت بالایی می‌باشند و مزاحمت گونه‌های غیرالکتروفعال تاثیری برای اندازه‌گیری‌ها ندارد، در این بخش توانایی حسگر الکتروشیمیایی تهیه شده بر پایه نانو لوله‌های کربنی چند دیواره به منظور بررسی رفتار الکتروشیمیایی و اندازه‌گیری و راپامیل مورد ارزیابی قرار خواهد گرفت.

۱-۴-۲ تهیه الکترود کربن شیشه‌ای اصلاح شده با نانو لوله‌های کربنی چند دیواره

برای تهیه الکترود کربن شیشه‌ای اصلاح شده با نانو لوله‌های کربنی چند دیواره بدین صورت عمل شد: ابتدا، سطح الکترود کربن شیشه‌ای به منظور دستیابی به یک سطح صیقلی و براق، با استفاده از دوغابی از پودر آلومینا (با میانگین اندازه ذرات $0.05 \mu\text{m}$) در سطح صفحه سایش مخصوص الکترود، به طور مکانیکی آماده شد. به منظور زدودن ناخالصی‌های احتمالی موجود در سطح الکترود، الکترود به وسیله محلول رقیق نیتریک اسید با غلظت 10%

^۱ Oliveira

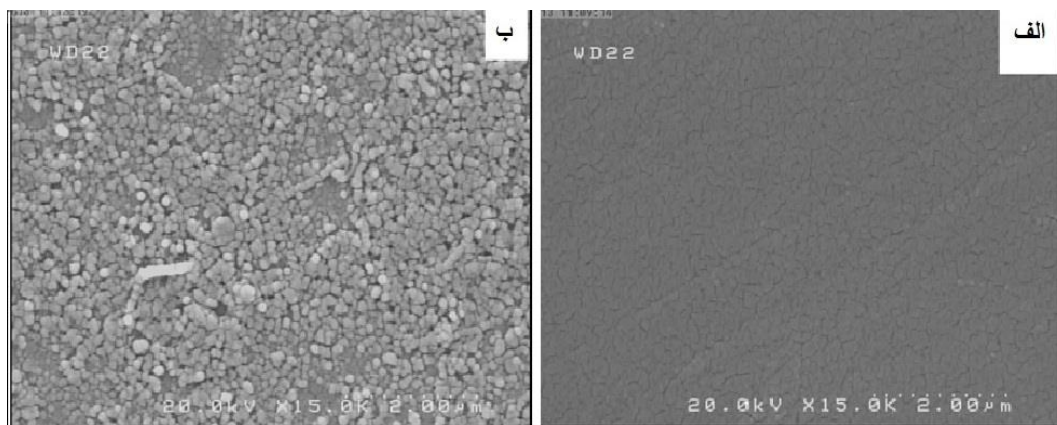
میلی مولار، در حمام فراصوت به مدت ۵ دقیقه شستشو داده شد. سپس نانو لوله‌های کربنی چند دیواره به عنوان اصلاحگر از طریق قطره‌گذاری در سطح الکترود تثبیت گردید. به این منظور، ابتدا مخلوط کاملاً همگنی از نانو لوله‌های کربنی چند دیواره در دی متیل فرمامید با نسبت مشخص (10 mg/mL)، غلظت بهینه نانو لوله‌های کربنی برای اندازه‌گیری و راپامیل در این مطالعه) تهیه و سپس $10\text{ }\mu\text{L}$ از این مخلوط به کمک میکروپیپت در سطح الکترود کربن شیشه‌ای قطره‌گذاری شد و سپس حلال (دی متیل فرمامید)، با کمک لامپ IR، تبخیر شد و الکترود کربن شیشه‌ای اصلاح شده با نانو لوله‌های کربنی چند دیواره (MWCNT/GCE)، تهیه گردید. به منظور فعال‌سازی و برخورداری از الکتروودی پایدار در طول انجام آزمایش، MWCNT/GCE تهیه شده، در سل حاوی الکترولیت حامل بافر فسفاتی با $\text{pH}=5$ قرار داده شد (pH بهینه برای اندازه‌گیری و راپامیل در این مطالعه) و ۵۰ رو بش متواالی در محدوده پتانسیل 0.0 تا $+0.2\text{ V}$ ولت (نسبت به الکترود مرجع نقره/نقره کلرید، که محدوده پتانسیل مورد استفاده برای اکسایش و راپامیل در این مطالعه بوده است) با سرعت رو بش 100 میلی ولت بر ثانیه انجام پذیرفت (ولتاکرامهای به دست آمده در پیوست (شکل ۱ پ) ارائه شده است).

۲-۴-۲ بررسی و مشخصه یابی الکترود اصلاح شده

۱-۲-۴-۲ ریخت شناسی سطح الکترود

شکل (۲-۲-الف)، تصویر میکروسکوپ الکترونی رو بشی سطح الکترود کربن شیشه‌ای را در غیاب هر گونه اصلاح کننده‌ای نشان می‌دهد. شکل (۲-۲-ب)، سطح الکترود کربن شیشه‌ای اصلاح شده با نانو لوله‌های کربنی چند دیواره را نشان می‌دهد. همان‌طور که مشاهده می‌شود، با اصلاح سطح الکترود کربن شیشه‌ای توسط نانو لوله‌های کربنی چند دیواره، بستر الکترود متخلخل می‌گردد که منجر به افزایش مساحت سطح موثر الکترود اصلاح شده می‌شود. به نظر می‌رسد که افزایش مساحت سطح موثر الکترود اصلاح شده، در نتیجه تخلخل فراهم

شده به همراه توان بالای نانو لوله‌های کربنی چنددیواره به عنوان کاتالیست‌های کارآمد، سبب بهبود پاسخ‌های الکتروشیمیایی گونه‌ی آزمایشی مورد نظر در سطح الکترود اصلاح شده می‌شود.



شکل (۲-۲): (الف) تصاویر میکروسکوپ الکترونی روبشی الکترود کربن شیشه‌ای اصلاح نشده و (ب) الکترود کربن شیشه‌ای اصلاح شده با نانو لوله‌های کربنی چند دیواره.

۲-۲-۴-۲ اندازه‌گیری مساحت سطح الکترودهای اصلاح شده و اصلاح نشده
برای مطالعه و بررسی سطح الکتروفعال MWCNT/GCE، تکنیک ولتاوری چرخه‌ای مورد استفاده قرار گرفت. به این منظور الکترود اصلاح شده در محلول $K_4Fe(CN)_6$ ۱/۰ mM حاوی KCl ۰/۱۰ M قرار گرفت و روش پتانسیل در سرعت‌های مختلف در محدوده ۱۰ تا ۱۵۰ میلی ولت بر ثانیه انجام شد (شکل ۲-۳-الف). طبق معادله راندلس-سویک (معادله ۱-۱)، برای یک سیستم برگشت‌پذیر، شدت جریان دماغه با جذر سرعت روش ارتباط مستقیم دارد. بنابراین، نمودار شدت جریان دماغه اکسایش آهن (II) بر حسب جذر سرعت روش رسم شد (شکل ۲-۳-ب). با دانستن میزان ضریب نفوذ $K_4Fe(CN)_6$ ($6/5 \times 10^{-9} \text{ cm}^2 \text{s}^{-1}$) و با استفاده از شب نمودار حاصله، مساحت سطح الکتروفعال الکترودهای اصلاح شده و اصلاح نشده با در نظر گرفتن معادله (۱-۱) به صورت زیر محاسبه شد:

$$I_p = S v^{1/2} \quad (1-2)$$

که در آن S شیب نمودار تغییرات جریان بر حسب جذر سرعت روبش است.

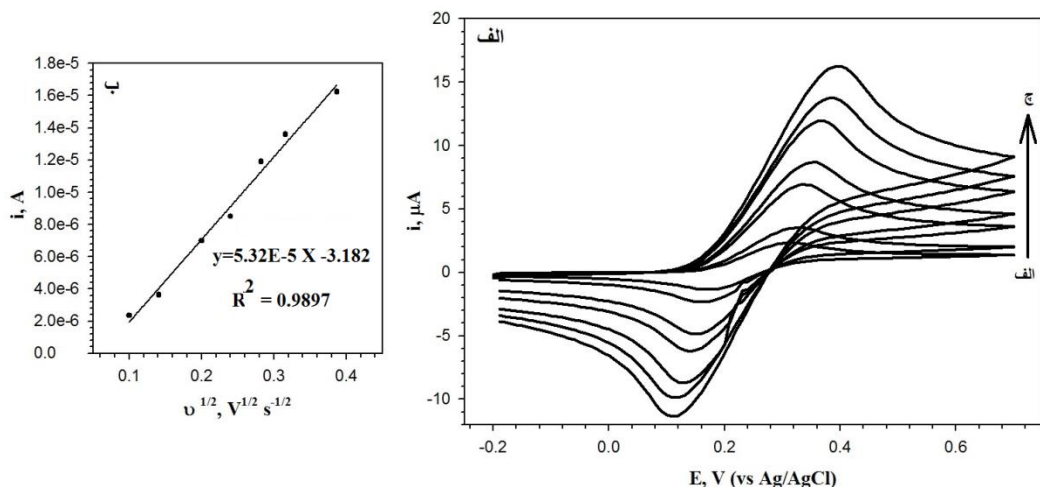
$$S = \left(\frac{2/69 \times 10^5}{n^{3/2} ACD^{1/2}} \right) = 5/32 \times 10^{-5} \quad (2-2)$$

بنابراین سطح الکترود اصلاح شده از طریق رابطه (۳-۲) محاسبه شد:

$$A = \frac{5/32 \times 10^{-5}}{\left(\frac{2/69 \times 10^5}{n^{3/2} \times 1/0 \times 10^{-6} \times (6/5 \times 10^{-6})} \right)^{1/2}} = 0.077 \text{ cm}^2 \quad (3-2)$$

بررسی مشابهی در سطح الکترود کربن شیشه اصلاح نشده انجام شد که طی آن شیب نمودار تغییرات جریان بر حسب جذر سرعت روبش برابر با $10^{-5} \times 1/95$ به دست آمد. از اینرو با استفاده از معادله (۳-۲) مساحت سطح الکتروفعال کربن شیشه برابر با 0.028 cm^2 محاسبه شد. نتایج به دست آمده در پیوست (شکل ۲ پ) ارائه شده است.

نتایج به دست آمده نشانگر افزایش ۱۷۵٪ در مساحت سطح الکتروفعال الکترود اصلاح شده می باشد.



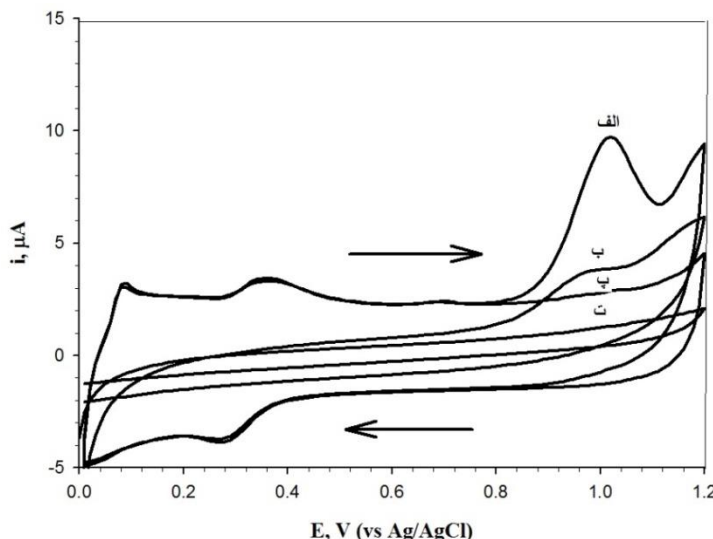
شکل (۳-۲): (الف) ولتاژogramهای چرخه‌ای MWCNT/GCE در محلول $K_4Fe(CN)_6$ ۱/۰ mM حاوی KCl ۰/۱۰ M در سرعت روبش‌های مختلف: (الف تا چ) مربوط به سرعت‌های روبش ۱۰، ۲۰، ۴۰، ۶۰، ۸۰ و 150 mV s^{-1} می‌باشند. (ب) نمودار تغییرات شدت جریان دماغه آندی بر حسب جذر سرعت روبش.

۳-۴-۲ معرفی سیستم الکتروشیمیایی مورد استفاده برای اندازه‌گیری و راپامیل
ولتاموگرامهای چرخه‌ای و راپامیل در سطح الکترود کربن شیشه‌ای اصلاح شده با نانو لوله‌های
کربنی چند دیواره (MWCNT/GCE) و الکترود کربن شیشه‌ای اصلاح نشده (GCE)، در
 محلول بافر فسفاتی $\text{pH}=5/0$ مولار با $0/27$ نشان داده شده است. همانگونه
که ملاحظه می‌شود، اکسایش و راپامیل در سطح الکترود کربن شیشه‌ای اصلاح نشده، یک
دماغه ضعیف و برگشت ناپذیر در پتانسیل حدود $1/00$ ولت نسبت به الکترود مرجع نقره/نقره
کلرید (پتانسیم کلرید $3/0$ مولار) نشان می‌دهد (شکل ۲-۴-ب). در حالیکه، در سطح الکترود
اصلاح شده توسط نانو لوله‌های کربنی چند دیواره، اکسایش و راپامیل در پتانسیل $1/02$ ولت
نسبت به الکترود مرجع نقره/نقره کلرید (پتانسیم کلرید $3/0$ مولار) ایجاد یک دماغه آندی کاملاً
مشهود و تیز می‌نماید (شکل ۲-۴-الف).

شدت جریان اندازه‌گیری شده و راپامیل در محلول بافر فسفاتی در پتانسیل $1/02$ ولت به عنوان
سیگنال آنالیت در نظر گرفته شد، در حالی که شدت جریان در محلول بافر فسفاتی در غیاب
آنالیت در این پتانسیل مربوط به سیگنال شاهد است (شکل ۲-۴-پ). اختلاف بین شدت
جریان دماغه آنالیت و شدت جریان شاهد در پتانسیل $1/02$ ولت به عنوان سیگنال تجزیه‌ای
برای انجام سایر بررسی‌ها مورد استفاده قرار گرفته شد. حضور نانو لوله‌های کربنی چند دیواره
در سطح الکترود باعث افزایش مساحت سطح الکتروفعال الکترود می‌شود. علاوه بر این نانو
لوله‌های کربنی چند دیواره به دلیل دارا بودن ابعاد نانومتری، ساختار الکترونیکی و نقص‌های
موجود در ساختار آنها موجب افزایش چشمگیر در جریان اکسایش ترکیبات الکتروفعال
می‌شوند [۱۱۱]. علاوه بر این، بر اساس مدل کامپتون^۱ و همکاران، مبنی بر بهبود فعالیت
الکتروشیمیایی الکترودهای اصلاح شده با فیلم نازکی از فولرن‌ها و نانو لوله‌ها، افزایش در جریان
دماغه هم‌چنین می‌تواند به دلیل اضافه شدن مسیر نفوذ جدید به نفوذ نیمه متناهی مسطوحی

^۱ Compton

باشد که توسط معادله کاترل توصیف می‌شود [۱۱۲، ۱۱۳]. از سوی دیگر، دماغه اکسایش و کاهش مشاهده شده در پتانسیل نزدیک به $0/3$ ولت می‌تواند مربوط به ناخالصی‌های الکتروفعال موجود در نانولوله‌های کربنی باشد.



شکل (۴-۲): ولتاوموگرام‌های چرخه‌ای وراپامیل ($M_{\text{Ox}}/M_{\text{Red}}$) در محلول بافر فسفاتی $0.27/0.05$ مولار با $\text{pH}=5$ در سطح الکترودهای کربن شیشه‌ای اصلاح شده با نانو لوله‌های کربنی چند دیواره (الف) و کربن شیشه‌ای اصلاح نشده (ب). (پ) و (ت) بهترتیب ولتاوموگرام‌های زمینه الکترودهای اصلاح شده و اصلاح نشده می‌باشند، سرعت روبیش 150 mV s^{-1} .

۴-۴-۲ بهینه سازی شرایط آزمایش

بهینه سازی پارامترهای موثر بر سیگنال تجزیه‌ای وراپامیل نه تنها به منظور دستیابی به بالاترین سیگنال تجزیه‌ای، بلکه برای داشتن سیگنالی تکرارپذیر و پایدار ضروری به نظر می‌رسد. به این منظور، پارامترهای مهم و موثری نظیر pH محیط، نوع بافر، حجم بافر، مقدار نانو لوله کربنی چند دیواره، نوع حلal پخش کننده و همچنین حجم قطره از طریق روش تک متغیره مورد بررسی قرار گرفت.

۱-۴-۴-۲ روش کار کلی برای بهینه سازی پارامترهای موثر بر اکسایش وراپامیل به روش ولتاومتری چرخه‌ای

همانطور که اشاره شد به منظور دسترسی به بهترین سیگنال تجزیه‌ای برای اندازه‌گیری وراپامیل به کمک الکترود اصلاح شده MWCNT/GC، از روش تک متغیره استفاده شد. به این

ترتیب که هنگام بهینه سازی هر پارامتر سایر پارامترهای موثر ثابت در نظر گرفته شدند. تمامی بهینه سازی‌ها در محلولی با غلظت $50/0$ میکرومولار و راپامیل با استفاده از ولتاوی متری چرخه‌ای و در محدوده $0/0$ تا $1/20$ ولت نسبت به الکترود مرجع نقره/نقره کلرید (پتاسیم کلرید $3/0$ مولار) انجام شد. هر اندازه‌گیری سه بار تکرار شد و میانگین جریان اکسایش و راپامیل در پتانسیل $1/02$ ولت بعد از کم کردن از جریان زمینه در این پتانسیل به عنوان سیگنال تجزیه‌ای در نظر گرفته شد. بعد از هر اندازه‌گیری برای از بین بردن اثر حافظه و راپامیل جذب سطحی شده روی سطح الکترود اصلاح شده، پنج روش متوالی در محدوده $0/0$ تا $1/20$ در محلول بافر فسفاتی $pH=5/0$ با سرعت روش 150 mV s^{-1} انجام شد.

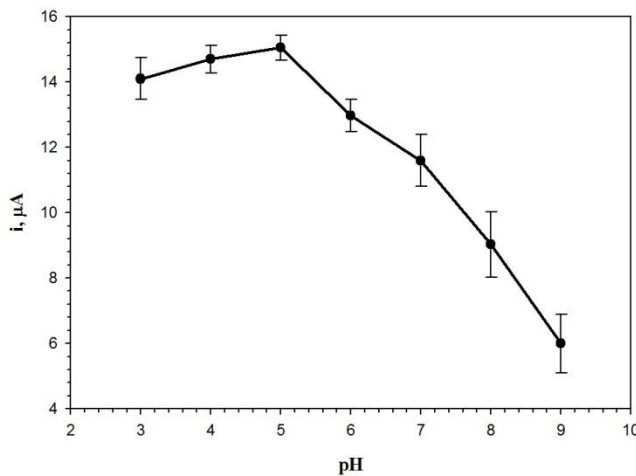
۲-۴-۴-۲ تعیین pH بهینه و نوع بافر در اکسایش و راپامیل در سطح MWCNT/GCE
به منظور بررسی تاثیر pH محیط بر پاسخ ولتاوی متری و راپامیل و تعیین مقدار بهینه این پارامتر به روش زیر عمل شد:

الکترود کربن شیشه اصلاح شده از طریق قطره گذاری $10/0$ میکرولیتر از مخلوط همگن MWCNT:DMF با نسبت $1/0\text{ mg/mL}$ ، تهیه شد. $4/0$ میلی لیتر بافر فسفاتی $0/067$ مولار با pH های متفاوت در گستره $3/0$ تا $9/0$ به سل الکتروشیمیایی اضافه شد و پس از افزودن $1/0$ میلی لیتر از راپامیل $5/0$ میلی مولار، حجم محلول موجود در سل توسط آب دو بار تقطیر به $10/0$ میلی لیتر رسانده شد. سپس MWCNT/GCE به سل الکتروشیمیایی منتقل و روش پتانسیل در ناحیه $0/0$ تا $1/20$ ولت با سرعت 100 mV s^{-1} ولت بر ثانیه انجام شد. هر اندازه‌گیری سه بار تکرار شد و پس از میانگین‌گیری، نمودار تغییرات جریان آندی حاصل از اکسایش و راپامیل در محلول‌های بافر فسفاتی با pH های مختلف بر حسب تغییرات pH محیط رسم گردید (شکل ۲-۵). همان‌طور که ملاحظه می‌شود، جریان اکسایش و راپامیل بر حسب pH محیط، در $pH=5/0$ دارای بیشترین مقدار می‌باشد. بنابراین، $pH=5/0$ به عنوان pH بهینه

جهت اندازه‌گیری این ترکیب در سطح MWCNT/GCE انتخاب شد. در pH های بالاتر، محلول وراپامیل اندکی کدر می‌شود که این امر می‌تواند به دلیل حلایت کمتر وراپامیل با $=8/7$ در محیط‌های خنثی نسبت به محیط‌های اسیدی باشد [۱۱]. جدول (۲-۲) شدت pK_a در جریان‌های حاصل از اکسایش وراپامیل را در محلول‌های بافر فسفاتی با pH های مختلف نشان می‌دهد.

جدول (۲-۲) نتایج به دست آمده از شدت جریان دماغه اکسایش $50/0$ میکرومولار وراپامیل آمده با استفاده از روش ولتاوی چرخه‌ای در محلول حاوی بافر فسفاتی $0/027$ مولار با pH های مختلف، سرعت روبش 100 mV s^{-1} ، حجم قطره گذاری $10/0 \mu\text{L}$ از تعلیق MWCNT:DMF با نسبت $1/0 \text{ mg/mL}$.

pH	۳/۰	۴/۰	۵/۰	۶/۰	۷/۰	۸/۰	۹/۰
تجزیه‌ای	$14/1 \pm 0/8$	$14/7 \pm 1/2$	$15/1 \pm 1/0$	$12/9 \pm 0/6$	$11/6 \pm 0/8$	$9/1 \pm 1/3$	$6/0 \pm 0/9$
(μA)							
سیگنال							



شکل (۲-۵): نمودار تغییرات جریان آندی بر حسب pH (باfer فسفاتی $0/027$ مولار) برای محلول $50/0$ میکرومولار وراپامیل به دست آمده از روش ولتاوی چرخه‌ای در سطح در سطح MWCNT/GCE با سرعت روبش 100 mV s^{-1} انجام شده است. حجم قطره گذاری $10/0 \mu\text{L}$ از تعلیق MWCNT:DMF با نسبت $1/0 \text{ mg/mL}$.

با توجه به اهمیت نقش الکتروولیت حامل در واکنش‌های الکتروشیمیایی، علاوه بر بافر فسفاتی $0/027$ مولار، الکتروولیت‌های حامل مختلفی نظیر باfer سیتراتی $0/038$ مولار، فتالاتی $0/020$ مولار و استاتی $0/088$ مولار در $pH=5/0$ مورد بررسی قرار گرفتند.

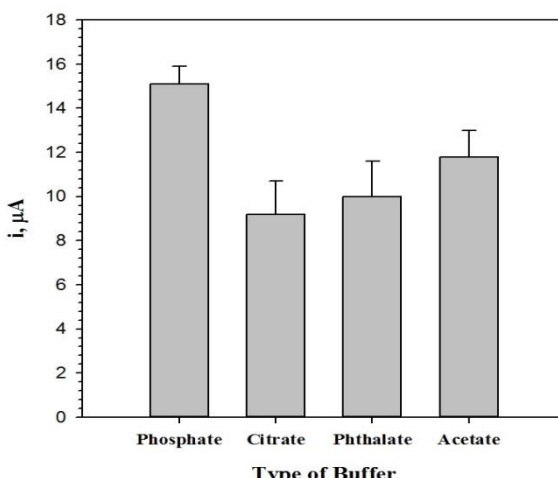
نتایج به دست آمده (جدول ۲-۳ و شکل ۲-۶)، نشان‌گر حساسیت بالاتر باfer فسفاتی در

اندازه‌گیری و راپامیل می‌باشد. از این‌رو در مطالعات بعدی از بافر فسفاتی استفاده شد.

جدول (۳-۲): نتایج به دست آمده از شدت جریان دماغه اکسایش $50/\mu\text{M}$ میکرومولار و راپامیل آمده با استفاده از روش ولتاوی چرخه‌ای در محلول حاوی بافرهای مختلف با $\text{pH}=5/0$ ، سرعت روبش 100 mV s^{-1} ، حجم قطره گذاری $100 \mu\text{L}$ از تعلیق MWCNT:DMF با نسبت $1/10 \text{ mg/mL}$.

نوع بافر	سیگنال تجزیه‌ای (μA)*	انحراف استاندارد سیگنال تجزیه‌ای (μA)
فسفاتی	۱۵/۱	۰/۸
استاناتی	۱۱/۸	۰/۹
سیتراتی	۹/۲	۱/۳
فتالاتی	۱۰/۰	۱/۳

* میانگین سه اندازه‌گیری



شکل (۳-۲): نمودار تغییرات شدت جریان آندی محلول $50 \text{ }\mu\text{M}$ میکرومولار و راپامیل بر حسب نوع بافر در $\text{pH}=5/0$ در سطح MWCNT/GCE با روش ولتاوی چرخه‌ای، سرعت روبش 100 mV s^{-1} . حجم قطره گذاری $100 \mu\text{L}$ از تعلیق MWCNT:DMF با نسبت $1/10 \text{ mg/mL}$.

۳-۴-۴-۲ بهینه سازی حجم بافر در اکسایش و راپامیل در سطح MWCNT/GCE

در این بخش از مطالعه به منظور تعیین حجم بهینه بافر فسفاتی (الکتروولیت حامل)،

حجم‌های مختلفی در گستره $2/0$ تا $8/0 \text{ میلی لیتر}$ از بافر فسفاتی $\text{pH}=5/0$ در حضور و راپامیل

$50/\mu\text{M}$ میکرومولار به سل الکتروشیمیایی اضافه شد. نتایج به دست آمده جدول (۴-۲) و شکل

(۷-۲)، نشان می‌دهد که با افزایش حجم الکتروولیت حامل تا $4/0 \text{ میلی لیتر}$ شدت جریان

اکسایش و راپامیل افزایش می‌یابد، در حالیکه در حجم‌های بالاتر تغییری در شدت جریان

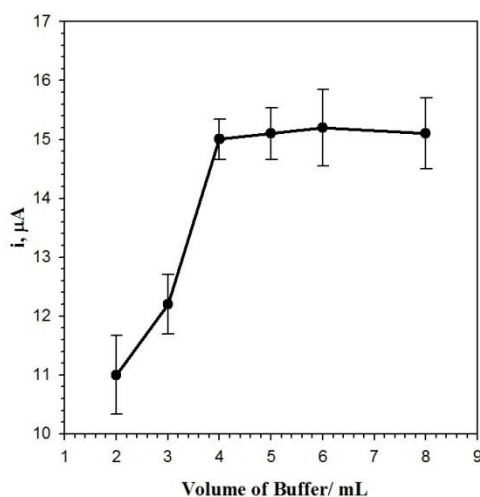
مشاهده نمی‌شود. برای توجیه این مشاهدات می‌توان گفت که با افزایش حجم بافر (الکتروولیت

حامل) هدایت محلول زیاد شده، مقاومت درونی آن کاهش یافته و در نتیجه جریان افزایش می‌یابد. در حالی که در حجم‌های بالاتر از ۴/۰ میلی‌لیتر قدرت یونی محیط ثابت باقی می‌ماند که می‌توان این امر را در ثبات سیگنال شاهد در حجم‌های بالاتر مشاهده کرد. بنابراین حجم ۴/۰ میلی لیتر از بافر فسفاتی pH=۵/۰ به عنوان حجم بهینه انتخاب و در بررسی‌های بعدی استفاده شد.

جدول (۴-۲): نتایج حاصل از بررسی حجم‌های متفاوت بافر فسفاتی در pH=۵/۰ بر روی شدت جریان دماغه اکسایش و راپامیل ۵۰/۰ میکرومولار با روش ولتاویری چرخه‌ای، سرعت روبش ۱۰۰ mV s⁻¹. حجم قطره گذاری ۱۰/۰ mg/mL از تعلیق MWCNT:DMF با نسبت ۱۰/۰ μL

حجم بافر (mL)	انحراف استاندارد سیگنال سیگنال شاهد*	سیگنال تجزیه‌ای (μA)	انحراف استاندارد سیگنال تجزیه‌ای (μA)
۲/۰	۱۴/۵	۱۱/۰	۰/۶
۳/۰	۱۳/۹	۱۲/۲	۰/۷
۴/۰	۱۳/۰	۱۵/۰	۰/۲
۵/۰	۱۳/۰	۱۵/۱	۰/۳
۶/۰	۱۲/۹	۱۵/۲	۰/۶
۸/۰	۱۲/۹	۱۵/۱	۰/۶

* میانگین سه اندازه‌گیری



شکل (۷-۲): نمودار تغییرات شدت جریان آندی و راپامیل ۵۰/۰ میکرومولار بر حسب حجم بافر فسفاتی در pH=۵/۰، در سطح MWCNT/GCE با روش ولتاویری چرخه‌ای، سرعت روبش ۱۰۰ mV s⁻¹. حجم قطره گذاری ۱۰/۰ mg/mL از تعلیق MWCNT:DMF با نسبت ۱۰/۰ μL

۴-۴-۴-۲ بهینه سازی حلال پخش کننده، غلظت و حجم قطره

یکی از مهمترین چالش‌های استفاده از نانو لوله‌های کربنی، نامحلول بودن یا حلایت پایین آن‌ها در اکثر حلال‌های شناخته شده است. دلیل این امر خاصیت آبگریزی این ترکیبات است. بنابراین تهیه تعلیق همگن و پایدار نانو لوله‌های کربنی از اهمیت بهسزایی برخوردار است [۱۱]. از اینرو طی مراحل آزمایش، تعلیق‌هایی از ۰/۰ میلی‌گرم نانو لوله‌های کربنی چند دیواره در ۰/۰ میلی‌لیتر از حلال‌هایی نظیر آب، اتانول، دی‌متیل فرمامید^۱، دی‌متیل سولفواکسید^۲ و محلول سورفکتنت سدیم دو دسیل سولفات^۳ با غلظت ۱۰/۰ ppm تهیه شد. هر یک از محلول‌های تهیه شده به مدت ۳۰ دقیقه در حمام فراصوت قرار گرفت و سپس حجم ۱۰/۰ mL از نانو لوله کربنی پخش شده در حلال مورد نظر به کمک میکروپیپت روی سطح الکترود کربن شیشه قطره‌گذاری شد. بر اساس نتایج حاصل از بررسی‌های صورت گرفته (جدول ۲-۵)، وقتی از حلال آب و اتانول به عنوان حلال پخش کننده استفاده شد، تعلیق ناپایدار بوده و به سرعت به شکل لخته در آمد. هنگام استفاده از دی‌متیل سولفواکسید اگرچه تعلیق به دست آمده از پایداری خوبی برخوردار بود اما سیگنال‌های تجزیه‌ای و راپامیل از تکرارپذیری خوبی برخوردار نبود. فیلم ناشی از قطره‌گذاری MWCNT/SDS نیز ناپایدار بود و به راحتی از سطح الکترود جدا شد. بررسی‌های بیشتر با استفاده از حلال DMF نشان داد که این حلال برای پخش نانو لوله‌های کربنی چند دیواره به کمک حمام فراصوت، از پایداری، تکرارپذیری و به خصوص حساسیت بالاتری نسبت به سایر حلال‌های پخش کننده برخوردار است. به منظور تعیین بهترین نسبت غلظتی بین MWCNT:DMF، نسبت‌های متفاوتی از این دو ترکیب مورد ارزیابی قرار گرفت. به این ترتیب که محلول‌هایی با نسبت‌های ۰/۰۰۰، ۰/۰۲۰ و ۰/۰۱۰ mg/mL تهیه شد و سپس حجم ۱۰/۰ mL از محلول‌های معلق تهیه شده روی

^۱ Dimethyl formamide

^۲ Dimethyl sulfoxide (DMSO)

^۳ Sodium dodecyl sulfate (SDS)

جدول (۵-۲) نتایج به دست آمده از شدت جریان دماغه اکسایش $50/0$ میکرومولار و راپامیل در بافر فسفاتی $0/027$ مولار، pH=۵/۰، در حضور الکترود اصلاح شده با $\mu\text{L}/100$ از حلال های پخش کننده متفاوت با نسبت $1/0$ mg/mL با استفاده از ولتاوتمتری چرخه ای با سرعت روبش 100 mV s^{-1}

حلال پخش کننده	سیگنال تجزیه ای (μA)*	انحراف استاندارد سیگنال تجزیه ای (μA)
اتانول	۵/۰۲	۱/۳۰
آب	۲/۴۱	۰/۴۱
دی متیل سولفواکسید	۳/۳۳	۰/۵۸
سدیم دودسیل سولفات	۳/۱۵	۱/۵۰
دی متیل فرمامید	۱۴/۸۴	۰/۶۰

* میانگین پنج اندازه گیری

سطح GCE قطره گذاری شد. بررسی نتایج به دست آمده (جدول ۶-۲)، حاکی از این امر است که در نسبت های بالای MWCNT:DMF ($1/00$ mg/mL و $0/20$ mg/mL) نسبت سیگنال آنالیت به جریان زمینه کم می باشد، در حالیکه در نسبت های پایین ($0/10$ و $0/06$ mg/mL) نسبت سیگنال به جریان زمینه افزایش می یابد.

جدول (۶-۲) نتایج به دست آمده از شدت جریان دماغه اکسایش $50/0$ میکرومولار و راپامیل در بافر فسفاتی $0/027$ مولار، pH=۵/۰، با استفاده از روش ولتاوتمتری چرخه ای با سرعت روبش 100 mV s^{-1} در نسبت های MWCNT:DMF غلظتی متفاوت

MWCNT:DMF (mg/mL)	سیگنال آنالیت *(μA)	سیگنال شاهد *(μA)	انحراف استاندارد سیگنال آنالیت (μA)	سیگنال آنالیت سیگنال شاهد
۱/۰۰	۲۷/۴۰	۱۳/۰۰	۰/۴۰	۲/۱۰
۰/۲۰	۱۹/۱۰	۹/۱۲	۰/۹۰	۲/۱۰
۰/۱۰	۵/۹۴	۱/۴۴	۰/۱۵	۴/۱۲
۰/۰۶	۴/۵۷	۰/۹۰	۰/۵۶	۵/۰۸
۰/۰	۳/۵۰	۰/۹۰	۰/۳۰	۳/۹۰

* میانگین پنج اندازه گیری

به دلیل تکرار پذیری بهتر نتایج به دست آمده هنگام به کار گیری MWCNT:DMF با نسبت $10/0$ mg/mL، این نسبت به عنوان مقدار بهینه در نظر گرفته شد.

حساسیت یک اندازه گیری در سطح الکترود کربن شیشه اصلاح شده با نانو لوله کربنی به مقدار MWCNT موجود در سطح الکترود وابسته می باشد. بنابراین، برای یافتن مقدار بهینه MWCNT:DMF، حجم های مختلفی از محلول معلق با نسبت $10/0$ mg/mL از MWCNT روی سطح الکترود کربن شیشه قطره گذاری شد. ولتاژ های در محلول $50/0$ میکرومولار و راپامیل در بافر فسفاتی $pH=5/0$ ثبت گردید. داده های به دست آمده از جدول ۲، نشان می دهد که با افزایش حجم قطره، ضخامت سطح الکتروفعال به دلیل حضور مقادیر بالاتر MWCNT، افزایش می یابد. این امر علاوه بر اینکه منجر به افزایش جریان دماغه نمونه^۱ می شود، افزایش جریان زمینه را نیز در پی دارد. به این دلیل هنگامی که حجم قطره زیاد و فیلم تهیه شده ضخیم باشد، نسبت سیگنال آنالیت به سیگنال شاهد، کاهش می یابد. هنگامی که حجم قطره کم و فیلم تهیه شده نازک باشد، به دلیل کم بودن سطح الکتروفعال الکترود اصلاح شده، مقدار راپامیل جذب سطحی شده کم بوده و در نتیجه شدت جریان دماغه کاهش می یابد. بنابر توضیحات ارائه شده و با توجه به انحراف استانداردهای به دست آمده، در این مطالعه تحقیقاتی، حجم $10/0$ میکرولیتر به عنوان حجم بهینه قطره گذاری انتخاب شد.

^۱ Sample peak current

جدول (۷-۲) نتایج به دست آمده از شدت جریان دماغه اکسایش $50/0$ میکرومولار و راپامیل در بافر فسفاتی $pH=5/0$ مولار با استفاده از روش ولتاویری چرخه‌ای با سرعت روبش 100 mV s^{-1} در حضور الکترود اصلاح شده با حجم‌های قطره گذاری متفاوت از تعلیق MWCNT:DMF با $0/10 \text{ mg/mL}$

سرعت روبش (mVs ⁻¹)	سیگنال آنالیت [*] (μA)	انحراف استاندارد سیگنال سیگنال شاهد * (μA)	انحراف استاندارد سیگنال آنالیت (μA)	سیگنال آنالیت سیگنال شاهد
۵/۰۰	۳/۶۴	۰/۵۸	۰/۶۷	۶/۲۷
۷/۰۰	۴/۵۷	۰/۹۹	۰/۵۷	۴/۶۲
۱۰/۰	۵/۹۴	۱/۴۴	۰/۱۵	۴/۱۲
۱۲/۰	۶/۹۴	۱/۹۲	۰/۳۱	۳/۶۱
۱۵/۰	۷/۷۷	۲/۵۱	۰/۴۸	۳/۱۰
۲۰/۰	۸/۳۴	۲/۹۱	۰/۳۷	۲/۸۶

*میانگین پنج اندازه‌گیری

۵-۴-۴-۲ اثر سرعت روبش پتانسیل بر سیگنال تجزیه‌ای و راپامیل در سطح MWCNT/GCE به کمک ولتاویری چرخه‌ای

به منظور بررسی تاثیر تغییر سرعت روبش پتانسیل بر سیگنال تجزیه‌ای و راپامیل، روبش پتانسیل در سرعتهای مختلف در محدوده ۲۵ تا ۲۰۰ میلی‌ولت بر ثانیه، در محلول بافر فسفاتی $pH=5/0$ مولار با $50/0$ میکرومولار (جدول ۲-۸).

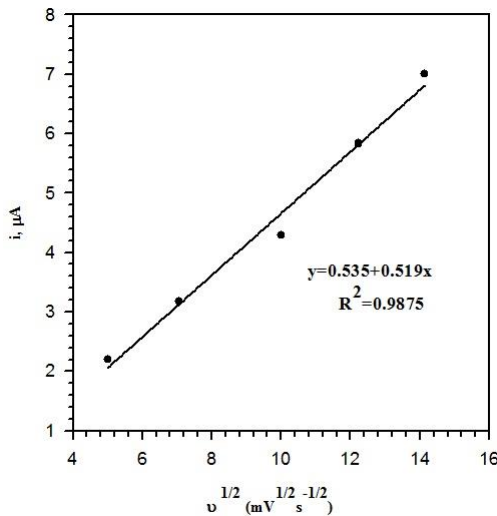
جدول (۲-۸) نتایج حاصل از بررسی سرعت روبش بر شدت جریان دماغه اکسایش $50/0$ میکرومولار و راپامیل در بافر فسفاتی $pH=5/0$ مولار با استفاده از روش ولتاویری چرخه‌ای، با حجم قطره گذاری $10/0 \text{ μL}$ از تعلیق $0/10 \text{ mg/mL}$ MWCNT:DMF با

سرعت روبش (mVs ⁻¹)	سیگنال تجزیه‌ای * (μA)	انحراف استاندارد سیگنال تجزیه‌ای (μA)	سیگنال تجزیه‌ای (μA)
۲۵	۰/۳۵	۲/۱۹	۰/۲۲
۵۰	۰/۸۱	۳/۱۸	۰/۱۴
۱۰۰	۱/۴۲	۴/۲۹	۰/۱۹
۱۵۰	۲/۲۰	۵/۸۳	۰/۱۰
۲۰۰	۳/۳۰	۷/۰۰	۰/۱۵

*میانگین سه اندازه‌گیری

در این بررسی مشاهده شد که با افزایش سرعت روبش علاوه بر افزایش سیگنال دماغه

اکسایش وراپامیل، سیگنال شاهد نیز افزایش می‌باید که این امر در سرعت‌های روبش بالاتر از ۱۵۰ میلی‌ولت بر ثانیه از تاثیر بیشتری برخوردار بوده است. علاوه بر این، افزایش سرعت روبش (به ویژه در سرعت‌های روبش بالاتر از ۱۵۰ میلی‌ولت بر ثانیه) منجر به پهن شدن دماغه اکسایش وراپامیل و کاهش گزینش پذیری می‌شود. از سوی دیگر با افزایش سرعت روبش به علت بالا رفتن سیگنال زمینه‌ی شاهد، امکان افزایش انحراف از استاندارد سیگنال شاهد وجود دارد که این امر در نهایت منجر به افزایش حد تشخیص و کاهش حساسیت می‌شود. از این‌رو سرعت روبش ۱۵۰ میلی‌ولت بر ثانیه در مطالعات بعدی به عنوان سرعت روبش بهینه مورد استفاده قرار گرفت. همانند گذشته هر اندازه‌گیری سه بار تکرار شد و نمودار میانگین سیگنال تجزیه‌ای حاصل بر حسب جذر سرعت روبش رسم شد. همان‌گونه که در شکل (۸-۲) مشاهده می‌شود، جریان دماغه آندی مربوط به اکسایش وراپامیل به‌طور خطی متناسب با جذر سرعت روبش پتانسیل ($V^{1/2}$) تغییر می‌کند که نشان دهنده انتشاری بودن فرایند الکترودی و جریان حاصل از آن خواهد بود، یعنی جریان به‌وسیله‌ی سرعت انتشار ترکیب الکتروفعال از درون محلول به سمت الکترود محدود می‌شود.



شکل (۸-۲): نمودار تغییرات شدت جریان دماغه اکسایش $50\text{ میکرومولار وراپامیل در محلول بافر فسفاتی MWCNT/GCE}$ ، بر حسب جذر سرعت روبش پتانسیل در محدوده ۲۷ $0/0.27$ مولار $\text{pH}=5/0$ در سطح 200 میلی‌ولت بر ثانیه.

معادله (۴-۲) رابطه خطی بین جریان دماغه آندی مربوط به اکسایش با جذر سرعت

روبشن پتانسیل را نشان می‌دهد:

$$I_p(\mu A) = 0.535 (\mu A) + 0.519 v^{1/2} (mV^{1/2} s^{-1/2}) \quad R^2 = 0.9875 \quad (4-2)$$

۵-۴-۲ شرایط بهینه حاصل از مطالعات ولتامتری چرخه‌ای

با توجه به نتایج به دست آمده در بررسی و بهینه سازی پارامترهای موثر بر عملکرد

سیستم، شرایط بهینه‌ای که در رسم منحنی کالیبراسیون با استفاده از روش ولتامتری چرخه‌ای مورد استفاده قرار گرفت در جدول (۹-۲) نشان داده شده است.

جدول (۹-۲) نتایج به دست آمده از بهینه سازی پارامترهای موثر بر سیگنال تجزیه‌ای اکسایش و راپامیل با غلظت ۵۰/۰ میکرومولار با استفاده از روش ولتامتری چرخه‌ای در سطح MWCNT/GCE

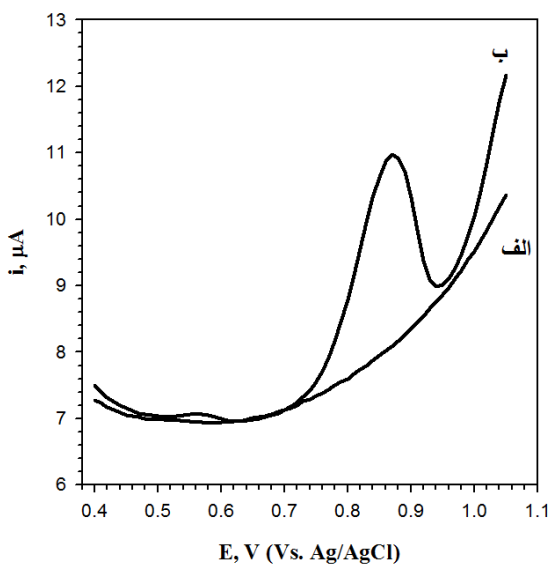
نوع یا مقدار بهینه	پارامتر
۵/۰	pH محیط
فسفاتی	نوع بافر
۴/۰	حجم بافر (mL)
DMF	حلال پخش کننده
۰/۱۰	نسبت غلظتی (MWCNT:DMF) (mg:mL)
۱۰/۰	حجم قطره (μL)
۱۵۰	سرعت روبشن (mV s ⁻¹)

۶-۴-۲ بهینه سازی پارامترهای موثر بر ولتاوموگرام‌های پالس تفاضلی

به دلیل حساسیت بالاتر روش ولتامتری پالس تفاضلی نسبت به ولتامتری چرخه‌ای،

منحنی کالیبراسیون در این مطالعه با کمک این تکنیک نیز رسم شد. به این منظور پارامترهای موثر بر ولتاوموگرام‌های پالس تفاضلی نظیر سرعت روبشن، ارتفاع پالس و مدت زمان اعمال آن مورد بررسی قرار گرفتند. به این ترتیب پس از تهیه الکترود طبق شرایط بهینه‌سازی شده مطابق روش ولتامتری چرخه‌ای، الکترود در محلول حاوی بافر فسفاتی pH=۵/۰ با غلظت ۵۰/۰ میکرومولار قرار داده شد و روبشن پتانسیل در گستره ۰/۰۲۷ مولار و راپامیل با غلظت ۵۰/۰ میکرومولار قرار داده شد و روبشن پتانسیل در گستره

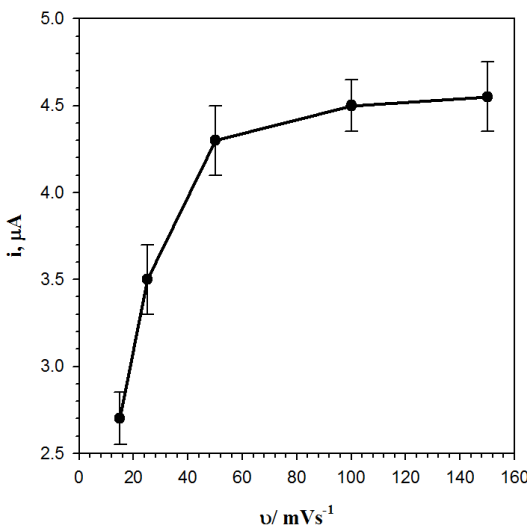
تا $1/0.5$ ولت در سرعت روبش، ارتفاع پالس و مدت زمان اعمال پالس مشخص انجام شد. پس از بهینه سازی شرایط ولتامتری پالس تفاضلی، شدت جریان اندازه‌گیری شده و راپامیل در محلول بافر فسفاتی در پتانسیل $0/90$ ولت به عنوان سیگنال آنالیت برای رسم منحنی کالیبراسیون در نظر گرفته شد. سیگنال شاهد در همین پتانسیل و در غیاب آنالیت اندازه‌گیری شد. هر اندازه‌گیری سه بار تکرار شد و میانگین اندازه‌گیری‌ها به عنوان سیگنال تجزیه‌ای مورد استفاده قرار گرفت. شکل (۹-۲) نمونه‌ای از ولتاموگرام پالس تفاضلی را در محلول بافر فسفاتی $0/0.27$ مولار در $pH=5/0$ در غیاب و حضور $25/0$ میکرومولار راپامیل نشان می‌دهد.



شکل (۹-۲): ولتاموگرام‌های پالس تفاضلی با سرعت روبش 100 mVs^{-1} (ارتفاع پالس 80 mV و مدت زمان اعمال پالس 50 میلی ثانیه) در سطح MWCNT/GCE در محلول بافر فسفاتی $0/0.27$ مولار با $pH=5/0$ (الف) در غیاب راپامیل و (ب) در حضور $25/0$ میکرومولار راپامیل.

۱-۶-۴-۲ بهینه سازی سرعت روبش برای اکسایش راپامیل با تکنیک ولتامتری پالس تفاضلی به منظور بررسی تاثیر سرعت روبش پتانسیل بر سیگنال تجزیه‌ای راپامیل، روبش پتانسیل در سرعتهای مختلف در محدوده 15 تا 150 میلی ولت بر ثانیه، در محلول بافر فسفاتی $pH=5/0$ دارای راپامیل ($50/0$ میکرومولار) انجام شد. نتایج به دست آمده (شکل ۹-۲)

نشان داد که همانند روش ولتامتری چرخه‌ای با افزایش سرعت روبش علاوه بر افزایش سیگنال دماغه اکسایش و راپامیل، سیگنال زمینه نیز افزایش می‌یابد که این امر در سرعت‌های روبش بالاتر از ۱۰۰ میلی ولت بر ثانیه از تاثیر بیشتری برخوردار بوده است. به علاوه پهن شدگی پیک در سرعت‌های روبش بالاتر منجر به کاهش حساسیت و رسیدن به حد تشخیص بالاتر می‌شود. از اینرو سرعت روبش ۱۰۰ میلی ولت بر ثانیه برای رسم منحنی کالیبراسیون با این روش مورد استفاده قرار گرفت.

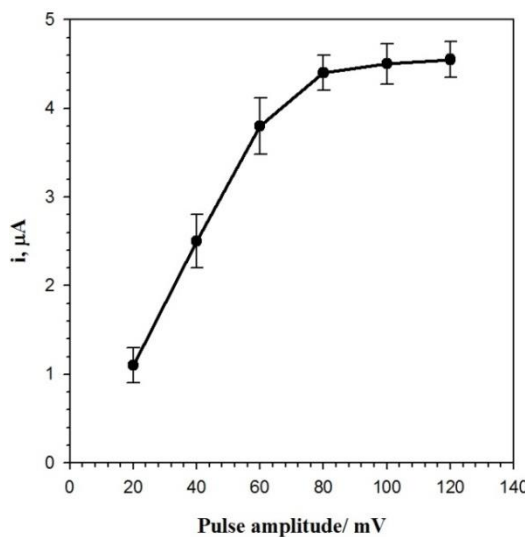


شکل (۲-۱۰): نمودار تغییرات شدت جریان آندی و راپامیل ۵۰/۰ میکرومولار در بافر فسفاتی ۰/۰۲۷ مولار در سطح MWCNT/GCE بر حسب سرعت روبش به کار گرفته شده در تکنیک ولتامتری پالس pH=۵/۰ تفاضلی. ارتفاع پالس: ۶۰ میلی ولت و مدت زمان اعمال پالس ۵۰ میلی ثانیه.

۲-۶-۴-۲ بهینه سازی ارتفاع پالس در اکسایش و راپامیل با کمک ولتامتری پالس تفاضلی از جمله پارامترهای دستگاهی مهم و تاثیرگذار در سیگنال تجزیه‌ای به هنگام به کارگیری ولتامتری پالس تفاضلی، ارتفاع پالس و مدت زمان اعمال آن است.

به این منظور، برای بررسی ارتفاع پالس بر شدت جریان، این پارامتر در گستره ۲۰ تا ۱۲۰ میلی ولت مورد بررسی قرار گرفت. نتایج حاصله در شکل (۱۱-۲) ارائه شده است. روش انجام کار برای بررسی این پارامتر به این صورت بود که پس از افزودن حجم ۴/۰ میلی لیتر از

بافر فسفاتی $\text{pH}=5/0$ و وراپامیل با غلظت مشخص به سل الکتروشیمیایی، حجم محلول با آب دو بار تقطیر به $10/0$ میلی لیتر رسانده شد. پس از قرار دادن الکترودها داخل سل الکتروشیمیایی، ولتاموگرامهای پالس تفاضلی در گستره $40/00$ تا $5/10$ ولت، با سرعت روش 100 میلی ولت بر ثانیه با ارتفاع پالس در گستره 20 تا 120 میلی ولت و مدت زمان اعمال 50 میلی ثانیه، رسم شد. هر اندازه‌گیری سه بار تکرار شد و سیگنال میانگین به عنوان سیگنال تجزیه‌ای مورد استفاده قرار گرفت. تغییر ارتفاع پالس تاثیر چشمگیری بر شدت جریان دارد. در واقع ارتفاع سیگنال تجزیه‌ای وابسته به ارتفاع پالس است. بطوریکه کاهش ارتفاع پالس منجر به کاهش جریان دماغه می‌شود. در حالیکه افزایش بیش از حد ارتفاع پالس نه تنها منجر به افزایش چندان سیگنال تجزیه‌ای نمی‌شود بلکه منجر به پهن شدن دماغه و کاهش حساسیت نیز می‌شود [۶۸]. بنابراین، در این مطالعه تحقیقاتی برای رسیدن به حداکثر جریان بدون به خطر افتادن گزینش پذیری روش، از ارتفاع پالس 80 میلی ولت به عنوان مقدار بهینه برای رسم منحنی کالیبراسیون استفاده شد.



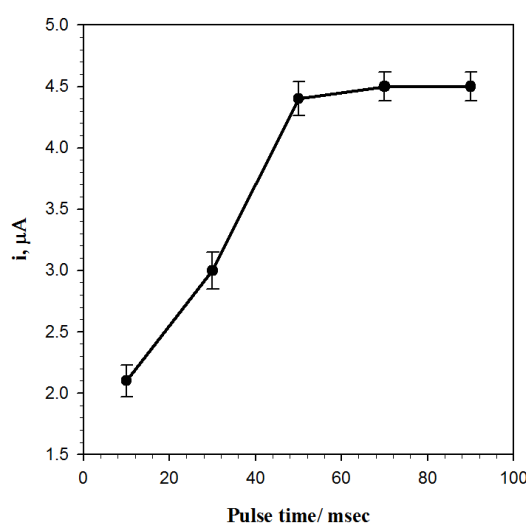
شکل (۱۱-۲): نمودار حاصل از بررسی ارتفاع پالس در روش ولتامتری پالس تفاضلی برای اندازه‌گیری $50/0$ میکرومولار وراپامیل در محلول بافر فسفاتی $\text{pH}=5/0$ مولار با $0/027$ مولار MWCNT/GCE . سرعت روش 100 mV s^{-1} ، مدت زمان اعمال پالس 5 میلی ثانیه.

۳-۶-۴-۲ بهینه سازی مدت زمان اعمال پالس برای اکسایش و راپامیل با تکنیک ولتامتری پالس تفاضلی

در ولتامتری پالس تفاضلی باید از جریان قبل و بعد از اعمال پالس نمونه‌گیری شود.

بنابراین هر چه مدت زمان اعمال پالس بیشتر شود امکان رسیدن به جریان‌های بالاتر وجود دارد. در این مورد نیز همانند اثر ارتفاع پالس با افزایش مدت زمان اعمال پالس پیک پهن می‌شود. در این مطالعه، مدت زمان اعمال پالس در فاصله بین ۱۰ تا ۹۰ میلی ثانیه مورد بررسی قرار گرفت. نتایج به دست آمده در شکل (۱۲-۲) گزارش شده است. همانطور که اشاره شد با افزایش مدت زمان اعمال پالس سیگنال افزایش می‌یابد که این روند تا زمان ۵۰ میلی ثانیه تأثیری بر پهن شدگی پیک ندارد. از اینرو مدت زمان اعمال پالس ۵۰ میلی ثانیه به عنوان بهینه برای رسم منحنی کالیبراسیون استفاده شد.

با توجه به نتایج به دست آمده شرایط بهینه مورد استفاده برای رسم منحنی کالیبراسیون از طریق روش ولتامتری پالس تفاضلی عبارتند از: سرعت روبش ۱۰۰ میلی ولت بر ثانیه، ارتفاع پالس ۸۰ میلی ولت و زمان اعمال پالس ۵۰ میلی ثانیه.

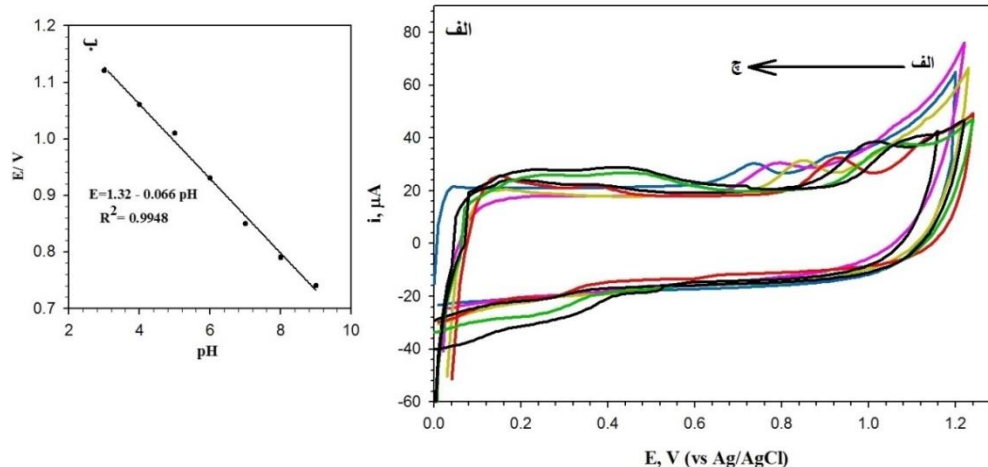


شکل (۱۲-۲): نمودار حاصل از بررسی مدت زمان اعمال پالس در روش ولتامتری پالس تفاضلی برای اندازه گیری ۵۰/۰ میکرومولار و راپامیل در محلول بافر فسفاتی pH=۵/۰ مولار با سطح MWCNT/GCE در سرعت روبش ۱۰۰ mV s⁻¹، ارتفاع پالس ۸۰ میلی ولت.

۷-۴-۲ بررسی الکتروشیمیایی اکسایش و راپامیل

به منظور بررسی رفتار الکتروشیمیایی راپامیل با تغییر pH محیط، الکترود MWCNT/GC به منظور تهیه و در محلول بافر فسفاتی با pH های مختلف (در محدوده ۳/۰ تا ۹/۰) حاوی غلظت ۵۰/۰ میکرومولار راپامیل قرار داده شد. شکل ۱۳-۲-الف، ولتاومگرامهای مربوطه را نشان می‌دهد. بررسی تغییرات پتانسیل دماغه اکسایش راپامیل در سطح MWCNT/GCE نسبت به pH محیط، نشان دهنده برابری تعداد الکترون مبادله شده با تعداد پروتون دخیل در فرآیند اکسایش الکتروشیمیایی این ترکیب در محدوده pH مورد مطالعه می‌باشد. نمودار تغییرات پتانسیل دماغه اکسایش راپامیل بر حسب تغییرات pH، در شکل (۱۳-۲-ب) ارائه شده است. معادله (۵-۲) بیانگر رابطه خطی بین پتانسیل دماغه اکسایش راپامیل با تغییرات pH می‌باشد:

$$E \text{ (V)} = 1/32 - 0/066 \text{ pH} \quad R^2 = 0/9948 \quad n=7 \quad (5-2)$$

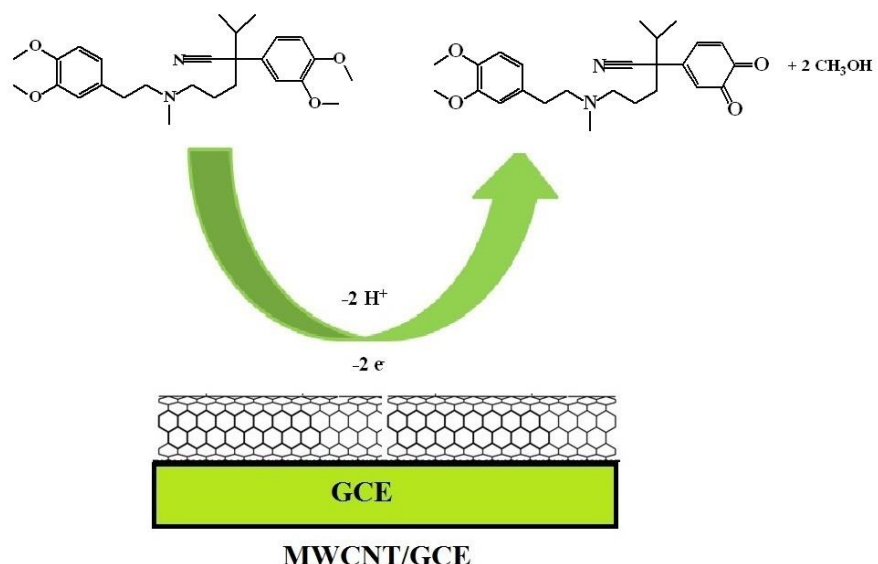


شکل (۱۳-۲): (الف) ولتاومگرامهای چرخه‌ای محلول ۵۰/۰ میکرومولار راپامیل در بافر فسفاتی ۰/۰۲۷ مولار با pH های مختلف در سطح MWCNT/GCE با سرعت روبش $1,000 \text{ mV s}^{-1}$ (الف) تا (ج) به ترتیب: ۳/۰، ۴/۰، ۵/۰، ۶/۰، ۷/۰، ۸/۰ و ۹/۰. (ب) نمودار تغییرات پتانسیل دماغه آندی راپامیل بر حسب pH.

همان‌طور که مشاهده می‌شود، پتانسیل مربوط به این گونه آزمایشی، در سطح MWCNT/GCE با افزایش pH به سمت مقادیر منفی جابجا می‌شود که نشان می‌دهد پروتون

در واکنش اکسایش و راپامیل نقش ایفا می‌کند. همچنین، شیب خط به دست آمده نزدیک به شیب نرنسنی مورد انتظار برای فرآیند با مبالغه الکترون‌ها و پروتون‌های برابر می‌باشد ($n=2$) [۱۰۷, ۱۰۸].

طرح (۱-۲)، فرآیند الکتروشیمیایی پیشنهادی و راپامیل در سطح MWCNT/GCE را نشان می‌دهد که طبق این طرح گروه متوكسی حلقه فنیل در فرآیند اکسایش و راپامیل نقش ایفا می‌کند [۱۰۷, ۱۰۸].



طرح (۱-۲): فرآیند الکتروودی پیشنهادی و راپامیل در سطح MWCNT/GCE

از سوی دیگر، برای درک بهتر رفتار الکتروشیمیایی و راپامیل در سطح الکترود اصلاح شده، به بررسی اثر تغییر سرعت روبش پتانسیل پرداخته شد. نتایج به دست آمده (شکل ۲-۱۴-الف) نشان می‌دهد که با افزایش سرعت روبش پتانسیل، دماغه اکسایش و راپامیل به سمت پتانسیل‌های مثبت‌تر جابه‌جا می‌شود که این امر نشان از وجود محدودیت سینتیکی در واکنش الکتروشیمیایی مربوطه می‌باشد [۶۸].

داده‌های به دست آمده از ولتاژ‌گرام‌های چرخه‌ای در شکل (۱۴-۲-ب) نشان می‌دهد که، نمودار تغییرات پتانسیل دماغه آندی نسبت به لگاریتم طبیعی سرعت روبش پتانسیل خطی بوده و در نتیجه امکان تعیین ضریب انتقال (α) و ثابت سرعت انتقال بار ناهمگن^۱ (k_0) با استفاده از تئوری لاویرون^۲ (معادله ۶-۲) فراهم می‌باشد [۶۸].

$$E(V) = E'_0(V) + \frac{RT}{(1-\alpha)nF} \left[0.78 + \ln \left[\frac{D^{1/2}}{k_0} \right] + \ln \left(\frac{(1-\alpha)nFv}{RT} \right)^{1/2} \right] \quad (6-2)$$

که در این معادله E'_0 ، پتانسیل استاندارد فرمال، v سرعت روبش پتانسیل، α ضریب انتقال الکترون، n تعداد الکترون‌های مبادله شده، F عدد فارادی، R ثابت جهانی گازها، T دمای محیط بر حسب کلوین و k_0 ثابت سرعت انتقال بار ناهمگن می‌باشند. معادلات (۷-۲) و (۸-۲)، با استخراج شبیب و عرض از مبدا تغییرات E بر حسب v بر مبنای معادله (۶-۲) به دست می‌آیند:

$$\text{شبیب} = \frac{RT}{2(1-\alpha)nF} = S \quad (7-2)$$

$$\text{عرض از مبدا} = E'_0 + 1/56S + S \ln \frac{1}{2S} + 2S \ln \frac{D^{1/2}}{k_0} \quad (8-2)$$

با توجه به شبیب نمودار در شکل (۱۴-۲-ب) و قرار دادن آن در معادله مربوط به شبیب نمودار لاویرون (معادله ۷-۲)، مقدار ضریب انتقال الکترون در سطح الکترود کربن شیشه‌ای اصلاح شده با نانولوله‌های کربنی چند دیواره برابر با ۰/۷۴ محاسبه شد.

با استفاده از شبیب نمودار جریان دماغه آندی نسبت به جذر سرعت روبش پتانسیل می‌توان به ضریب انتشار گونه الکتروفعال در سطح این الکترود اصلاح شده دست یافت. جریان

^۱ Heterogeneous electron transfer rate constant

^۲ Laviron theory

دماغه در یک ولتاوموگرام چرخه ای برگشت ناپذیر در دمای 25°C از رابطه راندلس-سویک

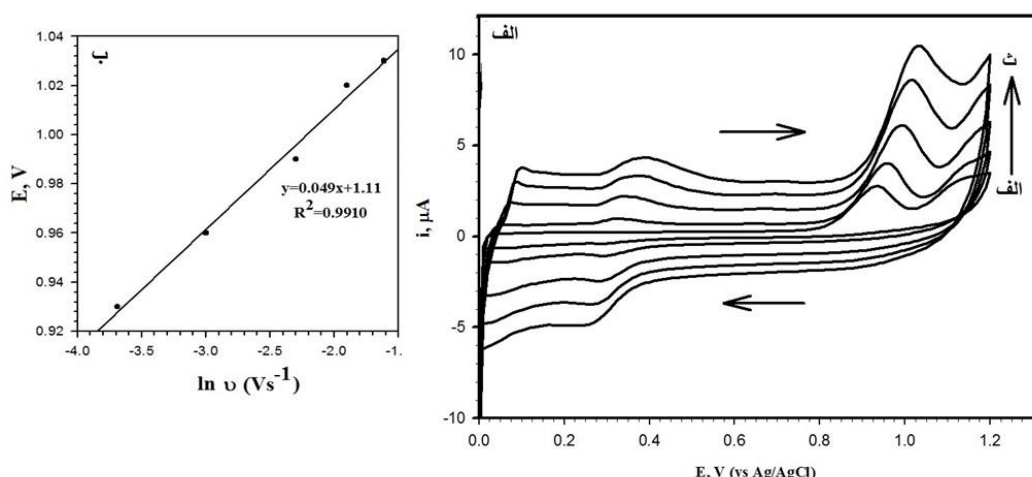
(معادله ۹-۲) پیروی می کند [۶۸].

$$I_p = (2.99 \times 10^5) n (\alpha n)^{1/2} ACD^{1/2} v^{1/2} \quad (9-2)$$

بر اساس شیب نمودار در شکل (۸-۲) و مقادیر به دست آمده برای α و A (در غلظت

$50/\text{میکرومولار وراپامیل}$)، مقدار ضریب انتشار برابر با $2/69 \times 10^{-4}$ سانتی متر مربع بر ثانیه

به دست آمد.



شکل (۹-۲): (الف) ولتاوموگرامهای چرخه‌ای وراپامیل با غلظت $50/\text{میکرومولار}$ در محلول بافر فسفاتی MWCNT/GCE در سطح $\text{pH}=5/0$ در سرعت روبش‌های مختلف: (الف تا ث) مربوط به سرعت‌های روبش $25\text{،}200\text{،}150\text{،}100\text{،}50\text{ و }20\text{ میلی ولت برثانیه می‌باشد.$ (ب) نمودار تغییرات پتانسیل دماغه اکسایش وراپامیل بر حسب لگاریتم طبیعی سرعت روبش پتانسیل.

از طرف دیگر، با رسم تغییرات پتانسیل دماغه آندی گونه آزمایشی بر حسب سرعت روبش پتانسیل و با برون یابی از نمودار حاصل در سرعت روبش صفر (محور عمودی نمودار) می‌توان مقدار پتانسیل فرمال گونه آزمایشی در سطح الکترود اصلاح شده و در شرایط آزمایش را محاسبه کرد [۶۸]. بر این اساس با توجه به معادله خط $E(V)=0/5667 (Vs^{-1})^{+0/93} (V)$ ،

مقدار پتانسیل فرمال گونه آزمایشی در سطح این الکترود اصلاح شده برابر $0/93$ ولت تعیین شد. بنابراین، با داشتن مقدار E_0' و مقدار شیب نمودار لاویرون و قرار دادن در معادله مربوط به عرض از مبدأ نمودار لاویرون (معادله ۶-۶)، مقدار ثابت سرعت انتقال بار ناهمگن (k_0) در سطح

این الکترود اصلاح شده، برابر با ۱٪ سانتی‌متر بر ثانیه محاسبه گردید.

۸-۴-۲ بررسی پارامترهای تجزیه‌ای

به کارگیری روش‌های تجزیه‌ای حساس، معتبر و گزینش پذیر برای اندازه‌گیری کمی ترکیبات دارویی از اهمیت بهسزایی برخوردار است. اعتبار سنجی روش‌های تجزیه‌ای شامل اجرای تمام مراحلی است که نشان دهد که روش پیشنهادی مورد استفاده برای اندازه‌گیری کمی گونه هدف قابل اعتماد و تکرارپذیر بوده است. پارامترهای اساسی برای این اعتبار سنجی عبارتند از: ناحیه خطی، حد تشخیص، دقیقت (تکرارپذیری و تکثیرپذیری)، صحت، گزینش پذیری و پایداری. همه این موارد در این مطالعه تحقیقاتی مورد بررسی قرار گرفته و در ادامه نتایج آن ارائه شده است.

۸-۴-۳ منحنی کالیبراسیون و تعیین ناحیه خطی روش

پس از دسترسی به شرایط بهینه برای اندازه‌گیری و راپامیل توسط MWCNT/GCE منحنی کالیبراسیون رسم شد. به این ترتیب که پس از تهیه الکترود اصلاح شده، به منظور ثبت ولتاژ‌گرام‌های تجزیه‌ای، در هر مرحله مقدار مناسبی از محلول استاندارد و راپامیل و ۴٪ میلی‌لیتر از بافر فسفاتی $\text{pH} = 5.0$ مولار/۰.۶٪ میلی‌لیتر به سل الکتروشیمیایی افزوده شد سپس حجم محلول درون سل با آب دو بار تقطیر به ۱۰٪ میلی لیتر رسانده شد. پس از آن ولتاژ‌گرام‌های چرخه‌ای در محدوده $0.0\text{--}0.2\text{ V}$ تا $0.0\text{--}0.1\text{ V}$ ولت نسبت به الکترود مرجع نقره/نقره کلرید (پتانسیم کلرید ۳٪ مولار) در سرعت روبش $15.0\text{--}0.0\text{ s}^{-1}$ میلی ولت بر ثانیه ثبت شد. در اندازه‌گیری‌های ولتاومتری پالس تفاضلی، محدوده روبش پتانسیل از $-0.4\text{--}0.5\text{ V}$ تا $-0.5\text{--}0.0\text{ V}$ در نظر گرفته شد و این محدوده با سرعت $100\text{ mV}\text{--}0.0\text{ s}^{-1}$ میلی ولت بر ثانیه روبش شد. همچنین در به کارگیری این روش ارتفاع پالس اثر حافظه و راپامیل جذب سطحی شده روی سطح الکترود اصلاح شده بعد از هر اندازه‌گیری (در هر دو روش ولتاومتری چرخه‌ای و پالس تفاضلی)، پنج روبش متوالی در محدوده $0.0\text{--}0.0\text{ V}$ تا

۱/۲۰ در محلول بافر فسفاتی $pH = 5/0$ انجام شد. هر اندازه‌گیری سه بار تکرار شد و میانگین جریان اکسایش وراپامیل در پتانسیل $1/02$ ولت در ولتاوتمتری چرخه‌ای و پتانسیل $0/90$ ولت در ولتاوتمتری پالس تفاضلی به دست آمد. محلول بافر فسفاتی $pH = 5/0$ بدون حضور وراپامیل برای ثبت سیگنال شاهد مورد استفاده قرار گرفت. اختلاف بین شدت جریان اکسایش وراپامیل و شاهد در پتانسیل $1/02$ ولت به عنوان سیگنال تجزیه‌ای در تکنیک ولتاوتمتری چرخه‌ای و اختلاف سیگنال‌های ذکر شده در پتانسیل $0/90$ ولت در تکنیک ولتاوتمتری پالس تفاضلی در منحنی کالیبراسیون مورد استفاده قرار گرفت. لازم به ذکر است که تمامی آزمایش‌ها در دمای اتاق انجام شد.

رابطه بین شدت جریان دماغه آندی و غلظت وراپامیل با ولتاوتمتری چرخه‌ای و ولتاوتمتری پالس تفاضلی در شرایط بهینه مورد مطالعه قرار گرفت. شکل (۱۵-۲) ولتاوموگرام‌های چرخه‌ای و پالس تفاضلی ثبت شده در غلظت‌های مختلف وراپامیل را با استفاده از الکترود MWCNT/GC نشان می‌دهد. همان‌طور که مشاهده می‌شود، با افزایش غلظت وراپامیل از ۲/۵۰ تا $70/00$ میکرومولار، جریان اکسایش در هر دو ولتاوموگرام چرخه‌ای و پالس تفاضلی به‌طور خطی افزایش می‌یابد. نتایج حاصل در شکل (۱۶-۲) و جدول (۱۰-۲) ارائه شده است.

معادلات منحنی‌های کالیبراسیون به صورت زیر قابل توصیف است:

$$CV: I_P (\mu A) = 0/085 C_{Ver} (\mu mol L^{-1}) + 0/329 (\mu A) \quad R^2 = 0/9986 \quad (10-2)$$

$$DPV: I_P (\mu A) = 0/077 C_{Ver} (\mu mol L^{-1}) + 0/433 (\mu A) \quad R^2 = 0/9991 \quad (11-2)$$

حد تشخیص (LOD) وراپامیل با استفاده از شیب منحنی‌های کالیبراسیون حاصل و بر مبنای سه برابر انحراف استاندارد سیگنال شاهد به کمک رابطه (۱۲-۲) محاسبه شد.

$$LOD = \frac{3S_b}{m} \quad (12-2)$$

جدول (۱۰-۲) اطلاعات مربوط به منحنی‌های کالیبراسیون در ناحیه خطی ۰/۵۰ تا ۰/۰۰ میکرومولار

وراپامیل در محلول باfer فسفاتی pH=۵/۰ موollar با در سطح MWCNT/GCE

ولتامتری پالس تفاضلی (DPV) (CV)	ولتامتری چرخه‌ای (CV)
غذcht وراپامیل (μmol L⁻¹) غذcht وراپامیل (μA) ± SD ^۱	غذcht وراپامیل (μmol L⁻¹) غذcht وراپامیل (μA) ± SD ^۱
۰/۶۰±۰/۱۰	۲/۵۰
۰/۶۷±۰/۱۵	۵/۰۰
۱/۲۰±۰/۲۲	۱۰/۰۰
۱/۶۴±۰/۲۰	۱۵/۰۰
۲/۳۶±۰/۲۵	۲۵/۰۰
۳/۵۰±۰/۳۳	۴۰/۰۰
۴/۳۲±۰/۴۲	۵۰/۰۰
۵/۸۰±۰/۴۰	۷۰/۰۰
۵/۸۰±۰/۳۵	۷۵/۰۰
۵/۹۵±۰/۴۲	۸۰/۰۰
۶/۰۰±۰/۳۴	۹۰/۰۰

*میانگین سه اندازه‌گیری

که در این رابطه، m شب منحنی کالیبراسیون و S_b انحراف استاندارد شاهد است که

طبق رابطه (۱۳-۲) محاسبه می‌شود:

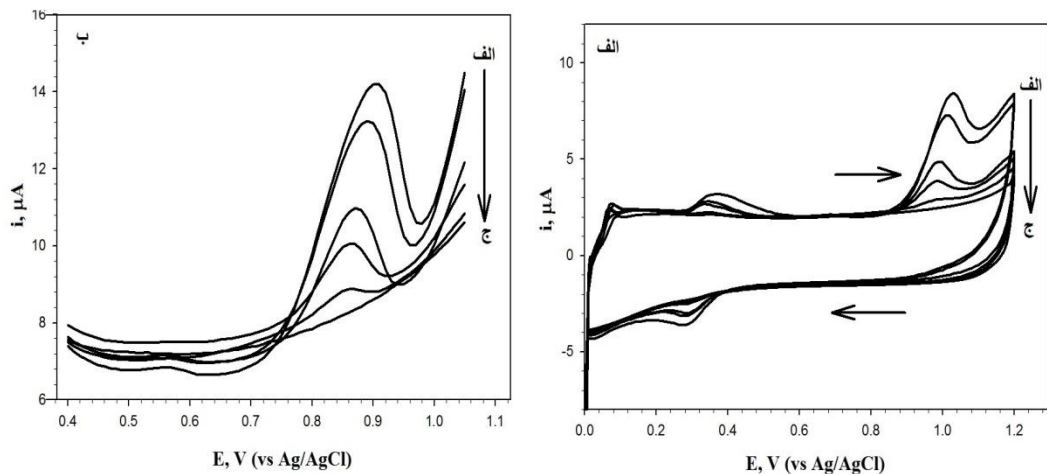
$$S_b = \sqrt{\frac{\sum(x_i - \bar{x})^2}{n-1}} \quad (13-2)$$

در این بررسی، برای محاسبه انحراف استاندارد شاهد ده اندازه‌گیری تکراری در محلول حاوی باfer فسفاتی pH=۵/۰ با استفاده از تکنیک‌های ولتامتری چرخه‌ای و پالس تفاضلی انجام شد. انحراف استاندارد شاهد با استفاده از معادله (۱۳-۲) هنگام به کارگیری تکنیک ولتامتری چرخه‌ای و ولتامتری پالس تفاضلی به ترتیب برابر با ۰/۰۵۷ میکروآمپر و ۰/۰۴۱ میکروآمپر محاسبه شد. به این ترتیب، حد تشخیص وراپامیل با استفاده از روش ولتامتری چرخه‌ای و با در

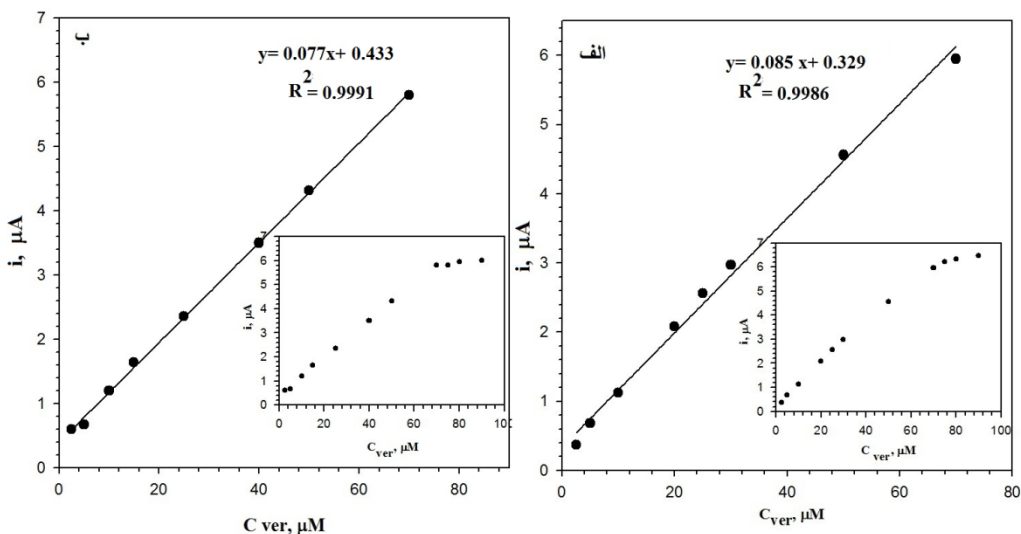
^۱ Standard deviation

نظر گرفتن شب منحنی کالیبراسیون ($m=0.85 \frac{\mu A}{\mu mol L^{-1}}$) و با دانستن انحراف استاندارد

شاهد $0.570 \mu A$ میکروآمپر در سطح الکترود MWCNT/GC برابر $200 \mu mol$ به دست آمد.



شکل (۱۵-۲): (الف) ولتاومگرامهای چرخهای با سرعت روبش 150 mVs^{-1} و (ب) ولتاومگرامهای پالس تفاضلی با سرعت روبش 100 mVs^{-1} (ارتفاع پالس 80 mV و مدت زمان اعمال پالس 50 میلی ثانیه) در سطح MWCNT/GCE در محلول بافر فسفاتی $\text{pH}=5.0$ مولار با $0.27 \mu M$ غلظت‌های مختلف وراپامیل: (الف) تا (ج) به ترتیب: $0.070, 0.050, 0.025, 0.010, 0.0025 \mu M$ و در غیاب وراپامیل.



شکل (۱۶-۲): (الف): نمودار تغییرات شدت جریان اکسایش بر حسب غلظت وراپامیل در محدوده $0.070-0.25 \mu M$ میکرومولار به کمک ولتاومتری چرخهای با سرعت روبش 150 mVs^{-1} . (ب): نمودار تغییرات شدت جریان اکسایش بر حسب غلظت وراپامیل در محدوده ذکر شده به کمک ولتاومتری پالس تفاضلی با سرعت روبش 100 mVs^{-1} (ارتفاع پالس 80 mV) در سطح MWCNT/GCE در محلول بافر فسفاتی $\text{pH}=5.0$ مولار با $0.27 \mu M$.

در حالیکه مقدار حد تشخیص با استفاده از تکنیک ولتامتری پالس تفاضلی، با شب منحنی کالیبراسیون $\frac{\mu\text{A}}{\mu\text{mol L}^{-1}}$ ۰/۰۷۷ و انحراف استاندارد شاهد ۰/۰۴۱ میکروآمپر برابر با ۱/۶۰ میکرومولار محاسبه شد. نتایج حاصل به خوبی توانمندی این الکترود اصلاح شده را در اندازه‌گیری ولتامتری و راپامیل اثبات می‌کند.

۲-۸-۴-۲ بررسی تکرارپذیری و تکثیرپذیری
 تکرارپذیری و تکثیرپذیری MWCNT/GCE، از طریق هجده بار اندازه‌گیری سیگنال تجزیه‌ای و راپامیل توسط سه الکترود مختلف (ساخته شده در سه روز متفاوت) در محلول بافر فسفاتی با pH=۵/۰ میکرومولار و راپامیل با روش ولتامتری چرخه‌ای در سرعت روش ۱۵۰ میلی ولت بر ثانیه بررسی شد. نتایج به دست آمده در جدول (۱۱-۲) گزارش شده است.

نتایج به دست آمده، به صورت آماری با کمک روش تحلیل واریانس در سطح اطمینان ۹۵٪ مورد بررسی قرار گرفت (جدول ۱۲-۲). براین اساس مقدار F محاسبه شده ($F_{\text{cal}} = ۲/۶۲$) کوچکتر از مقدار F بحرانی ($F_{\text{tab}} = ۴/۷۶$) برای آزمون دو طرفه به دست آمد. این نتیجه نشانگر دقیقت الکترودهای ساخته شده در روزهای مختلف است.

جدول (۱۱-۲) نتایج تکرارپذیری الکترودهای MWCNT/GC برای اندازه‌گیری سیگنال تجزیه‌ای محلول ۵۰/۰ میکرومولار و راپامیل در محلول بافر فسفاتی ۰/۰۲۷ مولار با pH=۵/۰ به روش ولتامتری چرخه‌ای در سرعت روش ۱۵۰ mVs⁻¹

* میانگین شش اندازه‌گیری شده (A)
 ** انحراف استاندارد شش اندازه‌گیری

	الکترود اول- روز اول	الکترود دوم- روز دوم	الکترود سوم- روز سوم
۶/۰۳±۰/۵۵			
۵/۸۳±۰/۱۲			
۶/۲۸±۰/۱۹			

* میانگین شش اندازه‌گیری

** انحراف استاندارد شش اندازه‌گیری

جدول (۱۲-۲) تحلیل واریانس داده‌های مربوط به اندازه‌گیری سیگنال تجزیه‌ای محلول $50/0$ میکرو مولار و راپامیل در محلول بافر فسفاتی $0/0\cdot27$ pH مولار با $0/0\cdot27$ توسط الکترودهای MWCNT/GC مختلف در روزهای مختلف به روش ولتامتری چرخه‌ای با سرعت روش 150mVs^{-1} .

منبع تغییرات	DF ^۱	SS _{Adj} ^۲	MS _{Adj} ^۳	F- value	F-table
بین گروه‌ها	۲	۰/۶۲۸	۰/۳۱۴	۲/۶۲	۴/۷۶
درون گروه	۱۵	۱/۷۹۹	۰/۱۲۰	-	-
کل	۱۷	۲/۴۲۷	-	-	-

۳-۸-۴-۲ بررسی دقت و صحت روش

علاوه بر این، دقت و صحت به عنوان یکی دیگر از ارقام شایستگی روش، از طریق پنج بار اندازه‌گیری و راپامیل توسط MWCNT/GCE به روش ولتامتری چرخه‌ای در محدوده دامنه خطی منحنی کالیبراسیون در غلظت‌های $15/0$ و $30/0$ میکرو مولار در محلول بافر فسفاتی با pH=۵، مورد بررسی قرار گرفت. به این منظور پنج اندازه‌گیری تکراری از محلول‌های مورد نظر در شرایط کالیبراسیون انجام و ولتاوموگرام‌های مربوطه ثبت شد. سپس غلظت مربوط به میانگین سیگنال‌های تجزیه‌ای با استفاده از معادلات منحنی‌های کالیبراسیون مربوطه محاسبه شد. نتایج به دست آمده در جدول (۱۳-۲)، گزارش شده است. بررسی آزمون t نشان می‌دهد که بین مقدار و راپامیل اندازه‌گیری شده و مقدار و راپامیل واقعی موجود در محلول، اختلاف معناداری وجود نداشته و روش از صحت خوبی برخوردار است. صحت مناسب روش از درصد بازیابی و درصد خطای نسبی نیز قابل نتیجه‌گیری است. همچنین با دانستن مقادیر انحراف استاندارد و میانگین در هر غلظت اندازه‌گیری شده، می‌توان مقادیر RSD را محاسبه نمود و به دقت روش پی برد. محاسبه مقادیر RSD دقت خوب روش را تایید می‌کند.

^۱ Degree of freedom

^۲ Adjusted sum of squares

^۳ Adjusted mean of squares

جدول (۱۳-۲) نتایج دقت و صحت روش برای اندازه‌گیری محلول‌های استاندارد وراپامیل به روش ولتاویری چرخه‌ای در سطح MWCNT/GCE در محلول بافر فسفاتی pH=۵/۰ مولار با سرعت روبش mV s^{-1}

٪RE ***	درصد بازیابی	مقدار t محاسبه ** شده	١٥٠		Ver($\mu\text{mol L}^{-1}$)	
			غلظت اندازه‌گیری شده*			
			SD	($\mu\text{mol L}^{-1}$)		
-۱/۳۳	۹۸/۷	۰/۷۴	۱۴/۸±۰/۶		۱۵/۰	
-۱/۰۰	۹۹/۰	۰/۵۲	۲۹/۷±۱/۳		۳۰/۰	

* میانگین پنج اندازه‌گیری

** مقدار t بحرانی در سطح اطمینان ۹۵٪ برای پنج اندازه‌گیری، ۲/۷۷ می‌باشد

*** درصد خطای نسبی

۴-۸-۴-۲ بررسی پایداری MWCNT/GCE

از روش ولتاویری چرخه‌ای برای بررسی میزان پایداری الکترود کربن شیشه اصلاح شده

با MWCNT استفاده گردید و اثر چرخه‌های متوالی بر رفتار الکتروشیمیایی آن مورد بررسی قرار گرفت. به این منظور، پس از تهیه الکترود، اندازه‌گیری در محلول بافر فسفاتی pH=۵/۰ حاوی وراپامیل با غلظت ۲۰/۰ میکرومولار طبق روش ارائه شده در بخش ۲-۴-۲ انجام شد. سپس الکترود در محلول شاهد قرار داده شد و با به کارگیری ولتاویری چرخه‌ای ۵۰ روبش متوالی در گستره ۰/۰ تا ۱/۲۰ ولت با سرعت روبش ۱۵۰ میلی ولت بر ثانیه انجام شد. پس از آن الکترود با آب دو بار تقطیر شستشو داده شد و در محلول بافر فسفاتی pH=۵/۰ حاوی وراپامیل با غلظت ۲۰/۰ میکرومولار قرار گرفت و پتانسیل در محدوده ۰/۰ تا ۱/۲۰ با سرعت روبش ۱۵۰ میلی ولت بر ثانیه روبش شد. نتایج حاکی از آن است که با انتقال الکترود (پس از طی ۵۰ روبش متوالی در محلول بافر فسفاتی)، به سل الکتروشیمیایی حاوی بافر فسفاتی و وراپامیل ۲۰/۰ میکرو مولار، پتانسیل اکسایش وراپامیل ثابت باقی ماند. در حالیکه، شدت جریان اکسایش وراپامیل کمتر از ۵ درصد کاهش نشان داد. این نتایج بیانگر پایداری خوب حسگر تهیه شده می‌باشد. همچنین پس از نگهداری الکترود MWCNT/GCE به مدت ۱ هفته در دمای محیط، پاسخ آن نسبت به اکسایش وراپامیل به ۸۷ درصد الکترود تازه اصلاح شده

رسید.

۵-۴-۲ بررسی اثر مزاحمت برخی از ترکیبات در اندازه‌گیری ولتامتری و راپامیل در سطح MWCNT/GCE

به منظور بررسی میزان گزینش پذیری روش، تاثیر حضور گونه‌های مختلف آزمایشی بر شدت جریان دماغه اکسایش و راپامیل ($100 \mu\text{g/mL}$ معادل 200 میکرومولار) در پتانسیل $1/02$ ولت نسبت به الکترود مرجع نقره/نقره کلرید (پتاسیم کلرید $3/0$ مولار) مورد مطالعه و بررسی قرار گرفت. به این منظور، پنج اندازه‌گیری تکراری و راپامیل در سطح MWCNT/GCE انجام شد. میانگین (\bar{x}) و انحراف استاندارد (S) سیگنال‌های تجزیه‌ای (در غیاب گونه مزاحم) محاسبه شد. سپس مخلوط گونه مزاحم و راپامیل به سل الکتروشیمیایی افزوده شد و ولتاژگرام مربوطه ثبت گردید. اگر شدت جریان سیگنال تجزیه‌ای در این حالت، در محدوده $(\bar{x} \pm 3S)$ باشد به این معناست که یون مورد نظر با نسبت موجود، مزاحم نیست؛ در غیر اینصورت نسبت گونه مزاحم به راپامیل کاهش می‌یافتد تا مزاحمت مشاهده نشود. نتایج در جدول (۱۴-۲) ارائه شده است. همانگونه که مشاهده می‌شود، حضور بسیاری از ترکیبات تا غلظت $500 \mu\text{g/mL}$ تاثیر قابل ملاحظه‌ای بر شدت جریان دماغه اکسایش گونه آزمایشی مورد مطالعه ندارد. در حالیکه در غلظت‌های بالاتر از $100 \mu\text{g/mL}$ اوریک اسید، سیگنال اکسایش و راپامیل تحت تاثیر قرار گرفته و کاهشی در شدت جریان اکسایش آن مشاهده می‌شود.

جدول (۱۴-۲) بررسی تاثیر حضور گونه‌های آزمایشی مختلف بر شدت جریان دماغه آندی و راپامیل ($\mu\text{g/mL}$) در محلول بافر فسفاتی $\text{pH}=5.0$ مولار MWCNT/GCE به روش ولتامتری چرخه‌ای با سرعت روش^۱ 150 mV s^{-1}

گونه‌های مورد بررسی*	حد مجاز غلظت گونه مزاحم به غلظت راپامیل
نالیدکسیک اسید ^۱ ، گلوکز، اوره، سیانید، استات، نیترات، سیانید، کلرید، Ca^{2+} , K^+ , Na^+ , Li^+	۵۰
اوریک اسید	۱۰

*حداکثر نسبت اندازه‌گیری شده

۶-۸-۴-۲ اندازه‌گیری ولتامتری راپامیل در نمونه‌های حقیقی

کارایی الکترود اصلاح شده و روش توسعه یافته برای اندازه‌گیری راپامیل در نمونه‌های حقیقی مانند آب شهر، قرص راپامیل و سرم خون انسان مورد بررسی قرار گرفت. اندازه‌گیری این ترکیب در نمونه دارویی قرص بدین ترتیب انجام شد که چهار قرص راپامیل که هر یک حاوی 40 میلیگرم راپامیل است، وزن و در هاون بخوبی ساییده شد. سپس مقدار یک چهارم از پودر ساییده شده در مقدار کافی اتانول حل شد. محلول حاصله سپس به بالن حجمی 250 میلیلیتری منتقل و به کمک آب دوبار تقطیر به حجم رسانده شد. در هر مرحله 10 میلیلیتر از نمونه به سل الکتروشیمیایی (با حجم 10 میلیلیتر) منتقل شد. سپس، با افزودن حجم‌های مشخص و متفاوتی از نمونه استاندارد راپامیل به محلول داخل سل الکتروشیمیایی، اندازه‌گیری به روش ذکر شده در بخش ۱-۴-۲ صورت گرفت. آماده سازی نمونه سرم نیز به این روش انجام شد که نمونه‌ی حقیقی بیولوژیکی سرم خون از سانتریفیوژ کردن نمونه‌ی خون فرد سالم با سرعت 4000 دور بر دقیقه، به مدت 30 دقیقه در دمای اتاق به دست آمد. سپس به 20 میلیلیتر از نمونه سرم، 10 میلیلیتر استو نیتریل برای جداسازی پروتئین‌های موجود در سرم اضافه شد. در مرحله بعد دارو با غلظت مشخص به سرم اضافه شد و محلول حاصل به بالن

^۱ Nalidixic acid

حجمی ۰/۵ میلی لیتری منتقل شد. ۱/۰ میلی لیتر از محلول رقیق شده برای انجام آزمایشات مورد استفاده قرار گرفت [۱۱۴].

نمونه حقیقی آب شهر نیز بعد از عبور از کاغذ صافی بدون آماده سازی بیشتر مورد استفاده قرار گرفت. روش اندازه‌گیری نمونه‌ها مشابه روش به کار گرفته شده برای نمونه قرص بوده است. هر کدام از اندازه‌گیری‌ها سه بار تکرار شد و از منحنی کالیبراسیون برای تعیین غلظت و راپامیل در نمونه‌های حقیقی مورد نظر استفاده شد. نتایج به دست آمده در جدول (۲-۱۵) گزارش شده است. با توجه به داده‌های جدول مشاهده می‌گردد که مقادیر به دست آمده برای درصدهای بازیابی و t نشانگر صحت خوب روش ولتاوتمتری چرخه‌ای برای اندازه‌گیری و راپامیل می‌باشد و این نتایج توانایی الکترود اصلاح شده MWCNT/GC را برای اندازه‌گیری ولتاوتمتری این گونه آزمایشی در نمونه‌های حقیقی نشان میدهد. همان‌گونه که در جدول (۲-۱۵) مشاهده می‌شود، مقدار راپامیل در نمونه قرص به روش ولتاوتمتری در سطح MWCNT/GCE محاسبه گردید که توافق بسیار خوبی با مقدار مشخص شده در برچسب آن‌ها توسط کارخانه سازنده دارد.

۹-۴-۲ نتیجه گیری

در این بخش، اکسایش و راپامیل در سطح الکترود کربن شیشه‌ای اصلاح شده با نانولوله‌های کربنی چند دیواره مورد بررسی قرار گرفت. پتانسیل اکسایش و راپامیل در سطح MWCNT/GCE در پتانسیل ۱/۰۲ ولت نسبت به الکترود مرجع اتفاق می‌افتد. در حالیکه این ترکیب روی سطح الکترود کربن شیشه در پتانسیل نزدیک به ۱/۰ ولت نسبت به مرجع اکسید می‌شود. نتایج به دست آمده نشان می‌دهد که نانولوله‌های کربنی چند دیواره به کار گرفته شده در این مطالعه توانایی کاتالیز اکسایش و راپامیل را دارا نمی‌باشد اما به دلیل افزایش مساحت سطح الکتروفعال الکترود قادر به افزایش شدت جریان سیگنال تجزیه‌ای و در نتیجه افزایش

حساسیت اندازه‌گیری و راپامیل می‌باشد. در واقع، حساسیت تجزیه‌ای در حضور نانو لوله‌های کربنی چند دیواره افزایش یافته و شدت جریان الکترواکسایش ترکیب آزمایشی در سطح MWCNT/GCE در مقایسه با الکترود کربن شیشه‌ای اصلاح نشده بیشتر می‌شود.

جدول (۲-۱۵) نتایج حاصل از اندازه‌گیری ولتاوتمتری و راپامیل در محلول بافر فسفاتی ۰/۰۲۷ مولار با pH=۵ در سطح الکترود MWCNT/GC با روش ولتاوتمتری چرخه‌ای در نمونه‌های آب شهر، سرم و قرص (n=۳)

نمونه	مقدار اضافه شده (µg mL ⁻¹)	غلظت اندازه‌گیری شده (µg mL ⁻¹)	مقدار محاسبه شده t*	درصد بازیابی
آب شهر	----	مشاهده نشد	----	----
	۴/۰۰	۴/۱۵±۳/۳۵	۰/۱۹	۱۰۳/۷
	۸/۰۰	۷/۸۰±۲/۹۳	۰/۲۹	۹۷/۵
	۱۶/۰	۱۵/۵۶±۲/۶۶	۰/۷۱	۹۷/۳
سرم	----	مشاهده نشد	----	----
	۱۳/۵۰	۱۳/۰۰±۲/۷۳	۱/۴۴	۹۶/۳
	۲۰/۵۰	۲۰/۶۷±۳/۱۸	۰/۲۴	۱۰۰/۸
قرص	----	۱۶/۲±۲/۵		----
	۲/۵۰	۱۸/۷۴±۲/۱۴	۰/۰۶	۱۰۰/۲
	۳/۷۵	۲۰/۴۰±۳/۴۸	۰/۵۶	۱۰۲/۲
	۵/۰۰	۲۱/۶۵±۲/۴۱	۰/۸۰	۱۰۲/۱
مقدار برچسب روی قرص (mg)		مقدار اندازه‌گیری شده (mg)		
۴۰/۰		۴۰/۵±۶/۰		

* محدوده اطمینان در سطح اطمینان ۹۵٪.
** مقدار t بحرانی در سطح اطمینان ۹۵٪ برای سه اندازه‌گیری تکراری ۴/۳۰ می‌باشد.
*** نمونه قرص و راپامیل هیدرو کلرید از شرکت داروسازی روز دارو، ایران (مقدار ماده موثره در هر قرص ۴۰ میلی گرم).

این موضوع تاییدی بر قابلیت نانو لوله‌های کربنی موجود در سطح الکترود کربن شیشه‌ای، در افزایش هدایت الکتریکی و هم‌چنین مراکز فعال در سطح الکترود اصلاح شده برای اندازه‌گیری ولتاوتمتری گونه‌های فعال الکتروشیمیایی است. از طرف دیگر، اندازه‌گیری

ولتامتری ترکیب آزمایشی در نمونه‌های آب شهر، قرص و سرم در سطح MWCNT/GCE توانمندی بالای حسگر پیشنهادی برای اندازه‌گیری ولتامتری ترکیب مورد بررسی در نمونه‌های حقیقی مختلف را تایید می‌نماید.

جدول (۱۶-۲)، کارایی حسگر الکتروشیمیایی پیشنهادی در اندازه‌گیری وراپامیل را نسبت به سایر حسگرهای ارائه شده توسط محققین دیگر نشان می‌دهد. همان‌طور که ملاحظه می‌شود، حسگر پیشنهادی دارای حد تشخیص و دامنه خطی قابل مقایسه با برخی از حسگرهای ارائه شده در منابع علمی می‌باشد.

جدول (۱۶-۲) الکترودهای اصلاح شده مختلف برای اندازه‌گیری وراپامیل

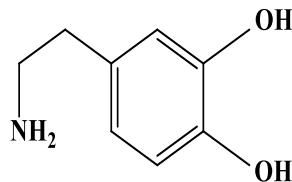
منبع	ناحیه خطی (مولار)	حد تشخیص (مولار)	روش اندازه‌گیری	نوع الکترود
[۱۰۷]	$2 \times 10^{-6} - 3 \times 10^{-6}$	0.7×10^{-6}	ولتامتری پالس	الکترود مرکب گرافیت- پلی اورتان تفاضلی
[۱۰۸]	$1 \times 10^{-4} - 1 \times 10^{-7}$	1.6×10^{-7}	ولتامتری پالس	دیسک کربن شیشه تفاضلی
[۱۰۹]	$1 \times 10^{-7} - 1 \times 10^{-9}$	3.6×10^{-9}	ولتامتری برهنه	کربن شیشه اصلاح شده با نانو لوله کربنی و فیلم پلی آلیل آمین هیدروکلراید
[۱۱۰]	$1 \times 10^{-9} - 1 \times 10^{-9}$	4.1×10^{-8}	ولتامتری پالس	خمیر کربن اصلاح شده با مواد بلورین مغناطیسی پیوند شده با اسید سولفونیک
تحقيق حاضر	$1 \times 10^{-6} - 7 \times 10^{-6}$	$1.6 \times 10^{-6} - 1 \times 10^{-9}$	ولتامتری پالس	کربن شیشه اصلاح شده با نانو لوله کربن چند دیواره
	2×10^{-6}	2×10^{-6}	ولتامتری چرخه‌ای	

همان‌طور که در جدول مشاهده می‌شود، حد تشخیص و دامنه خطی روش‌های به کار گرفته شده در این مطالعه تحقیقاتی (ولتامتری پالس تفاضلی و ولتامتری چرخه‌ای) با روش‌های ولتامتری پالس تفاضلی ارائه شده توسط مراجع قابل مقایسه است [۱۰۷, ۱۰۸]. اگرچه برخی دیگر از گزارشات ارائه شده از دامنه خطی و حد تشخیص بهتری برخوردار هستند. [۱۰۹] اما روش تهیه و آماده سازی الکترود در این مطالعات وقت‌گیر و دشوار بوده است.

۵-۲ الکترود خمیرکربن اصلاح شده با متیل تیوراسیل به عنوان حسگر ولتامتری جدید بر اساس واکنش افزایشی ۱،۴-مایکل برای اندازه‌گیری دوپامین

دوپامین^۱ ($pK_a = 8/9$) شکل (۱۷-۲)، پیامرسان عصبی از نوع کتکول آمین است که

در بیشتر مهره داران و بی‌مهرگان وجود دارد. در شکل دارویی به عنوان تنگ کننده عروق، افزایش دهنده فشار خون و افزایش دهنده خون رسانی ارگان‌های حیاتی به کار می‌رود [۱۱۵، ۱۱۶]. هورمون مغزی دوپامین به انسان توانایی و انرژی بیشتری می‌بخشد که کمبود آن باعث خستگی و بی‌حوصلگی در افراد می‌شود [۱۱۷]. هورمون دوپامین نه تنها مسئول تولید نشاط و هیجان است بلکه در تولید هراس و ترس نیز دخالت دارد [۱۱۸]. دوپامین یکی از مشتقات کتکول آمین است و به عنوان یک انتقال‌دهنده در سیستم عصبی نقش مهمی در اعتیاد بازی می‌کند [۱۱۹]. بیماری‌های مانند جنون و پارکینسون نتیجه‌ی از بین رفتن اعصاب حاوی دوپامین می‌باشد. از اینرو، توسعه روش‌های سریع و گزینش‌پذیر برای اندازه‌گیری دوپامین مورد توجه دانشمندان بوده است. روش‌های مختلفی نظیر تزریق در جریان اسپکتروفوتومتری [۱۲۵]، کروماتوگرافی مایع عملکرد بالا [۱۲۳، ۱۲۲]، کروماتوگرافی گازی [۱۲۴] و [۱۲۰، ۱۲۱] برای اندازه‌گیری دوپامین گزارش شده است. اگرچه این روش‌ها گزینش‌پذیری بالایی دارند، اما از معایبی نظیر قیمت بالای دستگاه مورد استفاده، پیچیدگی عملکرد دستگاه و زمان طولانی برای انجام اندازه‌گیری رنج می‌برند.



شکل (۱۷-۲): فرمول ساختاری دوپامین [۱۲۶].

^۱ Dopamine

از بین روش‌های مختلف تجزیه‌ای، روش‌های الکتروشیمیایی دارای حساسیت بالایی می‌باشند و با توجه به اینکه گونه‌های غیرالکتروفعال در این روش مزاحمتی ایجاد نمی‌کنند داده‌های به دست آمده تا حد زیادی قابل اعتماد هستند [۱۲۶, ۱۲۷]. اخیراً، حسگرهای ولتاوتمتری زیادی برای اندازه‌گیری دوپامین بر پایه الکترودهای اصلاح شده شیمیایی مورد استفاده قرار گرفته است. الکترودهای اصلاح شده متفاوتی نظیر: الکترودهای اصلاح شده با پلیمر [۱۲۸, ۱۲۹]، الکترودهای اصلاح شده با نانو مواد [۱۳۰, ۱۳۱]، الکترودهای اصلاح شده با مایع یونی [۱۳۲, ۱۳۳] برای اندازه‌گیری ولتاوتمتری دوپامین به کار گرفته شده‌اند. مهمترین نقص این الکترودهای اصلاح شده‌ی شیمیایی طولانی بودن فرآیند تهیه، عدم پایداری، ضخامت غیریکنواخت فیلم جذب سطحی شده و عدم تکرارپذیری الکترود تهیه شده است. بنابر دلایل ذکر شده، ساخت الکترودی که بتواند جایگزین الکترودهای اصلاح شده شیمیایی شود و تا حد زیادی معایب ذکر شده را نیز نداشته باشد مورد توجه دانشمندان بوده است. بدین منظور الکترودهای اصلاح شده خمیر کربن به کار گرفته می‌شوند که نه تنها تهیه آن‌ها آسان و سریع است بلکه از تکرارپذیری خوبی هم برخوردار هستند. مهمتر از آن، این الکترودها با مشکل جذب سطحی برگشت‌ناپذیر گونه هدف روی سطح الکترود مواجه نیستند. سوامی^۱ و همکاران در سال ۲۰۱۲، به کمک الکترود خمیر کربن اصلاح شده با پلی رودامین اندازه‌گیری دوپامین در را گزارش کردند [۱۳۴]. در این روش با به کارگیری ولتاوتمتری پالس تفاضلی، حد تشخیص ۰/۳۹ میکرومولار و ناحیه خطی ۰/۰-۶ میکرومولار گزارش شد. این گروه همچنین در سال ۲۰۱۲، با اصلاح الکترود خمیر کربن به کمک نانو ذرات اکسید مس به اندازه‌گیری ولتاوتمتری دوپامین پرداختند [۱۳۵]. غلظت دوپامین روی سطح این الکترود در ۰/۰-۲۰ میکرومولار خطی گزارش شد. حد تشخیص در این روش $^{+8} \times 5/5 \times 10^{-8}$ مولار می‌باشد. در مطالعه دیگری در سال ۲۰۱۲، این گروه از ترکیب موراکسید و ترتیتون-X-۱۰۰ برای اصلاح

^۱ Swamy

الکترود خمیر کربن برای اندازه‌گیری دوپامین استفاده نمود [۱۳۶]. در این مطالعه با استفاده از تکنیک ولتامتری چرخه‌ای حد تشخیص روش ۱۵۰/۰ میکرو مولار و دامنه خطی ۶۰/۰-۱۰/۰ میکرو مولار گزارش شد. مطالعه دیگر انجام شده توسط این گروه با استفاده از ترتیتون-X۱۰۰ برای اصلاح الکترود انجام گرفت [۱۳۷]. بدین ترتیب از الکترود اصلاح شده با استفاده از تکنیک ولتامتری پالس تفاضلی برای اندازه‌گیری دوپامین استفاده گردید و حد تشخیص روش ۳/۰ میکرو مولار و دامنه خطی ۵۰۰/۰۰-۲۰/۰ میکرو مولار گزارش شد. سوامی و همکاران همچنین الکترود خمیر کربن را با اکسید گرافیت اصلاح کردند و از این الکترود برای اندازه‌گیری دوپامین استفاده شد [۱۳۸]. حد تشخیص گزارش شده در این اندازه‌گیری ۱۰/۰ میکرو مولار و دامنه خطی ۷۰/۰۰-۷۰/۰ میکرو مولار گزارش شد. در سال ۲۰۱۴ این گروه با اصلاح خمیر کربن با نانو لوله کربنی به اصلاح الکترود پرداختند و حد تشخیص ۱۲۰/۰ میکرو مولار و دامنه خطی ۱۰/۰-۱۰/۰ میکرو مولار برای اندازه‌گیری دوپامین در سطح این الکترود اصلاح شده با تکنیک ولتامتری پالس تفاضلی به دست آمد [۱۳۹]. در این بخش از رساله، الکترود خمیر کربن با به کار گیری مตیل تیوراسیل به عنوان اصلاح‌گر، که به دلیل حضور گوگرد دارای خاصیت نوکلئوفیلی است، اصلاح شد. الکترود اصلاح شده سپس برای اندازه‌گیری دوپامین مورد بررسی قرار گرفت. مطالعات کتابخانه‌ای نشان می‌دهد که تاکنون از ترکیبات نوکلئوفیل برای اصلاح خمیر کربن استفاده نشده است.

علاوه بر این، به دلیل استفاده از روش طراحی آزمایش برای بهینه سازی پارامترهای موثر در این مطالعه تحقیقاتی، توضیح در مورد این روش ضروری به نظر می‌رسد. از این‌رو در ادامه این فصل به توضیح مختصراً درباره روش طراحی آزمایش پرداخته می‌شود.

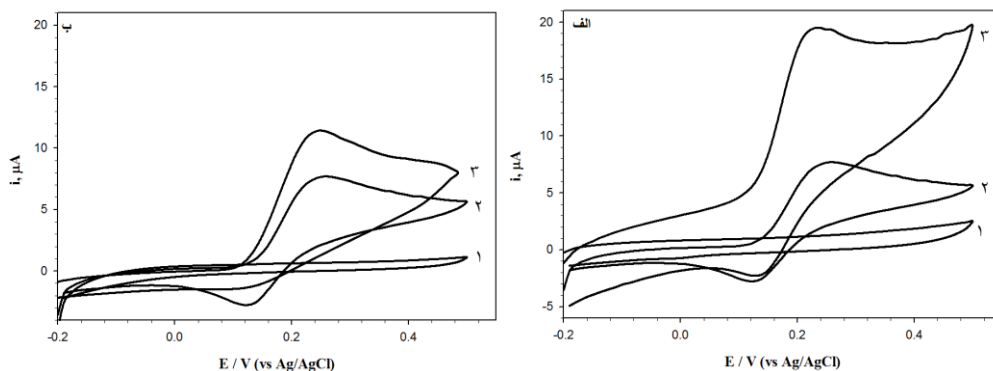
۱-۵-۲ تهیه الکترود خمیر کربن اصلاح شده با متیل تیوراسیل

برای تهیه الکترود خمیر کربن اصلاح شده با متیل تیوراسیل (MT/MCPE^۱، ابتدا ۰/۰ گرم متیل تیوراسیل به ۰/۲۴۰ گرم پودر گرافیت اضافه شد. پس از افزودن mL ۲/۰ دی متیل فرمامید، به منظور رسیدن به مخلوط یکنواخت، ترکیب به مدت ۱۵ دقیقه در حمام اولتراسونیک قرار گرفت. مخلوط حاصل تا تبخیر کامل حلal به کمک همزن مغناطیسی هم زده شد. بعد از تبخیر کامل حلal، Lm ۱۷۵/۰ روغن پارافین به مخلوط اضافه شد و مخلوط در هاون چینی تا ایجاد خمیر کربن کاملاً یکنواخت هم زده شد. خمیر کربن اصلاح شده با متیل تیوراسیل به یک لوله تفلونی با قطر داخلی mm ۶/۰ منتقل شد و اتصال الکتریکی از طریق فرو بردن یک سیم مسی در خمیر کربن ایجاد گردید. با ساییدن سطح الکترود بر روی یک ورق سفید کاغذ گلاسه، سطح کاملاً صاف و یکنواختی حاصل می‌شود. تجدید سطح الکترود براحتی از طریق پیچاندن تیوب تفلونی و خارج کردن بخشی از خمیر کربن و ساییدن سطح الکترود بر روی کاغذ انجام می‌شود. الکترود خمیر کربن اصلاح نشده (CPE) نیز به همین روش، اما بدون افزودن متیل تیوراسیل، تهیه گردید. به این ترتیب که ۰/۲۵۰ گرم پودر گرافیت در mL ۲/۰ دی متیل فرمامید پخش شد و به مدت ۱۵ دقیقه در حمام اولتراسونیک قرار گرفت تا به شکل کاملاً یکنواخت در آید. سپس پودر کربن پخش شده در حلal دی متیل فرمامید تا تبخیر کامل حلal به کمک همزن مغناطیسی هم زده شد. بعد از تبخیر کامل حلal، Lm ۱۷۵/۰ روغن پارافین به پودر گرافیت اضافه شد و در هاون چینی تا ایجاد خمیر کربن کاملاً یکنواخت هم زده شد.

۲-۵-۲ معرفی سیستم الکتروشیمیایی مورد استفاده برای اندازه‌گیری دوپامین ولتاوی چرخه‌ای و ولتاوی تفاضلی برای مطالعه رفتار اکسایش دوپامین در سطح الکترود خمیر کربن اصلاح شده با متیل تیوراسیل مورد استفاده قرار گرفت. شکل (۲-۱۸)،

^۱ Methylthiouracil modified carbon paste electrode

ولتاموگرامهای چرخه‌ای الکترودهای (MT/MCPE)، و الکترود خمیر کربن اصلاح نشده را در محلول بافر فسفاتی با $pH=7.0$ حاوی 10.0 میلی مولار دوپامین نشان می‌دهد. همان‌طور که در شکل ۲-۱۸-الف (ولتاموگرام ۱) مشخص است متیل تیوراسیل در گستره پتانسیلی به کار گرفته شده در محلول بافر فسفاتی با $pH=7.0$ الکتروفعال نمی‌باشد. شکل ۲-۱۸-الف (ولتاموگرام ۲) نشان می‌دهد که ولتاموگرام چرخه‌ای دوپامین روی سطح الکترود CPE دارای دماغه آندی و کاتدی کاملاً مشخص است که دماغه آندی در پتانسیل $0.26V$ ولت نسبت به الکترود مرتع ناشی از اکسایش دوپامین به دوپامینوکینون می‌باشد که گونه‌ای الکتروفعال است و در چرخه برگشت می‌تواند احیا شود (پتانسیل $0.13V$ ولت نسبت به الکترود مرتع) و دوپامین تولید کند. علاوه بر این، ولتاموگرامهای به دست آمده روی سطح MT/MCPE (شکل ۲-۱۸-الف ولتاموگرام ۳) نشان می‌دهد که نه تنها جریان دماغه آندی دوپامین به‌طور چشمگیری افزایش می‌یابد، بلکه پتانسیل نیز نسبت به CPE به سمت مقادیر منفی (پتانسیل $-0.23V$ ولت نسبت به الکترود مرتع) جابجا می‌شود. علاوه بر این دماغه کاتدی مربوطه نیز اندکی به سمت مقادیر مثبت جابجا می‌شود (پتانسیل $0.14V$ ولت نسبت به الکترود مرتع).



شکل (۲-۱۸): (الف) ولتاموگرامهای چرخه‌ای مربوط به MT/MCPE در غیاب دوپامین در بافر فسفاتی با $pH=7.0$ در بازه -0.20 تا $+0.5$ ولت (۱)، 10.0 mM دوپامین روی سطح CPE (۲) و MT/MCPE (۳). (ب) ولتاموگرامهای مربوط به CPE در محلول 10.0 mM متیل تیوراسیل (۱)، 10.0 mM دوپامین (۲) و محلول حاوی 10.0 mM متیل تیوراسیل و 10.0 mM دوپامین (۳) در بافر فسفاتی $pH=7.0$ مولار با $0.27V$ سرعت روبش $1000 mVs^{-1}$ ولت؛ زمان انباشت 160 ثانیه؛ زمان استراحت 20 ثانیه.

از سوی دیگر، چنان‌که در شکل (۲-۱۸-ب) ولتاموگرام ۱) مشاهده می‌شود متیل تیوراسیل در

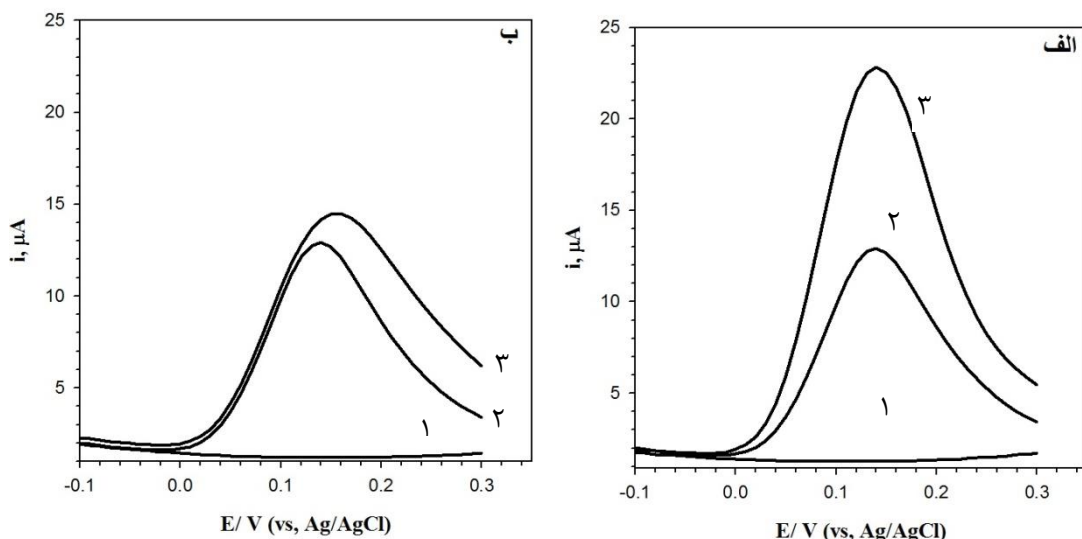
محلول بافر فسفاتی با $pH=7.0$ در سطح الکترود خمیر کربن الکتروفعال نمیباشد. در حالیکه، دماغه رفت و برگشت مربوط به اکسایش و کاهش دوپامین در سطح الکترود خمیر کربن در محلول بافر فسفاتی با $pH=7.0$ حاوی 0.10 میلی مولار دوپامین بهراحتی قابل مشاهده است (شکل ۲-۱۸-ب ولتاموگرام ۲). بررسیها در محلول بافر فسفاتی $pH=7.0$ حاوی 0.10 mM متیل تیوراسیل و 0.10 mM دوپامین نیز نشان میدهد که حضور همزمان این دو باعث افزایش دماغه اکسایش دوپامین و حذف دماغه کاهش آن میشود. با توجه به ولتاموگرامهای بهدست آمده، شدت جریان اکسایش دوپامین با بهکارگیری اصلاحگر در توده خمیر کربن بطور چشمگیری بیشتر از هنگامی است که متیل تیوراسیل در محلول حاضر است. بنابراین، در این مطالعه از روش اصلاح توده برای ساخت الکترود استفاده گردید. از آنجاییکه روش‌های ولتامتری تفاضلی نسبت به ولتامتری چرخه‌ای، از حساسیت بالاتری برخوردار هستند، این روش در مطالعه اکسایش دوپامین در سطح MT/MCPE مورد استفاده قرار گرفت. از طرف دیگر، ولتامتری برهنه سازی جذب سطحی، به عنوان یک ابزار الکتروشیمیایی قوی برای اندازه‌گیری مقادیر کم آنالیت شناخته میشود که طی آن ابتدا پیش تغییظ گونه آزمایشی در سطح الکترود صورت میگیرد و سپس گونه پیش تغییظ شده طی یک فرآیند الکتروشیمیایی از سطح الکترود آزاد میگردد [۱۴۰]. با توجه به حساسیت بالای این روش، اکسایش دوپامین در سطح CPE و MT/MCPE با استفاده از این روش مورد مطالعه قرار گرفت.

شکل (۲-۱۹) ولتاموگرامهای پالس تفاضلی اکسایش دوپامین را در محلول بافر فسفاتی با $pH=7.0$ روی سطح الکترودهای خمیر کربن متفاوت نشان میدهد. از مقایسه ولتاموگرامهای (۲) و (۳) شکل (۲-۱۹-الف) میتوان به این نتیجه رسید که اکسایش دوپامین در سطح الکترود خمیر کربن اصلاح شده با متیل تیوراسیل از حساسیت بسیار بالاتری نسبت به خمیر

کربن اصلاح نشده برخوردار است. از طرف دیگر، با مقایسه ولتاموگرامهای (۲) و (۳) شکل (۲-۱-ب) می‌توان نتیجه گرفت هنگامی که از CPE به عنوان الکتروود کار استفاده شود و متیل تیوراسیل و دوپامین به صورت محلول در سل الکتروشیمیایی وجود داشته باشند نیز شدت جریان دماغه اکسایش دوپامین افزایش می‌یابد. اگرچه میزان این افزایش جریان کمتر از حالتی است که متیل تیوراسیل به عنوان اصلاحگر در پیکره خمیر کربن قرار می‌گیرد. این نتایج به خوبی نتایج حاصل از ولتامتری چرخه‌ای را تایید می‌کنند. در بخش (۴-۵-۲) به تفصیل به توضیح دلایل این مشاهدات پرداخته شده است.

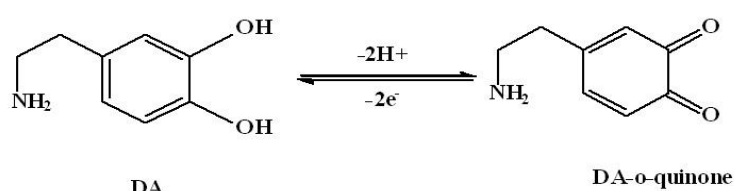
با توجه به مطالب ذکر شده، در این مطالعه تحقیقاتی، به منظور افزایش حساسیت روش و رسیدن به حد تشخیص پایین‌تر در اندازه‌گیری دوپامین، کلیه مراحل بهینه سازی و رسم منحنی کالیبراسیون با به کارگیری روش ولتامتری تفاضلی برهنه سازی جذب سطحی صورت گرفت. در بررسی‌های انجام شده به کمک ولتامتری پالس تفاضلی، شدت جریان اکسایش دوپامین در محلول بافر فسفاتی $pH=7.0$ در پتانسیل $15/0$ ولت، به عنوان سیگنال در نظر گرفته شد.

محلول شاهد، محلول بافر فسفاتی در غیاب دوپامین، برای اندازه‌گیری سیگنال شاهد مورد استفاده قرار گرفت. هر اندازه‌گیری سه بار تکرار شد و شدت جریان میانگین این اندازه‌گیری‌ها در بررسی‌های انجام شده مورد استفاده قرار گرفت. به منظور تجدید سطح الکتروود پس از هر اندازه‌گیری، الکتروود تفلونی حاوی خمیر کربن چرخانده شد تا مقداری از خمیر کربن از درون لوله تفلونی خارج شود، سپس تجدید سطح الکتروود با ساییدن الکتروود روی کاغذ صاف انجام شد.

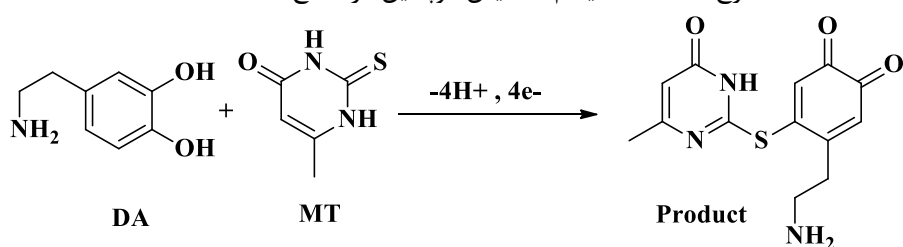


شکل (۱۹-۲): (الف) ولتاژوگرامهای پالس تفاضلی مربوط به MT/MCPE در غیاب دوپامین در بافر فسفاتی با $pH=7.0$ (۱)، 0.10 mM دوپامین روی سطح CPE (۲) و MT/MCPE (۳). (ب) ولتاژوگرامهای مربوط به MT/MCPE در محلول 0.10 mM متیل تیوراسیل (۱)، 0.10 mM دوپامین (۲) و محلول حاوی 0.10 mM متیل تیوراسیل و 0.10 mM دوپامین (۳) در بافر فسفاتی (0.27 Molar با $pH=7.0$) سرعت روبش 60 mVs^{-1} ، ارتفاع پالس 80 mV ، مدت زمان اعمال پالس 20 ms ، پتانسیل انباشت، -0.20 V ولت؛ زمان انباشت 160 ثانیه ؛ زمان استراحت 20 ثانیه .

مکانیسم پیشنهادی کلی واکنش اکسایش دوپامین در حضور و غیاب متیل تیوراسیل در طرحهای شماتیک (۲-۲) و (۳-۲) ارائه شده است.



طرح (۲-۲): مکانیسم اکسایش دوپامین در سطح CPE [۱۳۴].



طرح (۳-۲): مکانیسم پیشنهادی برای واکنش کلی دوپامین در سطح MT/MCPE

در واقع روی سطح الکترود اصلاح شده، فرآیندی متفاوت با الکترود اصلاح نشده در حال انجام است و این امر به دلیل استفاده از MT، اصلاحگر حاوی گروه تیول، به عنوان عامل نوکلئوفیل در پیکره الکترود خمیر کربن است.

۳-۵-۲ بررسی و بهینه سازی متغیرهای موثر بر روی حساسیت به روش طراحی آزمایش

به منظور فراهم نمودن بهترین حساسیت و در نتیجه بهترین حد تشخیص، متغیرهای موثر بر شدت جریان اکسایش دوپامین مورد بررسی قرار گرفت. در بررسی پارامترهای موثر، ابتدا از روش بهینه سازی یک متغیر در زمان استفاده شد. در این روش همه متغیرها ثابت در نظر گرفته شدند و تنها پارامتری که باید بهینه شود، تغییر داده شد. به این ترتیب که پس از تهیه الکترود اصلاح شده، به منظور ثبت ولتاژ‌گرام‌های تجزیه‌ای، در هر مرحله ۱/۰ میلی لیتر از محلول استاندارد دوپامین با غلظت ۰/۰ میلی مولار و ۴/۰ میلی لیتر از بافر فسفاتی با pH معین به سل الکتروشیمیایی افزوده شد سپس حجم محلول درون سل با آب دو بار تقطیر به ۱۰/۰ میلی لیتر رسانده شد. سپس همزن مغناطیسی روشن و پتانسیل انباشت برای مدت زمان مشخص به محلول در حال هم خوردن اعمال شد. پس از پایان زمان انباشت، همزن خاموش و پس از ۲۰ ثانیه زمان استراحت، ولتاژ‌گرام پالس تفاضلی در محدوده ۰/۰ تا ۰/۴۰ ولت با سرعت روبش معین و با مقادیر مشخصی از ارتفاع و مدت زمان اعمال پالس ثبت شد. هر اندازه‌گیری پس از تجدید سطح الکترود (مطابق توضیح ارائه شده در بخش ۲-۵) سه بار تکرار شد و میانگین جریان اکسایش دوپامین در پتانسیل ۱۵/۰ ولت به دست آمد. محلول بافر فسفاتی با pH معین بدون حضور دوپامین برای ثبت سیگنال شاهد مورد استفاده قرار گرفت. اختلاف بین شدت جریان اکسایش دوپامین و شاهد در پتانسیل ۱۵/۰ ولت به عنوان سیگنال تجزیه‌ای مورد استفاده قرار گرفت. لازم به ذکر است که تمامی آزمایش‌ها در دمای اتاق انجام شد.

پارامترهای موثر مورد بررسی در این آزمایش عبارتند از pH محلول، حجم بافر برحسب میلی لیتر، پتانسیل انباشت (E_{acc}) بر حسب ولت، زمان انباشت (t_{acc}) بر حسب ثانیه، وزن اصلاحگر (W_m) بر حسب گرم (مقدار نهایی اصلاحگر و پودر گرافیت ۰/۲۵ گرم بوده است) و سرعت روش (v) بر حسب میلی ولت بر ثانیه، مدت زمان اعمال پالس بر حسب میلی ثانیه و ارتفاع پالس بر حسب میلی ولت. مقادیر بهینه به دست آمده بهروش تک متغیره در جدول (۱۷-۲) ارائه شده است. لازم به ذکر است نتایج حاصل از بررسی روش بهینه سازی یک متغیر در زمان در پیوست ارائه شده است.

سپس برای بررسی برهمکنش‌های عوامل و پارامترهای موثر بر هم از روش بهینه سازی طراحی آزمایش استفاده شد. روش کار در بهینه سازی همزمان متغیرها به روش طراحی آزمایش به این صورت بود که ابتدا پارامترهای موثر به وسیله طرح پلاکت – برمی شناسایی شد و سپس طرح مرکب مرکزی برای ساخت مدل و پیش‌بینی مقدار بهینه پارامترها به کار برد شد.

جدول (۱۷-۲) مقادیر بهینه به دست آمده برای اکسایش محلول ۱۰/۰ میکرو مولار دوپامین در سطح MT/MCPE از طریق روش تک متغیره با استفاده از روش ولتاومتری پالس تفاضلی جذب سطحی

پارامتر مورد بررسی	نوع و یا مقدار بهینه
pH محلول	۷/۰
(mL) حجم بافر	۴/۰
(ms) مدت زمان اعمال پالس	۴۰
(mV) ارتفاع پالس	۸۰
($mV s^{-1}$) v	۵۰
(g) W_m	۰/۰۱۲۵*
(s) t_{acc}	۱۷۰
(V) E_{acc}	-۰/۱۰

*میزان پودر گرافیت برابر با ۰/۲۳۷۵ گرم

۱-۳-۵-۲ غربال کردن پارامترهای مهم با استفاده از طرح پلاکت – برمی زمانی که هدف از انجام یک آزمایش غربال کردن عامل‌ها باشد، لازم است بعد از انتخاب عامل‌ها، دامنه تغییرات همراه با سطوح معینی از این عامل‌ها جهت انجام آزمایش‌های مورد نظر

تعیین شود. به طور کلی در مطالعات غربالی، استفاده از دو سطح برای هر عامل می‌تواند به خوبی پاسخگو باشد که که سطح بالاتر به صورت " + " و سطح پایین‌تر به صورت " - " نشان داده می‌شود. بعد از تعیین سطوح مناسب (برمبنای مطالعات صورت گرفته اولیه بر مبنای روش یک متغیر در یک زمان) برای عوامل مؤثر در اندازه‌گیری دوپامین، از نرم افزار Minitab ۱۶ برای ایجاد طرح پلاکت – برمون و پردازش داده‌ها استفاده شد. هنگامی که ۵ عامل مورد بررسی باشد و دو تکرار وجود داشته باشد، تعداد آزمایش‌ها برابر با ۲۴ آزمایش می‌باشد. جدول (۱۸-۲) خلاصه‌ای از این طرح را نشان می‌دهد.

جدول (۱۸-۲) فاکتورها و سطوح به کار گرفته شده در طراحی پلاکت-برمن برای اندازه‌گیری دوپامین ۱۰٪ میکرو مولار در سطح MT/MCPE با استفاده از روش ولتاوتمتری پالس تفاضلی جذب سطحی

متغیرها	نشانه‌ها	سطوح فاکتورها
		پایین (-)
pH	A	۷/۶
E _{acc} (V)	B	-۰/۲
t _{acc} (s)	C	۶۰
W _m (g)	D	۰/۰۲۵۰
v (mV s ⁻¹)	E	۲۰/۰

ماتریس طراحی آزمایش پلاکت-برمن و نتایج سیگنال‌های تجزیه‌ای مربوط به هر آزمایش در جدول ۹ پیوست (۹ پ) آمده است. در این مطالعه ۵ عامل مؤثر عبارتند از: pH محلول، پتانسیل انباشت (E_{acc}) بر حسب ولت، زمان انباشت (t_{acc}) بر حسب ثانیه، وزن اصلاحگر (W_m) بر حسب گرم و سرعت روبش (v) بر حسب میلی ولت بر ثانیه. با فرض اینکه متغیرهای دستگاهی نظیر طول عمر و ارتفاع پالس برهمکنشی با سایر متغیرها ندارند در این مطالعه برای

تمام آزمایش‌ها به ترتیب مقدار ثابت ۴۰ میلی ثانیه و ۸۰ میلی ولت برای آن‌ها در نظر گرفته شد.

۲-۳-۵-۲ تجزیه و تحلیل داده‌های حاصل از طرح پلاکت - برنم و تعیین عوامل مهم
پس از انجام آزمایش‌های طراحی شده و به دست آوردن داده‌های حاصل از آن، داده‌ها وارد نرم افزار Minitab ۱۶ شده و از این نرم افزار برای ارزیابی فاکتورهای موثر استفاده گردید.
برای هر عامل ضرایب رگرسیونی با استفاده از نرم افزار محاسبه گردید که نتایج آن در جدول (۱۹-۲) نشان داده شده است.

جدول (۱۹-۲) ضرایب حاصل از طرح PB برای اندازه‌گیری دوپامین ۱۰/۰ میکرو مولار در سطح MT/MCPE با استفاده از روش ولتاوتری پالس تفاضلی جذب سطحی

عبارت	اثر ^۱	ضریب ^۲	ضریب خطای استاندارد ^۳	T	ارزش P
pH	۲/۳۱۱	۱/۱۵۶	۰/۰۶۶۳۹	۱۷/۴۱	۰/۰۰۰
E _{acc} (v)	-۰/۴۹۲	-۰/۲۴۶	۰/۰۶۶۳۹	-۳/۷۱	۰/۰۰۲
t _{acc} (s)	۰/۹۲۲	۰/۴۶۱	۰/۰۶۶۳۹	۶/۹۴	۰/۰۰۰
W _m (g)	-۲/۸۰۵	-۱/۴۰۲	۰/۰۶۶۳۹	-۲۱/۱۲	۰/۰۰۰
v (mV s ⁻¹)	۰/۵۴۵	۰/۲۷۲	۰/۰۶۶۳۹	۴/۱۰	۰/۰۰۱

در طراحی پلاکت - برنم، می‌توان برای تعیین اهمیت عامل‌ها از آماره P استفاده کرد، به طوری که $P < 0.05$ به عنوان حد در نظر گرفته می‌شود. بنابراین عامل‌هایی با ارزش P کمتر از ۰/۰۵ به عنوان عامل مهم مؤثر در پاسخ و عامل‌هایی با ارزش P بیشتر از ۰/۰۵ به عنوان عامل‌های غیرمؤثر بر پاسخ می‌باشند. با توجه به مقدار P متغیرها که در جدول (۲۰-۲) گزارش شده است، هر پنج عامل pH، E_{acc} (V)، t_{acc} (s)، W_m (g) و v (mV s⁻¹) به عنوان عوامل موثر و مهم می‌باشند. بزرگی و علائم ضرایب متغیرها، ماهیت اثر فاکتورها را روی پاسخ توضیح می‌دهد. همان‌طور که مشاهده می‌شود فاکتورهایی که اندازه ضریب بزرگتری دارند اثر بیشتری

^۱ Effect

^۲ Coefficient

^۳ Standard error coefficient

روی پاسخ می‌گذارند. بنابراین وزن اصلاح‌گر و pH با توجه به اینکه ضریب بزرگتری دارند اثر بیشتری روی پاسخ دارند. علاوه بر ارزش P، از نمودارهایی نیز می‌توان برای تعیین عوامل مهم و اصلی کمک گرفت مانند نمودار پارتول^۱ و نمودار احتمال نرمال^۲ که در ادامه به توضیح این نمودارها پرداخته می‌شود.

نمودار پارتول

این نمودار مقدار مطلق اثرات را نشان می‌دهد و در آن یک خط مبدا رسم می‌شود. در نرم افزار Minitab از اثرات استاندارد شده برای مقیاس محور x استفاده می‌شود. اثرات استاندارد شده همان مقدار T نشان داده شده در جدول (۲۰-۲) و خط مبدا همان T بحرانی جدول می‌باشند و نشانگر حداقل بزرگی اثر مهم از نظر آماری برای سطح اطمینان ۹۵٪ است. مقدار عددی این خط مبدا بر اساس درجه آزادی طبق رابطه (۱۴-۲) در سطح اطمینان ۹۵٪ از جدول T محاسبه می‌شود. طول ستون‌های افقی متناسب با درجه اهمیت برای هر اثر می‌باشند. هر اثر یا برهمنشی که از خط عمودی فراتر رود مهم تلقی می‌شود. شکل (۲۰-۲) نمودار پارتولی اثرات استاندارد شده مورد مطالعه در طراحی پلاکت – برنمن انجام شده در این پروژه را نشان می‌دهد. همانطور که نمودار نشان می‌دهد، همه متغیرهای $E_{acc}(s)$, $pH(V)$ و t_{acc} به عنوان عوامل موثر و مهم می‌باشند.

$$\text{تعداد کل برهمنشی‌ها} - (1 - \text{تعداد کل آزمایش‌ها در طرح}) = \text{درجه آزادی} \quad (14-2)$$

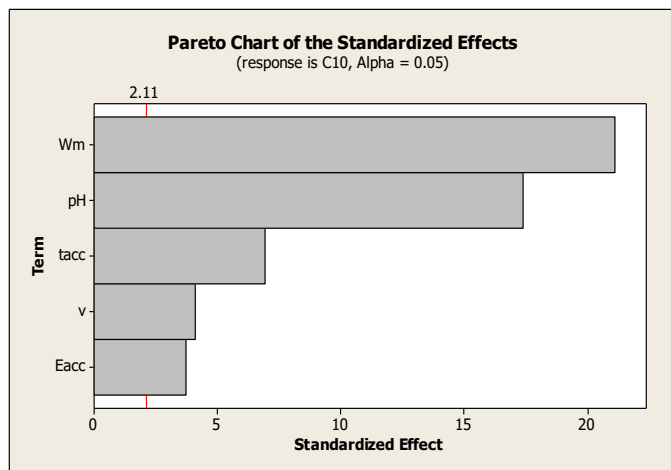
نمودار احتمال نرمال

در این نمودار هر نقطه نشان دهنده اثر هر متغیر می‌باشد. هر چه این نقاط از خط مبدا فاصله بیشتری داشته باشند دارای اثر بزرگتری هستند و میزان اهمیت آن‌ها نیز بیشتر است. در این نمودار متغیرهایی که دارای اثرات مهم و معنی دار هستند با رنگ قرمز مشخص شده‌اند.

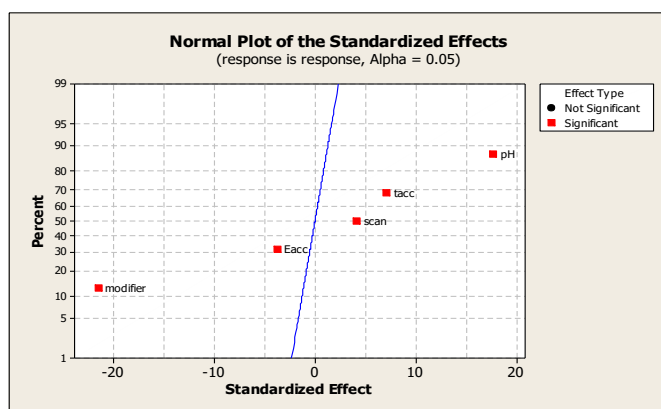
^۱ Pareto plot

^۲ Normal probability plot

این نمودار علاوه بر مشخص کردن میزان اهمیت متغیرها، مثبت یا منفی بودن اثر هر متغیر را نیز نشان می‌دهد. نقاطی که در سمت راست خط برآش قرار دارند دارای اثر مثبت و نقاطی که در سمت چپ آن قرار دارند دارای اثر منفی می‌باشند. همان‌طور که در شکل (۲۱-۲) مشخص است همه عوامل مهم می‌باشند و اثر pH، زمان انباشت و سرعت روبش مثبت بوده و دو عامل دیگر اثر منفی دارند.



شکل (۲۰-۲): نمودار پارتوى اثرات استاندارد در طراحى پلاکت-برمن برای اندازه‌گیری دوپامین.



شکل (۲۱-۲): نمودار احتمال نرمال در طراحى پلاکت-برمن برای اندازه‌گیری دوپامین.

۳-۵-۲ بهینه سازی عوامل موثر در اندازه‌گیری دوپامین با استفاده از طراحی مرکب مرکزی بعد از تعیین عوامل مهم در مرحله غربالگری توسط طراحی پلاکت - برمن، روش سطح

پاسخ (RSM) برای بهینه سازی این عوامل با استفاده از طراحی مرکب مرکزی مورد استفاده قرار گرفت. در این طرح برای هر عامل سه سطح نشان می دهد. این سطوح با توجه به

جدول (۲۰-۲) مقادیر متغیرها را در هر سه سطح نشان می دهد. این سطوح با توجه به نتایج حاصل از بهینه سازی یک متغیر در یک زمان انتخاب گردید.

برای طراحی آزمایش و نیز بررسی برهم کنش بین عوامل مهم و همچنین برای تعیین مقدار بهینه این عوامل از نرم افزار Minitab ۱۶ برای ایجاد طرح مرکب مرکزی مركز وجهه پر و CCD پردازش داده ها استفاده شد. هنگامی که از روش فاكتوريال کسری دو سطحی در طراحی استفاده شود ($p=1$)، تعداد آزمایش ها با ۵ عامل (k)، دو بار تکرار (r) و چهار بار تکرار نقطه مرکزی طبق معادله (۱۵-۱)، برابر با ۵۶ آزمایش می باشد. فاصله نقاط محوری از نقاط مرکزی در این طرح (پارامتر α) برابر با ۱ بوده است.

جدول (۲۰-۲) فاكتورها و سطوح به کار گرفته شده در طراحی مرکب مرکزی برای اندازه گیری دویامین $10/0$ میکرو مولار در سطح MT/MCPE با استفاده از روش ولتا متری پالس تفاضلی جذب سطحی

		سطوح فاكتورها		متغیرها	
		بالا (+)	وسط (۰)	پایین (-)	
۷/۶	۵/۸	۴/۰	A	pH	
۰/۰۰	-۰/۱۰	-۰/۲۰	B	E_{acc} (V)	
۱۸۰	۱۲۰	۶۰	C	t_{acc} (s)	
۰/۰۲۵۰	۰/۰۱۷۵	۰/۰۱۰۰	D	W_m (g)	
۶۰/۰	۴۰	۲۰/۰	E	v (mV s ⁻¹)	

جدول (۱۰-پ) خلاصه ای از طرح انجام شده و سیگنال های حاصل از آن را نشان

می‌دهد. نتایج تجربی حاصل از انجام آزمایشات طراحی شده به‌وسیله‌ی روش تحلیل واریانس^۱ مورد تجزیه و بررسی قرار گرفتند و از این روش برای بررسی مهم‌ترین اثرات و برهمنکنش‌ها استفاده شد.

به‌منظور به‌دست آوردن مدل تجربی برای پیش‌بینی پاسخ، رابطه‌های خطی و درجه دوم و برهمنکنش‌ها بر اساس داده‌های به‌دست آمده از آزمایش، برازش شدند و ضرایب رگرسیونی آن در جدول (۱۱ پ) نشان داده شده است. همان‌طور که مشخص است همه پارامترهای اصلی عبارات، برهمنکنش‌های C*E, C*D, B*C, B*E, A*B, C*C, D*D, A*A و D*E دارای مقدار P کمتر از ۰/۰۵ بوده و به‌طور آماری معنی دار می‌باشند و سایر برهمنکنش‌ها به‌دلیل دارا بودن P بالاتر از ۰/۰۵ معنی دار نیستند.

لذا عبارات بی‌معنی از معادله حذف شدند و مدل رویه پاسخ آزمایش با استفاده از اثرات و برهمنکنش‌های معنی‌دار برای اندازه‌گیری دوپامین با استفاده از MT/MCPE به‌صورت زیر تشکیل شد که در آن y همان متغیر پاسخ می‌باشد:

$$y = \frac{۳}{۳۶۴۵۹} + \frac{۰/۶۷۴}{۰/۲۴۵}A - \frac{۰/۳۷۷}{۰/۸۴۷}B + \frac{۰/۱۳۴}{۰/۵۲۲}E - \frac{۰/۷۱۶}{۰/۲۴۵}A^2 - \frac{۰/۱۷۸}{۰/۳۴۴}B^2 - \frac{۰/۳۸۱}{۰/۱۹۷}A^*B - \frac{۰/۱۹۷}{۰/۱۹۲}B^*C - \frac{۰/۱۹۲}{۰/۲۵۴}C^*D + \frac{۰/۲۵۴}{۰/۱۹۷}C^*E - \frac{۰/۱۹۷}{۰/۱۷۸}D^*E \quad (۱۵-۲)$$

آماره R^2 (ضریب تعیین^۲) برای اندازه‌گیری دوپامین مقدار ۹۰/۹۸٪ به‌دست آمده است. این آماره به‌عنوان یک شاخص برای بیان دقیق خطا رگرسیون برآورد شده به‌کار می‌رود و نشان دهنده نسبت تغییرات متغیر وابسته توسط متغیر مستقل است. هر چه مقدار (R^2) به صد نزدیک‌تر باشد، مدل قوی‌تر است و بهتر می‌تواند پاسخ را پیش‌بینی کند. مقدار R^2 در این

^۱ Analysis of Variance (ANOVA)

^۲ Determination Coefficient

روش نشان می‌دهد ۹۰/۹۸٪ تغییرات در پاسخ می‌تواند توسط مدل توضیح داده شود و نیز مشخص می‌شود بین نتایج تجربی و پیش‌بینی شده توافق خوبی وجود دارد. ضریب تعیین طبق رابطه ریاضی زیر محاسبه می‌شود:

$$R^2 = \frac{SSR}{SST} = 1 - \frac{SSE}{SST} \quad (16-2)$$

در رابطه فوق SSR ^۱، SST ^۲ و SSE ^۳ به ترتیب بیانگر مجموع مربعات انحراف مقادیر پیش‌بینی شده متغیر وابسته از میانگین مقادیر آن، مجموع مربعات انحراف مقادیر واقعی متغیر وابسته از میانگین مقادیر آن و مجموع مربعات انحراف مقادیر واقعی متغیر وابسته از مقادیر پیش‌بینی شده برای آن می‌باشند و طبق روابط زیر محاسبه می‌شوند:

$$SSR = \sum_{i=1}^n (\hat{y}_i - \bar{y})^2 = 73/0.3 \quad (17-2)$$

$$SST = \sum_{i=1}^n (y_i - \bar{y})^2 = 80/27 \quad (18-2)$$

$$SSE = \sum_{i=1}^n (y_i - \hat{y}_i)^2 = 7/23 \quad (19-2)$$

با توجه به روابط فوق می‌توان نوشت:

$$R^2 = 1 - \frac{\sum_{i=1}^n (y_i - \hat{y}_i)^2}{\sum_{i=1}^n (y_i - \bar{y})^2} \quad (20-2)$$

میزان ضریب تعیین تصحیح شده^۴ (R^2_{adj}) برای مدل ارائه شده برابر با ۸۵/۸۳٪ به دست آمده است. از آنجایی که در ضریب تعیین تعداد پارامترهای مدل در نظر گرفته نمی‌شود از ضریب تعیین تصحیح شده استفاده می‌شود. ضریب تعیین تصحیح شده طبق رابطه زیر

^۱ Sum Square Regression

^۲ Sum Square Total

^۳ Sum Square Error

^۴ Adjusted Determination Coefficient

محاسبه می‌گردد:

$$R_{adj}^2 = 1 - \frac{n-1}{n-p} \cdot \frac{SSE}{SST} = 1 - \left(1 - R^2\right) \frac{n-1}{n-p} \quad (21-2)$$

در رابطه فوق p تعداد متغیرهای مستقل و n تعداد آزمایش‌ها می‌باشد.

۴-۵-۲ ارزیابی آماری مدل

برای اطمینان از اینکه مدل به دست آمده مدل مناسبی است، باید مدل را ارزیابی کرد.

به این منظور از روش تحلیل واریانس و بررسی باقیماندها استفاده شد.

تحلیل واریانس

با در نظر گرفتن عوامل اصلی، مدل ریاضی برای پاسخ مربوط به اندازه‌گیری دوپامین

طبق معادله (۲-۱۵) پیشنهاد شده است. برای بررسی صحت مدل ارائه شده، تحلیل واریانس

انجام شد که نتایج آن در جدول (۲-۲۱) نشان داده شده است.

یک مدل زمانی عدم برازش نشان می‌دهد که نتواند به صورت مناسب رابطه بین فاکتورها

و متغیر پاسخ را نشان دهد. برای اینکه بتوان تعیین کرد مدل به صورت صحیح می‌تواند داده‌ها

را برازش کند باید به مقدار p توجه کرد. اگر مقدار p کمتر از ۰/۰۵ باشد می‌توان نتیجه گرفت

مدل به خوبی داده‌ها را برازش نمی‌کند. با توجه به نتایج حاصل شده، مقدار p به دست آمده

مربوط به عدم برازش مدل بیشتر از ۰/۰۵ می‌باشد ($P=0/05$) که نشان می‌دهد بین مدل و

داده‌های تجربی تطابق خوبی وجود دارد.

جدول (۲۱-۲) تحلیل واریانس و پارامترهای آماری برای مدل پیشنهادی مربوط به دوپامین $10/\cdot\cdot\cdot$ میکرو مولار در سطح MT/MCPE با استفاده از روش ولتامتری پالس تفاضلی جذب سطحی

منبع	DF	SS _{Adj}	MS _{Adj}	F- value	P- value
فاکتور اصلی	۵	۵۰/۱۲۳۶	۱۰/۰۲۴۷	۴۸/۴۷	۰/۰۰۰
برهمکنش‌های درجه دوم	۵	۱۱/۲۴۶۱	۲/۲۴۹۲	۱۰/۸۸	۰/۰۰۰
حاصل ضرب برهمکنش‌ها	۱۰	۱۱/۶۶۴۲	۱/۱۶۶۴	۵/۶۴	۰/۰۰۰
باقیمانده	۳۵	۷/۲۳۸۲	۰/۲۰۶۸	-	-
عدم برازش	۶	۱/۸۴۳۲	۰/۳۰۷۲	۱/۶۵	۰/۱۶۹
خطای خالص	۲۹	۵/۳۹۵۰	۰/۱۸۶۰	-	-
کل	۵۵	۸۰/۲۷۲۲	-	-	-

بررسی باقیماندها

آنچه که در ابتدا برای هر رگرسیونی بایستی در نظر گرفته شود فرض‌های زیربنایی است که تحلیل بر اساس آن‌ها انجام می‌پذیرد. فرض‌های زیربنایی برای یک الگوی رگرسیون به صورت زیر است که در آن ϵ نشان‌دهنده خطای مدل می‌باشد:

جمله خطای دارای میانگین صفر است. جمله خطای دارای واریانس ثابت است. جمله خطای ناهمبسته‌اند. جمله خطای دارای توزیع نرمال است.

باقیماندها به صورت زیر تعریف شده‌اند:

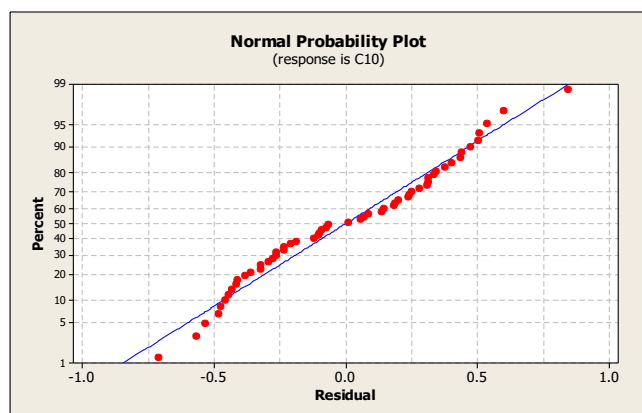
$$e_i = y_i - \hat{y}_i, \quad i=1,2,\dots,n \quad (22-2)$$

که در آن y_i یک مقدار مشاهده شده و \hat{y}_i مقدار برازش شده متناظر آن است. چون تلقی از باقیمانده به صورت انحراف بین مقدار مشاهده شده و مقدار برازش شده می‌باشد، لذا یک

معیار از تغییراتی است که به وسیله مدل رگرسیون توضیح داده نشده است. همچنین می‌توان باقیمانده‌ها را مقادیر شناخته شده خطا دانست، بنابراین هر انحراف از مفروضات در مورد خطاها بایستی در باقیمانده‌ها نمایان شود. در نتیجه تحلیل باقیمانده‌ها یک شیوه تاثیرگذار برای کشف انواع نامناسبت‌ها در مدل می‌باشد. در واقع نقض مفروضات اولیه و کفايت مدل را می‌توان به راحتی از طریق بررسی باقیمانده‌ها انجام داد. در ادامه چند نمودار باقیمانده ارائه خواهند شد که برای تعیین کفايت مدل کاربرد دارند.

نمودار احتمال نرمال

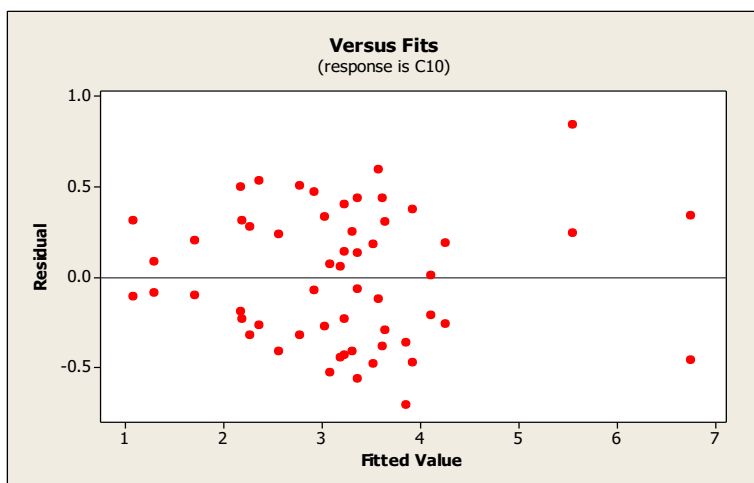
از آنجایی که در محاسبه‌ی آماره‌های t و F برای آزمون‌های رگرسیون و همچنین در محاسبه فواصل اطمینان، از فرض نرمال بودن خطاها استفاده می‌کنیم، لذا انحراف‌های بزرگ از توزیع نرمال می‌تواند روی صحت و اعتبار نتایج بدست آمده تاثیر زیادی بگذارد. یک روش ساده برای بررسی فرض نرمال بودن رسم نمودار احتمال نرمال باقی مانده‌ها است. زیرا این نمودار الگوی تقریبا خطی سازگار با توزیع نرمال را نشان می‌دهد اگر باقی مانده‌ها دارای توزیع نرمال باشند، عموماً نقاط باید روی یک خط راست قرار گیرند و در صورتی که نقاط از خط راست منحرف شده باشند ممکن است فرض نرمال بودن معتبر نباشد. نمودار مربوط به توزیع باقیمانده‌ها و بررسی نرمال بودن این توزیع در شکل (۲۲-۲) نشان داده شده است.



شکل (۲۲-۲): نمودار احتمال نرمال باقیمانده‌ها برای اندازه‌گیری دوپامین.

همان‌طور که از شکل مشخص است در اینجا مقدار P بزرگ‌تر از 0.05 است که نشان می‌دهد نقاط تقریباً در امتداد یک خط مستقیم قرار گرفته‌اند و توزیع باقی‌مانده‌ها نرمال است.

نمودار باقی‌مانده‌ها در مقابل مقادیر برازش شده
اگر مدل صحیح و مفروضات برقرار باشد، آنگاه باقی‌مانده‌ها نباید ساختار خاصی از خود نشان دهند و یا ارتباط خاصی با متغیرهای دیگر از جمله پاسخ پیش‌بینی شده داشته باشد. با رسم نمودار باقی‌مانده‌ها بر حسب مقادیر پیش‌بینی شده به‌سهولت می‌توان این نکته را بررسی کرد. در این نمودار نباید روند مشهودی مشاهده شود. در بعضی مواقع مشکل غیر ثابت بودن واریانس در این نمودار مشاهده می‌گردد. گاهی با افزایش مقادیر مشاهدات، واریانس آن‌ها نیز افزایش می‌یابد. در چنین شرایطی نمودار باقی‌مانده بر حسب مقادیر برازش شده شبیه به انتهای بزرگ یک قیف یا بلندگو به‌نظر می‌رسد. شکل (۲۳-۲)، نمودار باقی‌مانده‌ها بر حسب مقادیر پیش‌بینی شده، برای داده‌های حاصل از طراحی مرکب مرکزی را نشان می‌دهد. این نمودار هیچ ساختار غیرعادی را نشان نمی‌دهد. به این معنی که نمودار باقی‌مانده‌ها از الگوی خاصی برخوردار نیست و بی‌ساختار می‌باشد.



شکل (۲۳-۲): نمودار باقی‌مانده‌ها بر حسب مقادیر پیش‌بینی شده برای اندازه‌گیری دوپامین.

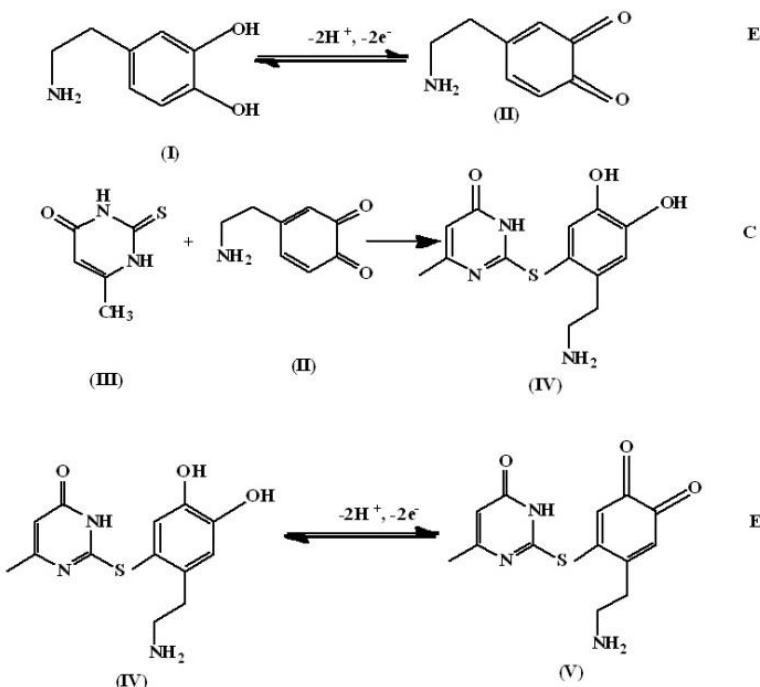
۵-۳-۵ تعیین سطوح بهینه عوامل موثر

هدف اصلی از طراحی آزمایش یافتن مقدار بهینه پارامترها می‌باشد یعنی در چه ترکیبی از عوامل موثر، بیشترین میزان پاسخ مشاهده می‌شود. در نتیجه، به منظور یافتن مقادیر بهینه، داده‌های حاصل از طراحی مرکب مرکزی توسط روش سطح پاسخ، به کمک مدل درجه دو و میزان تابع مطلوبیت (D) مورد تجزیه و تحلیل قرار گرفت. بر اساس پیش‌بینی‌های نرم‌افزار Minitab، شرایط بهینه برای رسیدن به حداقل جریان اکسایش دوپامین عبارتند از: $pH=7/0$, $v=60\text{ mV s}^{-1}$, $W_m=0/010\text{ g}$, $t_{acc}=160\text{ s}$, $E_{acc}=-0/2\text{ V}$ با $D=0/9817$. این مقادیر بهینه برای مطالعات بعدی مورد استفاده قرار گرفت.

۴-۵-۲ بررسی الکتروشیمیایی اکسایش دوپامین

با در نظر گرفتن متفاوت بودن فرآیندهای الکترودی اکسایش دوپامین در سطح الکترودهای اصلاح نشده و اصلاح شده، بررسی بیشتر مکانیسم واکنش الکترودی در سطح الکترود اصلاح شده ضروری به نظر می‌رسد. اکسایش دوپامین در سطح MT/MCPE از طریق مکانیسم ECE، قابل وصف است (طرح ۴-۲). در واقع در حضور یک نوکلئوفیل، حالت اکسایش یافته دوپامین (II) متحمل یک واکنش شیمیایی افزایش $4,1\text{ مایکل می‌شود}$. طی این واکنش فرآیند کاهش به کمک متیل تیوراسیل انجام می‌شود و محصول افزایشی کاهش یافته (IV) تولید می‌گردد. از سوی دیگر، این مسئله که گروههای تیول خاصیت الکترون دهنده‌گی دارند امری اثبات شده است، و حضور بخش تیولی در ساختار محصول افزایشی کاهش یافته (IV) باعث تسريع اکسایش الکتروشیمیایی ترکیباتی می‌شود که از واکنش افزایش $4,1\text{ مایکل بین مشتقات کتکول و نوکلئوفیل‌های تیولی تولید می‌شوند}$ [۱۴۱]. به این دلیل، پتانسیل اکسایش محصول (IV) کمی منفی‌تر از ترکیب دوپامین اولیه می‌باشد. اگرچه این اختلاف در حدی نیست که بتواند منجر به تولید دماغه قابل تشخیص و متفاوت جدیدی شود. از این‌رو، اکسایش محصول افزایشی کاهش یافته (IV) به حالت اکسید شده مربوطه (V) در پتانسیلی بسیار

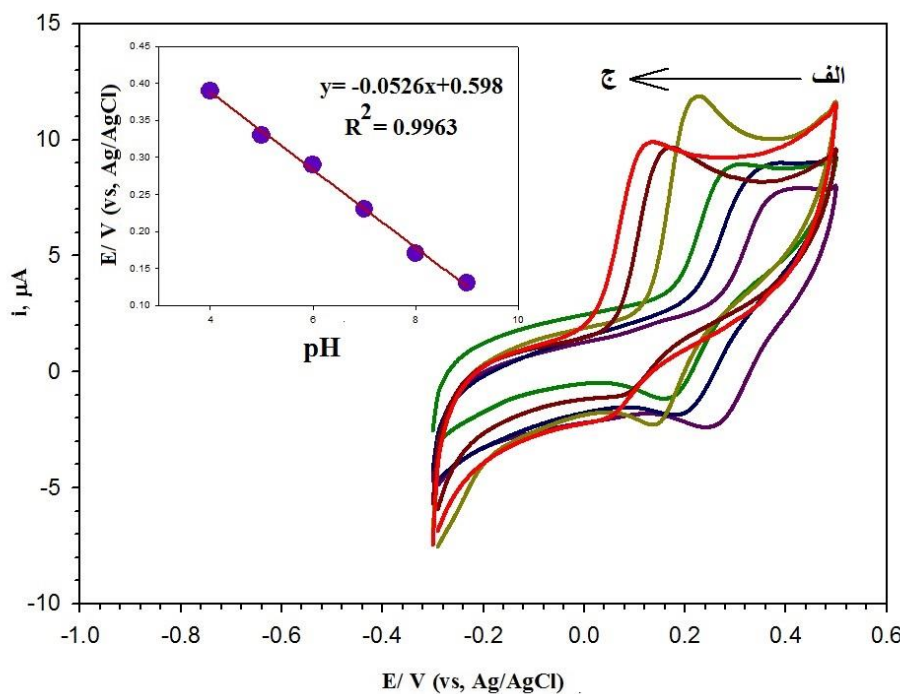
نزدیک به دوپامین اولیه اتفاق می‌افتد و همپوشانی دماغه‌ی اکسایش محصول افزایشی کاهش یافته (V) و دوپامین اولیه منجر به اندکی جابجایی منفی در پتانسیل اکسایش و همچنین افزایش چشمگیر جریان دماغه اکسایش دوپامین می‌شود. در رویش برگشت، دماغه احیایی به خوبی دیده می‌شود (شکل ۱۸-۲-الف منحنی ۳)، که این دماغه مربوط به احیای ترکیب افزایشی (V) و دوپامین اکسید شده‌ی واکنش نداده (II) به حالت اکسید شده مربوطه می‌شود. اندک جابجایی مثبت مشاهده شده در پتانسیل بهدلیل حضور گروه تیول در ساختار محصول (IV) و جذب سطحی محصولات روی سطح الکترود است. بهمنظور درک بهتر رفتار اکسایش دوپامین در حضور MT، مطالعات ولتاوتمتری روی سطح الکترود خمیر کربن اصلاح نشده نیز انجام شد. برای انجام این بررسی دوپامین و MT، به صورت همزمان در محلول آزمایشی حضور داشتند (به جای حضور MT در توده CPE). نتایج به دست آمده تحت شرایط آزمایش یکسان در شکل (۱۸-۲-ب) آمده است.



طرح (۴-۲): مکانیسم پیشنهادی برای واکنش الکترودی روی سطح MT/MCPE

همان طور که مشاهده می شود، نتایج مشابهی برای حالتی که MT در محلول آزمایش وجود دارد نسبت به حالت حضور در توده خمیر کربن به دست آمد. اگر چه شدت جریان مشاهده شده برای اکسایش دوپامین در حالتی که متیل تیوراسیل در پیکره خمیر کربن قرار گرفت بیشتر از حالتی است که در محلول آزمایشی حاضر بود. این پدیده می تواند به دلیل امکان دسترسی بیشتر MT نوکلوفیل به DA الکتروفیل برای انجام واکنش افزایشی مایکل در سطح الکترود باشد. بنابراین به منظور بهبود شدت جریان دماغه اکسایش دوپامین بر اساس واکنش های افزایش ۴،۱ مایکل، استفاده از MT/MCPE، تدبیر بهتری خواهد بود.

۱-۴-۵-۲ بررسی تاثیر تغییر pH محیط بر اکسایش دوپامین در سطح MT/MCPE برای تعیین pH بهینه در اندازه گیری ولتاومتری دوپامین، تغییرات شدت جریان آندی حاصل از ولتاوموگرام های چرخه ای MT/MCPE در حضور ۰/۵ میکرومولار دوپامین نسبت به pH های مختلف ثبت شد. شکل (۲۴-۲)، ولتاوموگرام چرخه ای دوپامین را در محلول بافر فسفاتی در pH های مختلف ۹/۰-۴/۰ نشان می دهد. به طوری که مشاهده می شود، شدت جریان دماغه آندی در محیط خنثی به حداقل مقدار خود می رسد. بنابراین، $pH = 7/0$ به عنوان pH بهینه، در اندازه گیری ولتاومتری دوپامین در سطح این الکترود خمیر کربن اصلاح شده، انتخاب شد. همچنین، نمودار تغییرات پتانسیل دماغه اکسایش دوپامین بر حسب تغییرات pH محیط، در شکل (۲۴-۲ ضمیمه) ارائه شد. همان طور که مشاهده می شود، پتانسیل دماغه اکسایش دوپامین در سطح MT/MCPE با افزایش pH، به سمت مقادیر منفی جابجا شده است. شبیه خط به دست آمده در شکل (۲۴-۲ ضمیمه)، نشان دهنده برابری تعداد الکترون مبادله شده با تعداد پروتون دخیل در فرآیند اکسایش الکتروشیمیایی دوپامین در سطح این الکترود اصلاح شده می باشد. بر اساس واکنش کلی (طرح ۳-۲)، چهار الکترون و چهار پروتون در اکسایش دوپامین دخالت دارند.

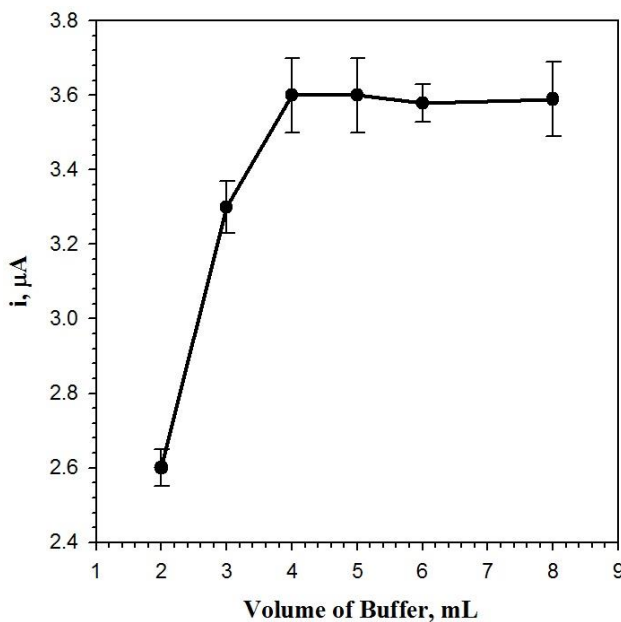


شکل (۲۴-۲): ولتاوگرام چرخه‌ای محلول ۵۰/۰ میکرومولار دوپامین در سطح MT/MCPE در محلول بافر فسفاتی ۰/۰۲۷ مولار با pH های مختلف از ۴/۰ تا ۹/۰. سرعت روبش 100 mV s^{-1} ، پتانسیل انباشت: ۰/۲ ولت، زمان انباشت: ۱۶۰ ثانیه و زمان استراحت: ۲۰ ثانیه. ضمیمه: تغییرات دماغه پتانسیل اکسایش دوپامین را بر حسب pH نشان می‌دهد.

۲-۴-۵-۲ بررسی تاثیر حجم بافر در اکسایش دوپامین در سطح MT/MCPE

در این مطالعه همچنین به منظور تعیین حجم بهینه بافر، حجم‌های مختلفی در گستره ۲/۰ تا ۸/۰ میلی‌لیتر از بافر فسفاتی $\text{pH}=7/0$ در حضور ۱۰/۰ میکرومولار دوپامین مورد بررسی قرار گرفت.

نتایج به دست آمده (شکل ۲۵-۲)، نشان می‌دهد که با افزایش حجم الکتروولیت حامل تا ۴/۰ میلی‌لیتر شدت جریان اکسایش دوپامین افزایش می‌یابد، در حالیکه در حجم‌های بالاتر تغییری در شدت جریان مشاهده نمی‌شود. این امر به دلیل افزایش هدایت محلول و کاهش مقاومت درونی آن تا حجم ۴/۰ میلی‌لیتر است. در حجم‌های بالاتر از ۴/۰ میلی‌لیتر ثباتی در سیگنال شاهد مشاهده می‌شود که می‌تواند به دلیل عدم تغییر قدرت یونی محیط در حجم‌های بالاتر باشد (نتایج در جدول (۲ پ) ارائه شده است). بنابراین حجم ۴/۰ میلی‌لیتر از بافر فسفاتی $\text{pH}=7/0$ به عنوان حجم بهینه انتخاب و در بررسی‌های بعدی استفاده شد.



شکل (۲۵-۲): نمودار تغییرات میزان شدت جریان آندی دوپامین بر حسب حجم بافر فسفاتی در $pH = ۷/۰$ در محلول $۱۰/۰$ میکرومولار دوپامین در سطح MT/MCPE به کمک روش ولتامتری پالس تفاضلی، سرعت روبش ۵۰ mV s^{-1} ، پتانسیل انباشت: $۱/۰$ -ولت، زمان انباشت: ۱۲۰ ثانیه و زمان استراحت: ۲۰ ثانیه.

۳-۴-۵-۲ بررسی تاثیر تغییر سرعت روبش پتانسیل بر اکسایش دوپامین به کمک ولتامتری چرخه‌ای

به منظور بررسی اثر سرعت روبش پتانسیل بر رفتار الکتروشیمیایی دوپامین در سطح MT/MCPE، ولتاژگرام‌های چرخه‌ای در محلول بافر فسفاتی با $pH = ۷/۰$ حاوی $۱۰/۰$ میلی مولار دوپامین در سرعت‌های روبش پتانسیلی مختلف در محدوده‌ی ۴۰ تا ۳۰۰ میلی ولت بر ثانیه ثبت شد (شکل ۲۶-۲-الف). بررسی این ولتاژگرام‌ها می‌تواند اطلاعات مفیدی در مورد مکانیسم واکنش الکتروشیمیایی در اختیار قرار دهد. همان‌طور که در شکل (۲۶-۲-الف) مشخص است، با افزایش سرعت روبش پتانسیل دماغه‌های آندی و کاتدی به ترتیب اندکی به سمت مقادیر مثبت‌تر و منفی‌تر جابجا می‌شوند. بنابراین، اختلاف دماغه‌های پتانسیل (ΔE_p) به تدریج افزایش می‌یابد، که این امر نشانگر کاهش سرعت واکنش الکترودی با افزایش سرعت روبش است. ارتباط بین شدت جریان آندی (I_{pa}) و کاتدی (I_{pc}) با سرعت روبش و نیز جذر سرعت روبش مورد بررسی قرار گرفت. نتایج به دست آمده (جدول ۲۲-۲) نشان می‌دهد که

شدت جریان دماغه آندی با جذر سرعت روبش و شدت جریان دماغه کاتدی با سرعت روبش ارتباط خطی دارد (شکل ۲-۶-۲ ب و ج).

جدول (۲-۲) شدت جریان‌های آندی و کاتدی در سرعت روبش‌های پتانسیل متفاوت در محلول بافر فسفاتی مولار با $pH=7.0$ میلی مولار دوپامین در سطح MT/MCPE بهوسیله ولتاومتری چرخه‌ای

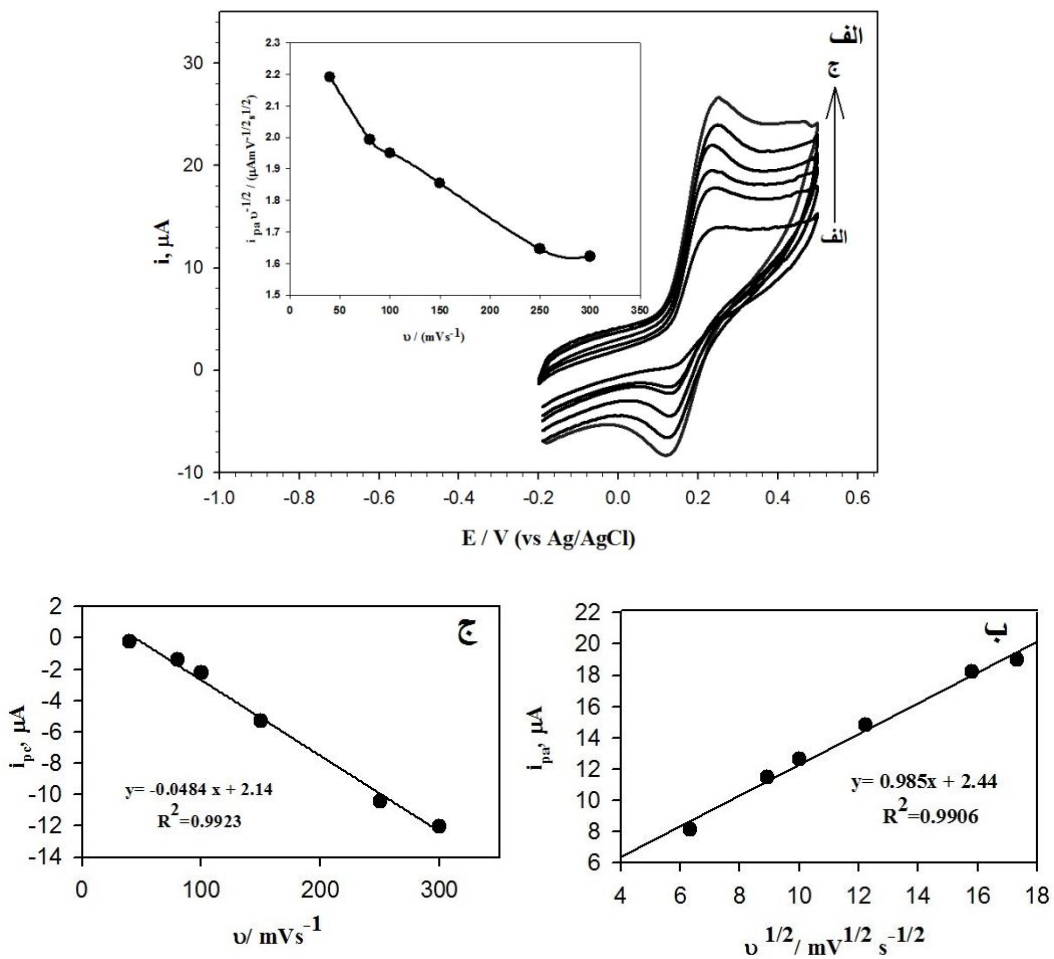
$v(mVs^{-1})$	$I_{pa} (\mu A)$	$I_{pc} (\mu A)$
۴۰	۸/۱۵	۰/۱۵
۸۰	۱۱/۴۵	-۱/۲
۱۰۰	۱۲/۶	-۲/۳
۱۵۰	۱۴/۸۲	-۳/۳
۲۵۰	۱۸/۲۴	-۶/۳
۳۰۰	۱۹	-۸/۶

این نوع وابستگی جریان آندی و کاتدی با سرعت روبش نشان می‌دهد که اکسایش دوپامین در سطح الکترود MT/MCPE، تحت کنترل انتشار می‌باشد. در صورتیکه فرآیند احیای ترکیب افزایشی (V) در سطح این الکترود، تحت کنترل فرآیندهای سطحی است.

بررسی تغییرات $\frac{I_p}{v^{1/2}}$ بر حسب سرعت روبش (شکل ۲-۶-۲-الف-ضمیمه) نشان می‌دهد که $\frac{I_p}{v^{1/2}}$ با افزایش سرعت روبش کاهش می‌یابد و در سرعت‌های بالا به یک مقدار حدی می‌رسد، که این حالت برای انتقال الکترون برگشت‌پذیر پس از مرحله شیمیایی برگشت‌ناپذیر انتظار می‌رود. در واقع این مشاهده می‌تواند تاییدی بر وجود مکانیسم ECE در این مطالعه باشد [۷۱]. بهمنظور درک بهتر مرحله تعیین کننده سرعت، وابستگی لگاریتمی پتانسیل-جریان با استفاده از معادله (۲-۳-۲) که به عنوان معادله تافل شناخته می‌شود مورد بررسی قرار گرفت [۷۱].

$$\eta = a + s \log i \quad (2-3-2)$$

که در آن s شبیب نمودار تافل و η پتانسیل اضافی نامیده می‌شود.

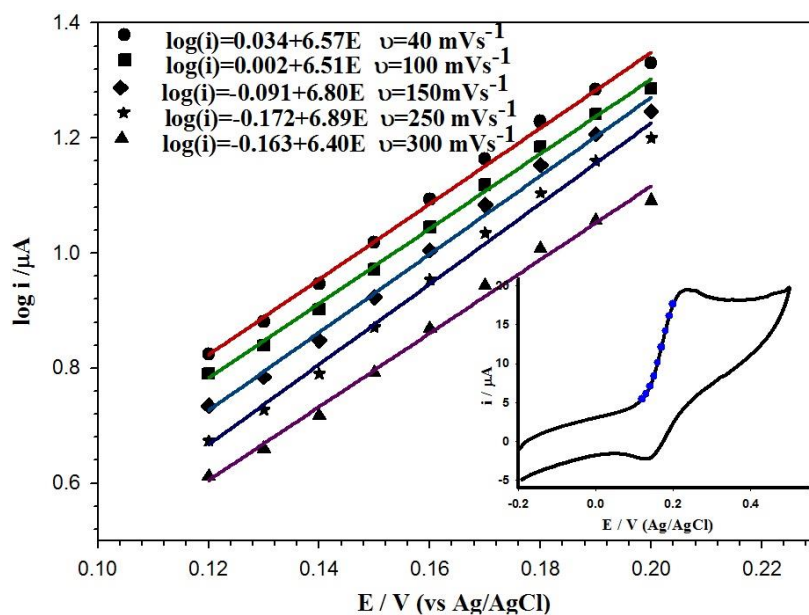


شکل (۲۶-۲): (الف) ولتاومگرام‌های چرخه‌ای pH=۷/۰ در محلول بافر فسفاتی ۰/۰۲۷ مولار با حاوی ۱۰ میلی مولار دوپامین در سرعت روبش‌های مختلف. به ترتیب از پایین به بالا سرعت‌های روبش (الف) تا (ج): ۴۰، ۸۰، ۱۰۰، ۱۵۰، ۲۵۰ و ۳۰۰ میلی ولت بر ثانیه می‌باشند. ضمیمه الف: نمودار تغییرات $\frac{I_p}{v^{1/2}}$ بر حسب سرعت روبش پتانسیل. (ب) نمودار تغییرات شدت جریان دماغه اکسایش دوپامین بر حسب جذر سرعت روبش پتانسیل. (ج) نمودار تغییرات شدت جریان دماغه احیای ترکیب افزایشی (V) بر حسب سرعت روبش پتانسیل. پتانسیل انباشت: ۰/۰ ولت، زمان انباشت: ۱۶۰ ثانیه و زمان استراحت: ۲۰ ثانیه.

نمودار تافل (شکل ۲۷-۲)، با استفاده از داده‌های مربوط به قسمت بالارونده ولتاومگرام (شکل ۲۷-۲ - ضمیمه)، معروف به ناحیه تافلی، رسم شد. شیب تغییرات لگاریتم جریان بر حسب پتانسیل قسمت بالا رونده ولتاومگرام چرخه‌ای، شیب نمودار تافل است که این مقدار از نظر تئوری به کمک رابطه (۲۴-۲) تعریف می‌شود [۶]:

$$\frac{(1-\alpha)nF}{2.3 RT} = S \quad (24-2)$$

شکل (۲۷-۲) نشان می‌دهد، که میانگین شیب نمودار مذکور برای اکسایش دوپامین در سرعت‌های روبش مختلف برابر با V^{-1} است. از این‌رو $n(1-\alpha)$ برابر با $6/63$ است. آنجایی که بر اساس مکانیسم پیشنهادی (طرح ۴-۲)، تعداد الکترون‌ها می‌تواند ۲ در نظر گرفته شود ($n=2$)، مقدار ضریب انتقال (α) برای الکترواکسایش دوپامین، برابر $8/0$ محاسبه شد، که نشانگر نامتقارن بودن منحنی انرژی آزاد فعالسازی است. به این معنی که سرعت واکنش اکسایش و احیا در بررسی این واکنش الکترودی با هم برابر نیست. این امر بیانگر تاثیر متفاوت پتانسیل (و یا انرژی الکتریکی ورودی^۱) بر واکنش‌های آندی و کاتدی است [۱۴۲, ۶۸].



شکل (۲۷-۲): نمودار تابل به دست آمده از رسم لگاریتم شدت جریان اکسایش دوپامین $10/0$ میلی مولار بر حسب تغییرات پتانسیل در محلول بافر فسفاتی $0/027$ مولار با $pH = 7/0$ حاصل از ولتاوموگرام‌های چرخه‌ای در سرعت‌های روبش $40, 100, 250$ و 300 میلی ولت بر ثانیه.

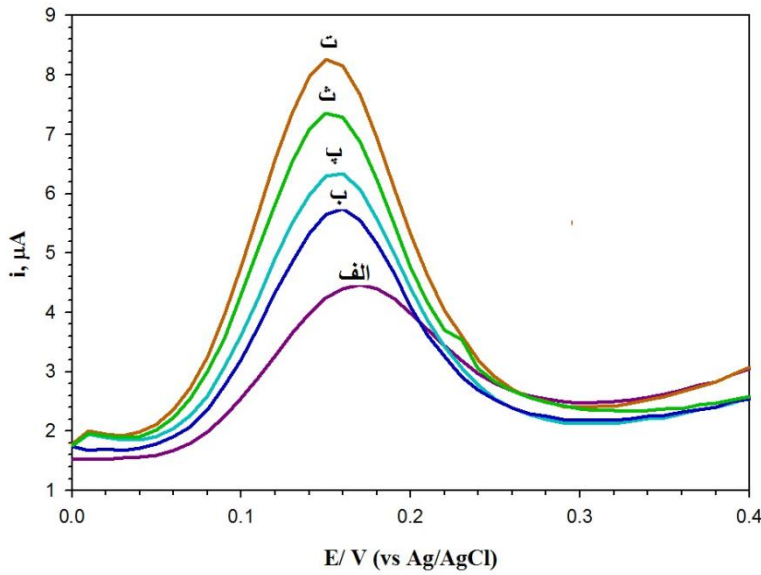
^۱ Input electrical energy

۵-۵-۲ مطالعات جذب سطحی

به منظور بررسی تاثیر جذب سطحی بر شدت جریان و پتانسیل اکسایش دوپامین در سطح MT/MCPE، ولتاموگرام‌های پالس تفاضلی در محلول بافر فسفاتی pH=۷ حاوی دوپامین ۱۰٪ میکرومولار در زمان‌های انباشت متفاوت ثبت شد (شکل ۲۸-۲). به این منظور، پس از تهیه الکترود خمیر کربن اصلاح شده با متیل تیوراسیل، الکترود در محلول بافر فسفاتی حاوی دوپامین با غلظت ۱۰٪ میکرومولار قرار داده شد. همزن مغناطیسی روشن و پتانسیل انباشت ۰/۰ ولت نسبت به الکترود مرجع برای مدت زمان‌های مختلف به محلول در حال هم خوردن اعمال شد. پس از پایان زمان انباشت، همزن خاموش و پس از ۲۰ ثانیه زمان استراحت، ولتاموگرام پالس تفاضلی در محدوده ۰/۰ تا ۴۰/۰ ولت ثبت شد (سرعت روش 50 mVs^{-1}). ارتفاع پالس ۸۰ mV، مدت زمان اعمال پالس ۴۰ ms.

مقایسه پتانسیل اکسایش دوپامین بدون انباشت (شکل ۲۸-۲ منحنی الف) و پس از انباشت (شکل ۲۸-۲ منحنی ب)، نشان می‌دهد که پتانسیل اندکی به سمت مقادیر منفی جابجا شده است. دلیل این جابجایی، جذب سطحی دوپامین روی سطح الکترود خمیر کربن اصلاح شده است. به علاوه، جریان دماغه تا زمان انباشت ۱۶۰ ثانیه افزایش می‌یابد. دلیل این امر می‌تواند این باشد که در پتانسیل انباشت ۰/۰ ولت، دوپامین روی سطح الکترود جذب سطحی می‌شود و پیش تغليظ صورت می‌گیرد. اگرچه در زمان‌های طولانی‌تر ($t_{acc} > 160$ s)، شدت جریان کاهش می‌یابد. بنابراین، ولتامتری پالس تفاضلی برخنه سازی جذب سطحی^۱ با مقادیر بهینه به دست آمده برای زمان و پتانسیل انباشت برای اهداف تجزیه‌ای مورد استفاده قرار گرفت.

^۱ Adsorption stripping differential pulse voltammetry (AdsDPV)



شکل (۲۸-۲): ولتاوگرامهای پالس تفاضلی MT/MCPE در محلول بافر فسفاتی ۰/۰۲۷ مولار با pH=۷ حاوی دوپامین ۱۰/۰ میکرومولار در زمان‌های انباشت (الف)، (ب)، (پ)، (ت) و (ث) ۲۰۰ ثانیه پتانسیل انباشت ۰/۲۰ ولت، زمان استراحت ۲۰ ثانیه و سرعت روبش ۵۰ mV s⁻¹.

۶-۵-۶ مطالعات کرونوکولومتری

با استفاده از روش کرونوکولومتری می‌توان ضریب انتشار (D) و همچنین مقدار مازاد سطحی گونه الکتروفعال (Γ^0) مورد نظر را از طریق معادله آنسون (معادله ۱-۷) محاسبه کرد.

برای انجام کرونوکولومتری تک پله‌ای، باید پتانسیلی مثبت تر از پتانسیل اکسایش آنالیت به هنگام به کارگیری ولتاومتری چرخه‌ای (برای اطمینان از کامل بودن فرآیند اکسایش) به الکترود کار موجود در محلول حاوی گونه هدف اعمال کرد. به این منظور پس از تهیه الکترودهای CPE و MT/MCPE، الکترود در محلول بافر فسفاتی با غلظت‌های مختلف دوپامین قرار داده شد. پس از روشن کردن همزن مغناطیسی، پتانسیل انباشت ۰/۲ ولت نسبت به الکترود مرجع برای مدت زمان ۱۶۰ ثانیه به آن اعمال شد. پس از پایان زمان انباشت، همزن خاموش و پس از ۲۰ ثانیه زمان استراحت، کرونوکولومتر کلرید به مدت ۲۰ ثانیه در غلظت‌های مختلف دوپامین ثبت شد (شکل ۲۹-۲-الف و شکل ۱۰-پ).

کرونوکولوگرام‌های به دست آمده نشان می‌دهند که با افزایش غلظت دوپامین، میزان

بار عبوری نیز افزایش می‌یابد. با استفاده از نمودارهای کرونوکولومتری و معادله آنسون (معادله

۱-۷) ضریب انتشار دوپامین در محلول آزمایشی تعیین شد. شکل (۲۹-۲-ب)، تغییرات Q بر

حسب $t^{1/2}$ را برای غلظت‌های متفاوت از دوپامین نشان می‌دهد و در شکل (۲۹-۲-ج)، تغییرات

شیب این خطوط ($Q - t^{1/2}$) بر حسب غلظت دوپامین رسم شده است. از روی شیب نمودار

حاصل، مقدار $10^{-5} \times 3,000$ سانتی‌متر مربع بر ثانیه برای ضریب انتشار دوپامین در سطح این

الکترود اصلاح شده محاسبه شد (با فرض $n=4$ طبق طرح (۳-۲) و با در نظر گرفتن مساحت

سطح ۰/۲۸ سانتی‌متر مربع با توجه به قطر داخلی ۶/۰ میلی‌متری الکترود). علاوه بر این،

آزمایش کرونوکولومتری طبق شرایط مشابه در سطح الکترود خمیر کربن اصلاح نشده انجام

شد و بر اساس نتایج به دست آمده ضریب انتشار دوپامین در سطح CPE، $10^{-5} \times 1,800$

سانتی‌متر مربع بر ثانیه محاسبه شد. اختلاف بین مقدار ضرایب انتشار در سطح الکترود اصلاح

شده و اصلاح نشده نشان می‌دهد که در حضور متیل تیوراسیل، انتشار دوپامین از توده محلول

به سطح الکترود با راحتی بیشتری صورت می‌پذیرد.

به منظور محاسبه مقدار مازاد سطحی گونه الکتروفعال (Γ^0)، می‌توان از عرض از مبدا

منحنی Q بر حسب $t^{1/2}$ ، استفاده نمود. نتایج به دست آمده در (جدول ۲۳-۲) ارائه شده است.

همانطور که مشاهده می‌شود، میزان Γ^0 در سطح الکترود خمیر کربن اصلاح شده بیشتر از

الکترود خمیر کربن اصلاح نشده است. بیشتر بودن میزان Γ^0 در سطح MT/MCPE می‌تواند

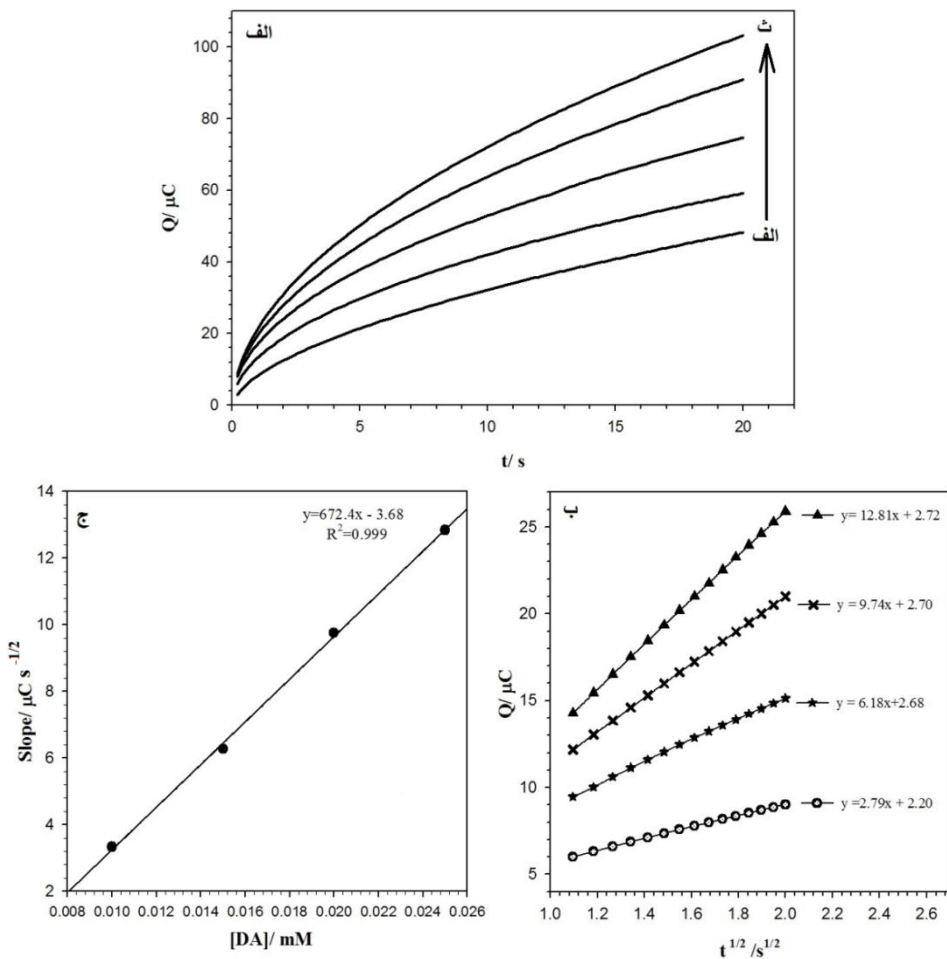
به دلیل جاذبه‌ی الکترواستاتیکی بین کاتیون دوپامین موجود در محلول با سطح الکترودی باشد

که به دلیل حضور گروه‌های تیول، دارای بار منفی است [۱۴۱]. با حضور MT به عنوان اصلاح‌گر،

پوشش سطح بوسیله دوپامین به طور چشمگیری افزایش می‌یابد و سینتیک واکنش اکسایش

تسهیل می‌شود، بنابراین نتایج به دست آمده تایید کننده مطالعات انجام شده به روش ولتا مترا

چرخه‌ای می‌باشد.



شکل (۲۹-۲): (الف) کرونوکولوگرام‌های MT/MCPE در محلول بافر فسفاتی pH=۷/۰ مولار با $۰/۰۲۷$ مولار دوپامین (الف) غیاب، (ب) $۱۰/۰$ ، (ت) $۱۵/۰$ و (ث) $۲۰/۰$ میکرومولار. پله پتانسیل آندی در $۰/۴۰$ ولت نسبت به الکترود شاهد می‌باشد. پتانسیل انباشت: $۰/۰۲۰$ -ولت، زمان انباشت: ۱۶۰ ثانیه و زمان استراحت: ۲۰ ثانیه. (ب) نمودار تغییرات $Q-t^{1/2}$ به دست آمده از کرونوکولوگرام‌های (ب-ث) بعد از کم کردن نقطه به نقطه از زمینه است. (ج) نمودار شب خطوط $Q-t^{1/2}$ بر حسب غلظت دوپامین.

جدول (۲۳-۲) مقادیر Γ^0 محاسبه شده برای MT/MCPE و CPE اصلاح نشده در محلول بافر فسفاتی pH=۷/۰ مولار با $۰/۰۲۷$ حاوی غلظت‌های مختلف دوپامین

غلظت دوپامین ($\mu\text{mol L}^{-1}$)	$\Gamma^0 (\text{mol.cm}^{-2})$	
	MT/MCPE	CPE
۱۰/۰	$۲/۰۳ \times 10^{-11}$	$۳/۲۴ \times 10^{-12}$
۱۵/۰	$۲/۴۸ \times 10^{-11}$	$۴/۰۷ \times 10^{-12}$
۲۰/۰	$۲/۵۰ \times 10^{-11}$	$۶/۶۶ \times 10^{-12}$
۲۵/۰	$۲/۵۲ \times 10^{-11}$	$۶/۸۴ \times 10^{-12}$

۷-۵-۲ بررسی پارامترهای تجزیه‌ای

هدف از مطالعه پارامترهای تجزیه‌ای بررسی و کنترل مشخصه‌های اعتبار سنجی روش

می‌باشد که این مشخصه‌ها عبارتند از: ناحیه خطی، حد تشخیص، دقت (تکرارپذیری و تکثیرپذیری)، صحت، گزینش پذیری و پایداری. همه این موارد در این مطالعه تحقیقاتی مورد بررسی قرار گرفته و در ادامه نتایج آن ارائه شده است.

۱-۷-۵-۲ منحنی کالیبراسیون و تعیین ناحیه خطی روش

پس از دسترسی به شرایط بهینه برای اندازه‌گیری دوپامین توسط MT/MCPE، منحنی کالیبراسیون رسم شد. به این ترتیب که پس از تهیه الکترود اصلاح شده، به منظور ثبت ولتاژ‌گرام‌های تجزیه‌ای، در هر مرحله مقدار مناسبی از محلول استاندارد دوپامین با غلظت‌های مختلف و ۴/۰ میلی‌لیتر از بافر فسفاتی $\text{pH} = ۷/۰$ به سل الکتروشیمیایی افزوده شد سپس حجم محلول درون سل با آب دو بار تقطیر به ۱۰/۰ میلی لیتر رسانده شد. سپس همزن مغناطیسی روشن و پتانسیل انباشت ۰/۲۰ - ولت نسبت به الکترود مرجع برای مدت زمان ۱۶۰ ثانیه به محلول در حال هم خوردن اعمال شد. پس از پایان زمان انباشت، همزن خاموش و پس از ۲۰ ثانیه زمان استراحت، ولتاژ‌گرام پالس تفاضلی در محدوده ۰/۰ - ۰/۴۰ ولت ثبت شد (سرعت روبش ۶۰ mVs^{-1} ، ارتفاع پالس ۸۰ mV ، مدت زمان اعمال پالس ۴۰ ms). هر اندازه‌گیری سه بار تکرار شد و میانگین جریان اکسایش دوپامین در پتانسیل ۰/۱۵ ولت به دست آمد. به منظور تجدید سطح الکترود بعد از هر بار استفاده، مقداری از خمیر کربن اصلاح شده با چرخاندن لوله تفلونی از سطح الکترود خارج گردید و با کشیدن روی سطح کاغذ صاف شد. محلول بافر فسفاتی $\text{pH} = ۷/۰$ بدون حضور دوپامین برای ثبت سیگنال شاهد مورد استفاده قرار گرفت. اختلاف بین شدت جریان اکسایش دوپامین و شاهد در پتانسیل ۰/۱۵ ولت به عنوان سیگنال تجزیه‌ای در منحنی کالیبراسیون مورد استفاده قرار گرفت. لازم به ذکر است که تمامی آزمایش‌ها در دمای اتاق انجام شد.

شکل (۲-۳)، ولتاموگرامهای پالس تفاضلی محلول بافر فسفاتی با $pH=7.0$ حاوی غلظت‌های فزاینده از دوپامین در سطح MT/MCPE را نشان می‌دهد. همان‌طور که در شکل مشاهده می‌شود، با افزایش غلظت این ترکیب در ناحیه ۰/۰۰-۱۵ میکرومولار، شدت جریان دماغه اکسایش نیز به‌طور خطی افزایش می‌یابد. نتایج حاصل در جدول (۲۴-۲) و شکل (۲-۲) ارائه شده است.

معادله منحنی کالیبراسیون به‌صورت زیر قابل توصیف است:

$$I_P (\mu A) = 0.735 C_{DA} (\mu mol L^{-1}) + 0.88 (\mu A) \quad R^2 = 0.9918 \quad (25-2)$$

جداول (۲۴-۲) اطلاعات مربوط به منحنی‌های کالیبراسیون در ناحیه خطی ۰/۰۰-۱۵ میکرومولار دوپامین در محلول بافر فسفاتی $pH=7.0$ مولار با MT/MCPE در سطح با روشن ولتامتری پالس تفاضلی جذب سطحی غلظت دوپامین ($\mu mol L^{-1}$) ^{±SD} تجزیه‌ای*(μA)	
۰/۹۰±۰/۱۰	۰/۲۰
۱/۴۰±۰/۱۵	۰/۵۰
۲/۰۰±۰/۱۳	۱/۰۰
۳/۴۰±۰/۱۵	۴/۰۰
۶/۸۰±۰/۲۱	۸/۰۰
۷/۶۰±۰/۲۸	۱۰/۰۰
۱۰/۲۰±۰/۲۵	۱۲/۰۰
۱۲/۰۰±۰/۳۲	۱۵/۰۰
۱۲/۲۰±۰/۳۰	۱۷/۰۰
۱۲/۷۰±۰/۲۷	۲۰/۰۰
۱۳/۰۰±۰/۳۰	۲۲/۰۰

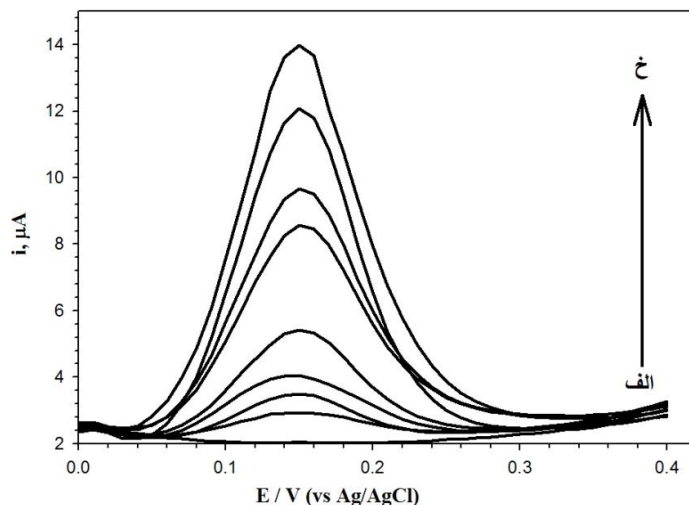
*میانگین سه اندازه‌گیری

حد تشخیص روش می‌تواند به کمک رابطه (۱۲-۲) محاسبه شود. در این مطالعه، برای محاسبه انحراف استاندارد شاهد، پنج اندازه‌گیری در محلول بافر فسفاتی $pH=7.0$ ، صورت گرفت

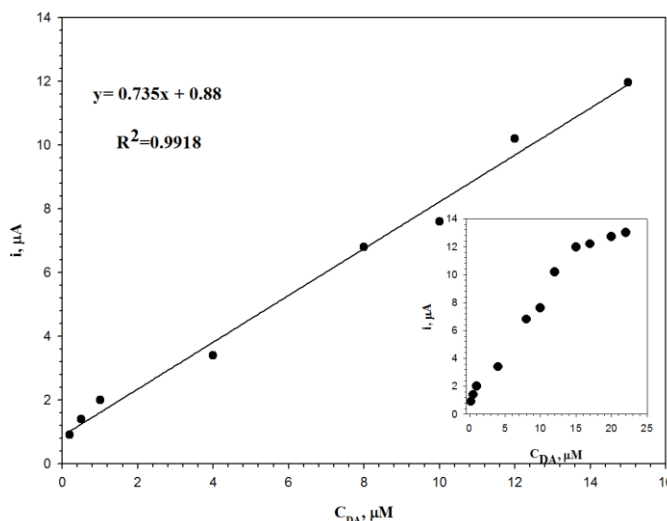
(انحراف استاندارد این اندازه‌گیری‌ها برابر با $18 \mu\text{A} / 0.018 \mu\text{A}$ به دست آمد) و با توجه به شب

به دست آمده از نمودار کالیبراسیون ($\frac{\mu\text{A}}{\mu\text{mol L}^{-1}}$) حد تشخیص روش $73/0$ نانو مولار

محاسبه شد.



شکل (۲-۳): ولتاومگرام‌های پالس تفاضلی محلول بافر فسفاتی $0.27 \mu\text{M}$ مولار با $\text{pH}=7.0$ شامل غلظت‌های مختلف دوپامین در منحنی‌های (الف) تا (خ): $0.05, 0.1, 0.2, 0.5, 1, 2, 4, 8, 10, 12, 15 \mu\text{M}$. پتانسیل انباشت: -0.2 V ولت، زمان انباشت: 160 ms ثانیه و زمان استراحت: 20 s ثانیه و سرعت روبش 60 mV s^{-1} دامنه پالس اعمالی 80 mV میلی ولت و مدت زمان اعمال پالس 40 ms ثانیه می‌باشد.



شکل (۳-۱): نمودار تغییرات شدت جریان اکسایش بر حسب غلظت دوپامین در محدوده‌ی $0.20 \text{ to } 15 \mu\text{M}$ میکرومولار به کمک ولتاومتری پالس تفاضلی. پتانسیل انباشت: -0.2 V ولت، زمان انباشت: 160 ms ثانیه و زمان استراحت: 20 s ثانیه و سرعت روبش 60 mV s^{-1} دامنه پالس اعمالی 80 mV میلی ولت و مدت زمان اعمال پالس 40 ms ثانیه می‌باشد.

۲-۷-۵-۲ بررسی تکرارپذیری و تکثیرپذیری

تکرارپذیری و تکثیرپذیری MT/MCPE از طریق هجده بار اندازه‌گیری سیگنال

تجزیه‌ای دوپامین توسط سه الکترود مختلف (ساخته شده در سه روز متفاوت) در محلول بافر

فسفاتی با $pH=7.0$ حاوی $10/\mu M$ میکرومولار دوپامین بررسی شد. نتایج به دست آمده در جدول

(۲۵-۲) گزارش شده است. نتایج به دست آمده، به صورت آماری با کمک روش تحلیل واریانس

در سطح اطمینان ۹۵٪ مورد بررسی قرار گرفت (جدول ۲۶-۲). براین اساس مقدار F محاسبه

شده ($F_{cal}=2/53$) کوچکتر از مقدار F بحرانی ($F_{tab}=4/76$) برای آزمون دو طرفه به دست

آمد. این نتیجه نشانگر تکرارپذیر بودن الکترودهای ساخته شده در روزهای مختلف است.

جدول (۲۵-۲) نتایج تکرارپذیری الکترودهای MT/MCPE برای اندازه‌گیری سیگنال تجزیه‌ای محلول

$10/\mu M$ میکرومولار دوپامین در محلول بافر فسفاتی $pH=7.0$ توسط روش ولتامتری پالس تفاضلی جذب سطحی

^{*} میانگین سیگنال تجزیه‌ای اندازه‌گیری شده (A) $\pm SD^{**}$

		الکترود اول- روز اول	الکترود دوم- روز دوم	الکترود سوم- روز سوم
	$8/44 \pm 0.36$			
	$7/96 \pm 0.51$			
	$8/12 \pm 0.16$			

* میانگین شش اندازه گیری

** انحراف استاندارد شش اندازه گیری

جدول (۲۶-۲) تحلیل واریانس داده‌های مربوط به اندازه گیری محلول $10/\mu M$ میکرومولار دوپامین در محلول بافر فسفاتی

$pH=7.0$ توسط الکترودهای MT/MCPE در روزهای مختلف توسط روش ولتامتری پالس تفاضلی جذب سطحی

منبع تغییرات	DF	SS _{Adj}	MS _{Adj}	F- value	F-table
بین گروهها	۲	۰/۷۰۱	۰/۳۵۱	۲/۵۳	۴/۷۶
درون گروه	۱۵	۲/۰۷۷	۰/۱۳۸	-	
کل	۱۷	۲/۷۷۸	-	-	

۳-۷-۵-۲ بررسی دقت و صحت روش

دقت و صحت روش، از طریق پنج بار اندازه گیری ولتامتری دوپامین توسط MT/MCPE در

محدوده ناحیه خطی منحنی کالیبراسیون در غلظت‌های $0/50$ ، $0/00$ و $12/00$ میکرومولار در

محلول بافر فسفاتی با $pH=7.0$, مورد بررسی قرار گرفت. به این منظور پنج اندازه‌گیری تکراری از محلول‌های مورد نظر در شرایط کالیبراسیون انجام و ولتاژ‌گرام‌های مربوطه ثبت شد. سپس غلظت مربوط به میانگین سیگنال‌های تجزیه‌ای با استفاده از معادله منحنی کالیبراسیون محاسبه شد. نتایج به دست آمده در جدول (۲۷-۲) گزارش شده‌است. همچنین بررسی آزمون t نشان می‌دهد که بین مقدار دوپامین اندازه‌گیری شده و مقدار دوپامین واقعی موجود در محلول، اختلاف معناداری وجود نداشته و روش از صحت خوبی برخوردار است. صحت مناسب روش از درصد بازیابی و درصد خطای نسبی نیز قابل نتیجه‌گیری است. همچنین با دانستن مقادیر انحراف استاندارد و میانگین در هر غلظت اندازه‌گیری شده، می‌توان مقادیر RSD را محاسبه نمود و به دقت روش پی برد. مقادیر RSD محاسبه شده دقیق خوب روش را تایید می‌کنند.

جدول (۲۷-۲) نتایج دقیق و صحت روش برای اندازه‌گیری ولتاژی محلول استاندارد دوپامین در غلظت‌های مختلف توسط MT/MCPE در محلول بافر فسفاتی 0.027 Molar با $pH=7.0$

$\%RE^{***}$	$SD \pm$ غلظت اندازه‌گیری شده*	مقدار محاسبه شده t^{**}	درصد بازیابی	$DA(\mu\text{mol L}^{-1})$ ($\mu\text{mol L}^{-1}$)
-۲٪	۹۸٪۰	۱/۱۲	0.49 ± 0.02	۰/۵۰
-۰/۷۵	۹۹٪۲۵	۰/۹۶	7.94 ± 0.14	۸/۰۰
۰/۸۳	۱۰۰٪۸	۰/۴۴	12.10 ± 0.50	۱۲/۰۰

* میانگین پنج اندازه‌گیری

** مقدار t بحرانی در سطح اطمینان ۹۵٪ برای پنج اندازه‌گیری، ۲/۷۷ می‌باشد

*** درصد خطای نسبی

۴-۷-۵-۲ بررسی پایداری الکترود MT/MCPE

به منظور بررسی پایداری الکترود، پس از تهیه الکترود اندازه‌گیری در محلول بافر فسفاتی $pH=7.0$ حاوی دوپامین با غلظت $10.0\text{ }\mu\text{Molar}$ طبق روش ارائه شده در بخش ۲-۱ انجام شد. سپس الکترود در محلول شاهد (باfer فسفاتی $pH=7.0$ در غیاب دوپامین) قرار داده شد و با به کار گیری ولتاژی چرخه‌ای 50 mV روبش متوالی در گستره $0.0\text{ to }0.40\text{ V}$ ولت با سرعت روبش $100\text{ mili}\text{s}$ بر ثانیه انجام شد. پس از آن الکترود در محلول باfer فسفاتی

pH = ۷/۰ حاوی دوپامین با غلظت ۱۰/۰ میکرومولار قرار گرفت و اندازه‌گیری مطابق شرایط بهینه انجام شد. نتایج حاکی از آن است که با انتقال الکترود (پس از طی ۵۰ روش متوالی در محلول بافر فسفاتی)، به سل الکتروشیمیایی حاوی بافر فسفاتی و دوپامین ۱۰/۰ میکرومولار، شدت جریان اکسایش دوپامین کمتر از ۴ درصد کاهش نشان داد در حالیکه پتانسیل اکسایش ثابت باقی ماند. که این نتایج حاکی از پایداری خوب حسگر تهیه شده می‌باشد. همچنین پس از نگهداری الکترود MT/MCPE بهمدت یک هفته در دمای محیط، پاسخ الکترودی آن نسبت به اکسایش دوپامین به ۹۰ درصد الکترود تازه تهیه شده رسید.

۵-۷-۵ بررسی اثر مزاحمت برخی از ترکیبات در اندازه‌گیری ولتاومتری دوپامین در سطح MT/MCPE

به منظور بررسی میزان گزینش پذیری روش، تاثیر حضور گونه‌های مختلف آزمایشی بر شدت جریان دماغه اکسایش دوپامین ($10/0 \mu\text{g/mL}$ معادل ۲/۰ میکرومولار) در پتانسیل ۱۵ ولت نسبت به الکترود مرجع نقره/نقره کلرید (پتاسیم کلرید ۳ مولار) مورد مطالعه و بررسی قرار گرفت. به این منظور، پنج اندازه‌گیری تکراری دوپامین در سطح MT/MCPE انجام شد. میانگین (\bar{x}) و انحراف استاندارد (S) سیگنال‌های تجزیه‌ای (در غیاب گونه مزاحم) محاسبه شد. سپس مخلوط گونه مزاحم و دوپامین به سل الکتروشیمیایی افزوده شد و سپس همزن مغناطیسی روش و پتانسیل انباشت ۲/۰ - ولت نسبت به الکترود مرجع برای مدت زمان ۱۶۰ ثانیه به محلول در حال هم خوردن اعمال شد. پس از پایان زمان انباشت، همزن خاموش و پس از ۲۰ ثانیه زمان استراحت، ولتاومگرام پالس تفاضلی در محدوده $۰/۰ + ۰/۴$ ولت ثبت شد (سرعت روش ۶۰ mVs^{-1} ، ارتفاع پالس ۸۰ mV ، مدت زمان اعمال پالس ۴۰ ms). هر اندازه‌گیری سه بار تکرار شد و میانگین جریان اکسایش دوپامین در حضور گونه مزاحم در پتانسیل ۱۵/۰ ولت به دست آمد. اگر شدت جریان سیگنال تجزیه‌ای در این حالت، در محدوده $(\bar{x} \pm ۳S)$ باشد به این معناست که یون مورد نظر با نسبت موجود، مزاحم نیست؛ در غیر

اینصورت نسبت گونه مزاحم به دوپامین کاهش می‌یافتد تا مزاحمت مشاهده نشود. همانگونه که در جدول (۲۸-۲) مشاهده می‌شود، حضور گونه‌هایی نظیر: L-سیستئین، گلوکز، لاکتوز، متیونین، ویتامین ئ B و L-آلانین تاثیر قابل ملاحظه‌ای بر شدت جریان دماغه اکسایش دوپامین نداشته‌اند، اما حضور گونه‌هایی، نظیر: اوریک اسید و آسکوربیک اسید در اندازه‌گیری دوپامین، به دلیل اکسید شدن در پتانسیل‌هایی نزدیک به پتانسیل اکسایش دوپامین مزاحمتی از نوع مزاحمت شاهد ایجاد می‌کنند. به این ترتیب، در حضور آسکوربیک اسید به دلیل اکسید شدن این گونه در پتانسیلی بسیار نزدیک به پتانسیل اکسایش دوپامین، شدت جریان دماغه اکسایش دوپامین افزایش یافته است. افزایش شدت جریان اکسایش دوپامین در حضور غلظت‌های بالای اوریک اسید نیز مشاهده شده است.

جدول (۲۸-۲) بررسی تاثیر حضور گونه‌های آزمایشی مختلف بر شدت جریان دماغه آندی دوپامین ($\mu\text{g/mL}$) در بافر فسفاتی 0.۰۲۷ مولار با $\text{pH}=۷.۰$ در سطح MT/MCPE با روش ولتاوتمتری پالس تفاضلی جذب سطحی

* گونه‌های مورد بررسی حد مجاز غلظت گونه مزاحم به غلظت دوپامین

۵۰۰	$\text{K}^+, \text{ClO}_3^-, \text{SO}_4^{2-}, \text{Na}^+$	L-آلانین، گلوکز، لاکتوز، متیونین،
۲۵۰	$\text{Cu}^{2+}, \text{Ca}^{2+}, \text{NH}_4^+, \text{I}^-, \text{Cl}^-$	اوریک اسید
۱۰۰	$\text{Mg}^{2+}, \text{HCO}_3^-$	
۵۰	$\text{NO}_3^-, \text{SCN}^-$	، سیتریک اسید، L-سیستئین،
۶	$\text{Ba}^{2+}, \text{Mn}^{2+}, \text{Fe}^{2+}$	اوریک اسید
۳		آسکوربیک اسید

*حداکثر نسبت اندازه‌گیری شده

۲-۵-۶-۷-به کارگیری روش پیشنهادی برای اندازه‌گیری دوپامین در نمونه‌های حقیقی

کارایی الکترود اصلاح شده و روش توسعه یافته برای اندازه‌گیری دوپامین در نمونه‌های حقیقی مانند آب شهر، آمپول دوپامین و سرم خون انسان مورد بررسی قرار گرفت. اندازه‌گیری

این ترکیب در نمونه دارویی آمپول بدین ترتیب انجام شد که ۲/۰ میلی لیتر از آمپول دوپامین هیدروکلرید به بالن حجمی ۱۰۰/۰ میلی لیتری منتقل و با آب دو بار تقطیر به حجم رسانده شد. سپس ۱۰/۰ میلی لیتر از این محلول مجدداً در بالن حجمی ۱۰۰/۰ میلی لیتری رقیق شد. ۱/۰ میلی لیتر از محلول رقیق شده نهایی برای اندازه‌گیری دوپامین در هر مرحله، به سل الکتروشیمیایی (با حجم ۱۰/۰ میلی لیتر) منتقل شد. سپس، با افزودن حجم‌های مشخص و متفاوتی از نمونه استاندارد دوپامین به محلول درون سل الکتروشیمیایی، اندازه‌گیری به روش ذکر شده در بخش ۳-۵ صورت گرفت. نمونه آب شهر و سرم نیز طبق روش توضیح داده شده در بخش ۴-۶ تهیه شدند. روش اندازه‌گیری این نمونه‌ها نیز مشابه روش به کار گرفته شده برای نمونه آمپول بوده است. هر کدام از اندازه‌گیری‌ها سه بار تکرار شد و از منحنی کالیبراسیون (شکل ۳۱-۲) برای تعیین غلظت دوپامین در نمونه‌های حقیقی مورد نظر استفاده شد. مقادیر t و درصدهای بازیابی نشانگر صحت خوب روش ولتا متري پالس تفاضلی برای اندازه‌گیری دوپامین می‌باشد. کارایی الکترود اصلاح شده و روش توسعه یافته برای اندازه‌گیری دوپامین در نمونه‌های حقیقی در جدول (۲۹-۲) گزارش شده است و توانایی این الکترود اصلاح شده را برای اندازه‌گیری ولتا متري این گونه آزمایشی در نمونه‌های حقیقی نشان می‌دهد.

۸-۵-۲ نتیجه گیری

در این بخش، یک حسگر الکتروشیمیایی بر پایه الکترود خمیر کربن اصلاح شده با متیل تیوراسیل که یک ترکیب نوکلئوفیل است مورد استفاده قرار گرفت. نتایج بررسی‌ها نشان دهنده تاثیر ویژه MT، بر افزایش چشمگیر شدت جریان دماغه آندی دوپامین با مکانیسم ECE و بر اساس واکنش افزایشی ۱,۴ مایکل است. نتایج بررسی‌ها همچنین نشان داد که به کار گیری MT، در پیکره الکترود خمیر کربن نسبت به حالتی که MT در محلول حضور داشته باشد، استراتژی موثرتری برای به کار گیری اثرات منحصر به فرد واکنش افزایشی ۱,۴ مایکل می‌باشد. در روش طراحی آزمایش پیشنهادی، طراحی مرکب مرکزی با موفقیت برای یافتن مقادیر بهینه

تاثیرگذار بر شدت جریان اکسایش دوپامین مورد استفاده قرار گرفت.

جدول (۲-۲) نتایج حاصل از اندازه‌گیری ولتاویری دوپامین در بافر فسفاتی 0.27 M با $\text{pH}=7.0$ در سطح MT/MCPE با روش ولتاویری پالس تفاضلی جذب سطحی در نمونه‌های آب شهر، سرم و آمپول ($n=3$).

نمونه	مقدار اضافه شده ($\mu\text{mol L}^{-1}$)	مقدار اندازه‌گیری شده [*] ($\mu\text{mol L}^{-1}$)	مقدار محاسبه شده ^{**t}	درصد بازیابی
آب شهر	----	مشاهده نشد	----	----
	۲/۰۰	2.05 ± 0.55	۰/۳۹	۱۰۲/۵
	۶/۰۰	6.20 ± 0.74	۱/۱۶	۱۰۳/۳
	۱۲/۰	11.8 ± 1.37	۰/۶۳	۹۸/۳۳
سرم	----	مشاهده نشد	----	----
	۲/۰۰	2.04 ± 1.07	۰/۱۶	۱۰۲/۰
	۶/۰۰	6.18 ± 0.99	۰/۷۸	۱۰۳/۰
	۱۲/۰	11.8 ± 2.43	۰/۳۵	۹۸/۳۳
آمپول	----	4.40 ± 0.60	----	--
	۲/۵۰	7.17 ± 2.21	۰/۵۳	۱۱۰/۸
	۵/۰۰	10.13 ± 3.25	۰/۹۷	۱۱۴/۶
	۷/۵۰	11.68 ± 1.27	۰/۷۴	۹۷/۱
مقادیر چسب روی آمپول (mg/mL)		مقدار اندازه‌گیری شده (mg/mL)		
$40/00$		41.58 ± 5.71		

* محدوده اطمینان در سطح اطمینان ۹۵٪

** مقدار t بحرانی در سطح اطمینان ۹۵٪ برای سه اندازه‌گیری تکراری ۴/۳۰ می‌باشد

*** آمپول دوپامین هیدرو کلرید، شرکت کاسپین تامین، ایران (با برجسب 200 mg/5 mL)

بر اساس نتایج به دست آمده در این مطالعه می‌توان گفت که طرح مرکب مرکزی مرکز وجوده پر ابزار مفید و نوید بخشی برای مطالعات الکتروشیمیایی است، که منجر به بهینه سازی دقیق عوامل و پارامترهای موثر در روند آزمایش می‌شود. حسگر الکتروشیمیایی تهیه شده از حساسیت بالایی در اندازه‌گیری ولتاویری دوپامین برخوردار می‌باشد. مقایسه الکترود تهیه شده در این مطالعه با گزارش‌های قبلی (جدول ۲-۳) نشان می‌دهد که الکترود پیشنهادی دارای حد تشخیص و دامنه خطی قابل مقایسه و در برخی موارد بهتری از گزارش‌های قبلی می‌باشد. مزایای ذکر شده به همراه راحتی باز تولید سطح الکترود، این سیستم را برای اندازه‌گیری

ولتا متری دوپامین فوق العاده مفید می‌سازد. همچنین به دلیل صحت بالای نتایج به دست آمده برای اندازه‌گیری دوپامین در نمونه‌های حقیقی، الکتروود پیشنهادی برای اندازه‌گیری این ترکیب در نمونه‌های حقیقی قابل استفاده می‌باشد.

جدول (۳۰-۲) الکتروودهای خمیر کربن اصلاح شده مختلف برای اندازه‌گیری دوپامین

منبع	ناحیه خطی دوپامین (میکرو مولار)	حد تشخیص دوپامین (میکرو مولار)	آنالیت مورد اندازه‌گیری	روش اندازه‌گیری	نوع اصلاحگر
[۱۳۴]	۶۰۰-۱۰۰٪	۰/۳۹۰	DA	DPV	پلی رودامین
[۱۳۶]	۱۰۰-۶۰٪	۰/۱۵۰	DA	CV	موراکسید و ترتیتون-
					۱۰۰X
[۱۳۷]	۰/۲۰-۵۰٪	۰/۰۳۰	DA	DPV	ترتیتون-X
[۱۳۸]	۰/۷۰-۷۰٪	۰/۰۱۰	DA	DPV	اکسید گرافیت
[۱۳۹]	۰/۱۰-۱٪	۰/۰۱۲۰	DA	DPV	نانو لوله کربن
[۱۴۳]	۱۰۰۰-۳۰۰٪	۰/۰۱۰۰	K ₄ Fe(CN) ₆ , DA	CV	سدیم دو دسیل سولفات
[۱۴۴]	۰/۸۰-۶۴٪	۰/۰۱۰۰	DA,AA*	DPV	نانو ذرات نقره و نانو لوله کربن
[۱۴۵]	۵۰-۲۷٪	۰/۰۲۵۰	DA, UA**	DPV	پلی نفتول سبز
[۱۴۶]	۱۰۰-۱۰٪	۰/۰۵۰۰	DA,AA	DPV	کبالت سالوفن و تترا
[۱۴۷]	۰/۵۰-۵٪	۰/۰۲۵۰	DA,AA	DPV	اکتیل آمونیوم برماید و هیدروکسید کبالت و سدیم دو دسیل سولفات
[۱۴۸]	۵۰-۱۰٪	۰/۰۵۰۰	DA,AA,UA	DPV	پلی آرژنین
[۱۴۹]	۱۰-۷۹٪	۰/۰۵۲۰	DA,UA	DPV	نانو لوله کربن چند دیواره و ایندندیون
[۱۵۰]	۷۰-۷۰٪	۰/۰۰۹	DA,AA,UA	DPV	نانو پروسکیت
[۱۵۱]	۲۰-۵۰٪	۰/۰۱۳۰	DA,UA	DPV	نانو لوله کربن چند دیواره و سیکلو دکسترین
[۱۵۲]	۰/۰۰۴۰-۴۰٪	۰/۰۰۲۰	DA,AA,UA	DPV	زیرکونیوم فسفاته شده
[۱۵۳]	۰/۲۰-۴۰٪	۰/۰۲۶۰	DA,AA,UA	DPV	سدیم دو دسیل سولفات
[۱۵۴]	۰/۰۰۵۰-۱۲۰٪	۰/۰۰۲۰	DA,AA,AC***	DPV	اوکسید گرافن احیا شده و شیف باز/نانو ذرات سولفید سرب
[۱۵۵]	۰/۰۰۸۰-۲۰۰٪	۰/۰۰۳۰	DA,AA,UA	DPV	نانو لوله کربن چند دیواره و مایع یونی و نانو ساختار طلا
[۱۵۶]	۰/۱۰-۱۵۱٪	۰/۰۰۳۰	DA,AA,UA	DPV	نانوذرات پالادیم/مایع یونی/نانو لوله کربن چند دیواره
تحقيق حاضر	۰/۲۰-۱۵٪	۰/۰۰۷۳	DA	Ads DPV	متیل تیوراسیل

*آسکوربیک اسید **اوریک اسید ***استامینوفن

۶-۲ الکترود کربن شیشه اصلاح شده با نانو لوله کربنی چند دیواره و نانو ذرات طلا به عنوان حسگر جدید امپدیمتری و ولتا متري بر هنر سازی برای اندازه گیری جم فیبروزیل

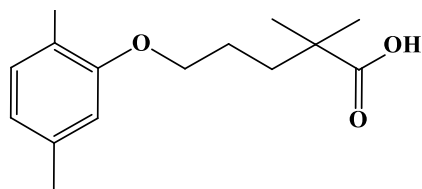
در سال های اخیر، یک تقاضای رو به رشد برای ساخت حسگرهای حساس و قابل اعتماد برای تعیین ترکیبات بیولوژیکی بوجود آمده است. در این راستا، ساخت حسگرهای الکتروشیمیایی با استفاده از الکترودهای اصلاح شده، همچنان بخش نسبتاً زیادی از تحقیقات الکتروشیمیایی را به خود اختصاص داده است [۱۵۷, ۱۵۸]. اصلاح سنجیده سطح الکترودها با مواد مناسب، انتقال الکtronon ترکیبات بیولوژیکی ردوكس را تسهیل می کند، که به طور کلی به افزایش گزینش پذیری و حساسیت در تعیین این ترکیبات منجر می شود. در نتیجه، انتخاب اصلاحگر مناسب نقش کلیدی برای تهیه این نوع حسگرها ایفا می کند.

نانو ذرات فلزات نجیب، به ویژه نانو ذرات طلا، به دلیل خواص الکترونی، نوری، حرارتی و کاتالیتیکی ویژه ای که دارند، در علوم مختلف نظری شیمی، فیزیک، زیست، پزشکی و علوم بین رشته ای کاربردهای گسترده ای دارند [۱۵۹]. این نانو ذرات همچنین به دلیل سازگاری زیستی، خاصیت رسانایی بسیار خوب و نسبت سطح به حجم بالا، بسیار مورد توجه الکتروشیمیدان ها بوده اند [۱۶۰]. خواص منحصر به فرد ذکر شده، نانو ذرات طلا را برای استفاده به عنوان زیست حسگر، حسگر شیمیایی و الکترو کاتالیزور بسیار مفید می سازند. نسبت بالای سطح به حجم و مکان های فعال نانو ذرات طلا، بخشی از نیرو محركه ای لازم برای توسعه الکترو کاتالیزورهای با اندازه نانو را فراهم می کند [۱۶۰]. روش های زیادی برای نشاندن نانو ذرات طلا روی سطح الکترود برای کاربردهای الکترو کاتالیتیکی گزارش شده است، که شامل قرار گرفتن روی سطح^۱ بوسیله جاذبه الکترو استاتیکی، اتصال کووالانسی، ترسیب الکتروشیمیایی و غیره می شود [۱۶۰]. در این میان، ترسیب الکتروشیمیایی به دلیل توانایی

^۱Anchoring

کنترل اندازه نانو ذرات تشکیل شده از اهمیت بسزایی برخوردار است [۵۲].

جم فیبروزیل^۱ ($pK_a=4/7$) شکل (۳۲-۲)، برای پایین آوردن کلسترول لیپوپروتئین کم چگال^۲ (LDL)، تری گلیسریدها و افزایش سطح لیپوپروتئین پرچگال^۳ (HDL) در خون استفاده می‌شود [۱۶۱]. جم فیبروزیل، از تجزیه چربی در بافت چربی جلوگیری می‌کند و ساخت تری گلیسرید کبد را کاهش می‌دهد [۱۶۲]. مصرف همزمان داروهای ضد انعقاد خوراکی با جم فیبروزیل ممکن است اثر ضد انعقادی این داروها را به طور قابل توجهی افزایش دهد [۱۶۳]. موارد منع مصرف این دارو شامل: حساسیت مفرط به دارو، بیماری کیسه صفراء، اختلال عملکرد کبد (از جمله سیروز صفراوی اولیه) یا اختلال شدید عملکرد کلیوی می‌باشد [۱۶۴]. این دارو خاصیت چربی دوستی داشته و حلالیت پایینی در آب دارد [۱۶۵]. بیشترین کاربرد این دارو در درمان افزایش چربی خون می‌باشد [۱۶۶].



شکل (۳۲-۲): فرمول ساختاری جم فیبروزیل [۱۶۶].

تنها مطالعه الکتروشیمیایی صورت گرفته برای اندازه‌گیری جم فیبروزیل توسط فاتیبللو^۴ و همکاران در سال ۱۳۰۲، گزارش شده است. این اندازه‌گیری با استفاده از الکترود کربن شیشه اصلاح شده با نانو لوله‌های کربنی حاوی فیلم دی هگزادسیل هیدروژن فسفات^۵ انجام پذیرفته است [۱۶۶]. نتایج به دست آمده نشان می‌دهد که گستره خطی این الکترود برای جم فیبروزیل در ناحیه $1000/0 - 75/0$ نانو مولار بوده و حد تشخیص روش $53/0$ نانو مولار است.

^۱ Gemfibrozil

^۲ Low density lipoprotein

^۳ High density lipoprotein

^۴ Fatibello

^۵ Dihexadecyl hydrogen phosphate

بنا به اهمیت این ترکیب دارویی و مطالعات بسیار محدود الکتروشیمیایی انجام شده بر روی آن، اندازه‌گیری این ترکیب به کمک الکترود کربن شیشه اصلاح شده با نانو لوله‌های کربنی چند دیواره/ نانو ذرات طلا مورد بررسی قرار گرفت.

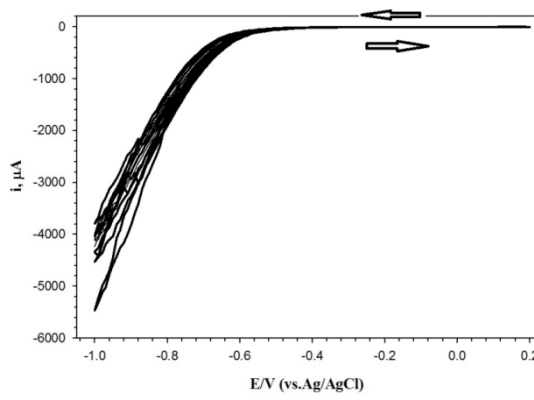
۱-۶-۲ تهیه الکترود کربن شیشه اصلاح شده با نانو لوله کربنی چند دیواره و نانو ذرات طلا

برای تهیه الکترود کربن شیشه‌ای اصلاح شده با نانو لوله‌های کربنی چند دیواره بدین صورت عمل شد: ابتدا، سطح الکترود کربن شیشه‌ای به منظور دستیابی به یک سطح صیقلی و براق، با استفاده از دوغایی از پودر آلومینا (با میانگین اندازه ذرات $0.05 \mu\text{m}$) در سطح صفحه مخصوص صیقل دادن الکترود، به‌طور مکانیکی آماده شد. به‌منظور زدودن ناخالصی‌های احتمالی موجود در سطح الکترود، الکترود به وسیله محلول رقیق نیتریک اسید با غلظت 0.10 M میلی مولار در حمام فراصوت به مدت ۵ دقیقه شستشو داده شد. سپس نانو لوله‌های کربنی چند دیواره عامل‌دار شده با گروه‌های کربوکسیلیک اسید به عنوان اصلاحگر از طریق قطره گذاری در سطح الکترود تثبیت گردید. در روش قطره گذاری، ابتدا مخلوط کاملاً همگنی از نانو لوله‌های کربنی چند دیواره در دی متیل فرمامید با نسبت مشخص (0.80 mg/mL) تهیه و سپس $10 \mu\text{L}$ از این مخلوط به کمک میکروپیپت در سطح الکترود کربن شیشه‌ای قطره گذاری شد. سپس حلal (دی متیل فرمامید) با کمک لامپ IR تبخیر شد و الکترود کربن شیشه‌ای اصلاح شده با نانو لوله‌های کربنی چند دیواره (MWCNT/GCE)، تهیه گردید. برای اصلاح سطح MWCNT/GCE با نانو ذرات طلا، 10 میلی لیتر از محلول 1000 µg/mL تتراکلروآئوریک اسید به سل الکتروشیمیایی حاوی محلول بافر فسفاتی با $\text{pH}=7.0$ منتقل شد (حجم سل 10 میلی لیتر). الکترود MWCNT/GC پس از شستشو با آب مقطر در این محلول قرار گرفت. سپس با روش ولتاوی چرخه‌ای و با اعمال دوازده چرخه پتانسیلی در محدوده $20 \text{ mV} \pm 100 \text{ mV}$ تا -100 mV ولت نسبت به الکترود مرجع نقره / نقره کلرید (پتاسیم کلرید

M₃₀) با سرعت روش $mV s^{-1}$ ۵۰، نانو ذرات طلا در سطح الکترود کربن شیشه‌ای اصلاح شده با نانو لوله‌های کربنی چنددیواره ترسیب شدند و الکترود اصلاح شده با نانو لوله‌های کربنی چند دیواره و نانو ذرات طلا (Au/MWCNT/GCE) تهیه شد. پس از اصلاح الکترود و شستشوی آن با آب دو بار تقطیر، به منظور زدودن ناخالصی‌ها و یا کاتیون‌های طلای باقیمانده در سطح، الکترود Au/MWCNT/GC در محلول بافر فسفاتی pH=۷/۰ قرار داده شد و سپس در همان محدوده سنتز نانو ذرات طلا، پنج روش متوالی پتانسیل انجام شد.

۲-۶-۲ بررسی و مشخصه یابی الکترود اصلاح شده

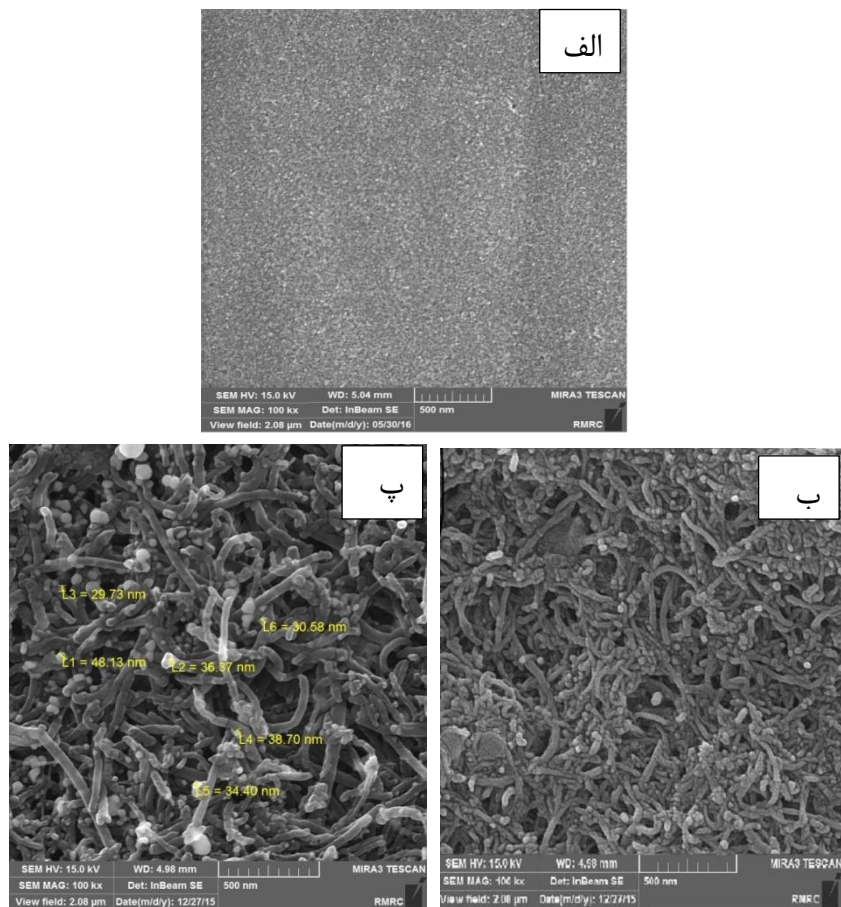
۱-۲-۶-۲ سنتز الکتروشیمیایی نانو ذرات طلا همانطور که در بخش (۱-۶-۲) اشاره شد، نانو ذرات طلا از طریق روش ولتامتری چرخه‌ای روی سطح MWCNT/GCE قرار گرفت. بر این اساس پس از تمیزکاری الکترود و قطره گذاری نانو لوله‌های کربنی مطابق روش ارائه شده در بخش (۱-۶-۲)، الکترود برای ترسیب نانو ذرات طلا در محلول بافر فسفاتی pH=۷/۰ حاوی HAuCl₄ ۱۰۰/۰ µg/mL قرار داده شد. روش پتانسیل در محدوده ۰/۲۰ +۰/۲۰ تا ۰/۱۰ ولت و با سرعت روش ۵۰ میلی ولت بر ثانیه انجام شد [۱۶۷,۵۲]. شکل ۳-۲-۲ ولتاژ‌گرام‌های حاصل را نشان می‌دهد. ترسیب این نانو ذرات در سطح الکترود توسط میکروسکوپ الکترونی روشی و طیف بینی پراش انرژی پرتو ایکس (EDX) تایید شد (نتایج در بخش ۲-۶-۲ و ۳-۲-۶-۲ ارائه شده است).



شکل (۳۳-۲): ولتاوگرامهای چرخه‌ای (۱۲ چرخه) در محلول $100/\mu\text{g/mL}$ تراکلروآئوریک اسید در بافر فسفاتی $\text{pH}=7.0$ سرعت روبش 50 mV s^{-1}

۲-۲-۶-۲ ریخت شناسی و تعیین ترکیب کاتالیزگر برای بررسی تغییرات ایجاد شده در سطح الکترود کربن شیشه‌ای در مراحل مختلف

اصلاح با استفاده از نانو لوله‌های کربنی و نانو ذرات طلا، از تصویر برداری میکروسکوپ الکترونی روبشی (SEM) استفاده شد.



شکل (۳۴-۲): تصاویر میکروسکوپ الکترونی روبشی الکترود (الف) کربن شیشه‌ای اصلاح نشده (ب) کربن شیشه اصلاح شده با نانو لوله کربنی چند دیواره و (پ) الکترود کربن شیشه‌ای اصلاح شده با نانو لوله‌های کربنی چند دیواره/نانو ذرات طلا.

شکل (۳۴-۲-الف)، تصویر SEM از سطح الکترود کربن شیشه‌ای اصلاح نشده، شکل (۳۴-۲-ب) الکترود کربن شیشه پس از اصلاح با نانو لوله‌های کربنی چند دیواره و شکل (۳۴-۲-پ) تصویر SEM از سطح الکترود کربن شیشه‌ای اصلاح شده با نانو لوله‌های کربنی چند دیواره/ نانو ذرات طلا را نشان می دهد (Au/MWCNT/GCE). همان‌طور که در شکل (۳۴-۲-پ) مشاهده می‌شود نانو ذرات طلا دارای شکل تقریباً کروی با قطر بین ۳۰ تا ۵۰ نانومتر می‌باشند.

همچنین، به منظور تعیین ترکیب ساختار و درصد طلا و کربن موجود در کاتالیزگر، از آنالیز عنصری نمونه با استفاده از طیف بینی پراش انرژی پرتو ایکس (EDX) استفاده شد که نتایج حاصل در شکل (۳۵-۲) نمایش داده شده است. جدول ۲، انرژی مشخصه مربوط به تراز انرژی هر یک از عناصر موجود در سطح الکترود اصلاح شده را نشان می‌دهد.

جدول (۳۱-۲) جدول انرژی آنالیز EDX						
M _β (KeV)	M _α (KeV)	L _β (KeV)	L _α (KeV)	K _β (KeV)	K _α (KeV)	عنصر
-	-	-	-	-	۰/۲۷۷	کربن
۲/۲۰۳	۲/۱۲۳	۱۱/۴۴۳	۹/۷۱۳	۷۷/۹۸۲	۶۸/۸۰۶	طلا

به علت بالا بودن سطح انرژی ترازهای K عنصر طلا، طیف مربوط به آن قابل مشاهده و اندازه‌گیری نمی‌باشد. تنظیمات دستگاه مورد استفاده برای انجام آنالیز EDX در این مطالعه به نحوی بوده است که طیف سری L که دارای انرژی بیشتری از سری M است برای بررسی کمی مورد استفاده قرار می‌گیرد.

اندازه‌گیری کمی هر عنصر در روش EDX از طریق تبدیل مساحت سطح زیر پیک به

غلظت با استفاده از تکنیک کلیف-لوریمر^۱ قابل انجام است [۱۶۸]. بر اساس این روش وقتی که بستر از دو عنصر تشکیل شده باشد، شدت جریان‌های مشخصه اشعه ایکس هر عنصر (I_B و I_A) از طریق رابطه (۲۶-۲) قابل محاسبه است:

$$\frac{C_A}{C_B} = ZAF \frac{I_A}{I_B} \quad (26-2)$$

که $\frac{C_A}{C_B}$ نسبت غلظتی گونه A به B می‌باشد. ZAF فاکتور تصحیح مربوط به عدد اتمی همه گونه‌های موجود در نمونه (Z)، جذب اشعه ایکس در نمونه (A) و میزان فلورسانس نمونه است. جدول (۳۲-۲) درصد هر یک از عناصر موجود در سطح الکترود را نشان می‌دهد.

سپس با استفاده از نتایج حاصل از درصد اتمی، درصد وزنی بهصورت زیر قابل محاسبه است:

$$y = \text{جرم اتمی عنصر } X \times \text{درصد اتمی عنصر } X \quad (27-2)$$

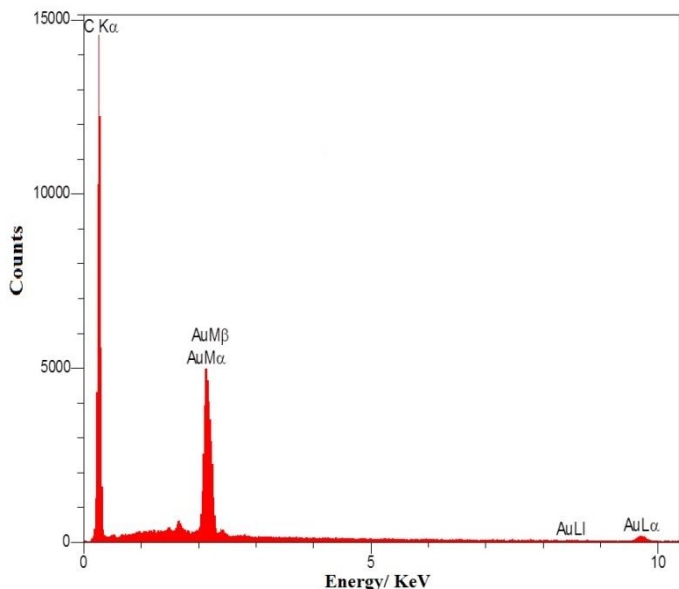
مجموع حاصلضرب جرم اتمی هر عنصر در درصد اتمی آن بدست آمده (Σy) و از نسبت بین مقدار y به Σy درصد وزنی هر عنصر محاسبه می‌شود. به این ترتیب بهعنوان مثال درصد وزنی کربن بهصورت زیر قابل محاسبه خواهد بود:

$$(\Sigma y) = ۱۹۶/۹۶ \times ۲/۴۱ + ۱۲/۰ ۱ \times ۹۷/۵۹ = ۱۶۴۶/۷۳$$

$$\frac{y}{\Sigma y} = \frac{۱۲/۰ ۱ \times ۹۷/۵۹}{۱۶۴۶/۷۳} \times 100 = ۷۱/۱۷$$

درصد وزنی طلا نیز به همین ترتیب قابل محاسبه می‌باشد.

^۱ Cliff-Lorimer



شکل (۳۵-۲): طیف EDX، مربوط به Au/MWCNT/GCE

جدول (۳۶-۲) داده‌های حاصل از آزمایش EDX بر روی الکترود

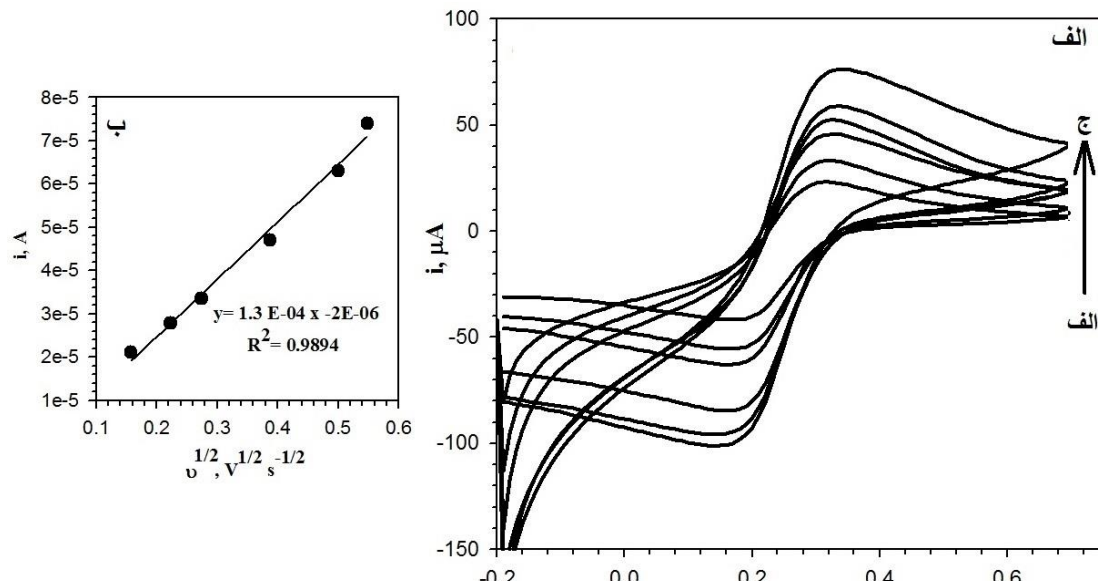
عنصر	سری	ZAF	درصد اتمی	درصد وزنی
کربن	سری K	۰/۳۷۰۸	۹۷/۵۹	۷۱/۱۹
طلاء	سری L	۰/۷۹۷۷	۲/۴۱	۲۸/۸۱

مجموع: ۱۰۰٪

۳-۲-۶-۲ اندازه‌گیری مساحت سطح الکترودهای اصلاح نشده و اصلاح شده به منظور در ک بهتر خاصیت الکتروشیمیایی Au/MWCNT/GCE، مساحت سطح فعال الکترودهای کربن شیشه اصلاح شده با MWCNT و همچنین الکترود کربن شیشه اصلاح نشده به کمک ولتاوی چرخه‌ای در محلول $K_4Fe(CN)_6$ ، به عنوان گونه آزمایشی برگشت‌پذیر بررسی شد. شکل (۳۶-۲-الف) ولتاوگرام‌های حاصل از قرار دادن الکترود پتانسیل در سرعت‌های روبش مختلف در محدوده ۲۵ تا ۳۰۰ میلی ولت بر ثانیه را نشان می‌دهد. همانطور که در شکل (۳۶-۲-ب) دیده می‌شود، شدت جریان دماغه آندی $K_4Fe(CN)_6$ ، با جذر سرعت روبش ارتباط خطی دارد که این امر نشانگر انتشاری بودن فرآیند انتقال الکترون است. سطوح الکتروفعال الکترودهای MWCNT/GC، Au/MWCNT/GC و GC طبق معادله راندلس-سویک (معادله ۱-۱) و روابط ذکر شده در بخش ۲-۴-۲ محاسبه

شد. در این مطالعات شیب نمودار جریان بر حسب جذر سرعت روبش برای الکترود کربن شیشه اصلاح شده با $Au/MWCNT$ برابر با $10^{-4} \times 1/30$ ، الکترود کربن شیشه اصلاح شده با $MWCNT$ برابر با $10^{-5} \times 6/30$ و برای الکترود کربن شیشه اصلاح نشده برابر با $10^{-5} \times 1/95$ به دست آمد. به این ترتیب، مساحت سطح الکتروفعال $Au/MWCNT/GCE$ ، برابر با $0.190 \text{ سانتی متر مربع}$ (شکل ۱۱ پ) و برای GCE $0.280 \text{ سانتی متر مربع}$ محاسبه شد.

نتایج به دست آمده نشان می‌دهد که در حضور نانولوله‌های کربنی چند دیواره مساحت سطح الکتروفعال الکترود بیش از 22% افزایش می‌یابد. در حالیکه با به کارگیری همزمان نانوذرات طلا و نانو لوله‌های کربنی افزایش سطح الکترود نسبت به زمانی که تنها از نانولوله‌های کربنی به عنوان اصلاحگر استفاده شود سطح الکترود حدود 106% افزایش می‌یابد. این شواهد بیان‌گر میزان افزایش سطح الکتروفعال الکترود در حضور اصلاحگرهای به کار گرفته شده می‌باشد.



شکل (۳۶-۲): (الف) ولتاژ‌گرام‌های چرخه‌ای $K_4Fe(CN)_6$ $1/0 \text{ mM}$ $Au/MWCNT/GCE$ در محلول KCl $0/10 \text{ M}$ در سرعت روبش‌های مختلف: (الف تا ج) مربوط به سرعت‌های روبش $25, 50, 75, 150, 250$ ، و $300 \text{ میلی ولت بر ثانیه}$ می‌باشند. (ب) نمودار تغییرات شدت جریان دماغه آندی بر حسب جذر سرعت روبش.

۳-۶-۲ مطالعات طیف‌بینی امپدانس الکتروشیمیایی سطح الکترودهای مختلف

میزان مقاومت انتقال بار بین واکنشگر و سطح الکترود Au/MWCNT/GC با استفاده از

روش طیف‌بینی امپدانس الکتروشیمیایی (EIS) بررسی شد. برای مقایسه، مطالعه EIS در

سطح الکترودهای GC اصلاح نشده و MWCNT/GC نیز انجام گرفت (شکل ۳۷-۲ الف). مدار

معادل شده برای طیف‌های امپدانس مشاهده شده در شکل (۳۷-۲ ب) نشان داده شده است.

همان‌طور که در شکل مشاهده می‌شود، در سطح الکترود GC، نیم دایره بزرگی در نمودار

نایکوئیست^۱ مشاهده می‌شود، در حالیکه با اصلاح سطح الکترود GC با MWCNT و

MWCNT/Au، قطر نیم دایره کوچک‌تر می‌شود. این نتایج نشان می‌دهد که هدایت الکتریکی

الکترود در حضور این کاتالیزگرها افزایش یافته است.

در یک دیدگاه کلی، سل الکتروشیمیایی در پاسخ به محرک ولتاژ سینوسی کوچک

می‌تواند به‌سادگی به‌صورت یک امپدانس در نظر گرفته شود، بنابراین ما قادر خواهیم بود

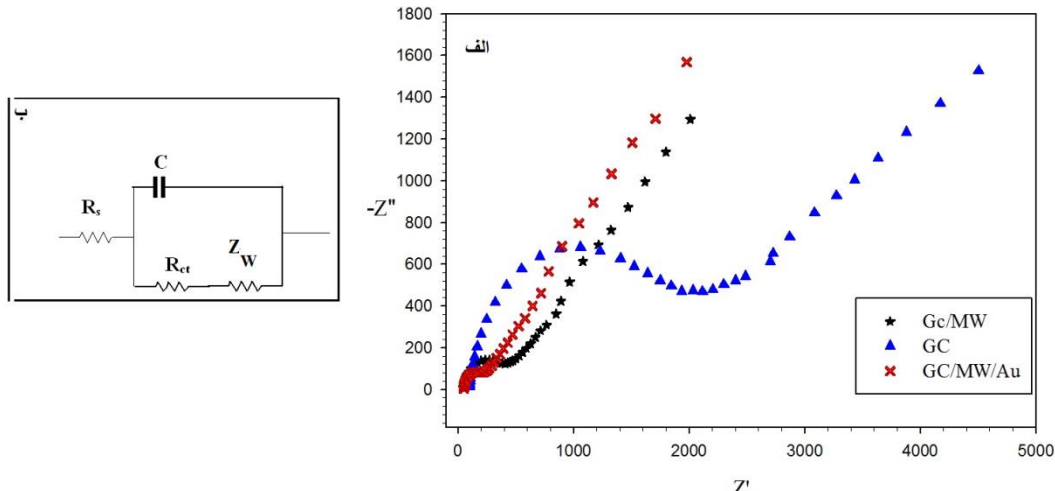
عملکرد آنرا به‌وسیله یک مدار متتشکل از مقاومت و خازن نشان دهیم [۶۸]. در مدار معادل

طراحی شده برای نمودار نایکوئیست الکترودهای اصلاح نشده و اصلاح شده R_s ، C_{ct} و

به ترتیب مقاومت محلول، ظرفیت خازنی لایه دوگانه و مقاومت در برابر انتقال بار را نشان

می‌دهند. Z_w نیز مربوط به انتشار خطی نیمه متناهی واکنشگر می‌باشد.

^۱ Nyquist plot



شکل (۳۷-۲): (الف) نمودار نایکوئیست در سطح الکترودهای GC اصلاح نشده، MWCNT/GC و Au/MWCNT/GC در محلول ۵۰ میلی مولار پتاسیم هگزاسیانو فرات / پتاسیم هگزاسیانو فریت حاوی ۰/۵۰ مولار پتاسیم کلرید، محدوده فرکانس Hz ۱۰۰۰۰ تا ۰/۱ Hz. (ب) نمایش طرح نموداری مدار معادل شده.

۴-۶-۲ معرفی سیستم الکتروشیمیایی مورد استفاده برای اندازه‌گیری جم فیبروزیل الکترود کربن شیشه‌ای اصلاح شده با نانو لوله‌های کربنی چنددیواره و نانو ذرات طلا در

غیاب جم فیبروزیل در محلول بافر فسفاتی با $pH=3/0$ قرار داده شد (ولتاوگرام‌های ۱ در شکل ۳۸-۲-الف و ب). همانطور که مشاهده می‌شود در محدوده پتانسیلی $+0/۹۰$ تا $+1/۵۰$

ولت هیچ دماغه‌ای مشاهده نمی‌شود، که این امر نشانگر غیر الکتروفعال بودن الکترود اصلاح شده در ناحیه پتانسیلی آزمایش است. همچنین در شکل (۳۸-۲)، ولتاوگرام‌های چرخه‌ای و

موج مربعی الکترودهای کربن شیشه‌ای اصلاح نشده (۲)، اصلاح شده با نانو لوله‌های کربنی چند

دیواره (۳) و اصلاح شده با نانو لوله‌های کربنی چنددیواره / نانو ذرات طلا (۴) در محلول بافر

فسفاتی با $pH=3/0$ دارای ۳۰۰ میکرومولار جم فیبروزیل مشاهده می‌شود. همانگونه که در

شکل (۳۸-۲-الف) دیده می‌شود، اکسایش جم فیبروزیل در سطح تمام الکترودها به صورت

برگشت ناپذیر اتفاق می‌افتد. در سطح الکترود کربن شیشه‌ای اصلاح نشده، پاسخ ولتاومتری جم

فیبروزیل شدت جریان کمی در پتانسیل $1/۳۴$ ولت نسبت به الکترود مرجع نشان می‌دهد

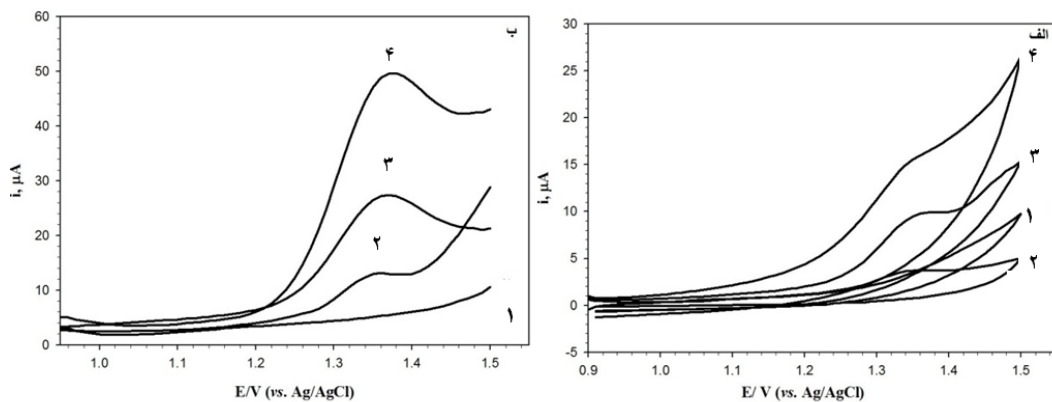
(شکل ۳۸-۲ الف- منحنی ۲). در حالی که در سطح الکترود اصلاح شده با نانو لوله‌های کربنی

شدت جریان دماغه آندی جم فیبروزیل افزایش می‌یابد بدون آنکه جابجایی در پتانسیل

اکسایش دیده شود (شکل ۲-۳۸ الف- منحنی ۳). این افزایش در شدت جریان می‌تواند مربوط به افزایش مساحت سطح فعال الکترود در حضور نانو لوله‌های کربنی باشد. همچنین مشاهده می‌گردد که شدت جریان اکسایش جم فیبروزیل در سطح الکترود کربن شیشه‌ای اصلاح شده با نانو لوله‌های کربنی چنددیواره/ نانو ذرات طلا (شکل ۲-۳۸ الف- منحنی ۴)، نسبت به الکترود کربن شیشه‌ای اصلاح شده با نانو لوله‌های کربنی چنددیواره بیشتر است (پتانسیل اکسایش ۱/۳۴ ولت). این مشاهده حاکی از آن است که تثبیت نانو ذرات طلا در سطح نانو لوله‌های کربنی چنددیواره موجود بر سطح الکترود کربن شیشه‌ای، کارآیی الکترود را در الکترواکسایش جم فیبروزیل به‌طور قابل ملاحظه‌ای افزایش می‌دهد. اگرچه با توجه به عدم جابجایی پتانسیل نمی‌توان اثر الکتروکاتالیزوری برای این اصلاح‌گر در نظر گرفت، اما علت این افزایش جریان را علاوه بر افزایش سطح الکتروفعال و افزایش هدایت الکتریکی، می‌توان به قابلیت این نانوذرات برای تسهیل جذب سطحی جم فیبروزیل در سطح الکترود اصلاح شده دانست (توضیحات بیشتر در بخش ۲-۶-۸ ارائه شده است). با توجه به اینکه نتایج به دست آمده از داده‌های ولتاومتری موج مربعی، تایید کننده داده‌های ولتاومتری چرخه‌ای است (از نظر افزایش جریان و همچنین عدم جابجایی دماغه اکسایش جم فیبروزیل) و با توجه حساسیت بیشتر ولتاومتری موج مربعی، این تکنیک برای مطالعات بعدی مورد استفاده قرار گرفت. علاوه بر این، بررسی‌های صورت گرفته نشان داد که جریان اکسایش جم فیبروزیل با اعمال زمان‌های انباشت متفاوت (بدون اعمال پتانسیل) از شدت بیشتری نسبت به حالت بدون انباشت برخوردار بوده است (توضیحات بیشتر در بخش ۲-۶-۸ ارائه شده است). از این‌رو به دلیل کارایی بالای ولتاومتری برنه سازی جذب سطحی، اکسایش جم فیبروزیل در سطح Au/MWCNT/GCE با استفاده از این روش مورد مطالعه قرار گرفت.

در این مطالعه، شدت جریان اندازه‌گیری شده جم فیبروزیل در محلول بافر فسفاتی در

پتانسیل $1/34$ ولت به عنوان سیگنال آنالیت و شدت جریان در محلول بافر فسفاتی در غیاب جم فیبروزیل در این پتانسیل مربوط به سیگنال شاهد در نظر گرفته شد. اختلاف بین شدت جریان دماغه آنالیت و شدت جریان شاهد در پتانسیل $1/34$ ولت به عنوان سیگنال تجزیه‌ای برای انجام سایر بررسی‌ها مورد استفاده قرار گرفته شده است.



شکل (۳۸-۲): ولتاوگرام‌های (الف) چرخه‌ای و (ب) موج مربعی $30/0$ میکرومولار جم فیبروزیل در محلول بافر فسفاتی $27/0$ مولار با $pH = 3/0$ در سطح الکترودهای کربن شیشه‌ای اصلاح نشده (۲)، اصلاح شده با نانو لوله‌های کربنی چنددیواره (۳) و اصلاح شده با نانو لوله‌های کربنی چنددیواره/نانو ذرات طلا (۴). منحنی (۱) در (الف و ب)، به ترتیب ولتاوگرام چرخه‌ای و موج مربعی الکترود کربن شیشه‌ای اصلاح شده با نانو لوله‌های کربنی چنددیواره/نانو ذرات طلا را در غیاب جم فیبروزیل نشان می‌دهد. زمان انباشت 50 ثانیه، زمان استراحت 10 ثانیه، سرعت روش در ولتاوگرام 100 میلی ولت بر ثانیه می‌باشد. برای ولتاوگرام موج مربعی ارتفاع پالس 50 میلی ولت و فرکانس 40 هرتز.

۵-۶-۲ بهینه سازی شرایط آزمایش

بهینه‌سازی پارامترهای موثر بر شدت جریان دماغه اکسایش جم فیبروزیل نظری H محیط، نوع بافر، حجم بافر، شرایط آماده سازی الکترود و شرایط اندازه‌گیری (مانند پتانسیل و زمان انباشت و پارامترهای دستگاهی) اهمیت بهسزایی در رسیدن به حداقل جریان اکسایشی دارند. در این بخش از پژوهش یک متغیر در یک زمان برای بهینه سازی پارامترهای موثر استفاده گردید.

۱-۵-۶-۲ روش کار کلی برای بهینه سازی پارامترهای موثر بر اکسایش جم فیبروزیل همانطور که اشاره شد، بهمنظور دسترسی به بهترین سیگنال تجزیه‌ای برای اندازه‌گیری جم فیبروزیل به کمک الکترود اصلاح شده Au/MWCNT/GC، از روش تک متغیره استفاده

شد. به این ترتیب که هنگام بهینه سازی هر پارامتر سایر پارامترهای موثر ثابت در نظر گرفته شدند.

فرآیند تهیه الکترود در این مرحله به این صورت انجام شد که نانولوله‌های کربنی از طریق قطره‌گذاری در سطح الکترود تثبیت گردید. در روش قطره‌گذاری، ابتدا مخلوط کاملاً همگنی از نانولوله‌های کربنی چند دیواره در دی متیل فرمامید با نسبت مشخص (mg/mL) تهیه و سپس $10\text{ }\mu\text{L}$ از این مخلوط به کمک میکروپیپت در سطح الکترود کربن شیشه‌ای قطره‌گذاری شد. سپس حلال (دی متیل فرمامید) با کمک لامپ IR تبخیر شد و الکترود کربن شیشه‌ای اصلاح شده با نانولوله‌های کربنی چند دیواره (MWCNT/GCE)، تهیه گردید. برای اصلاح سطح MWCNT/GCE با نانوذرات طلا، الکترود پس از شستشو با آب مقطر در محلول بافر فسفاتی با $\text{pH}=7.0$ حاوی $25\text{ }\mu\text{g/mL}$ تتراکلروآنوریک اسید (غلظت مورد استفاده قبل از بهینه سازی) قرار داده شد. سپس با روش ولتاوتمتری چرخه‌ای و با اعمال دوازده چرخه پتانسیلی در محدوده $+0.2$ تا -0.1 ولت نسبت به الکترود مرجع نقره/نقره کلرید (پتانسیم کلرید M^{3+}) با سرعت روبش 1 mV s^{-1} ، نانوذرات طلا در سطح الکترود کربن شیشه‌ای اصلاح شده با نانولوله‌های کربنی چند دیواره ترسیب شدند و الکترود اصلاح شده با نانولوله‌های کربنی چند دیواره و نانوذرات طلا (Au/MWCNT/GCE) تهیه شد. سپس $10\text{ }\mu\text{L}$ میلی لیتر از محلول استاندارد جم فیبروزیل با غلظت 0.3 mM میلی مولار به سل الکتروشیمیایی منتقل شد و pH محیط با افزودن مقدار مشخصی از بافر فسفاتی در pH معین تنظیم شد. پس از آن، حجم محلول با استفاده از آب دو بار تقطیر به 10 mL میلی لیتر رسانده شد. سپس الکترودها داخل سل الکتروشیمیایی قرار داده شدند و همزن مغناطیسی روشن شد و سپس انباشت به صورت مدار باز^۱ برای مدت زمان معین در سطح الکترود Au/MWCNT/GC انجام شد. پس از پایان زمان انباشت، همزن خاموش شد و پس از 10 ثانیه زمان استراحت، ولتاوگرام موج

^۱ Open circuit

مربعی در محدوده $+0/90$ تا $+1/50$ ولت نسبت به الکترود مرجع نقره/نقره کلرید (پتاسیم کلرید $3/0$ مولار) ثبت شد. پارامترهای دستگاهی و لتماتری موج مربعی به هنگام ثبت ولتاموگرامها عبارت بود از ارتفاع پالس 50 میلی ولت و فرکانس 50 هرتز. برای ثبت سیگنال شاهد (در مرحله قبل از اندازه‌گیری جم فیبروزیل)، الکترود کار در محلول با شرایط pH و نوع بافر یکسان با مرحله اندازه‌گیری جم فیبروزیل (ولی فاقد جم فیبروزیل) قرار گرفت و شدت جریان متناظر با پتانسیل دماغه اکسایش جم فیبروزیل به عنوان سیگنال شاهد در نظر گرفته شد. هر اندازه‌گیری سه بار تکرار شد. شدت جریان میانگین این اندازه‌گیری‌ها در بررسی‌های انجام شده مورد استفاده قرار گرفت. به منظور پاکسازی سطح الکترود و از بین بردن اثر حافظه جم فیبروزیل باقیمانده روی سطح الکترود اصلاح شده بعد از هر اندازه‌گیری، پنج روش چرخه‌ای متوالی در محدوده $+0/90$ تا $+1/50$ در محلول شاهد با سرعت روش 100 mVs^{-1} انجام شد (شکل ۱۲ پ).

۲-۵-۶-۲ تعیین pH بهینه و نوع بافر در اکسایش جم فیبروزیل در سطح Au/MWCNT/GCE

تقریباً تمام ترکیبات دارویی باز یا اسید ضعیف هستند، به این معنی که این ترکیبات دارای حداقل یک موقعیت هستند که می‌تواند بصورت برگشت پذیر پروتون گرفته و یا از دست دهد [۱۶۹]. به این دلیل تاثیر pH محیط بر پاسخ و لتماتری جم فیبروزیل و تعیین مقدار بهینه این پارامتر به روش زیر بررسی شد:

پس از تهیه الکترود اصلاح شده به روش شرح داده شده در بخش ۲-۵-۶-۱، به منظور بررسی تاثیر تغییر pH بر پاسخ الکتروشیمیایی جم فیبروزیل، 40 میلی لیتر بافر فسفاتی $0/067$ مولار با pH های متفاوت در گستره $2/0$ تا $6/0$ به سل الکتروشیمیایی اضافه شد و پس از افزودن $1/0$ میلی لیتر از جم فیبروزیل $0/30$ میلی مولار، حجم محلول موجود در سل توسط آب دو بار تقطیر به $10/0$ میلی لیتر رسانده شد. سپس الکترودها داخل سل الکتروشیمیایی

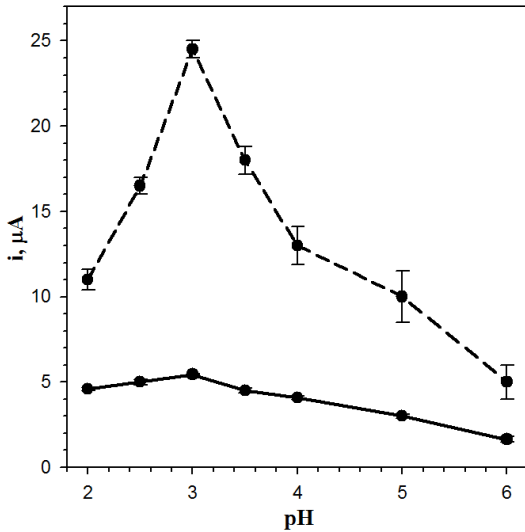
قرار داده شدند و همزن مغناطیسی روشن شد. سپس انباشت در شرایط مدار باز و به مدت ۷۰ ثانیه انجام شد. پس از خاموش کردن همزن و پس از ۱۰ ثانیه زمان استراحت، ولتاوموگرام موج مربعی در محدوده $۹۰/۰$ تا $۱/۵۰$ ولت ثبت شد (ارتفاع پالس mV ، فرکانس $۵۰ Hz$). هر اندازه‌گیری سه بار تکرار شد. میانگین جریان آندی حاصل از اکسایش جم فیبروزیل (پس از تفریق از جریان زمینه) بر حسب تغییرات pH (در گستره $۲/۰$ تا $۶/۰$) رسم گردید. نتایج حاصل از این بررسی در جدول (۳۳-۲) و شکل (۳۹-۲- خط چین) ارائه شده است.

pH	$۲/۰$	$۲/۵$	$۳/۰$	$۳/۵$	$۴/۰$	$۵/۰$	$۶/۰$
سیگنال تجزیه‌ای (μA)	$۱۱/۰ \pm ۰/۶$	$۱۶/۵ \pm ۰/۵$	$۲۴/۵ \pm ۰/۵$	$۱۸/۰ \pm ۰/۸$	$۱۳/۰ \pm ۱/۱$	$۱۰/۰ \pm ۱/۵$	$۵/۰ \pm ۱/۰$

همان‌طور که ملاحظه می‌شود، pH محیط بر جریان اکسایش جم فیبروزیل تاثیر بسزایی دارد. با افزایش pH محیط، شدت جریان افزایش می‌باید تا در $pH=۳/۰$ به بیشترین مقدار رسیده و سپس کاهش می‌باید. با توجه به اینکه جم فیبروزیل دارویی با خصلت اسید ضعیف است ($pK_a=۴/۷$)، با افزایش pH به فرم غیر پروتونه خود (COO^-) تبدیل می‌شود و این امر می‌تواند علت کاهش شدت جریان در pH های بالاتر از pK_a باشد. در این مطالعه، Au/MWCNT/GCE pH=۳ به عنوان pH بهینه جهت اندازه‌گیری جم فیبروزیل در سطح

انتخاب شد.

بررسی تاثیر تغییر pH (در گستره $۲/۰$ تا $۶/۰$) بر پاسخ الکتروشیمیایی جم فیبروزیل، بدون اعمال زمان انباشت نیز انجام شد. نتایج حاصل در شکل (۳۹-۲) به صورت خط پر ارائه شده است. همان‌طور که در شکل دیده می‌شود شدت جریان اکسایش جم فیبروزیل با تغییرات pH در حالت بدون جذب سطحی تقریباً ثابت بوده است.



شکل (۳۹-۲): نمودار تغییرات جریان آندی بر حسب pH با فر فسفاتی برای محلول ۳۰٪ میکرومولار جم فیبروزیل در سطح الکترود Au/MWCNT/GC با روش ولتاویری موج مربعی جذب سطحی. خط چین: پس از اعمال زمان انباشت: ۷۰ ثانیه، خط پر: بدون اعمال زمان انباشت، ارتفاع پالس ۵۰ میلی ولت و فرکانس ۵۰ هرتز.

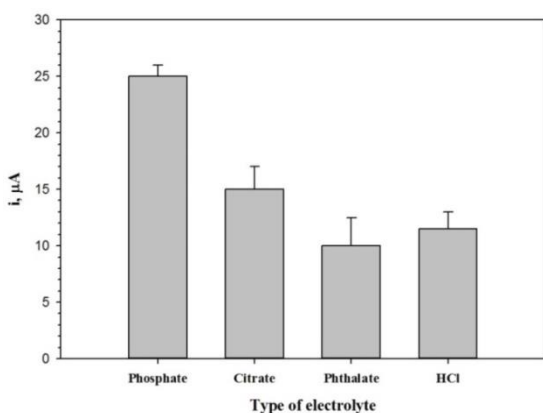
این در حالیست که پس از اعمال مدت زمان ۷۰ ثانیه برای جذب سطحی جم فیبروزیل روی سطح الکترود، تغییر شدت جریان اکسایش جم فیبروزیل با تغییر pH محسوس می‌باشد. این نتایج نشانگر تاثیرپذیری اکسایش جم فیبروزیل در pH های مختلف از فرآیند جذب سطحی می‌باشد.

با توجه به اهمیت نقش الکترولیت حامل در واکنش‌های الکتروشیمیایی، علاوه بر بافر فسفاتی ۰٪ مولار، الکترولیت‌های حامل مختلفی نظیر بافر سیتراتی ۰٪ مولار، فتالاتی ۰٪ مولار و محلول هیدروکلریک اسید ۰٪ مولار حاوی ۰٪ مولار KCl در pH=۳ مورد بررسی قرار گرفتند. این بررسی به منظور تعیین بهترین الکترولیت حامل برای اندازه‌گیری شدت جریان اکسایش جم فیبروزیل انجام شد. نتایج به دست آمده (جدول ۳۴-۲ و شکل ۴۰-۲)، نشان می‌دهد که سیگنال تجزیه‌ای اکسایش جم فیبروزیل در بافر فسفاتی هم از شدت بالاتر و هم از تکرارپذیری بهتری برخوردار بوده است. در نتیجه در مطالعات بعدی از بافر فسفاتی ۰٪ مولار pH=۳ به عنوان بافر بهینه برای اندازه‌گیری اکسایش جم فیبروزیل در سطح Au/MWCNT/GCE استفاده شد.

جدول (۳۴-۲): نتایج حاصل از شدت جریان دماغه اکسایش $30/0$ میکرومولار جم فیبروزیل در الکتروولیت‌های حامل متفاوت با $pH=3/0$ در سطح Au/MWCNT/GCE به کمک روش ولتاویری موج مربعی جذب سطحی

نوع الکتروولیت حامل	انحراف استاندارد سیگنال تجزیه‌ای * (μA)	سیگنال تجزیه‌ای (μA)
فسفاتی	۲۵/۰	۰/۹
سیتراتی	۱۵/۰	۱/۳
فتالاتی	۱۰/۰	۱/۸
هیدروکلریک اسید	۱۱/۵	۱/۲

* میانگین سه اندازه‌گیری



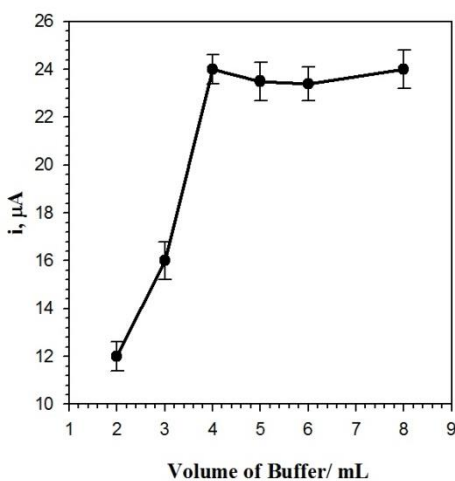
شکل (۴۰-۲): نمودار تغییرات میزان شدت جریان آندی بر حسب نوع الکتروولیت حامل در $pH=3/0$ حاوی $30/0$ میکرومولار جم فیبروزیل در سطح Au/MWCNT/GCE با روش ولتاویری موج مربعی. زمان انباشت: 70 ثانیه، ارتفاع پالس 50 میلی ولت و فرکانس 50 هرتز.

۳-۵-۶-۲ تعیین حجم بافر در اکسایش جم فیبروزیل در سطح Au/MWCNT/GCE
در این بخش از مطالعه به منظور تعیین حجم بهینه بافر که نقش الکتروولیت حامل را ایفا می‌کند، تاثیر حجم‌های مختلفی از بافر فسفاتی $pH=3/0$ در گستره $2/0$ تا $8/0$ میلی‌لیتر بر شدت جریان اکسایش جم فیبروزیل مورد بررسی قرار گرفت. نتایج به دست آمده (شکل ۴۱-۲) و جدول (۳۵-۲)، نشان می‌دهد که با افزایش حجم الکتروولیت حامل تا $4/0$ میلی‌لیتر شدت جریان اکسایش جم فیبروزیل افزایش می‌یابد، در حالیکه در حجم‌های بالاتر تغییری در شدت جریان مشاهده نمی‌شود. برای توجیه این مشاهدات می‌توان گفت که با افزایش حجم بافر (الکتروولیت حامل) هدایت محلول زیاد شده، مقاومت درونی آن کاهش یافته و در نتیجه جریان افزایش می‌یابد.

جدول (۳۵-۲): نتایج حاصل از بررسی حجم‌های متفاوت بافر فسفاتی در $pH=3/0$ بر شدت جریان دماغه اکسایش $30/0$ میکرومولار جم فیبروزیل در سطح Au/MWCNT/GCE به کمک روش ولتاوتمتری موج مربعی

انحراف استاندارد سیگنال (mL)	حجم بافر (μA)	سیگنال شاهد* (μA)	تجزیهای (μA)
۲/۰	۹/۵	۱۲/۰	۱/۰
۳/۰	۹/۰	۱۶/۰	۱/۱
۴/۰	۸/۴	۲۴/۰	۰/۹
۵/۰	۸/۴	۲۳/۵	۰/۹
۶/۰	۸/۳	۲۳/۴	۰/۹
۸/۰	۸/۳	۲۴/۰	۰/۶

* میانگین سه اندازه‌گیری



شکل (۴۱-۲): نمودار تغییرات میزان شدت جریان آندی جم فیبروزیل بر حسب حجم بافر فسفاتی $0/027$ مولار در $pH=3/0$ حاوی $30/0$ میکرومولار جم فیبروزیل در سطح Au/MWCNT/GCE با روش ولتاوتمتری موج مربعی. زمان انباشت: ۷۰ ثانیه، ارتفاع پالس ۵۰ میلی ولت و فرکانس ۵۰ هرتز.

در حالیکه در حجم‌های بالاتر از $4/0$ میلی‌لیتر قدرت یونی محیط ثابت باقی می‌ماند که می‌توان این امر را در ثبات سیگنال شاهد در حجم‌های بالاتر مشاهده کرد. بنابراین حجم $4/0$ میلی‌لیتر از بافر فسفاتی $pH=3/0$ به عنوان حجم بهینه انتخاب و در بررسی‌های بعدی استفاده شد.

۴-۵-۶-۲ بهینه سازی غلظت نانو لوله‌های کربنی چند دیواره می‌دانیم که حساسیت در سطح الکترودهای اصلاح شده با نانو لوله‌های کربنی چند

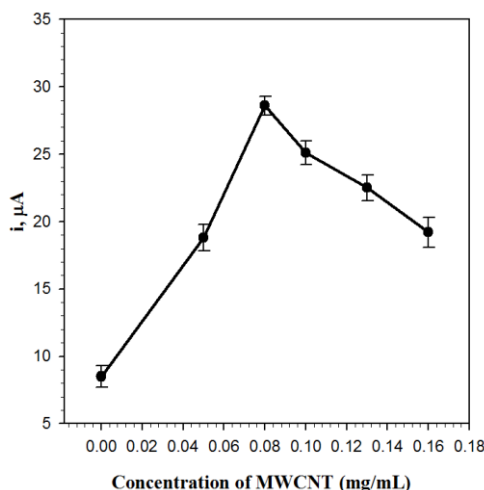
دیواره، به مقدار این اصلاحگر در سطح الکترود وابسته است. بنابراین، بهمنظور تعیین غلظت بهینه MWCNT، الکترودهایی با غلظت‌های مختلف از MWCNT در گستره ۰/۰ تا ۰/۱۶۰ میلی‌گرم بر میلی‌لیتر و غلظت ثابتی از محلول تترا کلرو آئوریک اسید تهیه شد. به این منظور، در هر مرحله مقادیر مشخصی از نانو لوله‌های کربنی با ۱۰/۰ میلی‌لیتر DMF مخلوط شد. سپس این مخلوط برای همگن سازی، به مدت ۳۰ دقیقه در حمام اولتراسونیک قرار گرفت. ۱۰/۰ میکرولیتر از مخلوط حاصل با استفاده از میکروپیپت روی سطح الکترود قطره گذاری شد. پس از آن، الکترود قطره گذاری شده در محلول $\mu\text{g/mL}$ ۲۵/۰ تترا کلرو آئوریک اسید قرار داده شد. ترسیب نانو ذرات طلا طی ۱۲ روبش متوالی پتانسیل در محدوده ۰/۲۰ تا ۰/۱۰۰ ولت و با سرعت روبش ۵۰ میلی ولت بر ثانیه انجام شد. سپس الکترود اصلاح شده انباست روی سطح الکترود اصلاح شده در محلول حاوی جم فیبروزیل با غلظت ۳۰/۰ میکرومولار به مدت ۷۰ ثانیه و بدون اعمال پتانسیل انجام شد. سپس همزن خاموش شد و پس از ۱۰ ثانیه زمان استراحت ولتاومگرام موج مربعی ثبت شد و شدت جریان در پتانسیل ۱/۳۴ ولت نسبت به الکترود مرجع اندازه‌گیری و به عنوان سیگنال نمونه ثبت شد. سیگنال شاهد همانند سیگنال نمونه اندازه‌گیری شد با این تفاوت که به محلول شاهد، جم فیبروزیل اضافه نشد. نتایج حاصل در جدول (۳۶-۲) و شکل (۴۲-۲) گزارش شده است.

همان‌طور که در شکل دیده می‌شود شدت جریان دماغه تا غلظت ۰/۰۸۰ میلی‌گرم بر میلی‌لیتر از MWCNT، افزایش می‌یابد و در غلظت‌های بالاتر شدت جریان با افت روبرو می‌شود. با توجه به جدول (۳۶-۲)، این امر می‌تواند به دلیل جریان‌های زمینه بیشتر هنگام به کارگیری غلظت‌های بالاتر MWCNT باشد. در واقع به دلیل افزایش جریان زمینه، سیگنال تجزیه‌ای کاهش می‌یابد.

جدول (۳۶-۲) نتایج حاصل از بررسی غلظت MWCNT با کمک روش ولتاوتمتری موج مربعی در محلول بافر فسفاتی $30/0$ میکرومولار با $pH=3/0$ حاوی $30/0$ میکرومولار جم فیبروزیل

MWCNT:DMF (mg/mL)	انحراف استاندارد سیگنال سیگنال شاهد* (μA)	سیگنال تجزیه‌ای* (μA)	تجزیه‌ای (μA)
۰/۰۰	۳/۰	۸/۵	۰/۸
۰/۰۵۰	۴/۵	۱۸/۸	۰/۷
۰/۰۸۰	۶/۹	۲۸/۶	۰/۷
۰/۱۰۰	۸/۴	۲۴/۰	۰/۸
۰/۱۳۰	۹/۳	۲۲/۵	۰/۹
۰/۱۶۰	۱۰/۳	۱۹/۲	۰/۸

* میانگین سه اندازه‌گیری



شکل (۴۲-۲): تاثیر غلظت MWCNT در سطح الکترود اصلاح شده روی شدت جریان دماغه جم فیبروزیل با غلظت $30/0$ میکرومولار در محلول بافر فسفاتی $30/0$ میکرومولار با $pH=3/0$. زمان انباشت: ۷۰ ثانیه، ارتفاع پالس ۵ میلی ولت و فرکانس ۵۰ هرتز.

علاوه بر این، در غلظت‌های بالای MWCNT، میزان چسبندگی اصلاحگر به سطح الکترود کاهش می‌یابد که این امر منجر به از بین رفتن مواد تثبیت شده بر سطح الکترود و در نهایت کاهش تکرارپذیری اندازه‌گیری‌ها می‌شود. بنابراین، غلظت $30/0$ mg/mL مقدار بهینه در مطالعات بعدی مورد استفاده قرار گرفت.

۶-۵-۵-۲ بهینه سازی مقدار نانو ذرات طلا

نانو ذرات طلا به عنوان واسطه مناسب برای انتقال الکترون موجود در سطح الکترود نقش تعیین کننده‌ای در پاسخ ولتاوتمتری الکترود اصلاح شده دارد. از اینرو، با به کارگیری مقدار بهینه

mg/mL MWCNT (۰/۰۸۰) تاثیر مقدار نانو ذرات طلا بر پاسخ الکتروشیمیایی جم فیبروزیل مورد بررسی قرار گرفت. این مطالعه در محدوده غلظت‌های $\mu\text{g/mL}$ ۰/۰ تا ۲۰/۰ و HAuCl_4 ۰/۰ تا ۲۰/۰ همچنین با تعیین تعداد چرخه‌های پتانسیلی لازم (در گستره ۵ تا ۲۰) برای ثبیت الکتروشیمیایی این نانو ذرات بر سطح الکترود MWCNT/GC، بررسی شد.

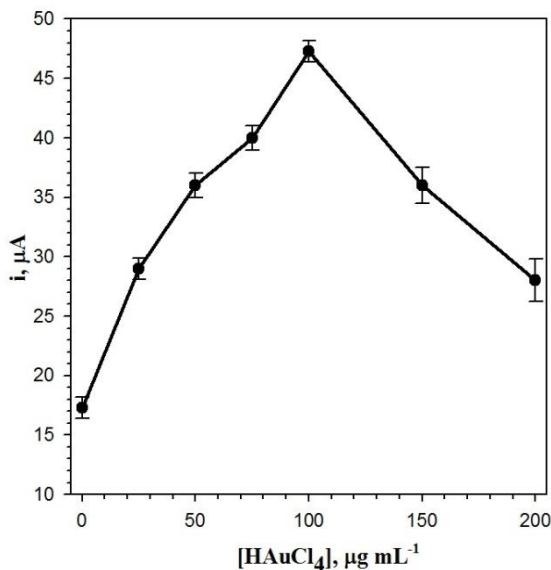
بهینه سازی غلظت نانو ذرات طلا

برای تعیین غلظت بهینه نانو ذرات طلا، پس از تهیه الکترود MWCNT/GC از طریق قطره گذاری ۱۰ میکرولیتر از تعلیق نانولوهای کربنی چند دیواره در دی متیل فرمامید با غلظت $۰/۰۸۰ \text{ mg/mL}$ ، الکترود در هر مرحله در محلولی با غلظت مشخصی از محلول تتراکلرو آئوریک اسید (در محدوده غلظتی $\mu\text{g/mL}$ ۰/۰ تا ۲۵/۰) قرار گرفت و پتانسیل در محدوده ۰/۲۰ تا ۱/۰ ولت با سرعت روبش ۰ میلی ولت بر ثانیه به تعداد ۱۲ چرخه متوالی روبش شد. نتایج به دست آمده در (جدول ۲-۳)، نشان می‌دهد که با افزایش غلظت HAuCl_4 تا $۱۰۰/۰ \mu\text{g/mL}$ شدت جریان دماغه اکسایش جم فیبروزیل افزایش می‌یابد، در حالیکه در غلظت‌های بالاتر شدت جریان دماغه آندی کاهش می‌یابد. از این‌رو، غلظت HAuCl_4 به عنوان مقدار بهینه برای سایر مطالعات در نظر گرفته شد.

جدول (۳-۲) نتایج حاصل از بررسی غلظت HAuCl_4 با کمک روش ولتمتری موج مربعی در محلول بافر فسفاتی $۰/۰۲۷ \text{ مولار}$ با $\text{pH} = ۳/۰$ حاوی $۳۰/۰ \text{ میکرو مولار}$ جم فیبروزیل

$[\text{HAuCl}_4] (\mu\text{g/mL})$	احراف استاندارد سیگنال	سیگنال تجزیه‌ای*	تجزیه‌ای (μA)
[μA]	سیگنال شاهد*		
۰/۰	۵/۵	۱۷/۳	۰/۷
۲۵/۰	۶/۹	۲۹/۰	۰/۵
۵۰/۰	۷/۹	۳۶/۰	۰/۹
۷۵/۰	۸/۳	۴۰/۰	۰/۷
۱۰۰/۰	۸/۹	۴۷/۳	۰/۷
۱۵۰/۰	۹/۴	۲۶/۰	۱/۱
۲۰۰/۰	۱۰/۰	۱۸/۰	۱/۶

* میانگین سه اندازه‌گیری



شکل (۴۳-۲): تاثیر غلظت HAuCl_4 مورد استفاده برای اصلاح الکترود روی شدت جریان دماغه جم فیبروزیل با غلظت $۳۰/۰$ میکرومولار در محلول بافر فسفاتی $۰/۰۲۷$ مولار با $\text{pH}=۳/۰$ با روش ولتاوتمتری موج مربعی. زمان انباشت: ۷۰ ثانیه، ارتفاع پالس ۵۰ میلی ولت و فرکانس ۵۰ هرتز.

بهینه سازی تعداد چرخه‌های لازم برای ترسیب الکتروشیمیایی طلا پارامتر موثر دیگر هنگام اصلاح الکتروشیمیایی طلا با استفاده از ولتاوتمتری چرخه‌ای، تعداد چرخه‌های به کار گرفته شده برای ترسیب این نانو ذرات بر سطح الکترود است. از اینرو الکترود GC/MWCNT پس از تهییه در محلول با غلظت $۱۰۰/۰ \mu\text{g/mL}$ HAuCl_4 قرار داده شد و روبش‌های متوالی پتانسیل با سرعت ۵۰ میلی ولت بر ثانیه در محدوده $۰/۲۰$ تا $۰/۱۰$ به تعداد بین ۵ تا ۲۰ چرخه انجام شد. الکترودهای اصلاح شده Au/MWCNT/GCE سپس در محلول حاوی جم فیبروزیل با غلظت $۳۰/۰$ میکرومولار حاوی بافر فسفاتی $\text{pH}=۳$ قرار داده شدند. پس از انباشت مدار باز به مدت ۷۰ ثانیه همراه با هم خوردن محلول، همزن خاموش و پس از ۱۰ ثانیه زمان استراحت ولتاوموگرام موج مربعی رسم شد و شدت جریان در پتانسیل $۱/۳۴$ ولت نسبت به الکترود مرجع اندازه‌گیری شد و سیگنال تجزیه‌ای پس از تفريق جریان زمینه به دست آمد. نتایج حاصل در جدول (۴۴-۲) و شکل (۴۴-۲) آورده شده است. با افزایش تعداد چرخه‌های لازم برای تثبیت نانو ذرات طلا بر روی سطح الکترود GC/MWCNT، تا ۱۲ چرخه شدت جریان دماغه آندی جم فیبروزیل افزایش می‌یابد در تعداد چرخه‌های

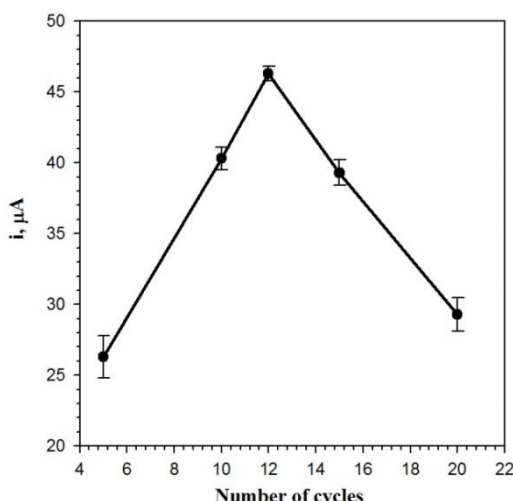
بالاتر کاهشی در شدت جریان اکسایش گونه هدف مشاهده می‌شود. از اینرو تعداد ۱۲ چرخه برای ترسیب نانو ذرات طلا بر سطح الکترود به عنوان مقدار بهینه انتخاب شد.

جدول (۳۸-۲) نتایج حاصل از بررسی تعداد چرخه‌های لازم برای ترسیب HAuCl_4 با کمک روش ولتاوتمتری موج مربعی در محلول بافر فسفاتی $\text{pH}=۳/۰$ مولار با $۳۰/۰$ میکرومولار جم فیبروزیل

تعداد چرخه	انحراف استاندارد سیگنال	سیگنال تجزیه‌ای*	سیگنال شاهد*	تجزیه‌ای (μA)
۵	۵/۵	۲۶/۳	۰/۸	
۱۰	۸/۰	۴۰/۳	۰/۹	
۱۲	۸/۹	۴۶/۷	۰/۶	
۱۵	۱۱/۲	۳۹/۳	۰/۹	
۲۰	۱۲/۱	۲۹/۰	۱/۲	

* میانگین سه اندازه‌گیری

دلیل مشاهدات ذکر شده در بخش (۲-۵-۶) می‌تواند به این دلیل باشد که به کارگیری مقادیر زیاد نانو ذرات طلا منجر به تجمع و در نتیجه افزایش قطر این ذرات شده و در نهایت سطح مقطع موثر این نانو ذرات کاهش می‌یابد که نتیجه این اثر، کاهش شدت جریان دماغه اکسایش جم فیبروزیل خواهد بود [۱۷۱].

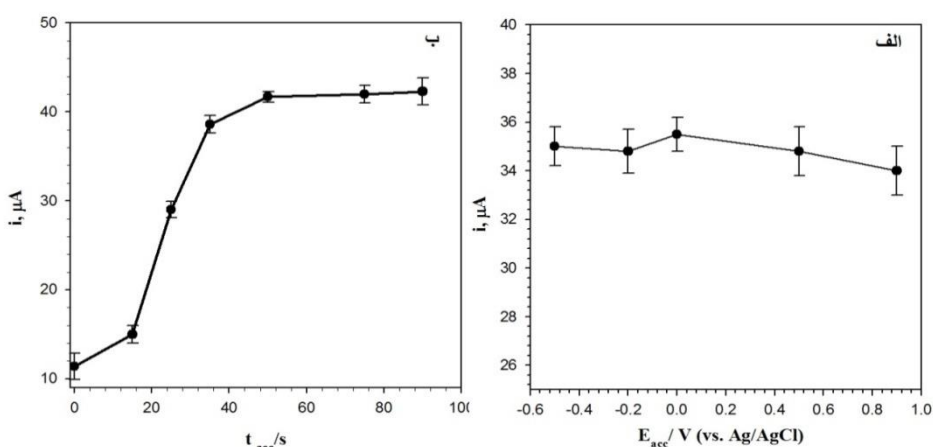


شکل (۴۴-۲): تاثیر تعداد چرخه‌های ترسیب نانو ذرات طلا بر روی شدت جریان دماغه جم فیبروزیل با غلظت $۳۰/۰$ میکرومولار در محلول بافر فسفاتی $\text{pH}=۳/۰$ مولار با $۳۰/۰$ میکرومولار جم فیبروزیل. زمان انباشت: ۷۰ ثانیه، ارتفاع پالس ۵۰ میلی ولت و فرکانس ۵۰ هرتز.

۶-۵-۶ بهینه سازی پتانسیل و زمان انباشت

برای تعیین تاثیر پتانسیل انباشت بر شدت جریان دماغه اکسایش جم فیبروزیل، پتانسیل در گستره $0/50 - 1/0$ ولت، مورد بررسی قرار گرفت. به این منظور، الکترود اصلاح شده در سل الکتروشیمیایی حاوی بافر فسفاتی $pH=3/0$ با غلظت $30/0$ میکرومولار از جم فیبروزیل قرار داده شد. سپس همزن روشن شد و پتانسیل انباشت در گستره ذکر شده به مدت ۷۰ ثانیه به محلول در حال هم خوردن اعمال شد. پس از اتمام زمان هم خوردن، همزن خاموش و پس از گذشت ۱۰ ثانیه زمان استراحت، ولتاوموگرام موج مربعی در گستره $0/90 + 1/50$ ولت ثبت شد. نتایج به دست آمده (شکل ۴۵-۲-الف) نشان داد که تغییر پتانسیل انباشت تاثیری به سزاوی بر شدت جریان دماغه اکسایش ایجاد نکرد، این امر می‌تواند به دلیل خنثی بودن جم فیبروزیل و تجمع مولکولی آن تحت شرایط انباشت در بافر فسفاتی $pH=3/0$ باشد ($pK_a = 4/7$). از اینرو، انباشت در شرایط مدار باز انجام شد.

در ادامه تاثیر زمان انباشت در گستره $0 - 90$ ثانیه مورد بررسی قرار گرفت و نتایج به دست آمده (شکل ۴۵-۲-ب)، نشان داد که با افزایش زمان انباشت تا 50 ثانیه شدت جریان دماغه آندی افزایش یافته و بعد از آن ثابت باقی ماند



شکل (۴۵-۲): تاثیر (الف) پتانسیل و (ب) زمان انباشت بر روی شدت جریان دماغه جم فیبروزیل با غلظت $30/0$ میکرومولار در محلول بافر فسفاتی $pH=3/0$ مولار با روش ولتاومتری موج مربعی جذب سطحی در سطح Au/MWCNT/GCE. ارتفاع پالس 50 میلی ولت و فرکانس 50 هرتز.

این پدیده نشان می‌دهد که سطح الکترود به حالت اشباع در آمده است. بنابراین در مطالعات

بعدی مدت زمان ۵۰ ثانیه در حالت پتانسیل مدار باز برای اندازه‌گیری جم فیبروزیل در سطح الکترود کرین شیشه‌ای اصلاح شده مورد استفاده قرار گرفت.

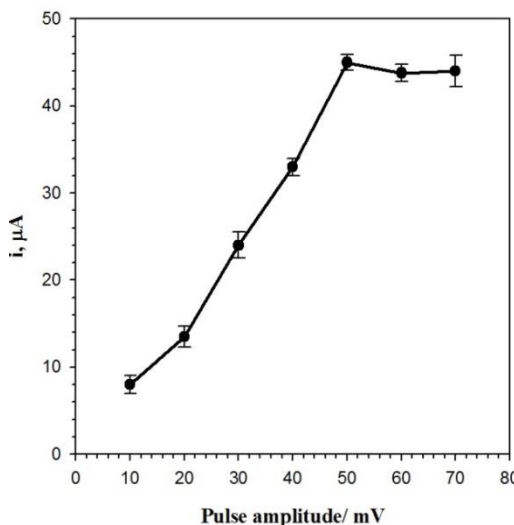
۶-۶-۲ بهینه سازی پارامترهای دستگاهی

از جمله پارامترهای دستگاهی مهم و تاثیرگذار در سیگنانل تجزیه‌ای به هنگام به-کارگیری ولتاوتمتری موج مربعی، ارتفاع پالس و فرکانس است. بنابراین در این بخش از مطالعه تحقیقاتی به بهینه سازی این پارامترها پرداخته شد. روش کار طبق بخش ۶-۵-۱ صورت گرفت. با این تفاوت که در این بخش از مطالعه ارتفاع پالس و فرکانس برای رسیدن به مقدار بهینه و دریافت حداکثر پاسخ ولتاوتمتری مربوط به اکسایش جم فیبروزیل تغییر داده شدند.

۶-۶-۳ بهینه سازی ارتفاع پالس در بررسی اکسایش جم فیبروزیل با تکنیک ولتاوتمتری موج مربعی

به منظور بررسی ارتفاع پالس بر شدت جریان، ارتفاع پالس در گستره ۱۰ تا ۷۰ میلی ولت مورد بررسی قرار گرفت. روش انجام کار برای بررسی این دو پارامتر به این صورت انجام شد که پس از افروzen حجم $4/0$ میلی لیتر از بافر فسفاتی $3/0$ pH و $1/0$ میلی لیتر جم فیبروزیل با غلظت $3/0$ میلی مولار به سل الکتروشیمیایی، حجم محلول با آب دو بار تقطیر به $10/0$ میلی لیتر رسانده شد. پس از قرار دادن الکترودها داخل سل الکتروشیمیایی، محلول در شرایط پتانسیل مدار باز به مدت ۵۰ ثانیه به کمک همزن، هم زده شد و پس از ۱۰ ثانیه زمان استراحت ولتاوگرام موج مربعی در گستره $90/0$ تا $50/1$ ولت، رسم شد. فرکانس مورد استفاده حین این مرحله از آزمایش 50 هرتز بوده است. هر اندازه‌گیری سه بار تکرار شد و سیگنانل میانگین به عنوان سیگنانل تجزیه‌ای مورد استفاده قرار گرفت. همانگونه که در بخش (۶-۴-۲) اشاره شد تغییر ارتفاع پالس تاثیر چشمگیری بر شدت جریان دارد. در واقع ارتفاع سیگنانل تجزیه‌ای وابسته به ارتفاع پالس است. بطوریکه کاهش ارتفاع پالس منجر به کاهش

جريان دماغه می‌شود. از طرف دیگر افزایش بیش از حد ارتفاع پالس نه تنها منجر به افزایش چندان سیگنال تجزیه‌ای نمی‌شود بلکه منجر به پهن شدن دماغه و کاهش حساسیت نیز می‌شود [۶۸]. نتایج حاصل از این مطالعه در شکل (۴۶-۲) ارائه شده است.



شکل (۴۶-۲): نمودار حاصل از بررسی ارتفاع پالس در روش ولتاوتمتری موج مربعی جذب سطحی برای اندازه گیری ۳۰/۰ میکرومولار جم فیبروزیل در محلول بافر فسفاتی ۰/۰۲۷ مولار با pH=۳/۰ در سطح Au/MWCNT/GCE زمان انباشت: ۵۰ ثانیه و فرکانس ۵۰ هرتز. همانطور که در شکل دیده می‌شود، با افزایش ارتفاع پالس تا ۵۰ میلی ولت، شدت جريان افزایش می‌یابد و پس از آن تقریباً ثابت باقی می‌ماند. از اینرو در مطالعات بعدی ارتفاع پالس ۵۰ میلی ولت به عنوان مقدار بهینه در نظر گرفته شد.

۲-۶-۶-۲ بهینه سازی فرکانس اعمالی در بررسی اکسایش جم فیبروزیل با تکنیک ولتاوتمتری موج مربعی

از سوی دیگر، دیگر پارامتر بسیار تاثیر گذار در ولتاوتمتری موج مربعی، فرکانس موج مربع بر حسب هرتز است. شدت جريان اندازه‌گیری شده برای هر پالس در ولتاوتمتری موج مربعی بر اساس معادله (۲۸-۲) قابل محاسبه است [۱۷۲].

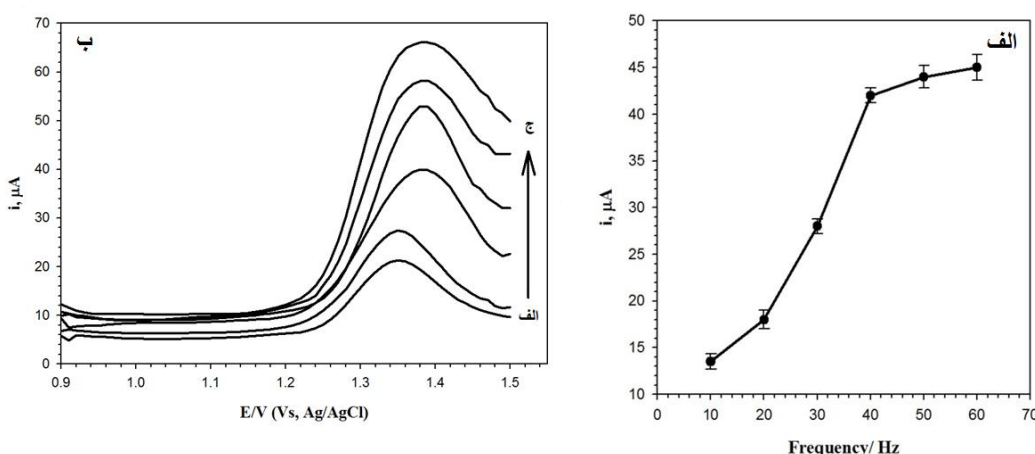
$$I = \frac{nFACD^{1/2}}{\Pi^{1/2}\tau^{1/2}} \Psi \quad (28-2)$$

كه τ دامنه پالس بر حسب ثانیه و Ψ تابع جريان بدون بعد است که به ارتفاع پله و

ارتفاع پالس موج مربعی وابسته است.

همان‌طور که در رابطه (۲-۲۸) مشاهده می‌شود جریان با $\tau^{1/2}$ ارتباط دارد و از آنجاییکه $f = \tau^{-1}$ ، بنابراین جریان با $f^{1/2}$ رابطه مستقیم دارد. بنابراین، افزایش فرکانس موج مربعی موجب افزایش شدت جریان و بالا رفتن حساسیت می‌شود [۱۷۲].

در این مطالعه، فرکانس موج مربع در گستره ۱۰ تا ۶۰ هرتز مورد بررسی قرار گرفت. همانطور که در شکل (۲-۴۷-الف) مشاهده می‌شود، با افزایش فرکانس موج مربع تا ۴۰ هرتز، شدت جریان اکسایش جم فیبروزیل افزایش می‌یابد اما در فرکانس‌های بالاتر از ۴۰ هرتز میزان افزایش جریان چشم‌گیر نیست. دلیل این امر می‌تواند به افزایش سیگنال زمینه در فرکانس‌های بالاتر نسبت داده شود که این امر منجر به کاهش حساسیت در فرکانس‌های بالاتر می‌گردد. علاوه بر این، در فرکانس‌های بالاتر از ۴۰ هرتز، دماغه اکسایش جم فیبروزیل پهن می‌شود (شکل ۲-۴۷-ب) و در نتیجه گرینش پذیری کاهش می‌یابد. بنابراین، در این مطالعه تحقیقاتی برای رسیدن به حداقل جریان بدون از بین رفتن حساسیت روش، فرکانس ۴۰ هرتز به عنوان فرکانس بهینه برای انجام مطالعات مورد استفاده قرار گرفت.



شکل (۲-۴۷): (الف) نمودار حاصل از بررسی فرکانس موج مربع در روش ولتاوگرامی موج مربعی جذب سطحی (ب) ولتاوگرام‌های موج مربعی برای اندازه گیری ۳۰/۰ میکرومولار جم فیبروزیل در محلول بافر فسفاتی ۰/۰۲۷ مولار با pH=۳/۰ در سطح Au/MWCNT/GCE. زمان انباشت: ۵۰ ثانیه و ارتفاع پالس ۵۰ میلی ولت.

جدول (۳۹-۲) نتایج به دست آمده از بهینه سازی پارامترهای موثر بر اکسایش جم فیبروزیل را در سطح Au/MWCNT/GCE با روش بهینه سازی تک متغیره نشان می دهد.

جدول (۳۹-۲) نتایج به دست آمده از بهینه سازی پارامترهای موثر بر سیگنال تجزیه ای اکسایش جم فیبروزیل ۳۰٪ میکرو مولار در سطح Au/MWCNT/GCE

پارامتر	نوع یا مقدار بهینه
pH محیط	۳/۰
نوع بافر	فسفاتی
حجم بافر (mL)	۴/۰
MWCNT (mg/mL) غلظت	۰/۰۸۰
[HAuCl ₄] (μg/mL)	۱۰۰/۰
تعداد چرخه	۱۲
t _{acc} (s)	۵۰
ارتفاع پالس (mV)	۵۰
فرکانس (Hz)	۴۰

۷-۶-۲ بررسی الکتروشیمیایی اکسایش جم فیبروزیل در سطح Au/MWCNT/GC
پس از بهینه سازی پارامترهای موثر بر اندازه گیری جم فیبروزیل، تاثیر تغییر pH محیط و تغییر سرعت روبش بر اکسایش الکتروشیمیایی این ترکیب در سطح الکترود مورد بررسی قرار گرفت.

۷-۶-۳ بررسی تاثیر تغییر pH محیط بر اکسایش جم فیبروزیل
بررسی اکسایش جم فیبروزیل در pH های مختلف به روش ولتاوتمتری موج مربعی جذب سطحی صورت گرفت. شکل (۴۸-۲-الف) ولتاوگرام های حاصله را در محلول بافر فسفاتی در pH های مختلف ۲/۰-۶/۰ نشان می دهد.

نمودار تغییرات پتانسیل دماغه اکسایش جم فیبروزیل بر حسب تغییرات pH محیط، در شکل (۴۸-۲-ب) آمده است. همان طور که در شکل دیده می شود پتانسیل دماغه اکسایش جم فیبروزیل با تغییر pH محیط به طور خطی تغییر می کند.

معادله (۲۹-۲) بیانگر رابطه بین پتانسیل دماغه اکسایش جم فیبروزیل با تغییرات pH می باشد:

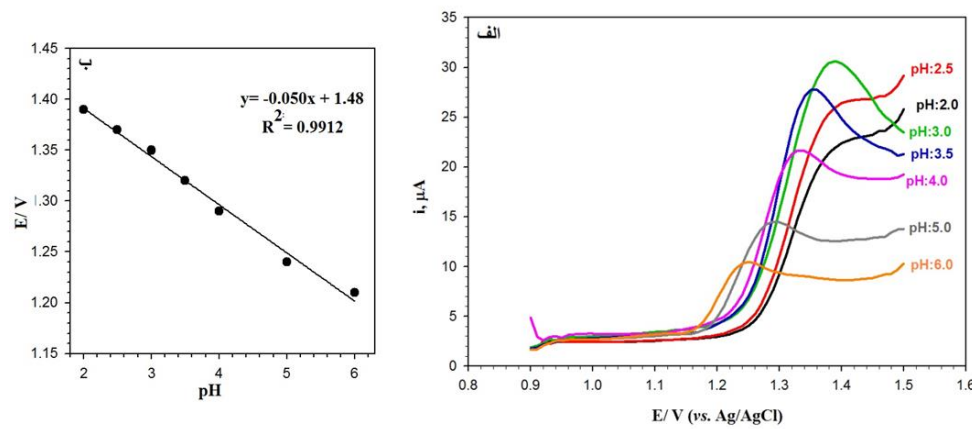
$$E(V) = 1/48 - 0/05 \cdot pH \quad R^2 = 0.9912 \quad n=7 \quad (29-2)$$

همچنین در شکل (۲-۴۸-الف) مشاهده می‌شود که پتانسیل دماغه اکسایش جم

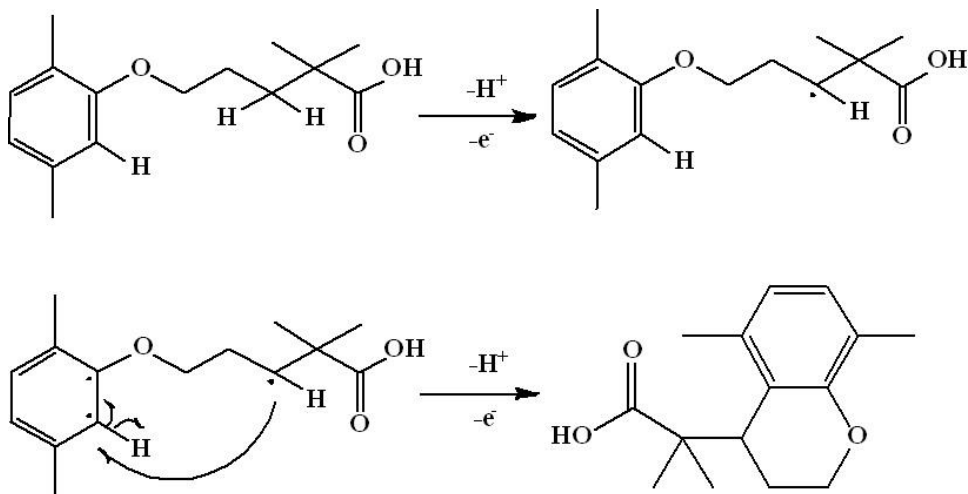
فیبروزیل در سطح Au/MWCNT/GCE با افزایش pH، به سمت پتانسیل‌های کمتر جابجا شده است. این امر بیان می‌کند که پروتون در فرآیند اکسایش جم فیبروزیل نقش ایفا می‌کند. شب خط به دست آمده، نشان دهنده‌ی برابری تعداد الکترون مبادله شده با تعداد پروتون دخیل در فرآیند اکسایش الکتروشیمیایی جم فیبروزیل در سطح این الکترود اصلاح شده می‌باشد. با توجه به نتایج به دست آمده مکانیسم پیشنهادی مطابق طرح (۵-۲) برای واکنش اکسایش جم فیبروزیل ارائه شده است.

طبق مکانیسم پیشنهادی، با اعمال پتانسیل، پیوند کربن-هیدروژن شکسته می‌شود

[۱۷۳، ۱۷۴]. به این ترتیب یک الکترون و یک پروتون از کربن سوم زنجیره جانبی جم فیبروزیل جدا می‌شود. در ادامه واکنش، رادیکال ایجاد شده با حمله به هیدروژن حلقه بنزن با خروج یک پروتون و یک الکترون از حلقه، بنزوپیران را تشکیل می‌دهد. تشکیل حلقه بنزوپیران در اثر اکسایش جم فیبروزیل توسط مطالعات دیگری نیز ارائه شده است [۱۷۵، [۱۶۶].



شکل (۲-۴۸-الف): (الف) ولتاومگرام موج مربعی برهنه سازی جذب سطحی محلول ۳۰٪ میکرومولار جم فیبروزیل در سطح Au/MWCNT/GCE در محلول بافر فسفاتی با pH های مختلف از ۲/۰ تا ۶/۰. زمان انباشت: ۷۰ ثانیه، ارتفاع پالس ۵۰ میلیولت و فرکانس ۵۰ هرتز. (ب) تغییرات پتانسیل دماغه اکسایش جم فیبروزیل را بر حسب pH نشان می‌دهد.



طرح (۵-۲): فرآیند الکتروشیمیایی پیشنهادی برای اکسایش جم فیبروزیل.

۲-۷-۶-۲ بررسی تاثیر تغییر سرعت روبش بر اکسایش جم فیبروزیل به کمک ولتامتری چرخه‌ای

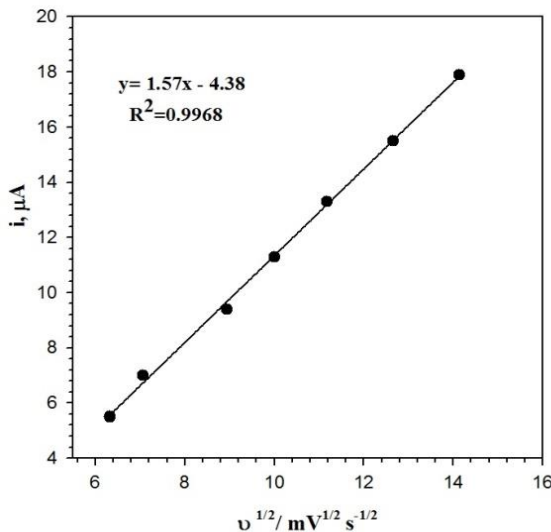
به منظور درک این مسئله که اکسایش جم فیبروزیل در سطح Au/MWCNT/GCE

تحت کنترل نفوذ اتفاق می‌افتد یا واکنش‌های کنترل شده با سطح، ولتاوگرام‌های چرخه‌ای در حضور ۳۰٪ میکرومولار جم فیبروزیل در سرعت‌های روبش مختلف در گستره ۴۰ تا ۲۰۰ میلی ولت بر ثانیه ثبت شد. شکل (۴۹-۲) نشان می‌دهد که تغییرات شدت جریان الکترواکسایش جم فیبروزیل در سطح الکترود اصلاح شده بر حسب جذر سرعت روبش پتانسیل خطی است. بر این اساس می‌توان نتیجه گرفت، فرآیند اکسایش جم فیبروزیل در سطح الکترود Au/MWCNT/GC تحت کنترل انتشار است.

معادله (۳۰-۲) رابطه خطی بین جریان دماغه آندی مربوط به اکسایش با جذر سرعت

روبش پتانسیل را نشان می‌دهد:

$$I_p(\mu\text{A}) = 1/57 v^{1/2} \left(\text{mV}^{1/2} \text{s}^{-1/2} \right) - 4/38 (\mu\text{A}) \quad R^2 = 0.9968 \quad (30-2)$$



شکل (۴۹-۲): نمودار تغییرات شدت جریان دماغه اکسایش ۳۰٪ میکرومولار جم فیبروزیل در محلول بافر فسفاتی ۰.۲۷ مولار با $pH = ۳/۰$ ، بر حسب جذر سرعت روش پتانسیل در محدوده ۴۰ تا ۲۰۰ میلی ولت بر ثانیه به کمک روش ولتاوگرام چرخه‌ای در سطح الکترود Au/MWCNT/GC

از سوی دیگر، برای درک بهتر رفتار الکتروشیمیایی جم فیبروزیل در سطح الکترود اصلاح شده، به بررسی اثر تغییر سرعت روش بر پتانسیل دماغه اکسایش جم فیبروزیل پرداخته شد. شکل (۵۰-۲-الف) ولتاوگرام‌های بهدست آمده ناشی از تغییر سرعت روش در گستره ۴۰ تا ۲۰۰ میلی ولت بر ثانیه را نشان می‌دهد.

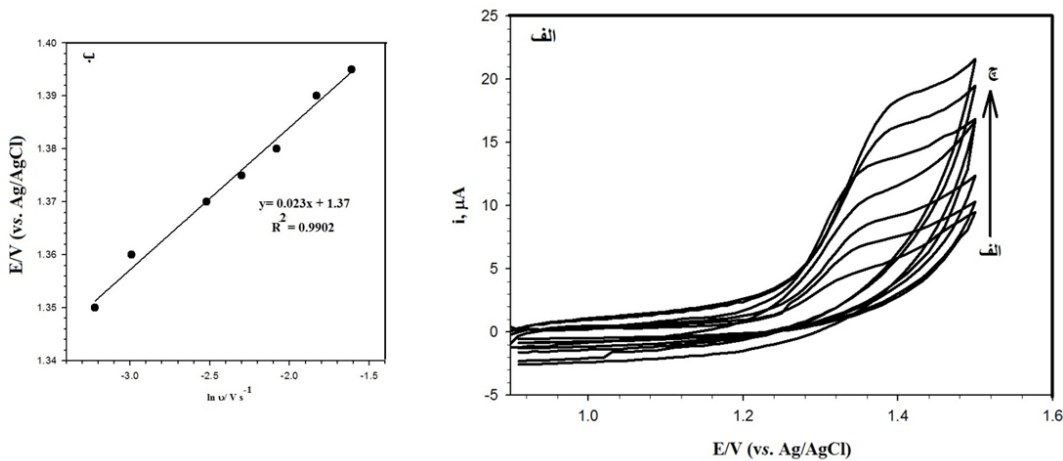
داده‌های بهدست آمده از ولتاوگرام‌های چرخه‌ای در شکل (۵۰-۲-ب) نشان می‌دهد که نمودار تغییرات پتانسیل دماغه آندی نسبت به لگاریتم طبیعی سرعت روش پتانسیل خطی بوده و در نتیجه امکان تعیین ضریب انتقال (α) و ثابت سرعت انتقال بار ناهمگن (k_0) با استفاده از تئوری لاویرون (معادله ۶-۲) فراهم می‌باشد [۶۸]. محاسبات در این بخش با استفاده از معادلات ارائه شده در بخش (۷-۴-۲) انجام شد. در اینجا اشاره کوتاهی به این معادلات می‌شود.

معادلات (۳۱-۲) و (۳۲-۲)، با استخراج شیب و عرض از مبدأ تغییرات E بر حسب v بر مبنای معادله (۶-۲) بهدست می‌آیند:

$$\text{شیب} = \frac{RT}{2(1-\alpha)nF} = S \quad (31-2)$$

$$E'_0 + \frac{1}{56S} + S \ln \frac{1}{2S} + 2S \ln \frac{D^{1/2}}{k_0} = \text{عرض از مبدا} \quad (32-2)$$

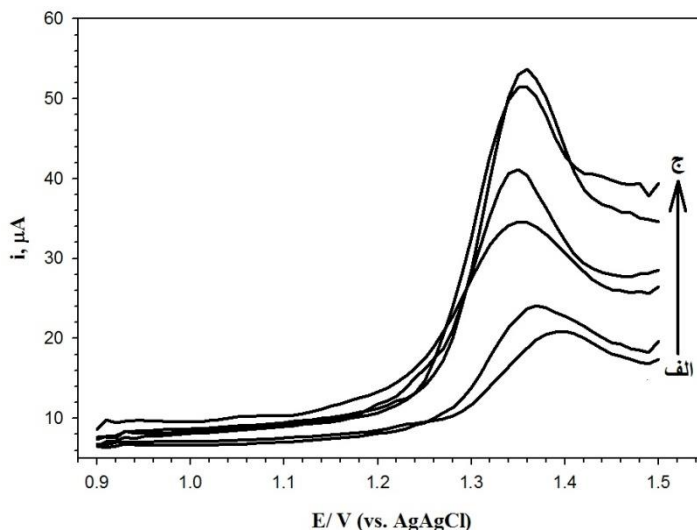
با توجه به شیب نمودار در شکل (۳۰-۲) و قرار دادن آن در معادله مربوط به شیب نمودار لاویرون (معادله ۳۱-۲)، مقدار ضریب انتقال الکترون در سطح الکترود Au/MWCNT/GC برابر $0.72 \times 10^{-5} \text{ cm}^2 \text{s}^{-1}$ محاسبه شد ($n=2$). همچنین با استفاده از عرض از مبدا نمودار (شکل ۳۰-۲) و با دانستن مقدار $D = 9.47 \times 10^{-5} \text{ cm}^2 \text{s}^{-1}$ و $E'_0 = 1/34 \text{ V}$ مقدار ثابت سرعت انتقال بار ناهمگن (k_0) در سطح این الکترود اصلاح شده برابر با $0.051 \text{ cm}^{-1} \text{s}^{-1}$ محاسبه گردید. لازم به توضیح است که برای یافتن مقدار E'_0 باید نمودار پتانسیل دماغه اکسایش بر حسب سرعت روبش رسم شود که با رسم این نمودار خطی به معادله $(V) = 0.277(Vs^{-1}) + 1/34$ به دست می‌آید. عرض از مبدا این نمودار مقدار E'_0 را در اختیار قرار می‌دهد. ضریب نفوذ (D) نیز از مطالعات کرونوكولومتری (بخش ۹-۶-۲) محاسبه شده است.



شکل (۳۰-۲): (الف) ولتاژگرام‌های چرخه‌ای در سطح Au/MWCNT/GCE در محلول بافر فسفاتی $pH=3.0$ دارای $30.0 \text{ میکرومولار جم} \text{ فیبروزیل}$ در سرعت روبش‌های مختلف: (الف تا چ) مربوط به سرعت‌های روبش $40, 50, 80, 100, 125, 160, 200 \text{ و } 250 \text{ میلی ولت برثانیه می‌باشند. (ب) نمودار تغییرات پتانسیل دماغه اکسایش جم فیبروزیل بر حسب لگاریتم طبیعی سرعت روبش پتانسیل.$

۸-۶-۲ مطالعات جذب سطحی

به منظور بررسی تاثیر جذب سطحی بر شدت جریان و پتانسیل اکسایش جم فیبروزیل در سطح ولتاموگرامهای موج مربعی در محلول بافر فسفاتی pH=۳/۰ حاوی جم فیبروزیل ۳۰/۰ میکرومولار در زمانهای انباشت ۰/۰ تا ۷۵/۰ ثانیه ثبت شد (شکل ۵۱-۲). به این منظور، الکترود Au/MWCNT/GC در محلول بافر فسفاتی حاوی جم فیبروزیل با غلظت ۳۰/۰ میکرومولار قرار داده شد. سپس همزن مغناطیسی روشن شد و محلول بدون اعمال پتانسیل در زمانهای مورد نظر هم زده شد. پس از پایان زمان انباشت، همزن خاموش و پس از ۱۰ ثانیه زمان استراحت، ولتاموگرام موج مربعی در محدوده ۹۰/۰ تا ۱۵۰/۰ ولت ثبت شد (ارتفاع پالس ۵۰ mV، فرکانس موج مربع ۴۰ Hz). مقایسه پتانسیل اکسایش جم فیبروزیل بدون انباشت (شکل ۵۱-۲ ولتاموگرام الف) و پس از انباشت (شکل ۵۱-۲-ج ولتاموگرام ب تا ج)، نشان می‌دهد که پتانسیل اندکی به سمت مقادیر منفی جابجا شده است. دلیل این جابجایی می‌تواند جذب سطحی جم فیبروزیل روی سطح الکترود کربن شیشه اصلاح شده باشد.



شکل (۵۱-۲): ولتاموگرامهای موج مربعی در سطح Au/MWCNT/GCE، در محلول بافر فسفاتی pH=۳/۰ مولار با ۳۰/۰ میکرومولار جم فیبروزیل ۳۰/۰ و ۵۰/۰ ثانیه بدون اعمال پتانسیل انباشت، ارتفاع پالس ۵۰ میلی ولت، فرکانس ۵۰ هرتز.

۹-۶ مطالعات کرونوکولومتری

با استفاده از روش کرونوکولومتری می‌توان ضریب انتشار (D) و همچنین مقدار مازاد

سطحی گونه الکتروفعال (Γ^0) مورد نظر را از طریق معادله آنسون (معادله ۷-۱) محاسبه کرد.

برای انجام کرونوکولومتری تک پله‌ای، باید پتانسیلی مثبت تر از پتانسیل اکسایش آنالیت به

هنگام به کارگیری ولتاوی چرخه‌ای (برای اطمینان از کامل بودن فرآیند اکسایش) به الکترود

کار موجود در محلول حاوی گونه هدف اعمال کرد. به این منظور الکترودهای MWCNT/GC

و GC در محلول بافر فسفاتی با غلظت‌های مختلف جم فیبروزیل قرار داده

شد. پس از روشن کردن همزن مغناطیسی، محلول بدون اعمال پتانسیل برای مدت زمان ۵۰

ثانیه همزده شد. پس از پایان زمان انباشت، همزن خاموش و پس از ۱۰ ثانیه زمان استراحت،

کرونوکولوگرام تک پله‌ای، با اعمال پتانسیل ۱/۴۵ ولت نسبت به الکترود مرجع نقره/نقره کلرید

به مدت ۲۰ ثانیه در غلظت‌های مختلف جم فیبروزیل در محدوده ۱۰/۰ تا ۶۰/۰ میکرومولار

ثبت شد (شکل ۵۲-۲-الف) و شکل‌های (۱۳-الف و ۱۴-الف پیوست).

کرونوکولوگرام‌های به دست آمده نشان می‌دهند که با افزایش غلظت جم فیبروزیل،

میزان بار عبوری نیز افزایش می‌یابد. با استفاده از نمودارهای کرونوکولومتری و معادله آنسون

(معادله ۷-۱) ضریب انتشار جم فیبروزیل در محلول آزمایشی تعیین شد. شکل (۵۲-۲-ب)،

تغییرات Q بر حسب $t^{1/2}$ را برای غلظت‌های متفاوت از جم فیبروزیل نشان می‌دهد و در شکل

(۵۲-۲-ج)، تغییرات شیب این خطوط ($Q - t^{1/2}$) بر حسب غلظت جم فیبروزیل رسم شده

است. از روی شیب نمودار حاصل، مقدار $9/47 \times 10^{-5}$ سانتی‌مترمربع بر ثانیه برای ضریب انتشار

جم فیبروزیل در سطح MWCNT/GCE محاسبه شد (با فرض $n=2$ طبق طرح ۵-۲) و با

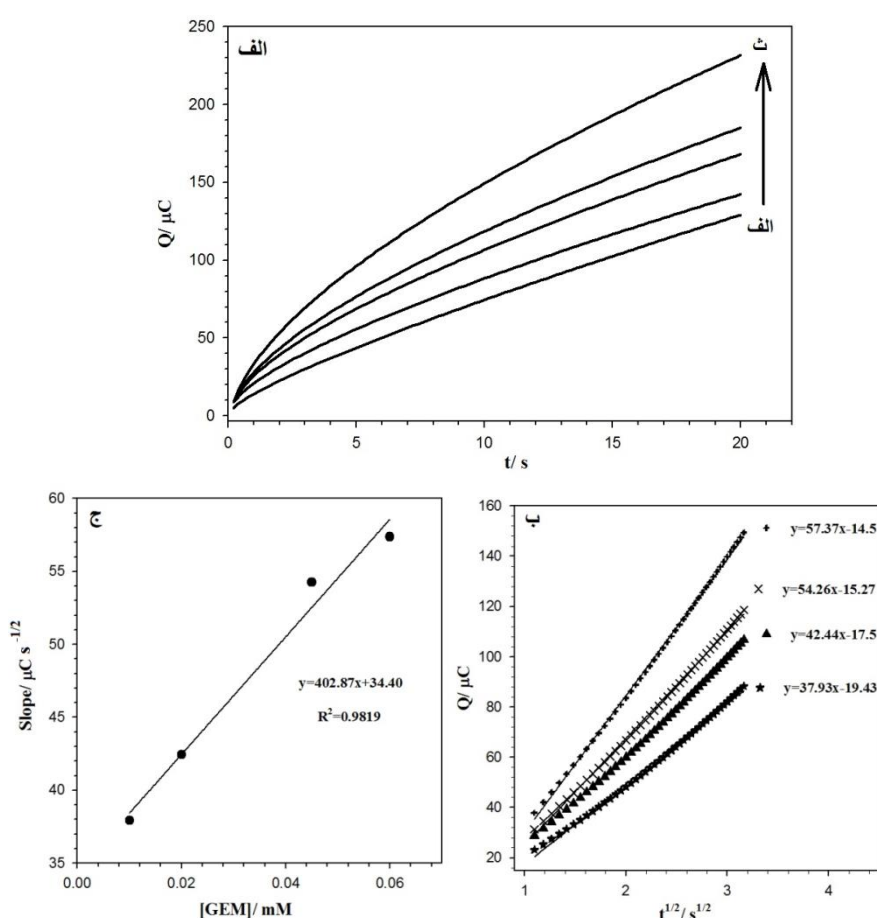
در نظر گرفتن مساحت سطح ۰/۱۹۰ سانتی‌متر مربع محاسبه شده در بخش ۲-۶-۲). علاوه

بر این، آزمایش کرونوکولومتری طبق شرایط مشابه در سطح الکترود MWCNT/GC انجام شد

و بر اساس نتایج به دست آمده ضریب انتشار جم فیبروزیل در سطح MWCNT/GCE و

به ترتیب برابر با $10^{-5} \times 64/2$ و $10^{-5} \times 34/2$ سانتی مترمربع بر ثانیه محاسبه شد. اختلاف بین مقدار ضرایب انتشار در سطح الکترودهای اصلاح شده و اصلاح نشده نشان می‌دهد که در حضور نانوذرات طلا و نانولوله‌های کربنی، انتشار جم فیبروزیل از توده محلول به سطح الکترود با راحتی بیشتری صورت می‌پذیرد.

به منظور محاسبه مقدار مازاد سطحی گونه الکتروفعال (Γ^0)، می‌توان از عرض از مبدا منحنی Q بر حسب $t^{1/2}$ استفاده نمود. نتایج به دست آمده در (جدول ۲) ارائه شده است.



شکل (۲-۲): (الف) کرونوکولوگرام‌های Au/MWCNT/GCE در محلول بافر فسفاتی با $\text{pH}=3.0$ حاوی غلظت‌های متفاوت جم فیبروزیل (الف) غیاب ، (ب) $10/0$ ، (پ) $20/0$ ، (ت) $45/0$ و (ث) $60/0$ میکرو مولار. پله پتانسیل آندی در $1/45$ ولت نسبت به الکترود شاهد می‌باشد. زمان انباشت: ۵۰ ثانیه و زمان استراحت: ۱۰ ثانیه. (ب) نمودار تغییرات $t^{1/2} - Q$ به دست آمده از کرونوکولوگرام‌های (ب-ث) بعد از کم کردن نقطه به نقطه از زمینه است. (ج) نمودار شبیه خطوط $t^{1/2} - Q$ بر حسب غلظت جم فیبروزیل.

جدول (۴-۲) مقادیر Γ^0 محاسبه شده برای Au/MWCNT/GCE، MWCNT/GCE و GCE اصلاح نشده در محلول باfer فسفاتی pH=۳/۰ مولار با H^{+} حاوی غلظت‌های مختلف جم فیبروزیل

غلظت جم فیبروزیل $\mu\text{mol L}^{-1}$	$\Gamma^0 (\text{mol.cm}^{-2})$		
	Au/MWCNT/GCE	MWCNT/GCE	GCE
۱۰/۰	$1/۳۰ \times 10^{-9}$	$2/۶۰ \times 10^{-10}$	$8/۹۲ \times 10^{-11}$
۲۰/۰	$1/۸۳ \times 10^{-9}$	$4/۵۷ \times 10^{-10}$	$1/۸۵ \times 10^{-10}$
۴۵/۰	$2/۴۳ \times 10^{-9}$	$6/۰۷ \times 10^{-10}$	$4/۳۶ \times 10^{-10}$
۶۰/۰	$2/۶۵ \times 10^{-9}$	$6/۹۷ \times 10^{-10}$	$5/۷۹ \times 10^{-10}$

نتایج بدست آمده نشان می‌دهد که جذب سطحی جم فیبروزیل در سطح الکترود اصلاح شده با نانو ذرات طلا و نانو لوله‌های کربنی حدود چهار برابر بیشتر از سطح الکترود اصلاح شده با نانو لوله‌های کربنی است. در حالیکه میزان جذب سطحی در سطح الکترود اصلاح شده با نانو لوله‌های کربنی نسبت به الکترود کربن شیشه اصلاح نشده بطور میانگین دو برابر افزایش یافته است. این نتایج نشان می‌دهد که نانو ذرات طلا نقش موثری در جذب سطحی جم فیبروزیل بر سطح الکترود ایفا می‌کند.

۱۰-۶-۲ بررسی پارامترهای تجزیه‌ای حسگر در اندازه‌گیری جم فیبروزیل
 رسم منحنی کالیبراسیون و تعیین ناحیه خطی جم فیبروزیل توسط الکترود اصلاح شده به دو روش ولتاوری موج مربعی و امپدیمتری انجام شد. روش کار کلی در هر دو روش به این صورت انجام شد که مقدار مشخصی از محلول استاندارد جم فیبروزیل در ناحیه غلظتی ۰/۱۵۰ میکرو مولار به سل الکتروشیمیایی منتقل شد و pH محیط با افزودن ۴/۰ میلی‌لیتر باfer فسفاتی pH=۳ تنظیم شد. سپس حجم محلول موجود در سل به کمک آب دو بار تقطیر به ۱۰/۰ میلی‌لیتر رسانده شد. پس از آن، الکترودها در سل قرار داده شدند. همزن مغناطیسی روشن شد و محلول با اعمال پتانسیل مدار باز به Au/MWCNT/GCE به مدت ۵۰ ثانیه همزده شد. پس از پایان زمان انباشت، همزن خاموش شد و اندازه‌گیری به هر یک از روش‌های

اشاره شده طبق توضیحاتی که در ادامه به آن پرداخته می‌شود انجام شد.

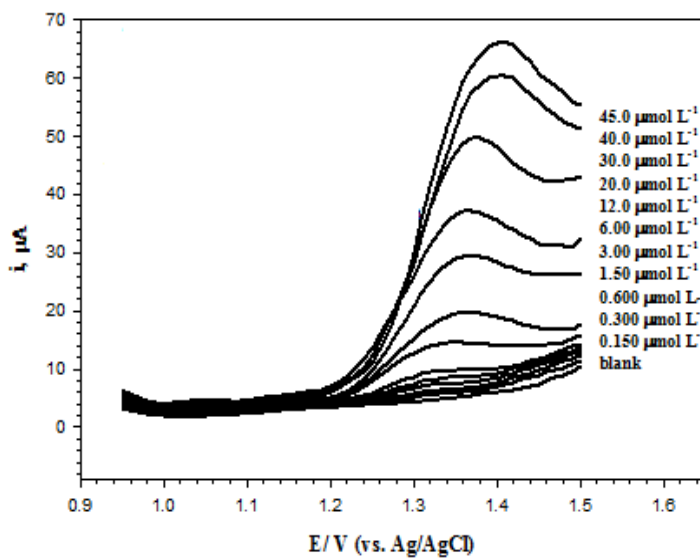
۱-۱۰-۶-۲ منحنی کالیبراسیون و تعیین ناحیه خطی روش به روش ولتامتری موج مربعی پس از انجام مراحل ذکر شده در بخش ۶-۲ و پس از اعمال ۱۰ ثانیه زمان

استراحت، ولتموگرامهای موج مربعی در محدوده $1/50^+ \text{ تا } 1/90^+$ ولت (ارتفاع پالس: ۵۰ میلی ولت، فرکانس ۴۰ هرتز) ثبت شد. مقدار شدت جریان دماغه اکسایش جم فیبروزیل در پتانسیل $1/34$ ولت اندازه‌گیری شد. محلول شاهد، در غیاب جم فیبروزیل، برای ثبت سیگنال شاهد مورد استفاده قرار گرفت. هر اندازه‌گیری سه بار تکرار شد و اختلاف بین جریان دماغه آنالیت و جریان شاهد به عنوان سیگنال تجزیه‌ای در رسم منحنی کالیبراسیون ولتامتری موج مربعی جذب سطحی مورد استفاده قرار گرفت. به منظور پاکسازی سطح الکترود و از بین بردن اثر حافظه جم فیبروزیل با قیمانده روی سطح الکترود اصلاح شده بعد از هر اندازه‌گیری، پنج روش چرخه‌ای متوالی در محدوده $1/50^+ \text{ تا } 1/90^+$ در محلول شاهد انجام شد. همان‌طور که در شکل (۵۳-۲) مشاهده می‌شود، با افزایش غلظت جم فیبروزیل شدت جریان دماغه اکسایش آن در محدوده $15/0 \text{ تا } 45/0$ میکرو مولار به طور خطی افزایش می‌یابد. نتایج حاصل در جدول (۲-۴۱) و شکل (۵۴-۲) ارائه شده است.

معادله منحنی کالیبراسیون به صورت معادله (۳۳-۲) قابل توصیف است:

$$I_P (\mu\text{A}) = 1/40 C_{GEM} (\mu\text{mol L}^{-1}) + 0/10 (\mu\text{A}) \quad R^2 = 0/9971 \quad (33-2)$$

حد تشخیص به دست آمده برای جم فیبروزیل با به کار گیری روش ولتامتری موج مربعی به کمک رابطه (۱۲-۲) محاسبه شد. در این مطالعه، برای محاسبه انحراف استاندارد سیگنال شاهد، هفت اندازه‌گیری در محلول بافر فسفاتی $\text{pH}=3/0$ ، صورت گرفت که انحراف استاندارد این اندازه‌گیری‌ها $46 \mu\text{A}/0$ به دست آمد.



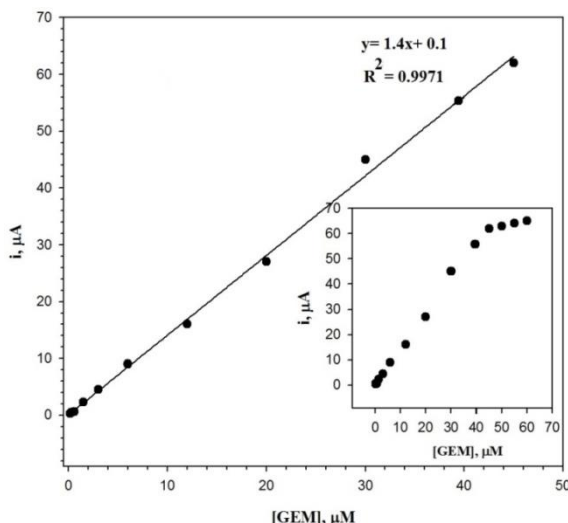
شکل (۵۳-۲): ولتاوموگرام‌های موج مربعی جذب سطحی در سطح Au/MWCNT/GCE در محلول بافر فسفاتی $\text{pH}=۳.۰$ مولار با ۰.۰۲۷ میکرومولار زمان انباشت: ۵۰ ثانیه، زمان استراحت: ۱۰ ثانیه، ارتفاع پالس ۵۰ میلی ولت و فرکانس ۴۰ هرتز.

با استفاده از شیب منحنی کالیبراسیون ($m=1/۴۰ \frac{\mu\text{A}}{\mu\text{mol L}^{-1}}$) و بر مبنای سه برابر انحراف استاندارد سیگنال شاهد در سطح الکترود اصلاح شده، حد تشخیص اندازه‌گیری جم فیبروزیل با کمک تکنیک ولتاومتری موج مربعی برابر ۰.۰۴۵ میکرومولار محاسبه شد.

جدول (۴۱-۲) اطلاعات مربوط به منحنی‌های کالیبراسیون در ناحیه خطی ۰.۰۲۷ میکرومولار جم فیبروزیل در محلول بافر فسفاتی $\text{pH}=۳.۰$ مولار با ۰.۰۲۷ میکرومولار جم فیبروزیل جم فیبروزیل با روش ولتاومتری موج مربعی

غلهٔ جم فیبروزیل $\pm \text{SD}$ (μA)	غلهٔ جم فیبروزیل $\pm \text{SD}$ (μmol L⁻¹)	غلهٔ جم فیبروزیل $\pm \text{SD}$ (μA)	غلهٔ جم فیبروزیل $\pm \text{SD}$ (μmol L⁻¹)
۲۷.۰ ± ۰.۳۰	$۲۰/۰$	۰.۳۰ ± ۰.۰۵	۰.۱۵
۴۵.۰ ± ۰.۵۰	$۳۰/۰$	۰.۵۵ ± ۰.۰۵	۰.۳۰
۶۲.۰ ± ۰.۵۵	$۴۵/۰$	۰.۶۰ ± ۰.۰۹	۰.۶۰
۶۳.۰ ± ۰.۵۰	$۵۰/۰$	۰.۷۰ ± ۰.۰۹	$۱/۵۰$
۶۴.۰ ± ۰.۶۰	$۵۵/۰$	۰.۷۰ ± ۰.۱۳	$۳/۰۰$
۶۵.۰ ± ۰.۶۵	$۶۰/۰$	۰.۷۰ ± ۰.۱۷	$۶/۰۰$
-	-	۱۶.۰ ± ۰.۲۴	$۱۲/۰$

*میانگین سه اندازه‌گیری



شکل (۵۴-۲): نمودار تغییرات شدت جریان اکسایش بر حسب غلظت جم فیبروزیل در محدوده‌ی ۰/۱۵ تا ۰/۰۰ میکرومولار در بافر فسفاتی ۰/۰۲۷ مولار با $pH = ۳/۰$ به کمک ولتاوتمتری موج مربعی جذب سطحی در سطح Au/MWCNT/GCE. زمان انباشت: ۵۰ ثانیه و زمان استراحت: ۱۰ ثانیه، ارتفاع پالس ۵۰ میلی ولت و فرکانس ۴۰ هرتز.

۲-۱۰-۶-۲ رسم منحنی کالیبراسیون و تعیین ناحیه خطی جم فیبروزیل به روش امپدیمتری پس از انجام مراحل ذکر شده در بخش ۱۰-۶-۲ و پس از اعمال ۱۰ ثانیه زمان استراحت، برای اطمینان از مفید بودن الکترود اصلاح شده به عنوان حسگر امپدیمتری در اندازه‌گیری کمی جم فیبروزیل، رسم منحنی کالیبراسیون توسط روش EIS انجام پذیرفت. آزمایش‌های EIS با اعمال پتانسیل جبران کننده مستقیم^۱ ۱/۳۴ ولت و در محدوده فرکانس ۱/۰ تا ۱۰۰۰۰۰ هرتز انجام شد. به منظور محاسبه مقاومت انتقال بار، داده‌های امپدانس در مدار الکتریکی معادل طراحی شده توسط نرم افزار دستگاه ایویوم برازش شدند. هنگام به کارگیری طیف‌بینی امپدانس الکتروشیمیایی برای رسم منحنی کالیبراسیون اختلاف بین معکوس مقاومت انتقال بار محلول حاوی جم فیبروزیل و محلول شاهد به عنوان سیگنال تجزیه‌ای در نظر گرفته شد

$$\frac{1}{R_{ct(n)}} - \frac{1}{R_{ct(sh)}} = \text{سیگنال تجزیه‌ای}.$$

همانطور که در بخش (۱-۶-۳) اشاره شد، رابطه خطی بین معکوس مقاومت انتقال بار و غلظت گونه‌های موجود در محلول وجود دارد (معادله‌های ۸-۱ و ۹-۱).

^۱DC Offset potential (E_{dc})

شکل (۲-۵۵-الف) نمودار نایکوئیست جم فیبروزیل را در غلظت‌های مختلف در محدوده

۰/۰ تا ۴۵/۰ میکرو مولار در سطح الکترود Au/MWCNT/GC نشان می‌دهد. همان‌طور که

مشاهده می‌شود، مقاومت در برابر انتقال بار با افزایش غلظت جم فیبروزیل کاهش می‌یابد که

این امر می‌تواند به دلیل حضور مقادیر بیشتر گونه الکتروفعال در محلول آزمایشی باشد. مدار

معادل برای طیف‌های امپدانس مشاهده شده، در شکل (۲-۵۵-ب) نشان داده شده است. از

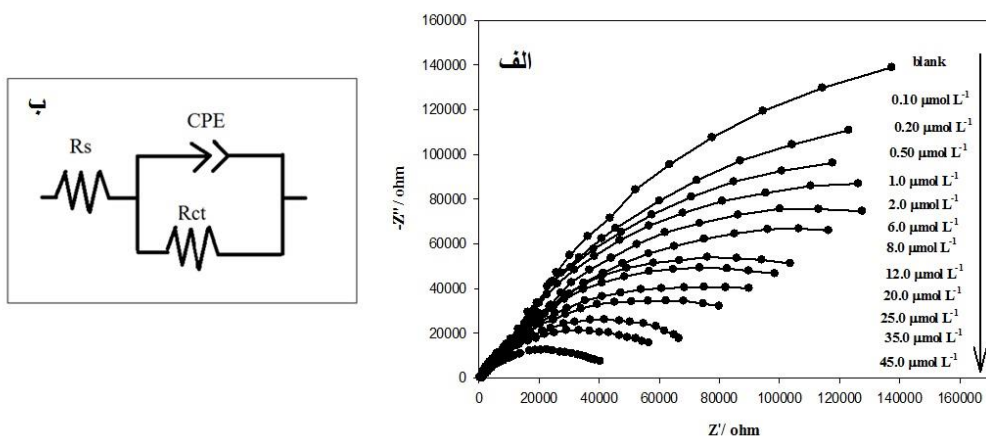
آنچاییکه سیستم‌های حقیقی از رفتار ایده‌آل انحراف دارند، عنصر فاز ثابت^۱ جایگزین جریان

خازنی لایه دوگانه می‌شود [۷۸]. بنابراین مدار معادل شامل R_s , R_{ct} و CPE می‌شود. که

نماینگر مقاومت محلول و R_{ct} نشان دهنده مقاومت انتقال بار بین جم فیبروزیل و سطح الکترود

اصلاح شده می‌باشد. نتایج به دست آمده (شکل ۲-۵۶) نشان می‌دهد که منحنی کالیبراسیون

در گستره ۰/۰ تا ۴۵/۰ میکرو مولار خطی است (جدول ۲-۴۲).

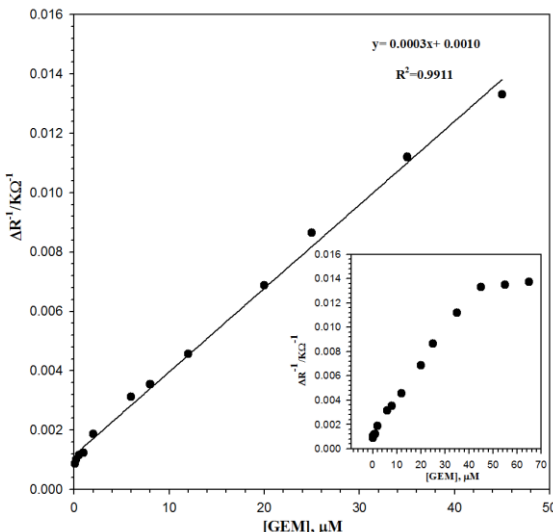


شکل (۲-۵۵): (الف) نمودار نایکوئیست در سطح الکترود Au/MWCNT/GC در غیاب و حضور غلظت‌های فرازینده جم فیبروزیل از ۰/۰ تا ۴۵/۰ میکرو مولار در محلول بافر فسفاتی با $E_{dc} = ۱/۳۴$ ولت و $pH = ۳/۰$. فرکانس ۱۰۰۰۰۰ تا ۱/۰ هرتز. زمان انباشت ۵۰ ثانیه و زمان استراحت ۱۰ ثانیه. (ب) نمایش طرح نموداری مدار معادل شده.

معادله منحنی کالیبراسیون به کمک معادله (۲-۳۴) قابل توصیف است:

$$\Delta R^{-1} (K\Omega)^{-1} = ۰/۰۰۰۳ C_{GEM} (\mu\text{mol L}^{-1}) + ۰/۰۰۱۰ (K\Omega)^{-1} \quad R^2 = ۰/۹۹۱۷ \quad (۲-۳۴)$$

^۱ Constant phase element (CPE)



شکل (۲-۵۶): نمودار تغییرات معکوس مقاومت در برابر انتقال بار بر حسب غلظت جم فیبروزیل در محدوده $0\text{--}45/\mu\text{M}$ میکرومولار در بافر فسفاتی $\text{pH}=3/0$ مولار با روشنامه Au/MWCNT/GC.

جدول (۲-۴۲) اطلاعات مربوط به منحنی‌های کالیبراسیون در ناحیه خطی $0\text{--}45/\mu\text{M}$ میکرومولار جم فیبروزیل در محلول بافر فسفاتی با $\text{pH}=3/0$ با استفاده از روش طیف بینی امپدانس الکتروشیمیایی در سطح Au/MWCNT/GCE

سیگنال تجزیه‌ای (معکوس) ($\text{K}\Omega^{-1}$)	غلظت جم فیبروزیل ($\mu\text{mol L}^{-1}$)	سیگنال تجزیه‌ای (معکوس) ($\text{K}\Omega^{-1}$)	غلظت جم فیبروزیل ($\mu\text{mol L}^{-1}$)
$4/5673 \times 10^{-3}$	۱۲/۰	$8/7800 \times 10^{-4}$	۰/۱۰۰
$6/8750 \times 10^{-3}$	۲۰/۰	$1/0079 \times 10^{-3}$	۰/۲۰۰
$8/6397 \times 10^{-3}$	۲۵/۰	$1/1500 \times 10^{-3}$	۰/۵۰۰
$1/1200 \times 10^{-3}$	۳۵/۰	$1/2228 \times 10^{-3}$	۱/۰۰
$1/3300 \times 10^{-3}$	۴۵/۰	$1/8750 \times 10^{-3}$	۲/۰۰
$1/3500 \times 10^{-3}$	۵۵/۰	$3/1250 \times 10^{-3}$	۶/۰۰
$1/3700 \times 10^{-3}$	۶۵/۰	$3/5417 \times 10^{-3}$	۸/۰۰

*میانگین سه اندازه‌گیری

حد تشخیص به دست آمده برای جم فیبروزیل با به کار گیری روش امپدیمتری و با کمک رابطه (۲-۱۲) محاسبه شد. در این مطالعه، برای محاسبه انحراف استاندارد سیگنال شاهد، هفت اندازه‌گیری در محلول بافر فسفاتی $\text{pH}=3/0$ صورت گرفت. با استفاده از شب منحنی

کالیبراسیون ($\frac{\text{K}\Omega^{-1}}{\mu\text{mol L}^{-1}}$) و بر مبنای سه برابر انحراف استاندارد سیگنال شاهد در

سطح الکترود اصلاح شده، حد تشخیص اندازه‌گیری جم فیبروزیل با کمک تکنیک امپدیمتری ۷۴۰ نانو مولار محاسبه شد.

۲-۱۰-۳ بررسی تکرارپذیری و تکثیرپذیری
 بهمنظور اطمینان از تکرارپذیری و تکثیرپذیری الکترودهای ساخته شده، اکسایش الکتروشیمیایی جم فیبروزیل در سطح Au/MWCNT/GCE، توسط سه الکترود مختلف (ساخته شده در سه روز متفاوت) با استفاده از تکنیک‌های ولتامتری موج مربعی و امپدیمتری مورد مطالعه قرار گرفت. با هر یک از الکترودهای ساخته شده ۶ اندازه‌گیری تکراری انجام شد. نتایج بهدست آمده در جدول‌های (۴۳-۲ و ۴۴-۲) گزارش شده‌است. نتایج بهدست آمده، به صورت آماری با کمک روش تحلیل واریانس در سطح اطمینان ۹۵٪ مورد بررسی قرار گرفت (جدول‌های ۴۵-۲ و ۴۶-۲). براین اساس مقدار F محاسبه شده با استفاده از تکنیک ولتامتری موج مربعی ($F_{cal} = ۰/۰۷$) و تکنیک امپدیمتری ($F_{tab} = ۴/۷۶$) برای آزمون دو طرفه بهدست آمد. این نتایج نشانگر دقیقیت الکترودهای ساخته شده در روزهای مختلف است.

جدول (۴۳-۲) نتایج تکرارپذیری الکترودهای Au/MWCNT/GC مختلف برای اندازه‌گیری ۱۲/۰ میکرومولار جم فیبروزیل در بافر فسفاتی pH=۳/۰ توسط تکنیک ولتامتری موج مربعی

μA	الکترود اول-روز اول
۱۶/۷۵±۰/۸۸	الکترود دوم-روز دوم
۱۷/۶۳±۰/۷۵	الکترود سوم-روز سوم
۱۷/۵۸±۰/۴۹	

* میانگین شش اندازه‌گیری ** انحراف استاندارد شش اندازه‌گیری تکراری

جدول (۴۴-۲) نتایج تکرارپذیری الکترودهای Au/MWCNT/GC مختلف برای اندازه‌گیری ۲۵/۰ میکرومولار جم فیبروزیل در بافر فسفاتی pH=۳/۰ توسط تکنیک امپدیمتری

$\text{M}\Omega^{-1}$	الکترود اول-روز اول
۸/۴۶±۰/۳۵	الکترود دوم-روز دوم
۸/۵۱±۰/۳۸	الکترود سوم-روز سوم
۸/۵۵±۰/۳۹	

* میانگین شش اندازه‌گیری ** انحراف استاندارد شش اندازه‌گیری تکراری

جدول (۴۵-۲) تحلیل واریانس داده‌های مربوط به اندازه‌گیری جم فیبروزیل توسط الکترودهای

Au/MWCNT/GC مختلف در روزهای مختلف توسط روش ولتامتری موج مربعی

منبع تغییرات	DF	SS _{Adj}	MS _{Adj}	F- value	F-table
بین گروه‌ها	۲	۳/۰۸۳	۱/۵۴۲	۲/۹۲	۴/۷۶
درون گروه	۱۵	۷/۹۱۷	۰/۵۲۸۰	-	-
کل	۱۷	۱۱/۰۰	-	-	-

جدول (۴۶-۲) تحلیل واریانس داده‌های مربوط به اندازه‌گیری جم فیبروزیل توسط الکترودهای

Au/MWCNT/GC مختلف در روزهای مختلف توسط روش امپدیمتری

منبع تغییرات	DF	SS _{Adj}	MS _{Adj}	F- value	F-table
بین گروه‌ها	۲	۰/۰۲۰۰	۰/۰۱۰۰	۰/۰۷	۴/۷۶
درون گروه	۱۵	۲/۱۲۳	۰/۱۴۲	-	-
کل	۱۷	۲/۱۴۳	-	-	-

۴-۱۰-۶-۲ بررسی دقیق و صحیح روش

بررسی دقیق و صحیح، از طریق اندازه‌گیری جم فیبروزیل توسط Au/MWCNT/GCE در غلظت‌های ۳/۰۰، ۱۵/۰۰ و ۳۵/۰۰ میکرو مولار و در محلول بافر فسفاتی با pH=۳/۰، با به کار گیری روش‌های ولتامتری موج مربعی و امپدیمتری انجام شد.

به این منظور پنج اندازه‌گیری تکراری از محلول‌های مورد نظر در شرایط کالیبراسیون انجام و ولتاوگرامها و نمودارهای نایکوئیست مربوطه ثبت شد. سپس غلظت مربوط به میانگین سیگنال‌های تجزیه‌ای با استفاده از معادلات منحنی‌های کالیبراسیون مربوطه محاسبه شد. نتایج به دست آمده در جدول‌های (۴۷-۲) و (۴۸-۲) گزارش شده‌است. بررسی آزمون t نشان می‌دهد که بین مقدار جم فیبروزیل اندازه‌گیری شده و مقدار واقعی جم فیبروزیل موجود در

محلول، اختلاف معناداری وجود نداشته و روش از صحت خوبی برخوردار است. صحت مناسب روش از درصد بازیابی و درصد خطای نسبی نیز قابل نتیجه‌گیری است. همچنین با دانستن مقادیر انحراف استاندارد و میانگین در هر غلظت اندازه‌گیری شده، می‌توان مقادیر RSD را محاسبه نمود و به دقت روش پی برد. مقادیر RSD محاسبه شده دقت خوب روش‌های به کار گرفته شده را تایید می‌کنند.

جدول (۴۷-۲) نتایج دقت و صحت روش برای اندازه‌گیری ولتاوتمتری موج مربعی محلول استاندارد جم فیبروزیل توسط Au/MWCNT/GCE در محلول بافر فسفاتی با pH=۳/۰

%RE***	مقدار محاسبه شده t*	مقدار محاسبه شده SD ± غلظت اندازه‌گیری شده*	GEM (μmol L⁻¹) (μmol L⁻¹)
۶/۶	۱۰۶/۷	۲/۳۵	۳/۲۰±۰/۱۹
-۰/۳۳	۹۹/۷	۰/۷۰	۱۴/۹۵±۰/۱۶
-۰/۲۸	۹۹/۷	۰/۳۹	۳۴/۹۰±۰/۵۷

* میانگین پنج اندازه‌گیری

** مقدار t بحرانی در سطح اطمینان ۹۵٪ برای پنج اندازه‌گیری، ۲/۷۷ می‌باشد

*** درصد خطای نسبی

جدول (۴۸-۲) نتایج دقت و صحت روش برای اندازه‌گیری محلول استاندارد جم فیبروزیل به کمک روش امپدیومتری توسط Au/MWCNT/GCE در محلول بافر فسفاتی با pH=۳/۰

%RE***	مقدار محاسبه شده t*	مقدار محاسبه شده SD ± غلظت اندازه‌گیری شده*	GEM (μmol L⁻¹) (μmol L⁻¹)
-۴/۳۳	۹۵/۷	۱/۹۴	۲/۸۷±۰/۱۵
-۱/۱۳	۹۸/۹	۱/۸۱	۱۴/۸۳±۰/۲۱
۱/۱۴	۱۰۱/۱	۱/۱۶	۳۵/۴۰±۰/۷۷

* میانگین پنج اندازه‌گیری

** مقدار t بحرانی در سطح اطمینان ۹۵٪ برای پنج اندازه‌گیری، ۲/۷۷ می‌باشد

*** درصد خطای نسبی

۴-۱۰-۶-۲ بررسی پایداری الکترود Au/MWCNT/GC

از روش ولتاوتمتری چرخه‌ای برای بررسی میزان پایداری الکترود کربن شیشه اصلاح شده

با نانوذرات طلا و نانولوله‌های کربنی استفاده گردید و اثر روبش‌های متوالی بر رفتار

الکتروشیمیایی آن مورد بررسی قرار گرفت. به این منظور، پس از تهیه الکترود اندازه‌گیری در

محلول بافر فسفاتی pH=۳/۰ حاوی جم فیبروزیل با غلظت ۳۰/۰ میکرومولار طبق روش ارائه شده در بخش ۲-۱-۱۰-۶ انجام شد. سپس الکترود در محلول شاهد قرار داده شد و با به کارگیری ولتامتری چرخه‌ای ۵۰ رو بش متواالی در گستره ۰/۹۰ تا ۱/۵۰ ولت با سرعت رو بش ۱۰۰ میلی ولت بر ثانیه انجام شد. پس از آن الکترود در محلول بافر فسفاتی pH=۳/۰ حاوی جم فیبروزیل با غلظت ۳۰/۰ میکرومولار قرار گرفت و اندازه‌گیری مطابق شرایط بهینه انجام شد. نتایج حاکی از آن است که شدت جریان دماغه اکسایش جم فیبروزیل کمتر از ۵ درصد کاهش نشان داد در حالیکه پتانسیل اکسایش ثابت باقی ماند که این نتایج حاکی از پایداری خوب حسگر تهیه شده می‌باشد. همچنین پس از نگهداری الکترود Au/MWCNT/GC به مدت یک هفته در محلول بافر pH=۳/۰، پاسخ الکترودی آن نسبت به اکسایش جم فیبروزیل به ۸۵ درصد الکترود تازه تهیه شده رسید.

۶-۱۰-۶-۲ بررسی اثر مزاحمت برخی از ترکیبات در اندازه‌گیری جم فیبروزیل در سطح الکترود اصلاح شده
در این بخش تاثیر حضور گونه‌های آزمایشی مختلف بر شدت جریان دماغه آندی جم فیبروزیل توسط تکنیک‌های ولتامتری و امپدیمتری مورد مطالعه و بررسی قرار گرفت. در این بخش، پنج اندازه‌گیری تکراری جم فیبروزیل با غلظت $\mu\text{g/mL}$ ۲/۰ (معادل ۸/۰ میکرومولاو) در سطح Au/MWCNT/GCE پس از طی زمان انباشت ۵۰ ثانیه و بدون اعمال پتانسیل، توسط هر یک از روش‌های ولتامتری و امپدیمتری انجام شد. میانگین (\bar{x}) و انحراف استاندارد (S) سیگنال‌های تجزیه‌ای (در غیاب گونه مزاحم) محاسبه شد. سپس مخلوط گونه مزاحم و جم فیبروزیل به سل الکتروشیمیایی افزوده شد و سیگنال مربوطه ثبت شد. در ادامه به توضیح هر یک از این روش‌ها پرداخته شده است.

بررسی اثر مزاحمت گونه‌ها در اندازه‌گیری ولتاومتری موج مربعی جم فیبروزیل در سطح الکترود
اصلاح شده

ولتاوموگرام موج مربعی در محدوده 0.90 ± 0.05 ولت ثبت شد (ارتفاع پالس mV)

۵. فرکانس ۴۰ هرتز). هر روش سه بار تکرار شد و میانگین جریان اکسایش جم فیبروزیل در حضور گونه مزاحم در پتانسیل 1.34 ولت به دست آمد. اگر شدت جریان سیگنال تجزیه‌ای در این حالت، در محدوده ($\bar{x} \pm 3S$) باشد به این معناست که ترکیب مورد نظر با نسبت موجود، مزاحم نیست؛ در غیر اینصورت نسبت گونه مزاحم به جم فیبروزیل کاهش می‌یافتد تا مزاحمت مشاهده نشود. همانگونه که در جدول (۲-۴۹) مشاهده می‌شود، حضور گونه‌هایی، نظیر: L-آلانین، گلوکز، لاکتوز، سیتریک اسید، تارتاریک اسید و ویتامین B_9 تاثیر قابل ملاحظه‌ای بر شدت جریان دماغه اکسایش جم فیبروزیل نداشتند، اما حضور گونه‌هایی، نظیر تیو اوره، ویتامین B_1 ، متیونین در اندازه‌گیری جم فیبروزیل مزاحمت ایجاد می‌کنند. خطای ایجاد شده توسط این گونه‌ها از نوع خطای منفی است و علت این امر می‌تواند به دلیل حضور گوگرد در این ترکیبات و تمایل شدید آن برای جذب در سطح طلا باشد که در نتیجه امکان دسترسی جم فیبروزیل به سطح الکترود اصلاح شده کم شده و سیگنال تجزیه‌ای کاهش یافته است [۱۷۶, ۱۷۷]. از طرف دیگر ترکیباتی نظیر آتروواستاتین و لوزارتان به دلیل اکسید شدن در پتانسیل‌هایی نزدیک به جم فیبروزیل، در صورت حضور در غلظت‌های بالاتر از مقدار ذکر شده می‌توانند منجر به افزایش شدت جریان اکسایش جم فیبروزیل شوند.

جدول (۴۹-۲) بررسی تاثیر حضور گونه‌های آزمایشی مختلف بر شدت جریان دماغه آندی جم فیبروزیل (L) در بافر فسفاتی $\text{pH}=۳/۰$ مولار با Au/MWCNT/GC توسط تکنیک ولتامتری
موج مربعی جذب سطحی

گونه‌های مورد بررسی*	حد مجاز غلظت گونه مزاحم به غلظت جم فیبروزیل*
آلانین، گلوکز، لاکتوز، سیتریک اسید، اوره K^+ , Ca^{2+} , Ni^{2+} , Ba^{2+} , Mg^{2+} , Cu^{2+} , Cr^{6+} , Zn^{2+} , NH_4^+ , HCO_3^- , BrO_3^- , Cl^- , تارتاریک اسید، Na^+ , NO_3^-	۵۰۰
ویتامین $\text{B}_{۱۲}$	۲۵۰
دوپامین، استامینوفن، اوریک اسید، ترامادول	۵۰
تیو اوره، ویتامین $\text{B}_۱$, متیونین، آتروواستاتین، لوزارتان	۲۵
تیو اوره، ویتامین $\text{B}_۱$, متیونین، آتروواستاتین، لوزارتان	۵

* حداقل نسبت اندازه‌گیری شده

بررسی اثر مزاحمت گونه‌ها در اندازه‌گیری امپدیمتری جم فیبروزیل در سطح الکترود اصلاح شده پس از انجام مراحل ذکر شده در بخش ۶-۲-۱۰-۶ و پس از اعمال ۱۰ ثانیه زمان استراحت،

بررسی تاثیر گونه‌های مزاحم در اندازه‌گیری کمی جم فیبروزیل، توسط روش EIS انجام پذیرفت. هر اندازه‌گیری سه بار تکرار شد و میانگین معکوس مقاومت انتقال بار محلول حاوی جم فیبروزیل به دست آمد. اگر سیگنال تجزیه‌ای در این حالت، در محدوده $(\bar{x} \pm ۳S)$ باشد به این معناست که ترکیب مورد نظر با نسبت موجود، مزاحم نیست؛ در غیر اینصورت نسبت گونه مزاحم به جم فیبروزیل کاهش می‌یافتد تا مزاحمت مشاهده نشود. همانگونه که در جدول (۲-۵) مشاهده می‌شود، حضور گونه‌هایی، نظیر: گلوکز، لاکتوز، اوره و سیتریک اسید تاثیر قابل ملاحظه‌ای بر اندازه‌گیری جم فیبروزیل نداشته‌اند. اما حضور گونه‌هایی، نظیر: آتروواستاتین، اوریک اسید و تیو اوره در اندازه‌گیری جم فیبروزیل مزاحمت ایجاد می‌کنند. در حضور این ترکیبات معکوس مقاومت انتقال بار افزایش یافته و در نتیجه خطای ایجاد شده توسط این گونه‌ها از نوع خطای مثبت است و علت این امر می‌تواند به دلیل افزایش غلظت گونه الکتروفعال در محیط باشد.

جدول (۲-۵) بررسی تاثیر حضور گونه‌های آزمایشی مختلف بر شدت جریان دماغه آندی جم فیبروزیل ($20 \mu\text{g/mL}$) در بافر فسفاتی $\text{pH}=3.0$ مولار با Au/MWCNT/GC توسط تکنیک امپدیمتری

گونه‌های مورد بررسی	حد مجاز غلظت گونه مزاحم به غلظت جم فیبروزیل
	Zn^{2+} اوره، گلوکر، لاکتوز
	$\text{Ba}^{2+}, \text{Mg}^{2+}, \text{Ni}^{2+}, \text{Ca}^{2+}, \text{Na}^+, \text{Cl}^-, \text{NO}_3^-$
	NH_4^+ سیتریک اسید
	B_1 استامینوفن، ویتامین
	دوپامین
	آترواستاتین، اوریک اسید
	تیو اوره

* حداقل نسبت اندازه‌گیری شده

** حداقل نسبت اندازه‌گیری شده

۷-۱۰-۶-۲ به کارگیری روش ولتاومتری موج مربعی و امپدیمتری برای اندازه‌گیری جم فیبروزیل در نمونه‌های حقیقی

به منظور ارزیابی کارایی الکترود تهیه شده برای اندازه‌گیری جم فیبروزیل در نمونه‌های

حقیقی، از نمونه کپسول جم فیبروزیل، آب شهر و سرم خون انسان مورد استفاده شد. کارایی

الکترود اصلاح شده توسط روش ولتاومتری موج مربعی و امپدیمتری برای اندازه‌گیری جم

فیبروزیل در نمونه‌های حقیقی مانند آب شهر، کپسول جم فیبروزیل و سرم خون انسان مورد

بررسی قرار گرفت. اندازه‌گیری این ترکیب در نمونه دارویی کپسول بدین ترتیب انجام شد که

ده کپسول جم فیبروزیل که هر یک حاوی $300/0$ میلی‌گرم جم فیبروزیل است، وزن و بهخوبی

با هم مخلوط شد. سپس مقدار یک ششم از پودر مخلوط شده در مقدار کافی متابول حل شد.

سپس محلول به دست آمده به بالن حجمی $1000/0$ میلی‌لیتر منتقل و با آب دو بار تقطیر به

حجم رسانده شد (کلیه رقیق سازی‌ها پس از این مرحله با استفاده از آب دو بار تقطیر انجام

شد). رقیق سازی بیشتر از طریق انتقال $10/0$ میلی‌لیتر از این محلول به بالن $100/0$

میلی‌لیتری انجام شد. در هر مرحله $1/0$ میلی‌لیتر از نمونه به سل الکتروشیمیایی (با حجم

$10/0$ میلی‌لیتر) منتقل شد. سپس، با افزودن حجم‌های مشخص و متفاوتی از نمونه استاندارد

جم فیبروزیل به محلول فوق، اندازه‌گیری به روش‌های ولتامتری و امپدیمتری صورت گرفت.

نمونه آب شهر و سرم نیز طبق روش توضیح داده شده در بخش ۲-۴-۶ تهیه شدند. روش

اندازه‌گیری نمونه‌ها مشابه روش به کار گرفته شده برای نمونه کپسول بوده است. هر کدام از

اندازه‌گیری‌ها سه بار تکرار شد و از منحنی کالیبراسیون مربوطه برای تعیین غلظت جم

فیبروزیل در نمونه‌های حقیقی مورد نظر استفاده شد. مقادیر t و درصد بازیابی‌ها نشانگر

صحت خوب روش ولتامتری موج مربعی و امپدیمتری برای اندازه‌گیری جم فیبروزیل می‌باشد.

نتایج به دست آمده در جدول‌های (۵۱-۲ و ۵۲-۲) گزارش شده است. با توجه به

داده‌های جدول مشاهده می‌گردد که مقادیر خوبی برای درصدهای بازیابی به دست آمده است

که نشان دهنده توافقی این الکترود اصلاح شده برای اندازه‌گیری این گونه آزمایشی در

نمونه‌های حقیقی می‌باشد. همان‌گونه که در جدول‌های (۵۱-۲ و ۵۲-۲) مشاهده می‌شود،

مقدار جم فیبروزیل در نمونه کپسول به روش ولتامتری موج مربعی جذب سطحی و امپدیمتری

در سطح Au/MWCNT/GCE توافق بسیار خوبی با مقدار مشخص شده در برچسب آن‌ها

توسط کارخانه سازنده دارد. نمودارهای نایکوئیست مربوط به نمونه‌های حقیقی در پیوست

(شکل‌های ۱۴-۱۷ پ) ارائه شده است.

جدول (۵۱-۲) نتایج حاصل از اندازه‌گیری ولتاویری موج مربعی جذب سطحی جم فیبروزیل در نمونه‌های آب شهر، سرم و کپسول (n=۳) در بافر فسفاتی pH=۳/۰ در سطح Au/MWCNT/GCE

نمونه	مقدار اضافه شده (µmol L ⁻¹)	SD اندازه‌گیری شده (µmol L ⁻¹)	مقدار محاسبه شده (t [*])	درصد بازیابی		
آب شهر	مشاهده نشد	----	----	----		
	۰/۶۰	۰/۸۵±۰/۰۴	۲/۱۶	۱۰۸/۳		
	۳/۰	۲/۸±۰/۱	۳/۴۶	۹۳/۳		
	۷/۰	۶/۶±۰/۳	۲/۳۱	۹۴/۲		
سرم	مشاهده نشد	----	----	----		
	۱۰/۰	۱۰/۲±۰/۶	۰/۵۸	۱۰۱/۷		
	۱۵/۰	۱۴/۲±۰/۹	۱/۵۴	۹۴/۷		
	۲۰/۰	۱۹/۷±۱/۰	۰/۵۲	۹۸/۷		
کپسول	----	۲۰/۳±۰/۵	----	----		
	۵/۰۰	۲۴/۷±۰/۴	۲/۶۰	۸۸/۰		
	۱۰/۰	۳۰/۹±۰/۴	۲/۶۰	۱۰۶/۰		
	۲۰/۰	۴۰/۵±۰/۸	۰/۴۳	۱۰۱/۰		
مقدار اندازه‌گیری شده (mg)		مقدار برچسب روی کپسول (mg)		مقدار برچسب روی کپسول (mg)		
۳۰۰/۰		۳۰۰/۰		۳۰۴/۵±۸/۰		
* با در نظر گرفتن مقدار ۴/۳۰ بحرانی در سطح اطمینان ۹۵٪ برای سه اندازه‌گیری						
** نمونه کپسول جم فیبروزیل از شرکت داروسازی تولید دارو، ایران (مقدار ماده موثر در هر کپسول ۳۰۰ میلی گرم)						

جدول (۵۲-۲) نتایج حاصل از اندازه‌گیری امپدیمتری جم فیبروزیل در نمونه‌های آب شهر، سرم و کپسول (n=۳) در بافر فسفاتی pH=۳/۰ مولار با ۰/۰۲۷ در سطح Au/MWCNT/GCE

نمونه	آب شهر	نمودار اضافه شده ($\mu\text{mol L}^{-1}$)	اندازه‌گیری شده ($\mu\text{mol L}^{-1}$)	SD ± مقدار مشاهده نشده	مقدار محاسبه شده t	درصد بازیابی
سرم				مشاهده نشده	----	----
کپسول**				مشاهده نشده	----	----
آب شهر				مشاهده نشده	----	----
۹۲/۰	۰/۵۰	۰/۴۶±۰/۰۲	۳/۴۶	۰/۴۶±۰/۰۲	۰/۴۶	۹۲/۰
۱۰۵/۰	۲/۰	۲/۱±۰/۲	۰/۸۷	۲/۱±۰/۲	۰/۸۷	۱۰۵/۰
۱۰۳/۳	۳/۰	۳/۱±۰/۲	۰/۸۷	۳/۱±۰/۲	۰/۸۷	۱۰۳/۳
سرم				مشاهده نشده	----	----
کپسول**				مشاهده نشده	----	----
آب شهر				مشاهده نشده	----	----
۱۰۰/۰	۴/۰	۴/۰±۰/۴	۰/۰	۴/۰±۰/۴	۰/۰	۱۰۰/۰
۱۰۲/۵	۸/۰	۸/۲±۰/۶	۰/۵۸	۸/۲±۰/۶	۰/۵۸	۱۰۲/۵
۹۸/۳	۱۲/۰	۱۱/۸±۰/۴	۰/۸۷	۱۱/۸±۰/۴	۰/۸۷	۹۸/۳
کپسول**				۲۰/۶±۰/۴	----	----
آب شهر				۲۰/۶±۰/۴	----	----
۸۶/۰	۵/۰۰	۲۴/۹±۰/۷	۱/۷۳	۲۴/۹±۰/۷	۱/۷۳	۸۶/۰
۹۰/۰	۱۰/۰	۲۹/۶±۰/۵	۳/۴۶	۲۹/۶±۰/۵	۳/۴۶	۹۰/۰
۹۵/۰	۲۰/۰	۳۹/۶±۰/۸	۲/۲۷	۳۹/۶±۰/۸	۲/۲۷	۹۵/۰
کپسول (mg)	۳۰۰/۰	۳۰۰/۰±۶/۰	مقدار برچسب روی کپسول	مقدار اندازه‌گیری شده (mg)	مقدار اندازه‌گیری شده (mg)	

* با در نظر گرفتن مقدار ۴/۳۰ t برای بحرانی در سطح اطمینان ۹۵٪ برای سه اندازه‌گیری

** نمونه کپسول جم فیبروزیل از شرکت داروسازی تولید دارو، ایران (مقدار ماده موثر در هر کپسول ۳۰۰ میلی گرم).

۱۱-۶-۲ نتیجه گیری

در این بخش، سطح الکترود کربن شیشه‌ای با استفاده از نانو لوله‌های کربنی چند دیواره و نانو ذرات طلا اصلاح شد. رفتار الکترو شیمیایی جم فیبروزیل روی سطح این الکترود اصلاح شده توسط ولتاومتری چرخه‌ای و موج مربعی بررسی شد. نتایج به دست آمده نشانگر افزایش چشمگیر شدت جریان دماغه اکسایش جم فیبروزیل در سطح الکترود اصلاح شده با MWCNT/Au، نسبت به الکترود اصلاح شده با MWCNT/GCE و الکترود اصلاح نشده می‌باشد.

پارامترهای سینتیکی نظیر ثابت سرعت انتقال بار ناهمگن و ضریب انتقال الکترون گونه مورد نظر تعیین شد. الکترود اصلاح شده از حساسیت، گزینش‌پذیری و تکرارپذیری بالایی برخوردار است. این مزایا به همراه راحتی تهیه الکترود و عدم نیاز به صیقل دادن سطح، امکان استفاده از این سیستم را به عنوان یک حسگر ولتاوی و امپدیومتری مناسب، فراهم می‌سازد. درنهایت، به کارگیری روش پیشنهادی برای اندازه‌گیری ولتاوی و امپدیومتری جم فیبروزیل در نمونه‌های حقیقی، کارایی حسگر پیشنهادی را برای اندازه‌گیری این ترکیب در نمونه‌های حقیقی تایید می‌کند.

تنها یک مطالعه الکتروشیمیایی برای اندازه‌گیری جم فیبروزیل گزارش شده است که نتیجه آن با روش پیشنهادی ولتاوی و امپدیومتری مقایسه گردید. با توجه به نتیجه حاصله که در جدول (۵۳-۲) آمده است، کارایی حسگر ولتاوی و امپدیومتری پیشنهادی در اندازه‌گیری جم فیبروزیل نسبت به حسگر ارائه شده توسط محققین دیگر نشان می‌دهد که حسگر پیشنهادی دارای حد تشخیص و دامنه خطی قابل مقایسه با روش ولتاوی است.

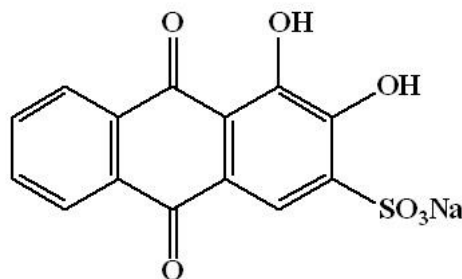
جدول (۵۳-۲) الکترودهای کربن شیشه اصلاح شده مختلف برای اندازه‌گیری جم فیبروزیل

روش اندازه‌گیری	نوع اصلاحگر	ناحیه خطی (مولار)	حد تشخیص (مولار)	مرجع
ولتاوی موج مربعی	نانو لوله‌های کربنی حاوی فیلم دی هگزادسیل هیدروژن سففات	$75/0 \times 10^{-9} - 1/0 \times 10^{-6}$	$53/0 \times 10^{-9}$	[۱۶۶]
ولتاوی موج مربعی	نانو ذرات طلا/نانو لوله‌های کربنی	$0/150 \times 10^{-6} - 45/0 \times 10^{-6}$	$1/0 \times 10^{-7}$	تحقيق حاضر
امپدیومتری		$0/10 \times 10^{-6} - 45/0 \times 10^{-6}$	$74/0 \times 10^{-9}$	

۷-۲ الکترود کربن شیشه اصلاح شده با نانو لوله کربنی چند دیواره و پلی آلیزارین قرمز S به عنوان حسگر ولتا متري جديد برای اندازه گيري جم فيبروزيل

پس از کشف نانو لوله های کربنی در سال ۱۹۹۱، اين ترکيبات در علم مواد و شيمي بسيار مورد توجه بوده اند. CNT ها به دليل خواص پيشرفته مکانيكي، الکтриكي و الکتروشيميايی در گستره وسيعی از کاربردها مفید می باشند. برای مثال اين ترکيبات می توانند با مس در هدایت الکтриكي رقابت کنند و به دليل دارا بودن سطح مقطع موثر بالا باعث افزايش سرعت انتقال الکترون در واکنش های الکتروشيميايی شوند [۱۷۸]. در زمينه الکتروشيميايی CNT ها يکی از مواد بسيار مورد توجه هستند که به دليل خواصی نظير مقاومت پايان، سطح مقطع بالا و پايداري شيميايی بطور گستردۀ در الکترودهای اصلاح شده شيميايی به کار گرفته می شوند [۱۷۸]. الکترودهای تهيه شده با کمک CNT و يا کامپوزيت با آنها، بطور گستردۀ برای مطالعه گونه های نظير جم فيبروزيل، دوپامين و غيره [۱۷۹, ۱۶۶, ۱۵۷, ۳۳, ۲] مورد استفاده قرار گرفته است. اگرچه به دليل جرم بسيار بالا اين نانو مواد، پخش شدن آنها در حللهای آبی بسيار سخت است و اين امر موجب کاهش چشمگيري استفاده از اين مواد می شود [۱۷۸]. تلاش های زيادي برای بهبود پخش شدگی CNT ها در محبيط های آبی صورت گرفته است [۱۷۸]. برای مثال در يکی از روش های موجود برای رفع اين مشكل، CNT ها در معرض محبيط های اسيدي مانند سولفور يك اسيد، نيتريک اسيد، هييدرو كلريک اسيد و يا مخلوط آنها قرار گرفته اند و در دماي اتاق رفلاكس شده اند [۱۸۰, ۱۸۱]. اصلاح شيميايی CNT ها به کمک مولکول های عامل دار نيز يکی از روش های موثر برای تغيير خواص شيميايی سطح نانو لوله های کربنی است که منجر به ايجاد خواص جديد در سطح آنها می شود. CNT های عامل دار شده را می توان از طریق تشکیل پیوندهای کوالانسی و یا غیر کوالانسی نظیر برهمنکنش های $\pi-\pi$ و واندروالس بین CNT ها و گروه های عاملی تهیه کرد. رنگدانه های بسياری می توانند به منظور

عامل دار کردن CNT ها از طریق برهمکنش‌های غیرکووالانس با نانولوله‌های کربنی برهمکنش داشته باشند و منجر به افزایش پخش شدن این ترکیبات در محیط‌های آبی شوند [۱۸۲]. کینون‌ها و مشتقات آن‌ها به دلیل اینکه می‌توانند به عنوان حد واسط در انتقال الکترون نقش ایفا کنند، بطور گستره‌های برای اصلاح سطح الکترود مورد استفاده قرار گرفته‌اند [۱۷۸]. یکی از این رنگدانه‌های پر مصرف آنتراکینونی، آلیزارین قرمز S (ARS) است. ساختار این یک رنگدانه محلول در آب در شکل (۵۷-۲) نشان داده شده است. این ترکیب دارای گروه‌های هیدروکسیل مجاور و بخش آنتراکینون است که به عنوان عامل کیلیت کننده در اندازه‌گیری فلزات به کار گرفته شده است [۱۸۴, ۱۸۳]. همچنین به علت حضور گروه آنتراکینون این ترکیب به عنوان حد واسط انتقال الکترون برای اندازه‌گیری تریپتوفان، پلی ساکاریدها و پروتئین‌ها استفاده شده است [۱۸۷-۱۸۵].



شکل (۵۷-۲) فرمول ساختاری آلیزارین قرمز S [۱۸۴].

در این بخش از مطالعه تحقیقاتی با توجه به توضیحات ارائه شده مبنی بر ساختار مولکولی ویژه ARS و توانایی آن برای برهمکنش با MWCNT از طریق پیوندهای غیر کووالانسی و حل کردن آن در محیط‌های آبی اقدام به اصلاح سطح الکترود کربن شیشه با پلیمریزاسیون الکتروشیمیایی ARS موجود در محلول MWCNT-ARS شد. الکترود اصلاح شده سپس برای اندازه‌گیری جم فیبروزیل مورد استفاده قرار گرفت.

۱-۷-۲ تهیه الکترود کربن شیشه اصلاح شده با نانو لوله کربنی چند دیواره / پلی

آلیزارین قرمز S

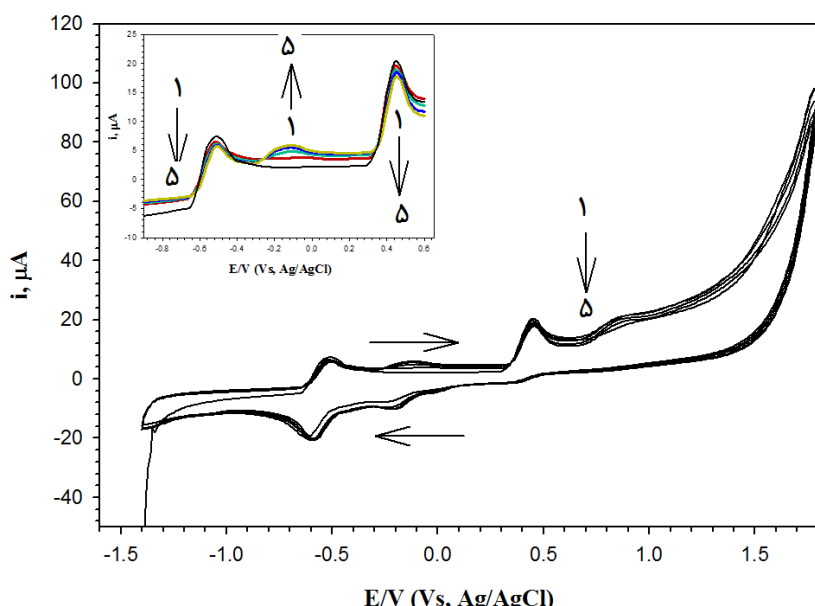
برای تهیه الکترود کربن شیشه‌ای اصلاح شده با نانو لوله‌های کربنی چند دیواره

بدين صورت عمل شد: ابتدا، سطح الکترود کربن شیشه‌ای به منظور دستیابی به یک سطح
صیقلی و براق، با استفاده از دوغابی از بودر آلومینا (با میانگین اندازه ذرات $0.05 \mu\text{m}$) در سطح
صفحه مخصوص صیقل دادن الکترود، به طور مکانیکی آماده شد. به منظور زدودن ناخالصی‌های
احتمالی موجود در سطح الکترود، الکترود به وسیله محلول رقیق نیتریک اسید با غلظت 10%
میلی مولار در حمام فراصوت به مدت ۵ دقیقه شستشو داده شد. سپس 6% میلی گرم از ARS
در 10% میلی لیتر بافر فسفاتی $\text{pH}=7/0$ حل شد. پس از آن 8% میلی گرم از MWCNT به
 محلول فوق افروده شد. به منظور تهیه محلول همگنی از MWCNT-ARS، این ترکیب برای
مدت ۱۵ دقیقه در حمام اولتراسونیک قرار گرفت. محلول به دست آمده به سل الکتروشیمیایی
 منتقل شد. به منظور تهیه الکترود کربن شیشه اصلاح شده با پلی آلیزارین قرمز S/نانو لوله‌های
کربنی چند دیواره (MWCNT-PARS)، الکترود کربن شیشه در سل حاوی محلول
MWCNT-ARS قرار گرفت و پلیمریزاسیون الکتروشیمیایی از طریق تکنیک ولتامتری
 چرخه‌ای با روش پتانسیل طی پنج چرخه متوالی در گستره $-1/40$ تا $+1/80$ ولت نسبت به
 الکترود مرجع نقره/نقره کلرید (پتاسیم کلرید $3/0$ مولار) با سرعت روش 100 میلی ولت بر
 ثانیه انجام شد. پس از الکتروپلیمریزاسیون، الکترود اصلاح شده با آب دو بار تقطیر شسته شد
 تا هر گونه ناخالصی از سطح آن پاک شود. سپس به منظور اطمینان از عدم حضور منومر و یا
 دیمرهای باقی مانده و پلیمریزه نشده در سطح الکترود کربن شیشه، الکترود MWCNT-
 PARS در محلول بافر فسفاتی $\text{pH}=7/0$ قرار داده شد و روش پتانسیل در محدوده تشکیل
 پلیمر به تعداد ۵ سیکل متوالی انجام شد.

۲-۷-۲ بررسی و مشخصه یابی الکترود اصلاح شده

۱-۲-۷-۲ پلیمریزاسیون الکتروشیمیایی ARS در سطح GCE

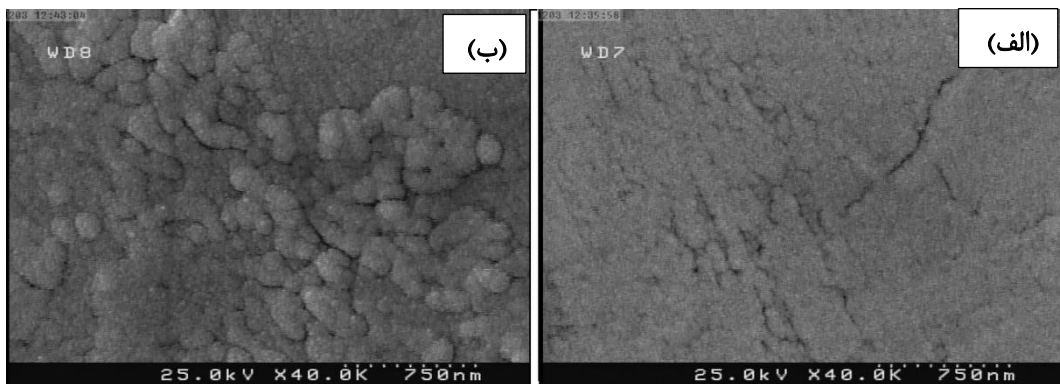
ولتاوگرامهای چرخه‌ای متوالی جهت تشکیل پلیمر از محلول حاوی $60\text{ }\mu\text{M}$ میلی گرم بر میلی لیتر ARS و $80\text{ }\mu\text{M}$ میلی گرم بر میلی لیتر MWCNT در شکل (۵۸-۲) نشان داده شد. همان‌طور که در شکل دیده می‌شود یک جفت دماغه اکسایش و کاهش در $E_{pa} = -0.50\text{ V}$ و $E_{pc} = -0.56\text{ V}$ به همراه یک دماغه اکسایش در پتانسیل 0.47 V در چرخه اول دیده می‌شود. دماغه ردوکس اول مربوط به واکنش اکسایش و کاهش آنتراکینون است در حالیکه پیک اکسایش در پتانسیلهای مثبت تر ($E_{pa} = 0.47\text{ V}$) می‌تواند مربوط به بخش کتکولی باشد [۱۸۵]. در چرخه‌های بعدی، یک دماغه اکسایشی در 0.05 V و دو دماغه کاهشی در پتانسیلهای -0.20 V و -0.02 V مشاهده می‌شود که بتدریج با افزایش چرخه‌های الکتروپلیمریزاسیون افزایش می‌یابند (شکل ۲-۵۵-ضمیمه). دلیل این امر می‌تواند تشکیل فیلم پلیمری در سطح الکترود باشد [۱۸۸].



شکل (۵۸-۲): الکتروپلیمریزاسیون MWCNT-ARS در سطح الکترود کربن شیشه در $100\text{ }\mu\text{l}$ میلی لیتر بافر فسفاتی $pH=7.0$ مolar حاوی $60\text{ }\mu\text{M}$ MWCNT و $80\text{ }\mu\text{M}$ ARS، سرعت روبش $100\text{ }\mu\text{V/s}$ میلی ولت بر ثانیه.

۲-۲-۷-۲ ریخت شناسی سطح الکترود

به منظور بررسی تغییرات ایجاد شده در سطح الکترود به هنگام به کار گیری پلی آلیزارین قرمز S و همچنین فیلم MWCNT-PARS از تصویر برداری میکروسکوپ الکترونی روبشی (SEM) استفاده شد. شکل (۵۹-۲-الف)، سطح الکترود کربن شیشه‌ای اصلاح شده با PARS را نشان می‌دهد (الکترودهای اصلاح شده به روش ذکر شده در بخش ۱-۷-۲ تهیه شدند). همان‌طور که مشاهده می‌شود، پس از پلیمریزاسیون سطح الکترود کربن به شکل یکنواختی در آمده است. از سوی دیگر با توجه به شکل (۵۹-۲-ب) می‌توان دریافت که بطور یکنواختی در فیلم MWCNT پخش شده است.

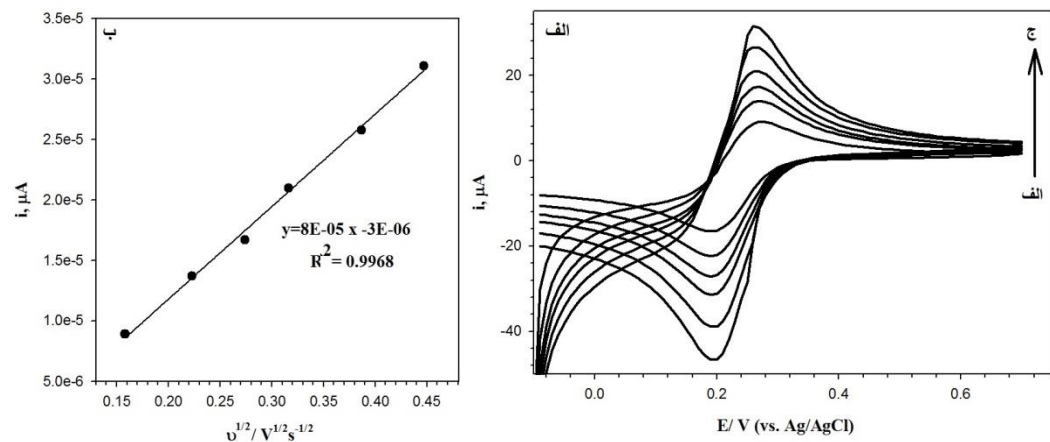


شکل (۵۹-۲): تصاویر میکروسکوپ الکترونی روبشی الکترود کربن شیشه‌ای اصلاح شده با (الف) PARS (ب) MWCNT-PARS

۲-۳-۲-۲ اندازه‌گیری مساحت سطح الکترودهای اصلاح شده

همانند فصول گذشته برای مطالعه و بررسی سطح الکتروفعال الکترودهای اصلاح شده، تکنیک ولتاومتری چرخه‌ای مورد استفاده قرار گرفت. به این منظور الکترود اصلاح شده در محلول $K_4Fe(CN)_6$ ۱/۰ M حاوی KCl ۰/۱ M قرار گرفت و روش پتانسیل در سرعت‌های مختلف در محدوده ۲۵ تا ۲۰۰ میلی ولت بر ثانیه انجام شد (شکل ۶۰-۲-الف). طبق معادله راندلس-سویک برای یک سیستم برگشت‌پذیر (معادله ۱-۱)، شدت جریان دماغه با جذر سرعت روش ارتباط خطی دارد. بنابراین، نمودار شدت جریان دماغه اکسایش آهن (II) بر حسب جذر

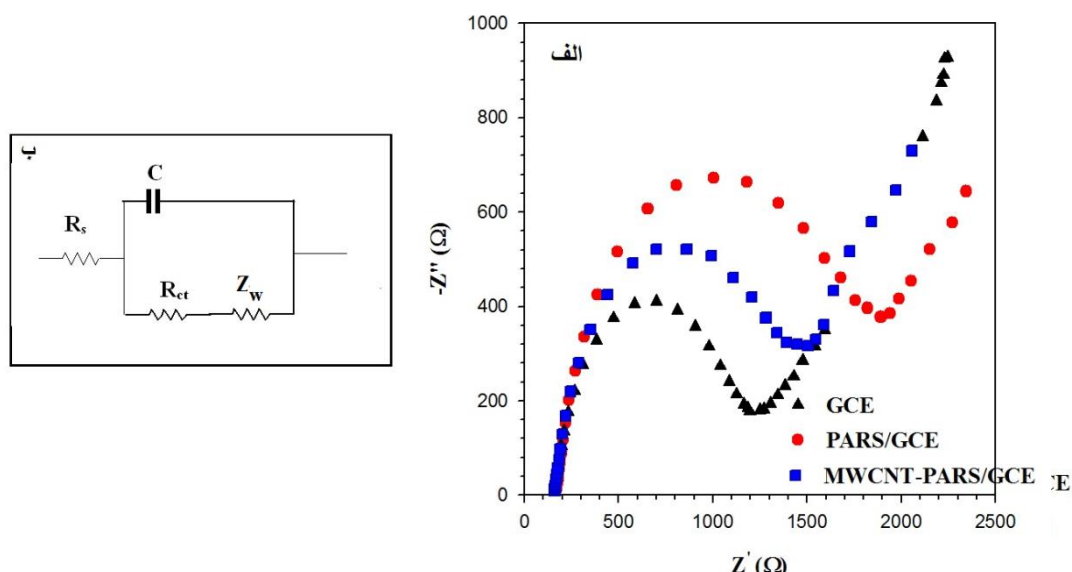
سرعت روش رسم شد (شکل ۲-۶۰-ب). خطی بودن این نمودار تایید کننده انتشاری بودن فرآیند انتقال الکترون در سطح MWCNT-PARS/GCE و PARS/GCE می‌باشد. محاسبات مطابق روش ارائه شده در بخش (۲-۴-۲) انجام شد. در انجام این محاسبات شیب نمودار جریان بر حسب جذر سرعت روش برای الکترود کربن شیشه اصلاح شده با PARS برابر با 5×10^{-7} و مقدار این شیب برای الکترود کربن شیشه اصلاح شده با MWCNT-PARS برابر با $10^{-8} \times 10$ به دست آمد. به این ترتیب سطوح الکتروفعال الکترودهای PARS/GC (شکل ۱۸ پ) و MWCNT-PARS/GC به ترتیب برابر با 0.054 و 0.117 سانتی‌متر مربع محاسبه شد.



شکل (۲-۶۰): (الف) ولتاژگرام‌های چرخه‌ای $\text{K}_4\text{Fe}(\text{CN})_6$ در محلول 10^{-6} mM MWCNT-PARS /GCE در سرعت روش‌های مختلف: (الف تا ج) مربوط به سرعت‌های روش 0.010 ، 0.025 ، 0.050 ، 0.075 ، 0.100 ، 0.150 ، و 0.200 میلی ولت بر ثانیه می‌باشند. (ب) نمودار تغییرات شدت جریان دماغه آندی بر حسب جذر سرعت روش.

۳-۷-۲ مطالعات طیف‌بینی امپدانس الکتروشیمیایی در سطح الکترودهای مختلف نمودارهای نایکوئیست در طیف بینی امپدانس الکتروشیمیایی ابزاری برای اندازه‌گیری میزان مقاومت انتقال بار بین واکنشگر و سطح الکترود هستند. در این بخش از مطالعه با بررسی نمودارهای نایکوئیست الکترودهای GC، PARS/GC و MWCNT-PARS/GC اطلاعات مفیدی در زمینه مقاومت در برابر انتقال بار هر یک از این الکترودها به دست آمد. نتایج حاصله در شکل (۲-۶۱ الف) ارائه شده است. مدار معادل شده برای طیف‌های امپدانس مشاهده شده در شکل (۲-۶۱-ب) نشان داده شده است.

برای انجام این مطالعات الکترودها در محلول ۵/۰ میلی مولار $[Fe(CN)_6]^{3-4-}$ حاوی ۰/۵ مولار KCl قرار گرفتند. پس از برآش داده‌ها با استفاده از نرم افزار ایویوم، میزان مقاومت انتقال بار برای الکترودهای GC، PARS/GC و MWCNT-PARS/GC به ترتیب برابر با ۵۴۰، ۸۶۰ و ۶۷۰ اهم به دست آمد. همان‌طور که مشاهده می‌شود، میزان مقاومت انتقال بار در حضور PARS نسبت به الکترود GC افزایش می‌یابد. دلیل این امر دافعه الکترواستاتیکی بین PARS با بار منفی و مولکول‌های $[Fe(CN)_6]^{3-4-}$ می‌باشد [۱۷۸]. در حضور MWCNT به هنگام تشکیل پلیمر مقاومت انتقال بار نسبت به PARS کاهش می‌یابد که این امر نشانگر اصلاح موفق سطح الکترود به وسیله فیلم MWCNT-PARS است.



شکل (۲-۱۶): (الف) نمودار نایکوئیست در سطح الکترودهای GC اصلاح نشده، PARS/GC و MWCNT-PARS/GC در محلول ۵/۰ میلی مولار پتاسیم هگزاسیانو فرات/پتاسیم هگزاسیانو فربیت حاوی ۰/۵ مولار پتاسیم کلرید، محدوده فرکانس ۱۰۰۰۰۰ Hz تا ۱/۰ Hz. (ب) نمایش طرح نموداری مدار معادل شده.

در مدار معادل طراحی شده برای نمودار نایکوئیست الکترودهای برنه و اصلاح شده R_s و R_{ct} به ترتیب مقاومت محلول، ظرفیت خازنی لایه دوگانه و مقاومت در برابر انتقال بار را نشان می‌دهند. Z_w نیز مربوط به انتشار خطی نیمه متناهی واکنشگر می‌باشد.

۴-۷-۲ بررسی رفتار الکتروشیمیایی فیلم MWCNT-PARS در سطح الکترود کربن

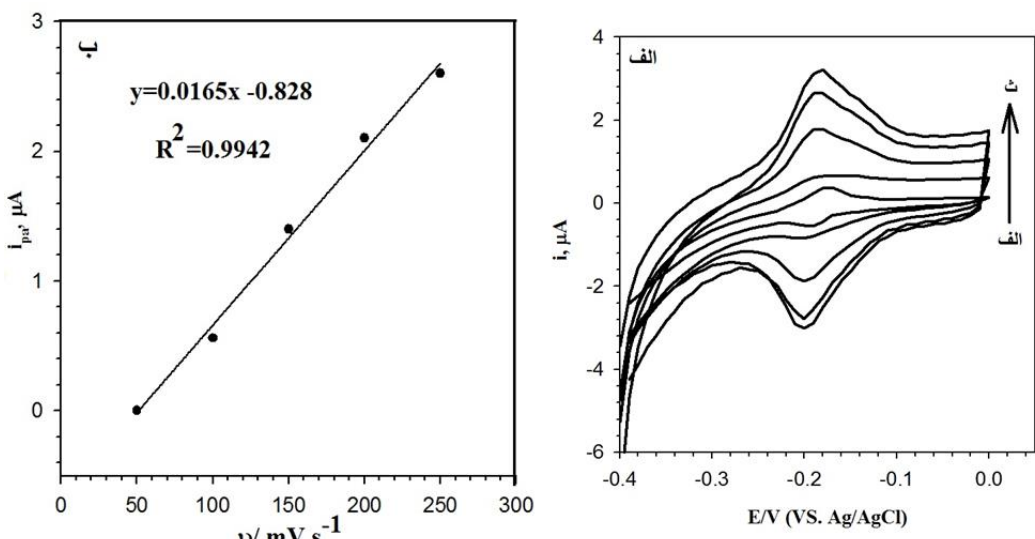
شیشه

به منظور بررسی رفتار الکتروشیمیایی فیلم MWCNT-PARS در سطح الکترود GC، پس از تهیه الکترود طبق روش شرح داده شده در بخش (۱-۷-۲)، الکترود در سل الکتروشیمیایی حاوی ۱۰٪ میلی لیتر محلول سولفوریک اسید ۵۰٪ مولار قرار داده شد و در سرعت‌های روبش مختلف در گستره ۵۰ تا ۲۵۰ میلی ولت بر ثانیه در محدوده پتانسیلی ۴۰-۰ تا ۰-۰ ولت روبش شد و ولتاوگرام‌های به دست آمده ثبت شد (شکل ۲-۶۲-الف).

همان‌طور که در شکل (۲-۶۲-الف) مشاهده می‌شود این ولتاوگرام‌ها دارای دماغه ردکس هستند. این مشاهده تایید می‌کند که فیلم پلیمری تهیه شده در این محیط الکتروفعال است. داده‌های حاصل از این بررسی در جدول (۵۴-۲) ارائه شده است. همچنین با رسم نمودار شدت جریان دماغه آندی بر حسب سرعت روبش (شکل ۲-۶۲-ب) می‌توان دید که شدت جریان دماغه آندی مطابق معادله (۳۵-۲) با سرعت روبش رابطه خطی دارد. این نتیجه نشان می‌دهد که فرآیند انتقال الکترون تحت کنترل واکنش‌های سطحی است.

$$i_{pa}(\mu A) = 0.0165 v (mV s^{-1}) - 0.828 (\mu A) \quad (R^2 = 0.9942) \quad (35-2)$$

همچنین همانطور که در جدول (۵۴-۲) دیده می‌شود نسبت شدت جریان آندی به شدت جریان کاتدی (i_{pa}/i_{pc}) تقریباً برابر یک است. از سوی دیگر دیده می‌شود که دماغه آندی در پتانسیلی حدود ۰/۱۷-۰ ظاهر می‌شود در حالیکه دماغه احیا در پتانسیلی نزدیک به ۰/۲-۰ ولت دیده می‌شود. در واقع، جدایی دماغه‌های پتانسیل آندی و کاتدی ($\Delta E_p = E_{pa} - E_{pc}$) برابر با ۳۰٪ میلی ولت بوده و با افزایش سرعت روبش ثابت باقی مانده است. این نتایج نشانگر برگشت پذیر بودن فرایند الکترودی فیلم تثبیت شده PARS در سطح الکترود است [۱۸۹].



شکل (۶-۲): (الف) ولتاوگرامهای چرخه‌ای در محلول $۰/۵۰\text{ M}\text{H}_2\text{SO}_4$ در سرعت روبش‌های مختلف: (الف تا ث) مربوط به سرعت‌های روبش ۵۰، ۱۰۰، ۱۵۰، ۲۰۰ و ۲۵۰ میلی ولت برثانیه می‌باشند. (ب) نمودار تغییرات شدت جریان آندی بر حسب سرعت اسکن.

جدول (۵۴-۲) داده‌های حاصل از بررسی پاسخ الکترود MWCNT-PARS/GC در محلول $۰/۵۰\text{ M}\text{H}_2\text{SO}_4$ در سرعت‌های روبش مختلف

v (mV s^{-1})	i_{pa} (μA)*	i_{pc} (μA)**
۵۰	۰/۰۰۴	۰/۰۰۴
۱۰۰	۰/۵۶	۰/۵۴
۱۵۰	۱/۴۵	۱/۴
۲۰۰	۲/۱	۲/۰۵
۲۵۰	۲/۶	۲/۶۴

$$E_{pa} = -۰/۱۷^*$$

$$E_{pc} = -۰/۲۰^{**}$$

با در نظر گرفتن برگشت پذیر بودن سیستم PARS می‌توان از میزان جدایی دماغه‌های پتانسیل ($\Delta E_p = ۳۰\text{ mV}$) برای تعیین تعداد الکترون‌های انتقال یافته در واکنش الکترودی (n) استفاده نمود. از آنجاییکه برای سیستم برگشت پذیر میزان ΔE_p در دمای ۲۵ درجه سانتیگراد نزدیک به $۲/۳RT/nF$ می‌باشد، بنابراین تعداد الکترون‌های انتقال یافته در این واکنش الکترودی برابر با ۲ ($n=۱/۹۷$) در نظر گرفته شد.

برای تعیین غلظت سطح گونه‌های فعال در یک واکنش کنترل شده با فرآیندهای سطحی از رابطه (۱-۲) استفاده می‌شود. محاسبات انجام شده در این مطالعه بر اساس رابطه (۱-۲) به شرح معادله (۳۶-۲) است:

$$I_p = S \nu \quad (36-2)$$

که در آن S شب نمودار تغییرات جریان بر حسب سرعت روبش است.

$$S = \frac{n^2 A \Gamma F}{4RT} = 0.0165 \text{ A.s.v}^{-1} \quad (37-2)$$

بنابراین غلظت سطح گونه‌های الکتروفعال از طریق رابطه (۳۸-۲) محاسبه شد:

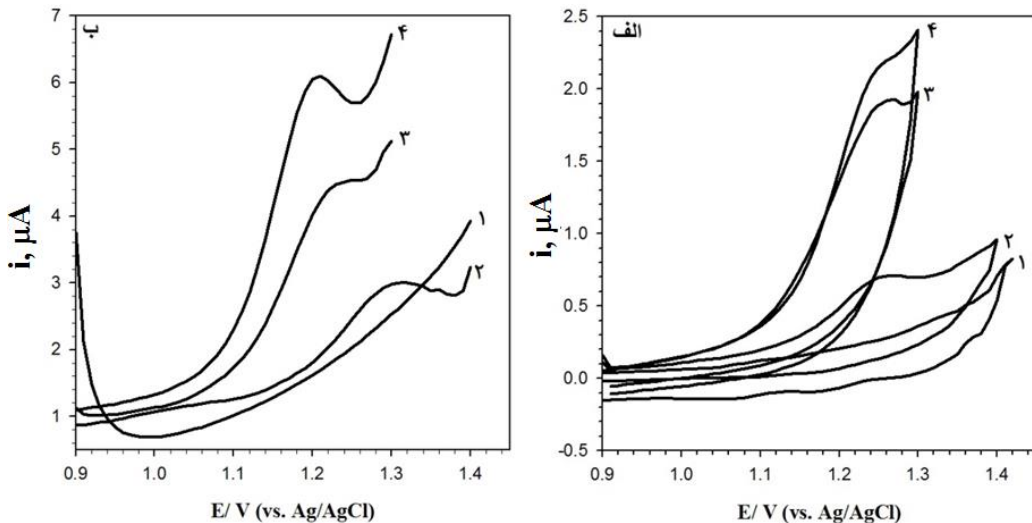
$$\Gamma = \frac{0.0165 \times 298 \times 8/314 \times 4}{2 \times (96485) \times 0.117} = 3.75 \times 10^{-8} \text{ mol cm}^{-2} \quad (38-2)$$

۵-۷-۲ معرفی سیستم الکتروشیمیایی مورد استفاده برای اندازه‌گیری جم فیبروزیل
الکترود کربن شیشه‌ای اصلاح شده با فیلم MWCNT-PARS در غیاب جم فیبروزیل در محلول بافر استات با $pH=4.5$ قرار داده شد (ولتاوگرام‌های ۱ در شکل ۲-۶۳-الف و ب). همانطور که مشاهده می‌شود در محدوده پتانسیلی $+0.90$ تا $+1.40$ ولت هیچ دماغه‌ای مشاهده نمی‌شود، که این امر نشانگر غیر الکتروفعال بودن الکترود اصلاح شده در ناحیه پتانسیلی آزمایش است. همچنین در شکل (۲-۶۳)، ولتاوگرام‌های چرخه‌ای و پالس تفاضلی الکترودهای کربن شیشه‌ای اصلاح نشده (۲)، اصلاح شده با PARS (۳) و اصلاح شده با MWCNT-PARS (۴) در محلول بافر استاتی ($pH=4.5$) حاوی 20% میکرومولار جم فیبروزیل، در گستره $+0.90$ تا $+1.40$ ولت نسبت به الکترود مرجع دیده می‌شود. همانطور که در شکل مشاهده می‌شود اکسایش جم فیبروزیل در سطح همه این الکترودها بطور برگشت ناپذیر اتفاق می‌افتد. در سطح الکترود کربن شیشه برخene (ولتاوگرام ۲ شکل ۲-۶۳-الف) پاسخ ولتاوی جم فیبروزیل به صورت دماغه‌ای باشد جریان کم و در پتانسیل 1.25 ولت نسبت به الکترود مرجع دیده می‌شود. ولتاوگرام‌های حاصل از اکسایش جم فیبروزیل در سطح

PARS/GCE (ولتاموگرام ۳ شکل ۶۳-۲ الف) شدت جریان بیشتری را در پتانسیلهای اندکی منفی تر ($E_{pa}=1/21$ V) در مقایسه با الکترود کربن شیشه اصلاح نشده نشان می‌دهد. افزایش جریان و کاهش پتانسیل (حدود ۴۰ میلیولت) در این مورد می‌تواند ناشی از سهولت انتقال الکترون در حضور پلیمر الکتروفعال PARS در سطح GCE باشد. در سطح-MWCNT PARS/GCE (ولتاموگرام ۴ شکل ۶۳-۲ الف)، شدت جریان دماغه افزایش می‌یابد. در این حالت نسبت به الکترود PARS/GC جابجایی اندکی در پتانسیل مشاهده می‌شود (حدود ۱۰ میلی ولت). دلیل این امر می‌تواند بهره‌گیری همزمان از هر دو عامل اصلاحگر باشد. نتایج این بررسی تایید می‌کند که فیلم MWCNT-PARS سینتیک انتقال الکترون را در سطح کربن شیشه بصورت موثری تسهیل می‌کند.

در بخش دیگری از این مطالعات، از تکنیک ولتاوتمتری پالس تفاصلی برای بررسی اکسایش جم فیبروزیل در بافر استاتی ($pH=4/5$) با سرعت روبش ۵۰ میلی ولت بر ثانیه (ارتفاع پالس ۷۰ میلی ولت و مدت زمان اعمال پالس ۲۰ میلی ثانیه) و در گستره $+0/90$ تا $+1/40$ ولت نسبت به الکترود مرجع، در سطح الکترودهای GC، PARS/GC و MWCNT-PARS/GC استفاده شد. نتایج حاصل از بررسی‌های ولتاوتمتری تفاصلی (شکل ۶۳-۲-ب) همانند نتایج به دست آمده از ولتاوتمتری چرخه‌ای نشان می‌دهد که اکسایش جم فیبروزیل کمترین شدت جریان را در سطح الکترود کربن شیشه و در پتانسیل $+1/31$ ولت دارد (ولتاموگرام ۲ شکل ۶۳-۲-ب). در حالیکه اصلاح سطح الکترود با پلیمر الکتروفعال PARS نه تنها منجر به افزایش جریان اکسایشی این ترکیب می‌شود بلکه جابجایی در پتانسیل نیز مشاهده می‌شود ($E_{pa}=1/24$ V) (ولتاموگرام ۳ شکل ۶۳-۲-ب). در حالیکه بیشترین جریان اکسایش این ترکیب در سطح الکترود کربن شیشه اصلاح شده با فیلم MWCNT-PARS و در پتانسیل $1/21$ ولت مشاهده می‌شود (ولتاموگرام ۴ شکل ۶۳-۲-ب). بنابراین، با توجه به نتایج

به دست آمده و به دلیل حساسیت بالاتر روش ولتاوتمتری تفاضلی نسبت به ولتاوتمتری چرخه‌ای در اندازه‌گیری‌های کمی، از تکنیک ولتاوتمتری تفاضلی برای توسعه این حسگر الکتروشیمیابی استفاده شد.



شکل (۶-۲): ولتاوگرام‌های (الف) چرخه‌ای و (ب) پالس تفاضلی $20\text{ }\mu\text{M}$ فیبروزیل در محلول بافر استاتی 0.1 M مولار با $\text{pH}=4.5$ در سطح الکترودهای کربن شیشه‌ای اصلاح نشده (۲)، اصلاح شده با PARS (۳) و اصلاح شده با فیلم MWCNT-PARS (۴). ولتاوگرام (۱) در (الف و ب) به ترتیب، مربوط به ولتاوگرام چرخه‌ای و پالس تفاضلی الکترود کربن شیشه‌ای اصلاح شده با فیلم MWCNT-PARS در غیاب جم فیبروزیل می‌باشد. سرعت روبش در ولتاوتمتری چرخه‌ای $100\text{ }\mu\text{V/s}$ و لوت بر ثانیه. برای ولتاوگرام پالس تفاضلی ارتفاع پالس $70\text{ }\mu\text{V}$ ، مدت زمان اعمال پالس $20\text{ }\mu\text{s}$ و سرعت روبش $50\text{ }\mu\text{V/s}$ و لوت بر ثانیه.

۶-۷-۲ بهینه سازی شرایط آزمایش

بهینه‌سازی پارامترهای موثر بر شدت جریان دماغه اکسایش جم فیبروزیل نظری H_2 محیط، نوع بافر، حجم بافر، شرایط آماده سازی الکترود، سرعت روبش و پارامترهای دستگاهی (مانند ارتفاع پالس و مدت زمان اعمال پالس) اهمیت بهسزایی در رسیدن به حداکثر جریان اکسایشی دارند. در این بخش از پژوهه از روش یک متغیر در یک زمان برای بهینه سازی پارامترهای موثر استفاده گردید.

۱-۶-۷-۲ روش کار کلی برای بهینه سازی پارامترهای موثر بر اکسایش جم فیبروزیل به منظور دسترسی به بهترین سیگنال تجزیه‌ای برای اندازه‌گیری جم فیبروزیل به کمک

الکترود کربن شیشه اصلاح شده با فیلم MWCNT-PARS، از روش تک متغیره استفاده شد.

به این ترتیب که هنگام بهینه سازی هر پارامتر سایر پارامترهای موثر ثابت در نظر گرفته شدند.

فرآیند انجام آزمایش‌ها به این صورت بود که پس از تهیه الکترود اصلاح شده، حجم مشخصی

از محلول استاندارد جم فیبروزیل به سل الکتروشیمیایی منتقل شد و pH محیط با افزودن

مقدار مشخصی از محلول بافر در pH معین تنظیم شد، سپس حجم محلول با استفاده از آب دو

بار تقطیر به ۱۰/۰ میلی لیتر رسانده شد. سپس الکترودها داخل سل الکتروشیمیایی قرار داده

شدند و ولتاژ گرام تفاضلی در محدوده ۰/۹۰ + تا ۱/۳۰ + ولت نسبت به الکترود مرجع نقره/نقره

کلرید (پتاسیم کلرید ۳/۰ مولار) با سرعت روبش ۵۰ میلی ولت بر ثانیه ثبت شد. پارامترهای

دستگاهی ولتاژی پالس تفاضلی به هنگام ثبت ولتاژ گرامها طی بهینه سازی عبارت بود از

ارتفاع پالس ۵۰ میلی ولت و مدت زمان اعمال پالس ۵۰ میلی ثانیه. پس از ثبت ولتاژ گرام

تفاضلی در محلول حاوی جم فیبروزیل شدت جریان در پتانسیل ۱/۲۱ ولت اندازه‌گیری و ثبت

شد. برای ثبت سیگنال شاهد، الکترود کار در محلول با شرایط pH و نوع بافر یکسان با مرحله

اندازه‌گیری جم فیبروزیل قرار گرفت و شدت جریان متناظر با پتانسیل دماغه اکسایش جم

فیبروزیل به عنوان سیگنال شاهد در نظر گرفته شد. اختلاف بین شدت جریان نمونه و شدت

جریان شاهد در پتانسیل ۱/۲۱ ولت به عنوان سیگنال تجزیه‌ای در نظر گرفته شد. هر

اندازه‌گیری سه بار تکرار شد. شدت جریان میانگین این اندازه‌گیری‌ها در بررسی‌های انجام شده

مورد استفاده قرار گرفت. بهمنظور پاکسازی سطح الکترود و از بین بردن اثر حافظه جم

فیبروزیل باقیمانده روی سطح الکترود اصلاح شده بعد از هر اندازه‌گیری، پنج روبش چرخه‌ای

متوالی در محدوده ۰/۹۰ + تا ۱/۳۰ + در محلول شاهد انجام شد.

۲-۶-۷-۲ تعیین pH بهینه و نوع بافر در اکسایش جم فیبروزیل در سطح-MWCNT-PARS/GCE

با توجه به فرمول ساختاری جم فیبروزیل (بخش ۷-۲)، این ترکیب دارای گروه

کربوکسیلیک اسید می‌باشد و قادر است به صورت برگشت پذیر یک پروتون گرفته و یا از دست بددهد. از این‌رو باید اثر pH محیط بر سیگنال تجزیه‌ای در سطح الکترود اصلاح شده مورد بررسی قرار گیرد. فرآیند انجام آزمایش به این صورت بود که الکترود اصلاح شده از طریق حل کردن ۴/۰ میلی‌گرم ARS در ۱۰/۰ میلی‌لیتر بافر فسفاتی pH=۷/۰ و سپس افزودن ۸/۰ میلی‌گرم MWCNT، به محلول فوق تهیه شد. برای داشتن مخلوطی همگن، این ترکیب به مدت ۱۵ دقیقه در حمام اولتراسونیک قرار داده شد. محلول حاصل سپس به سل الکتروشیمیایی منتقل شد. الکترودها در سل قرار داده شدند و برای پلیمریزاسیون الکتروشیمیایی ARS و تشکیل فیلم MWCNT-PARS در سطح الکترود کربن شیشه، ۱۵ روبش متوالی در گستره پتانسیلی ۱/۴۰-۱/۸۰+ ولت با سرعت روبش ۱۰۰ میلی ولت بر ثانیه در محلول فوق انجام شد. الکترود اصلاح شده سپس با آب دوبار تقطیر شسته شد تا ناخالصی‌های موجود از سطح شسته شوند. سپس به منظور اطمینان از عدم حضور منومر و یا دیمرهای باقی مانده و پلیمریزه نشده در سطح الکترود کربن شیشه، الکترود MWCNT-PARS /GC در محلول بافر فسفاتی pH=۷/۰ قرار داده شد و روبش پتانسیل در محدوده تشکیل پلیمر به تعداد ۵ سیکل متوالی انجام شد.

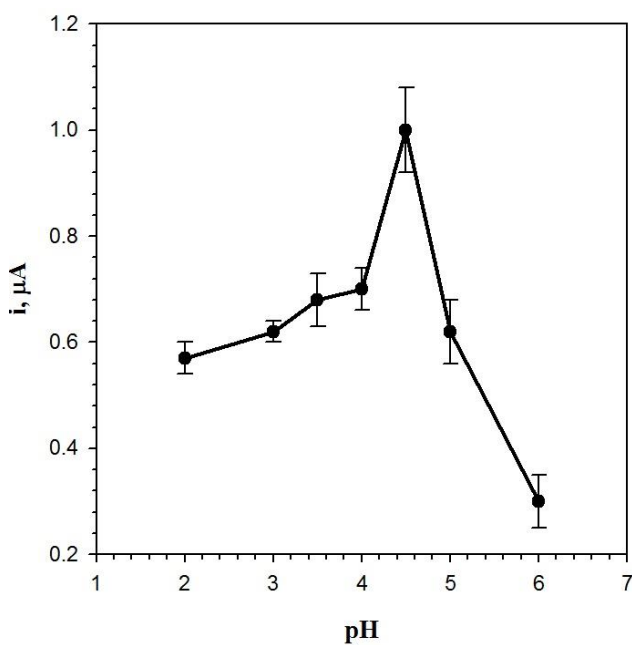
به منظور بررسی تاثیر تغییر pH بر پاسخ الکتروشیمیایی جم فیروزیل، ۴/۰ میلی‌لیتر بافر فسفاتی ۰/۰۶۷ مولار با pH های متفاوت در گستره ۲/۰ تا ۶/۰ به سل الکتروشیمیایی اضافه شد و پس از افزودن ۱/۰ میلی‌لیتر از محلول استاندارد جم فیروزیل با غلظت مشخص حجم محلول موجود در سل توسط آب دو بار تقطیر به ۱۰/۰ میلی‌لیتر رسانده شد. سپس الکترودها داخل سل الکتروشیمیایی قرار داده شدند و ولتاومگرام تفاضلی در محدوده ۹۰/۰+ تا ۳۰/۱+ ولت با سرعت روبش ۵۰ میلی ثانیه ثبت شد (ارتفاع پالس ۵۰ mV، مدت زمان اعمال پالس ۵۰ میلی ثانیه). هر اندازه‌گیری سه بار تکرار شد. میانگین جریان آندی حاصل از اکسایش

جم فیبروزیل بر حسب تغییرات pH (در گستره ۲/۰ تا ۶/۰) رسم گردید. نتایج حاصل از این بررسی در جدول (۵۵-۲) و شکل (۶۴-۲) ارائه شده است.

جدول (۵۵-۲) نتایج به دست آمده از شدت جریان دماغه اکسایش ۱۰/۰ میکرومولار جم فیبروزیل در محلول حاوی بافر فسفاتی با pH های مختلف با روش ولتاوتمتری پالس تفاضلی در سطح الکترود GC/MWCNT-

PARS

pH	۲/۰	۳/۰	۳/۵	۴/۰	۴/۵	۵/۰	۶/۰
سیگنال تجزیهای (μA)	۰/۵۷±۰/۰۳	۰/۶۲±۰/۰۲	۰/۶۸±۰/۰۵	۰/۷۰±۰/۰۴	۱/۰۰±۰/۰۸	۰/۶۲±۰/۰۶	۰/۳۰±۰/۰۵



شکل (۶۴-۲): نمودار تغییرات جریان آندی بر حسب pH برای محلول ۱۰/۰ میکرومولار جم فیبروزیل. تمامی اندازه گیری‌ها در محلول ۰/۰۲۷ مولار بافر فسفاتی و در سطح الکترود کربن شیشه‌ای اصلاح شده با MWCNT-PARS. ارتفاع پالس ۵۰ میلی ولت و مدت زمان اعمال پالس ۵۰ میلی ثانیه و سرعت روبش ۵۰ میلی ولت بر ثانیه.

همان‌طور که ملاحظه می‌شود، pH محیط بر جریان اکسایش جم فیبروزیل تاثیر بهسزایی دارد. با افزایش pH محیط، شدت جریان افزایش می‌یابد تا در $\text{pH}=4/5$ به بیشترین مقدار رسیده و سپس کاهش می‌یابد. در واقع، افزایش pH می‌تواند منجر به بهبود سرعت از دست دادن پروتون در جم فیبروزیل شده و کارایی اکسایش آنرا در سطح

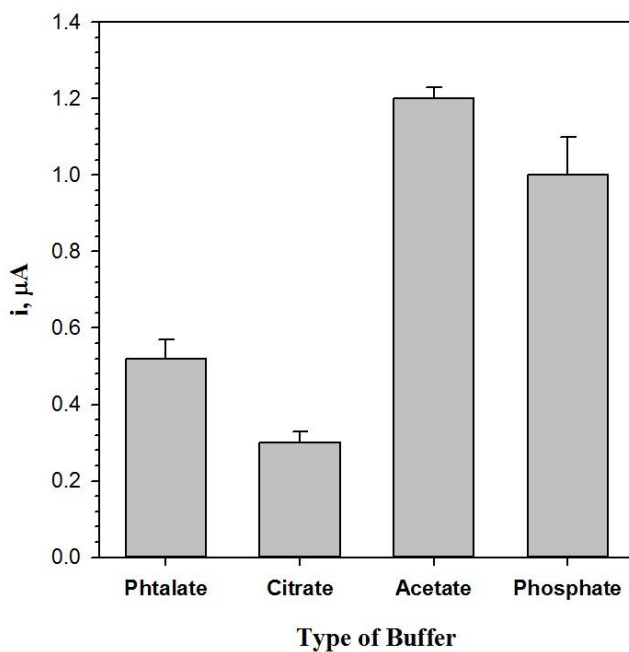
MWCNT-PARS/GCE افزایش دهد. اگرچه با افزایش pH، گروههای کربوکسیل با بار منفی موجود در ساختار جم فیبروزیل در سطح الکترود افزایش می‌یابد. با توجه به اینکه سطح PARS به دلیل حضور گروههای SO_3^- دارای بار منفی است، این مسئله منجر به دافعه الکترواستاتیک بین آن‌ها و گروههای کربوکسیل موجود در جم فیبروزیل شده و در نتیجه جریان کاهش می‌یابد. بنا به دلایل ذکر شده، $\text{pH}=4.5$ به عنوان pH بهینه جهت اندازه‌گیری جم فیبروزیل در سطح MWCNT-PARS/GCE انتخاب شد.

با توجه به اهمیت نقش الکتروولیت حامل در واکنش‌های الکتروشیمیایی، علاوه بر بافر فسفاتی ۰/۰۲۷ مولار، الکتروولیت‌های حامل مختلفی نظیر بافر سیتراتی ۰/۰۸۸ مولار، فتالاتی ۰/۰۲۰ مولار و ۰/۰۱۰ مولار استاتی در $\text{pH}=4.5$ مورد بررسی قرار گرفتند. این بررسی به منظور تعیین بهترین الکتروولیت حامل برای اندازه‌گیری شدت جریان اکسایش جم فیبروزیل انجام شد. نتایج به دست آمده جدول ۲-۵۶ و شکل ۲-۶۵ نشان می‌دهد که سیگنال تجزیه‌ای اکسایش جم فیبروزیل در بافر استاتی و بافر فسفاتی در سطح این الکترود تقریباً یکسان بوده اما تکرار پذیری در بافر استاتی بهتر بود. در نتیجه در مطالعات بعدی از بافر استاتی ۰/۰۱۰ مولار به عنوان بافر بهینه برای اندازه‌گیری اکسایش جم فیبروزیل در سطح MWCNT-PARS/GCE استفاده شد.

جدول (۲-۵۶): نتایج حاصل از بررسی الکتروولیت‌های حامل متفاوت در $\text{pH}=4.5$ برای محلول ۱۰/۰ میکرومولار جم فیبروزیل در سطح MWCNT-PARS/GCE به کمک روش ولتاوتمتری پالس تفاضلی

نوع بافر	انحراف استاندارد سیگنال تجزیه‌ای (μA)	سیگنال تجزیه‌ای (μA)
فسفاتی	۱/۰۰	۰/۲۰
سیتراتی	۰/۳۰	۰/۰۳
فتالاتی	۰/۵۲	۰/۰۶
استاتی	۱/۲۰	۰/۰۴

* میانگین سه اندازه‌گیری



شکل (۶۵-۲): نمودار تغییرات میزان شدت جریان آندی بر حسب نوع بافر در $\text{pH} = 4/5$ ، در محلول ۱۰٪ میکرومولار جم فیبروزیل در سطح MWCNT-PARS/GCE. ارتفاع پالس ۵۰ میلی ولت و مدت زمان اعمال پالس ۵۰ میلی ثانیه و سرعت روبش ۵۰ میلی ولت بر ثانیه.

۳-۶-۷-۲ تعیین حجم بافر در اکسایش جم فیبروزیل در سطح MWCNT-PARS/GCE

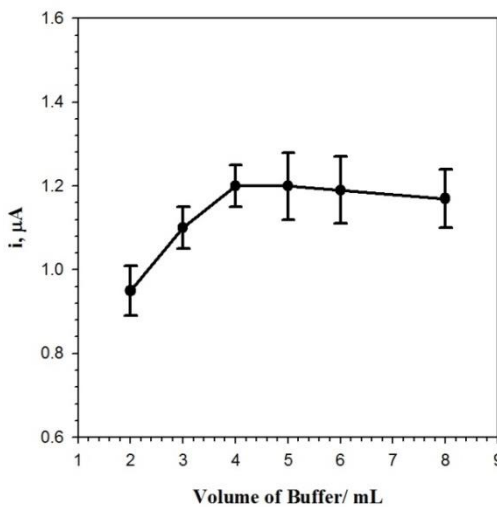
در این بخش از مطالعه به منظور تعیین حجم بهینه بافر، تاثیر حجم‌های مختلفی از بافر استاتی $\text{pH} = 4/5$ در گستره ۲۰ تا ۸۰ میلی‌لیتر بر شدت جریان اکسایش جم فیبروزیل مورد بررسی قرار گرفت. نتایج به دست آمده در جدول ۵۷-۲ و شکل ۶۶-۲، نشان می‌دهد که با افزایش حجم الکتروولیت حامل تا ۴۰ میلی‌لیتر شدت جریان اکسایش جم فیبروزیل افزایش می‌یابد، در حالیکه در حجم‌های بالاتر تغییری در شدت جریان مشاهده نمی‌شود.

برای توجیه این مشاهدات می‌توان گفت که با افزایش حجم بافر (الکتروولیت حامل) هدایت محلول زیاد شده، مقاومت درونی آن کاهش یافته و در نتیجه جریان افزایش می‌یابد. در حالیکه در حجم‌های بالاتر از ۴۰ میلی‌لیتر قدرت یونی محیط ثابت باقی می‌ماند که می‌توان این امر را در ثبات سیگنال شاهد در حجم‌های بالاتر مشاهده کرد. بنابراین حجم ۴۰ میلی‌لیتر از بافر استاتی $\text{pH} = 4/5$ به عنوان حجم بهینه انتخاب و در بررسی‌های بعدی استفاده شد.

جدول (۵۷-۲): نتایج حاصل از بررسی حجم‌های متفاوت بافر استاتی در $\text{pH}=4/5$ برای محلول $10/0$ میکرومولار جم فیبروزیل در سطح MWCNT-PARS/GCE به کمک روش ولتامتری پالس تفاضلی

حجم بافر (mL)	سیگنال شاهد* (μA)	سیگنال تجزیهای (μA)	انحراف استاندارد سیگنال تجزیهای (μA)
۲/۰	۱/۴۰	۰/۹۵	۰/۳۰
۳/۰	۱/۲۰	۱/۱۰	۰/۰۴
۴/۰	۰/۹۲	۱/۲۰	۰/۱۱
۵/۰	۰/۹۰	۱/۲۰	۰/۰۶
۶/۰	۰/۹۰	۱/۱۷	۰/۱۰
۸/۰	۰/۹۲	۱/۱۸	۰/۰۵

* میانگین سه اندازه‌گیری



شکل (۶۶-۲): نمودار تغییرات میزان شدت جریان آندی جم فیبروزیل بر حسب حجم بافر استاتی $10/0$ مولار در محلول $\text{pH}=4/5$ میکرومولار جم فیبروزیل در سطح MWCNT-PARS/GCE به روش ولتامتری پالس تفاضلی. ارتفاع پالس 50 میلی ولت و مدت زمان اعمال پالس 50 میلی ثانیه و سرعت روبش 50 میلی ولت بر ثانیه.

۴-۶-۷-۲ بهینه سازی مقدار نانو لوله‌های کربنی چند دیواره از آنجاییکه حساسیت در سطح الکترودهای اصلاح شده با نانو لوله‌های کربنی چند دیواره، به مقدار این اصلاحگر در سطح الکترود وابسته است. بنابراین، به منظور تعیین مقدار بهینه MWCNT، الکترودها به این نحو تهییه شدند:

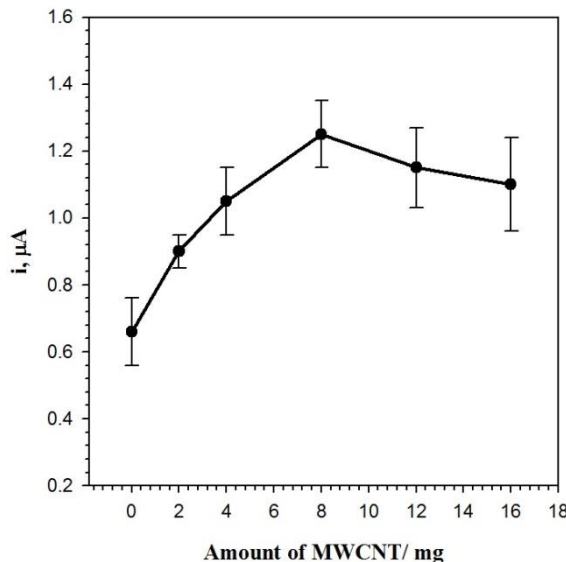
مقادیر مختلفی از MWCNT در گستره $0/0$ تا $16/0$ میلی‌گرم و مقدار ثابتی از ARS

(۴/۰ میلی‌گرم) در ۱۰/۰ میلی‌لیتر بافر فسفاتی pH=۷/۰ تهیه شد (جدول ۵۸-۲ و شکل ۲-۶۷). پس از قرار دادن مخلوط حاصل به مدت ۱۵ دقیقه در حمام اولتراسونیک، مخلوط همگن به دست آمده به سل الکتروشیمیایی منتقل شد. پس از قرار دادن الکترودها درون سل، تشکیل پلیمر با روش پتانسیل طی ۱۵ چرخه متوالی در محدوده ۱/۴۰-۱/۸۰+ ولت نسبت به الکترود مرتع انجام شد. پس از شستشوی الکترود با آب دو بار تقطیر، آنرا در سل الکتروشیمیایی حاوی بافر فسفاتی pH=۷/۰ قرار داده و ۵ روش متوالی پتانسیل در محدوده تشکیل پلیمر انجام شد. سپس الکترود حاصله برای اندازه‌گیری جم فیبروزیل ۱۰/۰ میکرومولار در بافر استاتی pH=۴/۵ به کمک تکنیک ولتاومتری پالس تفاضلی، در سرعت روش ۵۰ میلی‌ولت بر ثانیه مورد استفاده قرار گرفت. همانطور که در شکل مشاهده می‌شود با افزایش مقدار نانو لوله‌های کربنی چند دیواره تا ۸/۰ میلی‌گرم شدت جریان سیگنال تجزیه‌ای جم فیبروزیل افزایش می‌یابد و در مقادیر بالاتر شدت جریان با کاهش روبرو می‌شود. این مسئله می‌تواند مربوط به افزایش شدت جریان زمینه در حضور مقادیر بالاتر CNT شود که این امر در نهایت موجب کاهش سیگنال تجزیه‌ای جم فیبروزیل می‌گردد. از سوی دیگر به هنگام استفاده از مقادیر بالاتر نانو لوله‌های کربنی، چسبندگی آن‌ها به سطح الکترود کاهش یافته و در نتیجه تکرار پذیری سیگنال تجزیه‌ای کاهش می‌یابد. از اینرو، مقدار ۸/۰ میلی‌گرم به عنوان مقدار بهینه MWCNT در مطالعات بعدی مورد استفاده قرار گرفت.

جدول (۵۸-۲) نتایج حاصل از بررسی مقدار MWCNT برای محلول ۱۰/۰ میکرومولار جم فیبروزیل در بافر استاتی ۱۰/۰ مولار pH=۴/۵ در سطح MWCNT-PARS/GCE به کمک روش ولتاومتری پالس تفاضلی

انحراف استاندارد سیگنال تجزیه‌ای (µA)	سیگنال شاهد* (µA)	مقادیر مقدار (mg) MWCNT
۰/۱۰	۰/۶۶	۰/۰
۰/۰۴	۰/۹۰	۲/۰
۰/۱۳	۱/۰۵	۴/۰
۰/۱۱	۱/۲۵	۸/۰
۰/۱۰	۱/۱۵	۱۲/۰
۰/۱۵	۱/۱۰	۱۶/۰

* میانگین سه اندازه‌گیری



شکل (۶۷-۲): تاثیر مقدار MWCNT مورد استفاده در اصلاح الکترود روی شدت جریان دماغه جم فیبروزیل با غلظت $10/0$ میکرومولار در محلول بافر استاتی با $pH=4/5$ با روش ولتامتری پالس تفاضلی. ارتفاع پالس 50 میلی ولت و مدت زمان اعمال پالس 50 میلی ثانیه و سرعت روبش 50 میلی ولت بر ثانیه.

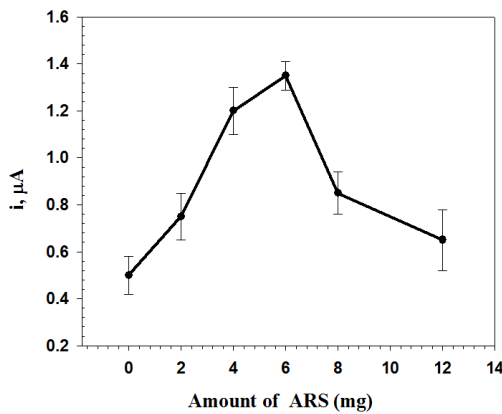
ARS ۵-۶-۷-۲ بهینه سازی مقدار

همانند MWCNT، مقدار ARS موجود در سطح الکترود نیز نقش تعیین کننده‌ای در پاسخ ولتامتری الکترود اصلاح شده دارد. از اینرو تاثیر تغییر مقادیر متفاوتی از ARS در گستره $0/0$ تا $12/0$ میلی گرم در حضور مقدار ثابتی از MWCNT ($8/0$ میلی گرم) بررسی شد. نتایج حاصل در جدول (۵۹-۲) و شکل (۶۸-۲) ارائه شده است.

جدول (۵۹-۲) نتایج حاصل از بررسی مقدار ARS برای محلول $10/0$ میکرومولار جم فیبروزیل در بافر استاتی $0/0$ مولار $pH=4/5$ در سطح MWCNT-PARS/GCE به کمک روش ولتامتری پالس تفاضلی

ARS (mg)	سیگنال تجزیه‌ای*	انحراف استاندارد سیگنال تجزیه‌ای (μA)
$0/0$	$0/50$	$0/08$
$2/0$	$0/75$	$0/10$
$4/0$	$1/20$	$0/10$
$6/0$	$1/35$	$0/06$
$8/0$	$0/85$	$0/09$
$12/0$	$0/65$	$0/13$

* میانگین سه اندازه‌گیری



شکل (۶۸-۲): تاثیر مقدار ARS مورد استفاده در اصلاح الکترود روی شدت جریان دماغه جم فیبروزیل با غلظت $10/0$ میکرومولار در محلول بافر استاتی $10/0$ مولار با $pH=4/5$ با روش ولتامتری پالس تفاضلی. ارتفاع پالس 50 میلی ولت و مدت زمان اعمال پالس 50 میلی ثانیه و سرعت روبش 50 میلی ولت بر ثانیه.

همانطور که در شکل مشاهده می‌شود با افزایش میزان ARS تا 60 میلی گرم، سیگنال تجزیه‌ای اکسایش جم فیبروزیل افزایش و سپس کاهش می‌یابد. این پدیده را می‌توان به این صورت توجیه کرد که اگرچه در حضور مقادیر کمتر ARS، فیلم MWCNT-PARS تهیه شده به عنوان حدواسط مناسبی برای انتقال الکترون عمل می‌کند و شدت جریان اکسایش جم فیبروزیل را افزایش می‌دهد اما با افزایش مقدار این عامل پلیمر کننده ضخامت لایه پلیمری در سطح الکترود افزایش می‌یابد و این امر می‌تواند منجر به عایق شدن سطح الکترود و در نهایت کاهش سیگنال تجزیه‌ای شود. بنابراین، مقدار 60 میلی گرم آلیزارین قرمز به عنوان مقدار بهینه در سایر اندازه‌گیری‌ها مورد استفاده قرار گرفت.

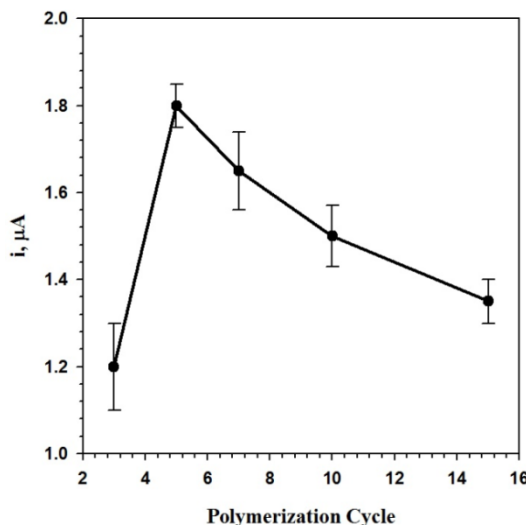
۶-۶-۷-۲ بهینه سازی تعداد چرخه‌های تشکیل پلیمر
ضخامت فیلم MWCNT-PARS، تاثیر بسزایی در پاسخ ولتامتری جم فیبروزیل دارد. با توجه به اهمیت این پارامتر و به منظور دریافت تاثیر آن بر شدت جریان اکسایش جم فیبروزیل، پس از تعیین مقادیر بهینه MWCNT و ARS (به ترتیب $8/0$ و 60 میلی گرم در $10/0$ میلی لیتر بافر فسفاتی $pH=7/0$) پلیمریزاسیون الکترود اصلاح شده با تعداد چرخه‌های روبش متوالی پتانسیل در گستره 3 تا 15 چرخه و با سرعت روبش 100 میلی ولت بر ثانیه صورت گرفت. داده‌های حاصل در جدول (۶۰-۲) و شکل (۶۹-۲) ارائه شده است. رابطه بین

تعداد چرخه‌های تشکیل پلیمر و شدت جریان دماغه اکسایش جم فیبروزیل بررسی شد. نتایج به دست آمده نشان داد که دماغه اکسایش محلول ۱۰/۰ میکرومولار جم فیبروزیل در بافر استاتی pH=۴/۵ با افزایش تعداد چرخه‌های تشکیل پلیمر تا ۵ سیکل افزایش می‌یابد در حالیکه پس از آن با افزایش تعداد چرخه‌های تشکیل پلیمر شدت جریان کاهش می‌یابد. این پدیده می‌تواند به ضخامت فیلم MWCNT-PARS مربوط باشد که در صورت افزایش بیش از حد لازم می‌تواند مانع انتقال الکترون در سطح الکترود شود. از اینرو، تعداد ۵ چرخه برای تشکیل پلیمر به روش الکتروشیمیایی به عنوان بهینه انتخاب شد.

جدول (۶۰-۲) نتایج حاصل از بررسی تعداد چرخه‌های لازم برای تشکیل پلیمر برای محلول ۱۰/۰ میکرومولار جم فیبروزیل در بافر استاتی pH=۴/۵ در سطح MWCNT-PARS/GCE به کمک روش ولتاوتمتری پالس تفاضلی

تعداد چرخه	انحراف استاندارد سیگنال تجزیه‌ای * (μA)	سیگنال تجزیه‌ای (μA)
۳	۰/۰۸	۱/۲۰
۵	۰/۰۸	۱/۸۰
۷	۰/۱۲	۱/۶۵
۱۰	۰/۱۰	۱/۵۰
۱۵	۰/۱۰	۱/۲۵

* میانگین سه اندازه‌گیری



شکل (۶۹-۲): تاثیر تعداد چرخه‌های تشکیل پلیمر بر روی شدت جریان دماغه اکسایش جم فیبروزیل با غلظت ۱۰/۰ میکرومولار در محلول بافر استاتی pH=۴/۵ مولار با روش ولتاوتمتری پالس تفاضلی. ارتفاع پالس ۵۰ میلی ولت و مدت زمان اعمال پالس ۵۰ میلی ثانیه و سرعت روبش ۵۰ میلی ولت بر ثانیه.

۷-۶-۷-۲ بهینه سازی سرعت روش پتانسیل به کار گرفته شده در ولتامتری پالس تفاضلی

برای اکسایش جم فیبروزیل

به منظور بررسی تاثیر تغییر سرعت روش پتانسیل بر سیگنال تجزیه‌ای جم فیبروزیل،

روش پتانسیل در سرعت‌های مختلف در محدوده ۱۰ تا ۸۰ میلیولت بر ثانیه، در محلول بافر

استاتی $pH = 4/5$ دارای جم فیبروزیل (۱۰/۰ میکرومولار) انجام شد. نتایج به دست آمده

(جدول ۶۱-۲ و شکل ۷۰-۲) نشان داد که با افزایش سرعت روش علاوه بر افزایش سیگنال

دماغه اکسایش جم فیبروزیل، سیگنال زمینه نیز افزایش می‌یابد که این امر در سرعت‌های

روش بالاتر از ۵۰ میلیولت بر ثانیه از تاثیر بیشتری برخوردار بوده است. به علاوه پهن شدنگی

پیک در سرعت‌های روش بالاتر منجر به کاهش گزینش‌پذیری می‌شود. از این‌رو سرعت روش

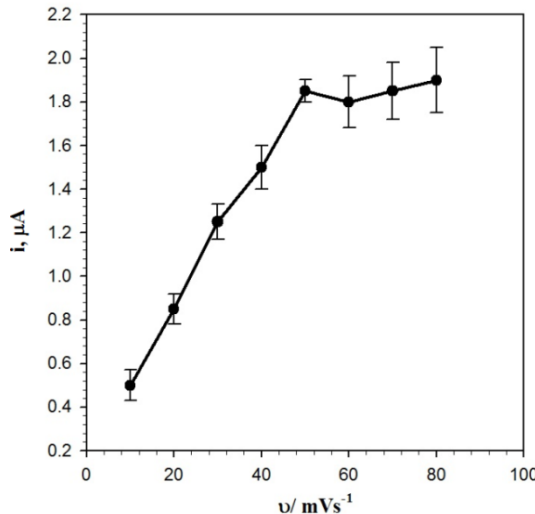
۵۰ میلیولت بر ثانیه به عنوان سرعت روش بهینه در این مطالعه مورد استفاده قرار گرفت.

جدول (۶۱-۲) نتایج حاصل از بررسی سرعت روش در ولتامتری پالس تفاضلی برای محلول ۱۰/۰ میکرومولار

جم فیبروزیل در بافر استاتی ۱۰/۰ مولار $pH = 4/5$ در سطح MWCNT-PARS/GCE

تعداد چرخه	انحراف استاندارد سیگنال تجزیه‌ای*	سیگنال تجزیه‌ای*	سیگنال شاهد* (μA)
۱۰	۰/۶۰	۰/۵۰	۰/۰۷
۲۰	۰/۷۰	۰/۸۵	۰/۰۷
۳۰	۰/۸۵	۱/۲۵	۰/۰۸
۴۰	۰/۹۰	۱/۵۰	۰/۱۰
۵۰	۰/۹۰	۱/۸۵	۰/۰۵
۶۰	۱/۱۵	۱/۸۰	۰/۱۲
۷۰	۱/۵۰	۱/۸۵	۰/۱۳
۸۰	۱/۸۵	۱/۹۰	۰/۱۵

* میانگین سه اندازه‌گیری



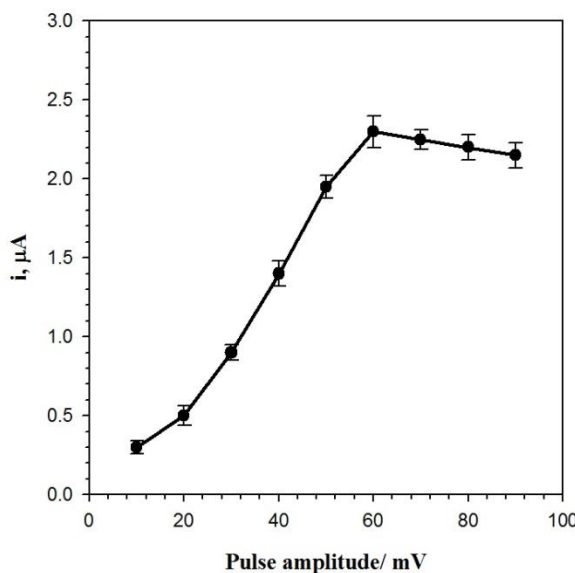
شکل (۷۰-۲): تاثیر سرعت روبش بر روی شدت جریان دماغه جم فیبروزیل با غلظت ۱۰٪ میکرومولار در محلول بافر استاتی ۱٪ مولار با $pH=4/5$ با روش ولتاوتمتری پالس تفاضلی در سطح MWCNT-PARS/GCE ارتفاع پالس ۵۰ میلی ولت و مدت زمان اعمال پالس ۵۰ میلی ثانیه.

۸-۶-۲ بهینه سازی ارتفاع پالس به کار گرفته شده در ولتاوتمتری پالس تفاضلی برای اکسایش جم فیبروزیل

همانطور که در بخش (۲-۶-۴-۲) اشاره شد، از جمله پارامترهای دستگاهی مهم و تاثیرگذار در سیگنال تجزیه‌ای به هنگام به کارگیری ولتاوتمتری پالس تفاضلی، ارتفاع پالس و مدت زمان اعمال آن است. بنابراین بررسی و بهینه سازی این پارامترها برای رسیدن به حداقل سیگنال تجزیه‌ای ناشی از اکسایش جم فیبروزیل غیر قابل اجتناب است.

به این منظور، برای بررسی ارتفاع پالس بر شدت جریان، این پارامتر در ۱۰ تا ۹۰ میلی ولت مورد بررسی قرار گرفت. روش انجام کار برای بررسی این پارامتر به این صورت انجام شد که پس از افزودن حجم ۴٪ میلی لیتر از بافر استاتی $pH=4/5$ و جم فیبروزیل با غلظت مشخص به سل الکتروشیمیایی، حجم محلول با آب دو بار تقطیر به ۱۰٪ میلی لیتر رسانده شد. پس از قرار دادن الکترودها داخل سل الکتروشیمیایی، ولتاوگرام‌های پالس تفاضلی در گستره ۹۰/۹۰ تا ۱/۳۰+ ولت، با سرعت روبش ۵۰ میلی ثانیه با ارتفاع پالس در گستره ۱۰ تا ۹۰ میلی ولت و مدت زمان اعمال پالس ۵۰ میلی ثانیه، رسم شد (شکل ۷۱-۲). هر اندازه‌گیری سه بار تکرار شد و سیگنال میانگین به عنوان سیگنال تجزیه‌ای مورد استفاده قرار گرفت. تغییر ارتفاع پالس تاثیر چشمگیری بر شدت جریان دارد. در واقع ارتفاع سیگنال

تجزیه‌ای وابسته به ارتفاع پالس است. بطوریکه کاهش ارتفاع پالس منجر به کاهش جریان دماغه می‌شود. در حالیکه افزایش بیش از حد ارتفاع پالس نه تنها منجر به افزایش چندان سیگنال تجزیه‌ای نمی‌شود بلکه منجر به پهن شدن دماغه و کاهش گزینش پذیری نیز می‌شود [۶۸]. بنابراین، در این مطالعه تحقیقاتی برای رسیدن به حداکثر جریان بدون به خطر افتادن گزینش پذیری روش، از ارتفاع پالس ۷۰ میلی ولت به عنوان مقدار بهینه استفاده شد.

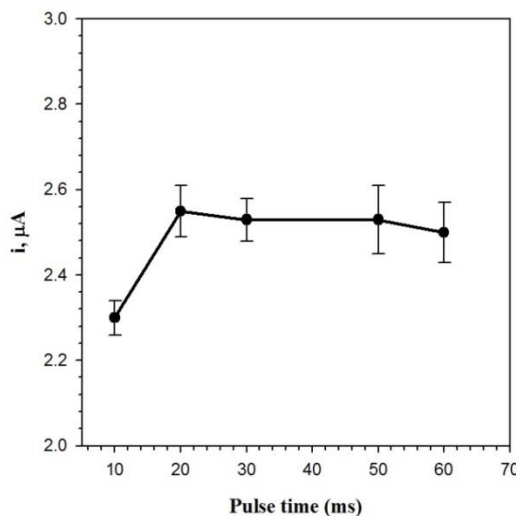


شکل (۲-۷۱): نمودار حاصل از بررسی ارتفاع پالس در روش ولتاوتمتری پالس تفاضلی برای اندازه گیری 10^{-10} میکرومولار جم فیبروزیل در محلول بافر استاتی 10^{-4} مولار با $pH=5/4$ در سطح MWCNT-PARS/GCE سرعت روبش 50 میلی ولت بر ثانیه، مدت زمان اعمال پالس 50 میلی ثانیه.

۹-۶-۷-۲ بهینه سازی مدت زمان اعمال پالس به کار گرفته شده در ولتاوتمتری پالس تفاضلی برای اکسایش جم فیبروزیل

از سوی دیگر، در ولتاوتمتری پالس تفاضلی باید از جریان قبل و بعد از اعمال پالس نمونه‌گیری شود. بنابراین مدت زمان اعمال پالس به عنوان یک عامل تاثیرگذار بر شدت جریان سیگنال تجزیه‌ای جم فیبروزیل مورد مطالعه قرار گرفت. در این مطالعه، مدت زمان اعمال پالس در فاصله بین 10 تا 60 میلی ثانیه مورد بررسی قرار گرفت (شکل ۲-۷۲). همانطور که مشاهده می‌شود با افزایش مدت زمان اعمال پالس تا 20 میلی ثانیه سیگنال افزایش می‌یابد. به نظر می‌رسد که زمان نمونه‌گیری 20 میلی ثانیه اکسایش جم فیبروزیل در سطح الکترد به

حداکثر مقدار خود رسیده است و زمان‌های بالاتر نمونه برداری تاثیری بر افزایش شدت جریان اکسایشی ندارد. از اینرو مدت زمان اعمال پالس ۲۰ میلی ثانیه به عنوان بهینه برای مطالعات بعدی مورد استفاده قرار گرفت.



شکل (۶۲-۲): نمودار حاصل از بررسی مدت زمان اعمال پالس در روش ولتمتری پالس تفاضلی برای اندازه گیری ۱۰٪ میکرومولار جم فیبروزیل در محلول بافر استاتی ۰/۰ مولار با pH=۴/۵ در سطح-MWCNT-PARS/GCE. سرعت روبش ۵۰ میلی ولت بر ثانیه، ارتفاع پالس ۷۰ میلی ولت.

جدول (۶۲-۲) نتایج به دست آمده از بهینه سازی پارامترهای موثر بر اکسایش جم فیبروزیل را در سطح MWCNT-PARS/GCE با روش بهینه سازی تک متغیره نشان می‌دهد.

جدول (۶۲-۲) نتایج به دست آمده از بهینه سازی پارامترهای موثر بر سیگنال تحریکهای اکسایش جم فیبروزیل ۱۰٪ میکرومولار در سطح MWCNT-PARS/GCE

پارامتر مورد بررسی	نوع یا مقدار بهینه
pH محیط	۴/۵
نوع بافر	استاتی
حجم بافر	۴/۰
مقدار (mg) MWCNT	۸/۰
مقدار (mg) ARS	۶/۰
تعداد چرخه تشکیل پلیمر	۵
سرعت روبش (mVs^{-1})	۵۰
ارتفاع پالس (mV)	۷۰
مدت زمان اعمال پالس (ms)	۲۰

۷-۷-۲ بررسی الکتروشیمیایی اکسایش جم فیبروزیل در سطح - MWCNT

PARS/GCE

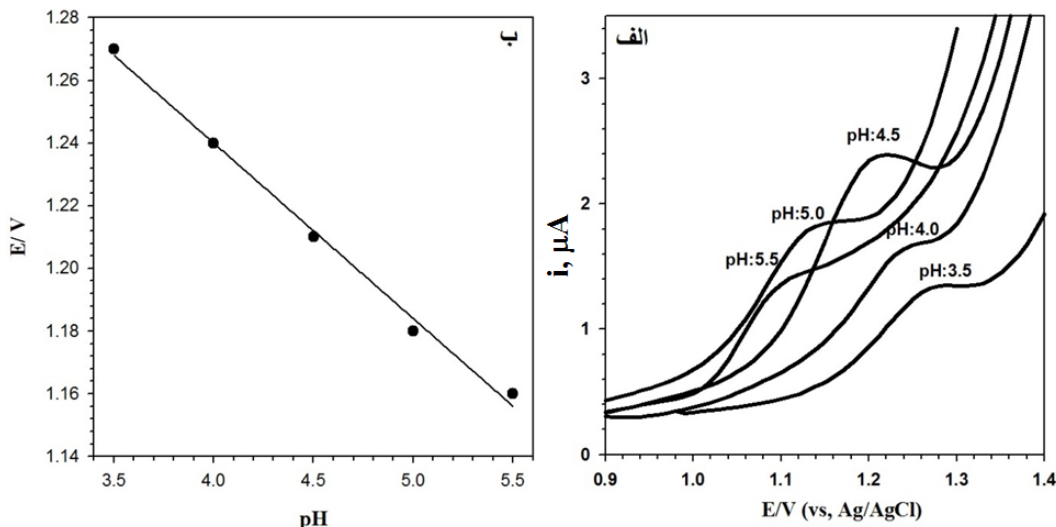
پس از بهینه سازی پارامترهای موثر بر اندازه‌گیری جم فیبروزیل، همانند بخش ۶-۲، تاثیر تغییر pH محیط و تغییر سرعت روش بر اکسایش الکتروشیمیایی این ترکیب در سطح الکترود MWCNT-PARS/GC مورد بررسی قرار گرفت.

۱-۷-۷-۲ بررسی تاثیر تغییر pH محیط بر اکسایش جم فیبروزیل
بررسی اکسایش جم فیبروزیل در pH های متفاوت به روش ولتاوتمتری تفاضلی صورت گرفت. شکل (۷۳-۲-الف) ولتاوگرامهای حاصله را در محلول استات در pH های مختلف ۵/۵-۳ نشان می دهد. نمودار تغییرات پتانسیل دماغه اکسایش جم فیبروزیل بر حسب تغییرات pH محیط، در شکل (۷۳-۲-ب) آمده است. همان‌طور که در شکل دیده می‌شود پتانسیل دماغه اکسایش جم فیبروزیل با تغییر pH محیط به‌طور خطی تغییر می‌کند.

معادله (۳۹-۲) بیانگر رابطه بین پتانسیل دماغه اکسایش جم فیبروزیل با تغییرات pH می‌باشد:

$$E(V) = 1/46 - 0/056 \text{ pH} \quad R^2 = 0.9937 \quad n=5 \quad (39-2)$$

همچنین در شکل (۷۳-۲-الف) مشاهده می‌شود که پتانسیل دماغه اکسایش جم فیبروزیل در سطح MWCNT-PARS/GCE با افزایش pH، به‌سمت مقادیر منفی جابجا شده است. همان‌طور که در بخش (۶-۲-۱) اشاره شد، این امر بیان می‌کند که پروتون در فرآیند اکسایش جم فیبروزیل نقش ایفا می‌کند. شب خطر به‌دست آمده، نشان دهنده‌ی برابری تعداد الکترون مبادله شده با تعداد پروتون دخیل در فرآیند اکسایش الکتروشیمیایی جم فیبروزیل در سطح این الکترود اصلاح شده می‌باشد. مکانیسم اکسایش جم فیبروزیل در بخش (۶-۲-۱) توضیح داده شده است.



شکل (۲-۷-۲): (الف) ولتاژ مولار جم فیبروزیل در سطح MWCNT-PARS/GCE در محلول بافر استاتی با pH های مختلف از ۳/۵ تا ۵/۵ سرعت روبش ۵۰ میلی ولت بر ثانیه، ارتفاع پالس ۷۰ میلی ولت، مدت زمان اعمال پالس ۲۰ میلی ثانیه. (ب) تغییرات پتانسیل دماغه اکسایش جم فیبروزیل را بر حسب pH نشان می دهد.

۲-۷-۷-۲ بررسی تاثیر تغییر سرعت روبش بر اکسایش جم فیبروزیل به کمک ولتاوگرام چرخه‌ای

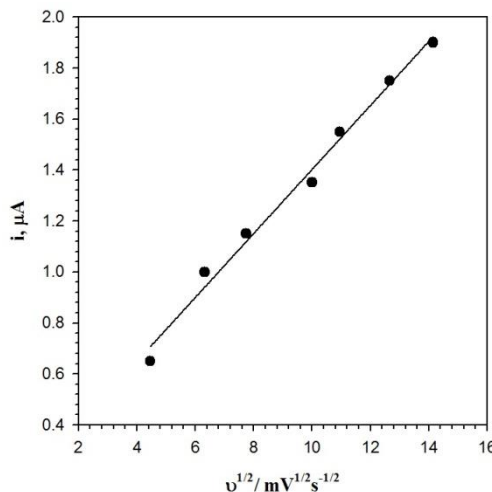
به منظور درک این مسئله که اکسایش جم فیبروزیل در سطح MWCNT-PARS/GCE

تحت کنترل نفوذ اتفاق می افتد یا واکنش های کنترل شده با سطح، ولتاوگرام های چرخه‌ای در محلول بافر استاتی pH=۴/۵ حاوی ۲۰/۰ میکرومولار جم فیبروزیل با استفاده از الکترود MWCNT-PARS/GCE در سرعت های روبش مختلف در گستره ۲۰۰ میلی ولت بر ثانیه ثبت شد. شکل (۲-۷-۴) نشان می دهد که تغییرات شدت جریان الکترو اکسایش جم فیبروزیل در سطح الکترود اصلاح شده بر حسب جذر سرعت روبش پتانسیل خطی است. بر این اساس می توان نتیجه گرفت، فرآیند اکسایش جم فیبروزیل در سطح الکترود MWCNT-PARS/GC تحت کنترل انتشار است.

معادله (۲-۷-۴) رابطه خطی بین جریان دماغه آندی مربوط به اکسایش با جذر سرعت

روبش پتانسیل را نشان می دهد:

$$I_p(\mu A) = 0.125 V^{1/2} \left(mV^{1/2} s^{-1/2} \right) + 0.146 (\mu A) \quad R^2 = 0.9894 \quad (40-2)$$



شکل (۷۴-۲): نمودار تغییرات شدت جریان دماغه اکسایش $10/0$ میکرومولار جم فیبروزیل در محلول بافر استاتی $0/0$ مولار با $pH = 4/5$ بر حسب جذر سرعت روبش پتانسیل در محدوده 200 تا 2000 میلی ولت بر ثانیه به روش ولتاوگرام چرخهای در سطح MWCNT-PARS/GCE

از سوی دیگر، برای درک بهتر رفتار الکتروشیمیایی جم فیبروزیل در سطح الکترود اصلاح شده MWCNT-PARS/GCE، به بررسی اثر تغییر سرعت روبش پتانسیل پرداخته شد.

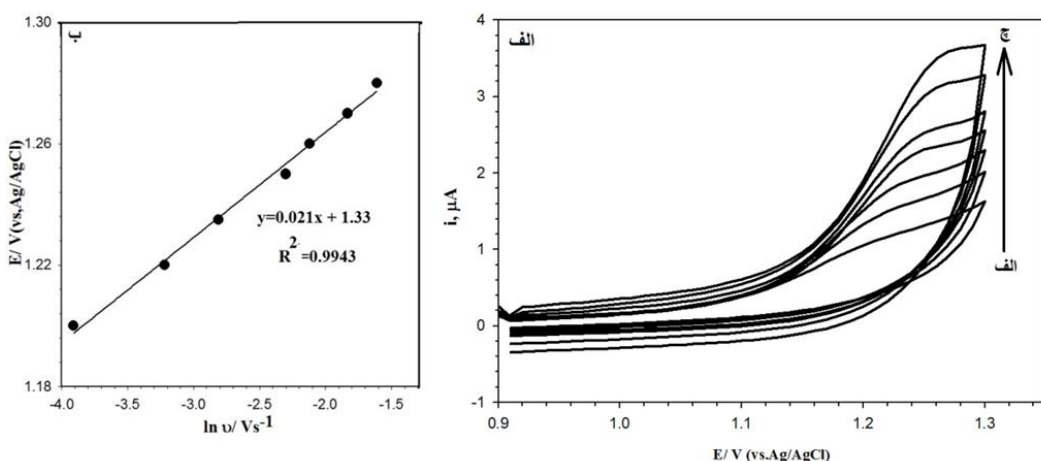
شکل (۷۵-۲-الف) ولتاوگرام‌های به دست آمده ناشی از تغییر سرعت روبش در گستره 20 تا 200 میلی ولت بر ثانیه را نشان می‌دهد.

داده‌های به دست آمده از ولتاوگرام‌های چرخهای در شکل (۷۵-۲-ب) نشان می‌دهد که نمودار تغییرات پتانسیل دماغه آندي نسبت به لگاریتم طبیعی سرعت روبش پتانسیل خطی بوده و در نتیجه امکان تعیین ضریب انتقال (α) و ثابت سرعت انتقال بار ناهمگن (k_0) با استفاده از تئوری لاویرون (معادله ۶-۲) فراهم می‌باشد [۶۸]. محاسبات طبق معادلات ارائه شده در بخش (۷-۴-۲) انجام شد.

$$\text{شیب} = \frac{RT}{2(1-\alpha)nF} = S \quad (41-2)$$

$$E_0' + \frac{1}{56S} + S \ln \frac{1}{2S} + 2S \ln \frac{D^{1/2}}{k_0} = \text{عرض از مبدا} \quad (42-2)$$

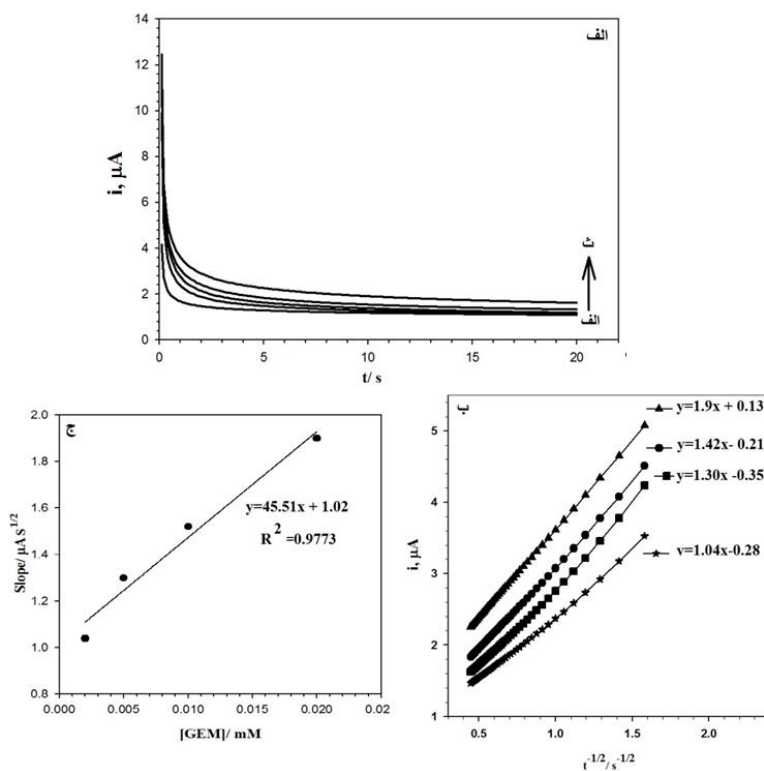
با توجه به شیب نمودار در شکل (۷۵-۲-ب) و قرار دادن آن در معادله مربوط به شیب نمودار لاویرون (معادله ۴۱-۲)، مقدار ضریب انتقال الکترون در سطح الکترود MWCNT-PARS/GC برابر $70 \cdot 0$ محاسبه شد ($n=2$). همچنین با استفاده از عرض از مبدا نمودار در شکل (۷۵-۲-ب) و با دانستن مقدار $V = 1/27 \times 10^{-5} \text{ cm}^2 \text{s}^{-1}$ و $E_0' = 1/28 \text{ V}$ مقدار ثابت سرعت انتقال بار ناهمگن (k_0) در سطح این الکترود اصلاح شده برابر با 0.01 cm s^{-1} محاسبه گردید. لازم به توضیح است که برای یافتن مقدار E_0' باید نمودار پتانسیل دماغه اکسایش بر حسب سرعت روبش رسم شود که با رسم این نمودار خطی به معادله $E(V) = 0.437(Vs^{-1}) + 1/28(V)$ حاصل می‌شود که عرض از مبدا این نمودار مقدار E_0' را در اختیار قرار می‌دهد. ضریب نفوذ نیز از مطالعات کرونوامپرومتری (بخش ۸-۷-۲) محاسبه شده است.



شکل (۷۵-۲): (الف) ولتاژوگرام‌های چرخه‌ای در سطح MWCNT-PARS/GCE در محلول باfer استاتی $0.1M$ مولار با $pH=4.5$ دارای $20, 40, 60, 100, 120, 160$ و 200 میکرومولار جم فیبروزیل در سرعت روبش‌های مختلف: (الف تا چ) مربوط به سرعت‌های روبش $20, 40, 60, 100, 120, 160$ و 200 میلی ولت برثانیه می‌باشند. (ب) نمودار تغییرات پتانسیل دماغه اکسایش جم فیبروزیل بر حسب لگاریتم طبیعی سرعت روبش پتانسیل.

۸-۷-۲ مطالعات کرونوآمپرومتری

کرونوآمپرومتری شامل تغییر لحظه‌ای پتانسیل الکترود کار، از مقداری که در آن واکنش فارادایی رخ نمی‌دهد به پتانسیلی است که در آن غلظت سطحی گونه الکتروفعال به طور موثر برابر با صفر می‌گردد. الکترود کار ساکن، بدون هم زدن محلول در کرونوآمپرومتری مورد استفاده قرار می‌گیرد و وابستگی جریان حاصل نسبت به زمان پیگیری می‌شود. به این منظور، در این مطالعه تحقیقاتی پس از تهیه الکترود MWCNT-PARS/GC، الکترود در محلول بافر استاتی با غلظت‌های مختلف جم فیبروزیل از محدوده ۲۰/۰ تا ۲۰/۰ میکرومولار قرار داده شد. سپس کرونوآمپروگرام تک پله‌ای، با اعمال پتانسیل ۱/۴۰ ولت نسبت به الکترود مرجع نقره/نقره کلرید به مدت ۲۰ ثانیه ثبت شد (شکل ۷۶-۲-الف).



شکل (۷۶-۲): (الف) کرونوآمپروگرام‌های MWCNT-PARS/GCE در محلول بافر استات با pH=۴/۵ حاوی غلظت‌های متفاوتی از جم فیبروزیل: (الف) غیاب، (ب) ۰/۰۰، (پ) ۰/۰۵، (ت) ۰/۰۱۰ و (ث) ۰/۰۲۰ میکرومولا. پله پتانسیل آندی برابر با ۱/۴۰ ولت نسبت به الکترود شاهد می‌باشد. (ب) نمودار تغییرات $t^{-1/2}$ - I - I₀، مربوط به کرونوآمپروگرام‌های (ب-ث) قسمت (الف) است. (ج) نمودار شب خطوط $t^{-1/2}$ - I - I₀ بر حسب غلظت جم فیبروزیل.

کرونوآمپروگرام‌های به دست آمده نشان می‌دهند که با افزایش غلظت جم فیبروزیل،

شدت جریان اکسایش آن نیز افزایش می‌یابد و همچنین برای هر غلظت مورد بررسی، این شدت جریان به طور نمایی با زمان کاهش می‌یابد. با استفاده از نمودارهای کرونوآمپرومتری و معادله کاترل (معادله ۶-۱) ضریب انتشار جم فیبروزیل در محلول آزمایشی تعیین شد. شکل (۷۶-۲-ب)، تغییرات $t^{-1/2}$ - I را برای غلظت‌های متفاوت از جم فیبروزیل نشان می‌دهد و شکل (۷۶-۲-ج)، تغییرات شیب این خطوط ($t^{-1/2}$ - I) بر حسب غلظت جم فیبروزیل رسم شده است. از روی شیب نمودار حاصل، مقدار $1/27 \times 10^5$ سانتی‌مترمربع بر ثانیه برای ضریب انتشار جم فیبروزیل در سطح این الکترود اصلاح شده محاسبه شد.

۹-۷-۲ بررسی پارامترهای تجزیه‌ای حسگر در اندازه‌گیری جم فیبروزیل
 بررسی و اعتبارسنجی روش‌های تجزیه‌ای راه‌کار مناسبی برای تشخیص مناسب بودن روش تجزیه‌ای به کار گرفته شده در اندازه‌گیری ترکیب مورد نظر می‌باشد. مشخصه‌های اعتبارسنجی روش معمولاً عبارتند از: ناحیه خطی، حد تشخیص، دقیق (تکرارپذیری و تکثیرپذیری)، صحت، گزینش پذیری و پایداری. همه این موارد در این مطالعه تحقیقاتی مورد بررسی قرار گرفته و در ادامه نتایج آن ارائه شده است.

۱-۹-۷-۲ منحنی کالیبراسیون و تعیین ناحیه خطی روش
 رسم منحنی کالیبراسیون و تعیین ناحیه خطی جم فیبروزیل توسط الکترود اصلاح شده به روش ولتاوی تفاضلی انجام شد. روش کار کلی به این صورت انجام شد که مقدار مشخصی از محلول استاندارد جم فیبروزیل در ناحیه غلظتی ۱/۰۰ تا ۳۵/۰۰ میکرو مولار به سل الکتروشیمیایی منتقل شد و pH محیط با افزودن ۴/۰ میلی لیتر بافر استاتی $pH=4/5$ تنظیم شد. سپس حجم محلول موجود در سل به کمک آب دو بار تقطیر به ۱۰/۰ میلی لیتر رسانده شد. پس از آن، الکترودها در سل قرار داده شدند. روبش پتانسیل توسط تکنیک ولتاوی تفاضلی در گستره $+1/30$ تا $+0/90$ ولت و با سرعت روبش ۵۰ میلی ولت بر ثانیه انجام شد (ارتفاع پالس ۷۰/۰ میلی ولت، مدت زمان اعمال پالس ۲۰/۰ میلی ثانیه). برای از بین بردن اثر

حافظه جم فیبروزیل جذب سطحی شده روی سطح الکترود اصلاح شده بعد از هر اندازه‌گیری، پنج روبش متوالی در محدوده $4/5 \text{ pH} \pm 1/30$ تا $90/100$ در محلول بافر استاتی به دست آمد. هر روبش سه بار تکرار شد و میانگین جریان اکسایش جم فیبروزیل در پتانسیل $1/21$ ولت به دست آمد. محلول بافر استاتی $4/5 \text{ pH}$ بدون حضور جم فیبروزیل برای ثبت سیگنال شاهد مورد استفاده قرار گرفت. اختلاف بین شدت جریان اکسایش جم فیبروزیل و شاهد در پتانسیل $1/21$ ولت به عنوان سیگنال تجزیه‌ای در منحنی کالیبراسیون مورد استفاده قرار گرفت. لازم به ذکر است که تمامی آزمایش‌ها در دمای اتاق انجام شد. رابطه بین شدت جریان دماغه آندی و غلظت جم فیبروزیل با به کار گیری تکنیک ولتامتری پالس تفاضلی در شرایط بهینه مورد مطالعه قرار گرفت. شکل (۷۷-۲) ولتاوگرام‌های پالس تفاضلی ثبت شده در غلظت‌های مختلف جم فیبروزیل را با استفاده از الکترود MWCNT-PARS/GC، نشان می‌دهد. همان‌طور که مشاهده می‌شود، با افزایش غلظت جم فیبروزیل از $1/100$ تا $22/100$ میکرومولار، جریان اکسایش در ولتاوگرام پالس تفاضلی به طور خطی افزایش می‌یابد. نتایج حاصل در شکل (۲-۶۳) و جدول (۶۳-۲) ارائه شده است.

معادله منحنی کالیبراسیون با معادله (۴۳-۲) قبل توصیف است:

$$I_P (\mu\text{A}) = 0/145 C_{GEM} (\mu\text{mol L}^{-1}) + 1/0.9 (\mu\text{A}) \quad R^2 = 0/99.06 \quad (43-2)$$

حد تشخیص به دست آمده برای جم فیبروزیل با به کار گیری روش ولتامتری پالس تفاضلی به کمک رابطه (۱۲-۲) محاسبه شد.

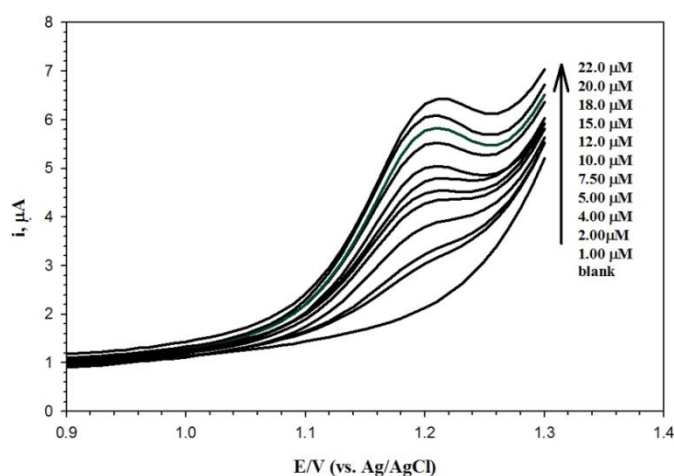
در این مطالعه، برای محاسبه انحراف استاندارد شاهد، هفت اندازه‌گیری در محلول بافر استاتی $4/5 \text{ pH}$ ، صورت گرفت که انحراف استاندارد این اندازه‌گیری‌ها $117 \mu\text{A}$ به دست آمد. با استفاده از شیب منحنی کالیبراسیون ($m = 0/145 \frac{\mu\text{A}}{\mu\text{mol L}^{-1}}$) و بر مبنای سه برابر انحراف

استاندارد در سطح الکترود اصلاح شده، حد تشخیص اندازه‌گیری جم فیبروزیل با کمک تکنیک ولتامتری پالس تفاضلی برابر 240 میکرومولار محاسبه شد.

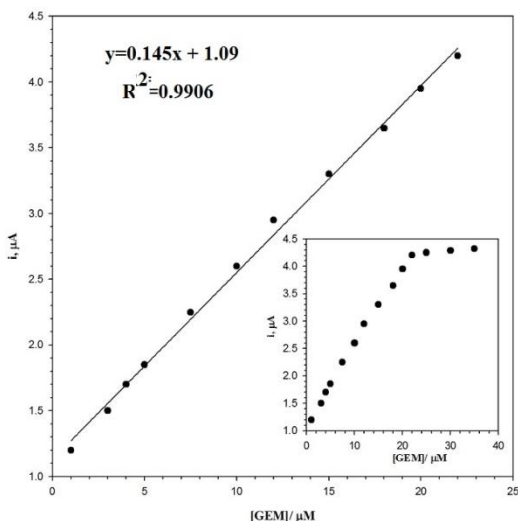
جدول (۶۳-۲) اطلاعات مربوط به منحنی‌های کالیبراسیون در ناحیه خطی $1/100$ تا $22/00$ میکرومولار جم فیبروزیل در بافر استاتی $0/10$ مولار $\text{pH}=4/5$ در سطح MWCNT-PARS/GCE با روش ولتامتری پالس تفاضلی

غلظت جم فیبروزیل $\pm \text{SD}$ (μA)	غلظت جم فیبروزیل $\pm \text{SD}$ ($\mu\text{mol L}^{-1}$)	غلظت جم فیبروزیل $\pm \text{SD}$ (μA)	غلظت جم فیبروزیل $\pm \text{SD}$ ($\mu\text{mol L}^{-1}$)
$3/30 \pm 0/30$	$15/00$	$1/15 \pm 0/11$	$1/00$
$3/65 \pm 0/32$	$18/00$	$1/30 \pm 0/13$	$2/00$
$3/95 \pm 0/28$	$20/00$	$1/50 \pm 0/15$	$3/00$
$4/20 \pm 0/30$	$22/00$	$1/80 \pm 0/20$	$4/00$
$4/25 \pm 0/32$	$25/00$	$1/95 \pm 0/17$	$5/00$
$4/29 \pm 0/30$	$30/00$	$2/25 \pm 0/21$	$7/50$
$4/32 \pm 0/30$	$35/00$	$2/65 \pm 0/19$	$10/00$
-	-	$2/95 \pm 0/24$	$12/00$

*میانگین سه اندازه‌گیری



شکل (۷۷-۲): ولتاموگرام‌های پالس تفاضلی جم فیبروزیل در محلول باfer استات با $\text{pH}=4/5$ در سطح الکترود MWCNT-PARS/GC در غلظت‌های مختلف. سرعت روبش $50 \text{ میلی ولت بر ثانیه}$ ، ارتفاع پالس 70 میلی ولت و مدت زمان اعمال پالس 20 میلی ثانیه .



شکل (۷۸-۲): نمودار تغییرات شدت جریان اکسایش بر حسب غلظت جم فیبروزیل در محدوده ۱/۰ تا ۲۲/۰ میکرومولار در بافر استاتی ۱۰/۰ مولار با pH=۴/۵ به کمک ولتامتری پالس تفاضلی. سرعت روش ۵۰ میلی ولت بر ثانیه، ارتفاع پالس ۷۰ میلی ولت و مدت زمان اعمال پالس ۲۰ میلی ثانیه.

۲-۹-۷-۲ بررسی تکرارپذیری و تکثیرپذیری

به منظور اطمینان از تکرارپذیری و تکثیرپذیری الکترودهای ساخته شده، اکسایش

الکتروشیمیایی جم فیبروزیل در سطح MWCNT-PARS/GCE، توسط سه الکترود مختلف (ساخته شده در سه روز متفاوت) با استفاده از تکنیک ولتامتری پالس تفاضلی مورد مطالعه قرار گرفت. با هر یک از الکترودهای ساخته شده ۶ اندازه‌گیری تکراری انجام شد. نتایج به دست آمده در جدول (۶۴-۲) گزارش شده‌است. نتایج به دست آمده، به صورت آماری با کمک روش تحلیل واریانس در سطح اطمینان ۹۵٪ مورد بررسی قرار گرفت (جدول ۶۵-۲). برای اساس مقدار F محاسبه شده ($F_{cal} = ۰/۰۷$) کوچکتر از مقدار F بحرانی ($F_{tab} = ۴/۷۶$) برای آزمون دو طرفه به دست آمد. این نتیجه نشانگر دقیقیت الکترودهای ساخته شده در روزهای مختلف است.

جدول (۶۴-۲) نتایج تکرارپذیری الکترودهای MWCNT-PARS/GCE مختلف برای اندازه‌گیری جم فیبروزیل ۱۰/۰ میکرومولار در بافر استاتی pH=۴/۵ توسط تکنیک ولتامتری پالس تفاضلی

میانگین \pm SD**

$۲/۵۷ \pm ۰/۳۳$	الکترود اول-روز اول
$۲/۵۰ \pm ۰/۳۱$	الکترود دوم-روز دوم
$۲/۶۰ \pm ۰/۴۱$	الکترود سوم-روز سوم

* میانگین شش اندازه‌گیری ** انحراف استاندارد شش اندازه‌گیری تکراری

جدول (۶۵-۲) تحلیل واریانس داده‌های مربوط به اندازه‌گیری جم فیبروزیل توسط الکترودهای مختلف در روزهای مختلف توسط روش ولتامتری پالس تفاضلی

منبع تغییرات	DF	SS _{Adj}	MS _{Adj}	F- value	F-table
بین گروه‌ها	۲	۰/۰۱۸	۰/۰۰۹۰	۰/۰۷	۴/۷۶
درون گروه	۱۵	۱/۹۱۲	۰/۱۲۷۰		
کل	۱۷	۱/۹۲۹			

۳-۹-۷-۲ بررسی دقت و صحت روش

بررسی دقت و صحت، از طریق اندازه‌گیری جم فیبروزیل توسط MWCNT-PARS/GCE در غلظت‌های ۲۰۰، ۱۲۰ و ۲۰ میکرو مولار و در محلول بافر استاتی با pH=۴,۵، با به کار گیری روش ولتامتری پالس تفاضلی انجام شد. به این منظور پنج اندازه‌گیری تکراری از محلول‌های مورد نظر در شرایط کالیبراسیون انجام و ولتاوموگرام‌ها مربوطه ثبت شد. سپس غلظت مربوط به میانگین سیگنال‌های تجزیه‌ای با استفاده از معادله منحنی کالیبراسیون محاسبه شد. نتایج به دست آمده در جدول (۶۶-۲) گزارش شده است بررسی آزمون t نشان می‌دهد که بین مقدار جم فیبروزیل اندازه‌گیری شده و مقدار واقعی جم فیبروزیل موجود در محلول، اختلاف معناداری وجود نداشته و روش از صحت خوبی برخوردار است. صحت مناسب روش از درصد بازیابی و درصد خطای نسبی نیز قابل نتیجه‌گیری است. همچنین با دانستن مقادیر انحراف استاندارد و میانگین در هر غلظت اندازه‌گیری شده، می‌توان مقادیر RSD را محاسبه نمود و به دقت روش پی برد. مقادیر RSD محاسبه شده دقت خوب روش‌های به کار گرفته شده را تایید می‌کند.

جدول (۶۶-۲) نتایج دقت و صحت روش برای اندازه‌گیری ولتاوی میزان پالس تفاضلی محلول استاندارد جم

pH=۴/۵ فیبروزیل در سطح MWCNT-PARS/GCE در محلول باfer استاتی ۰/۱۰ مولار با

%RE***	مقدار محاسبه شده [*]	مقدار محسوب شده [†]	SD	GEM ($\mu\text{mol L}^{-1}$) ($\mu\text{mol L}^{-1}$)
-۵/۰	۹۵/۰	۲/۲۳	۱/۹۰±۰/۱۰	۲/۰۰
-۲/۶۷	۱۰۲/۷	۱/۹۳	۱۲/۳۲±۰/۳۷	۱۲/۰۰
-۱/۹	۹۸/۱	۲/۴۲	۱۹/۶۲±۰/۳۵	۲۰/۰۰

* میانگین پنج اندازه‌گیری

** مقدار t بحرانی در سطح اطمینان ۹۵٪ برای پنج اندازه‌گیری، ۲/۷۷ می‌باشد

*** درصد خطای نسبی

۴-۹-۷-۲ بررسی پایداری الکترود MWCNT-PARS/GCE

از روش ولتاوی چرخه‌ای برای بررسی میزان پایداری الکترود کربن شیشه اصلاح شده

با MWCNT-PARS استفاده گردید و اثر روش‌های متوالی بر رفتار الکتروشیمیایی آن مورد

بررسی قرار گرفت. به این منظور، پس از تهیه الکترود اندازه‌گیری در محلول باfer استات

-۷-۲ pH=۴/۵ حاوی جم فیبروزیل با غلظت ۲۰/۰ میکرومولار طبق روش ارائه شده در بخش

۹-۱، انجام شد. سپس الکترود در محلول شاهد قرار داده شد و با به کارگیری ولتاوی

چرخه‌ای ۵۰ روش متوالی در گستره ۰/۹۰ +۰/۳۰ تا ۰/۱۰ + ولت با سرعت روش ۱۰۰ میلی ولت بر

ثانیه انجام شد. پس از آن الکترود در محلول باfer استاتی ۰/۱۰ مولار با pH=۴/۵ حاوی جم

فیبروزیل با غلظت ۲۰/۰ میکرومولار قرار گرفت و اندازه‌گیری مطابق شرایط بهینه انجام شد.

نتایج حاکی از آن است که جریان دماغه آندی اکسایش جم فیبروزیل بعد از ۵۰ روش متوالی

در باfer استاتی، کمتر از ۷ درصد کاهش نشان داد در حالیکه پتانسیل اکسایش تقریباً ثابت باقی

ماند. این نتایج حاکی از پایداری خوب حسگر تهیه شده می‌باشد. همچنین پس از نگهداری

الکترود MWCNT-PARS/GC به مدت یک هفته در محلول باfer استاتی ۰/۱۰ مولار با

pH=۴/۵، پاسخ الکترودی آن نسبت به اکسایش جم فیبروزیل به ۸۰ درصد الکترود تازه تهیه

شدہ رسید.

۵-۹-۷-۲ بررسی اثر مزاحمت برخی از ترکیبات در اندازه‌گیری ولتاوتری جم فیبروزیل در سطح الکترود اصلاح شده با فیلم MWCNT-PARS

در این بخش تاثیر حضور گونه‌های آزمایشی مختلف بر شدت جریان دماغه آندی جم فیبروزیل مورد مطالعه و بررسی قرار گرفت (جدول ۶۷-۲). به این منظور، پنج اندازه‌گیری تکراری جم فیبروزیل با غلظت $\mu\text{g/mL}$ $2/50$ (معادل $10/0$ میکرو مولار) در سطح MWCNT-PARS/GCE انجام شد. میانگین (\bar{x}) و انحراف استاندارد (S) سیگنال‌های تجزیه‌ای (در غیاب گونه مزاحم) در پتانسیل $1/21$ ولت محاسبه شد. سپس مخلوط گونه مزاحم و جم فیبروزیل به سل الکتروشیمیایی افزوده شد و ولتاوگرام پالس تفاضلی در محدوده $90/0$ تا $+1/30$ ولت ثبت شد (سرعت روبش 50 میلی ولت بر ثانیه، ارتفاع پالس 70 mV و مدت زمان اعمال پالس 20 میلی ثانیه). هر روبش سه بار تکرار شد و میانگین جریان اکسایش جم فیبروزیل در حضور گونه مزاحم به دست آمد. اگر شدت جریان سیگنال تجزیه‌ای در این حالت، در محدوده $(\bar{x} \pm 3S)$ باشد به این معناست که ترکیب مورد نظر با نسبت موجود، مزاحم نیست؛ در غیر اینصورت نسبت گونه مزاحم به جم فیبروزیل کاهش می‌یافتد تا مزاحمت مشاهده نشود. همانگونه که در جدول (۶۷-۲) مشاهده می‌شود، حضور گونه‌هایی، نظیر: $\text{L}-\text{Alanine}$, گلوکز، لاکتوز، سیتریک اسید، تارتاریک اسید و ویتامین B_9 تاثیر قابل ملاحظه‌ای بر شدت جریان دماغه اکسایش جم فیبروزیل نداشته‌اند، اما حضور گونه‌هایی، نظیر تیو اوره، ویتامین B_6 ، متیونین در اندازه‌گیری جم فیبروزیل مزاحمت ایجاد می‌کنند. از آنجاییکه پتانسیل اکسایش ترکیباتی نظیر وراپامیل، لوزارتان و آتروواستاتین در این pH نزدیک به پتانسیل اکسایش جم فیبروزیل است، حضور این ترکیبات در غلظت‌های بالاتر از مقادیر ذکر شده منجر به افزایش شدت جریان اکسایش جم فیبروزیل می‌شود.

جدول (۶۷-۲) بررسی تاثیر حضور گونه‌های آزمایشی مختلف بر شدت جریان دماغه آندی جم فیبروزیل در سطح الکترود MWCNT-PARS/GC در بافر استاتی ۱۰٪ مولار با pH=۴/۵ (µg/mL)	
گونه‌های مورد بررسی	حد مجاز غلظت گونه مزاحم به غلظت جم فیبروزیل *
۵۰۰	K ⁺ , Ca ²⁺ -L-آلانین، سیتریک اسید، اوره Ni ²⁺ Ba ²⁺ , Mg ²⁺ , Cu ²⁺ , Cr ⁶⁺ , Zn ²⁺ , NH ₄ ⁺ , HCO ₃ ⁻ , BrO ₃ ⁻ , ClO ₃ ⁻ , Na ⁺
۲۵۰	NO ₃ ⁻ , گلوکز، لاکتوز، تارتاریک اسید
۵۰	ویتامین B ₁ , ویتامین B _{۱۲} .
۲۵	دوپامین، استامینوفن، اوریک اسید، ترامادول
۵	تیواوره، ویتامین E، متیونین، وراپامیل، آترواستاتین، لوزارتان

* حداقل نسبت اندازه گیری شده

۶-۹-۷-۲ به کار گیری روش ولتامتری پالس تفاضلی برای اندازه گیری جم فیبروزیل در نمونه های حقیقی

به منظور ارزیابی کارایی الکترود تهیه شده برای اندازه گیری جم فیبروزیل در نمونه های حقیقی، از نمونه کپسول جم فیبروزیل، آب شهر و سرم خون انسان مورد استفاده شد.

کارایی الکترود اصلاح شده روش ولتامتری پالس تفاضلی برای اندازه گیری جم فیبروزیل در نمونه های حقیقی مانند آب شهر، کپسول جم فیبروزیل و سرم خون انسان مورد بررسی قرار گرفت. اندازه گیری این ترکیب در نمونه دارویی کپسول بدین ترتیب انجام شد که سه کپسول جم فیبروزیل که هر یک حاوی ۳۰۰/۰ میلی گرم جم فیبروزیل است، وزن و به خوبی با هم مخلوط شد. سپس مقدار یک ششم از پودر مخلوط شده در مقدار کافی متابول حل شد. سپس محلول به دست آمده به بالن حجمی ۵۰۰/۰ میلی لیتر منتقل و با آب دو بار تقطیر به حجم رسانده شد (کلیه رقیق سازی ها پس از این مرحله با استفاده از آب دو بار تقطیر انجام شد). رقیق سازی بیشتر از طریق انتقال ۱۰/۰ میلی لیتر از این محلول به بالن ۱۰۰/۰ میلی لیتری انجام شد. در هر مرحله ۱/۰ میلی لیتر از این نمونه به سل الکتروشیمیایی (با حجم ۱۰/۰ میلی لیتر) منتقل شد. سپس، با افزودن حجم های مشخص و متفاوتی از نمونه استاندارد جم

فیبروزیل به محلول فوق، اندازه‌گیری به روش ذکر شده در بخش ۱-۶-۷-۲ صورت گرفت.

نمونه آب شهر و سرم نیز طبق روش توضیح داده شده در بخش ۲-۴-۶-۸-۲ تهیه شدند. روش اندازه‌گیری نمونه‌ها مشابه روش به کار گرفته شده برای نمونه کپسول بوده است. هر کدام از اندازه‌گیری‌ها سه بار تکرار شد و از منحنی کالیبراسیون برای تعیین غلظت جم فیبروزیل در نمونه‌های حقیقی مورد نظر استفاده شد. مقادیر t^* و درصد بازیابی‌ها نشانگر صحت خوب روش ولتاوی پالس تفاضلی برای اندازه‌گیری جم فیبروزیل می‌باشد. نتایج به دست آمده در جدول (۶۸-۲) گزارش شده است.

جدول (۶۸-۲) نتایج حاصل از اندازه‌گیری ولتاوی پالس تفاضلی برای جم فیبروزیل در سطح الکترود MWCNT-PARS/GC در نمونه‌های آب شهر، سرم و کپسول ($n=3$) با روش ولتاوی پالس تفاضلی

نمونه	مقدار اضافه شده ($\mu\text{mol L}^{-1}$)	مقدار محاسبه شده اندازه‌گیری شده ($\mu\text{mol L}^{-1}$)	SD	مقدار اضافه شده t^*	درصد بازیابی
آب شهر		مشاهده نشد			----
۱۰۳/۳	۱/۷۳	۳/۱±۰/۱		۳/۰	
۱۰۲/۰	۰/۴۳	۵/۱±۰/۴		۵/۰	
۹۸/۷	۰/۴۳	۷/۴±۰/۴		۷/۵	
----	----	مشاهده نشد			
سرم					
۹۶/۰	۳/۴۶	۹/۶±۰/۲		۱۰/۰	
۱۰۵/۰	۱/۴۸	۱۲/۶±۰/۷		۱۲/۰	
۱۰۱/۰	۰/۳۵	۲۰/۲±۱/۰		۲۰/۰	
----	----	۱۲/۳±۰/۲			
کپسول**					
۹۵/۰	۱/۱۵	۱۵/۱±۰/۳		۳/۰۰	
۱۰۶/۷	۲/۳۱	۱۸/۷±۰/۳		۶/۰۰	
۹۵/۵	۰/۸۷	۲۰/۹±۰/۸		۹/۰۰	
----	----	مشاهده نشد			
مقدار بروجسب روی کپسول (mg)	مقدار اندازه‌گیری شده (mg)				
۳۰۰/۰	۳۰۷/۵±۵/۰				

با توجه به داده‌های جدول مشاهده می‌گردد که مقادیر خوبی برای درصدهای بازیابی به دست

آمده است که نشان دهنده توانایی این الکترود اصلاح شده برای اندازه‌گیری ولتاوری این گونه آزمایشی در نمونه‌های حقیقی می‌باشد. همان‌گونه که در جدول (۶۸-۲) مشاهده می‌شود، مقدار جم فیبروزیل در نمونه کپسول به روش ولتاوری پالس تفاضلی در سطح- MWCNT PARS/GCE محاسبه گردید که توافق خوبی با مقدار مشخص شده در برچسب آن‌ها توسط کارخانه سازنده دارد.

۱۰-۷-۲ نتیجه گیری

در این بخش، سطح الکترود کربن شیشه‌ای با استفاده از فیلم MWCNT-PARS اصلاح شد. رفتار الکترو شیمیایی جم فیبروزیل روی سطح این الکترود اصلاح شده توسط ولتاوری چرخه‌ای و پالس تفاضلی بررسی شد. نتایج به دست آمده نشانگر افزایش شدت جریان دماغه اکسایش جم فیبروزیل در سطح الکترود اصلاح شده با MWCNT-PARS نسبت به الکترود اصلاح شده با PARS و الکترود اصلاح نشده می‌باشد. پارامترهای سینتیکی نظیر ثابت سرعت انتقال بار ناهمگن و ضریب انتقال الکترون گونه مورد نظر تعیین شد.

الکترود اصلاح شده از گزینش‌پذیری و تکرارپذیری بالایی برخوردار است. این مزایا به همراه راحتی تهیه الکترود و عدم نیاز به صیقل دادن سطح، امکان استفاده از این سیستم را به عنوان یک حسگر ولتاوری و مناسب، فراهم می‌سازد. درنهایت، الکترود اصلاح شده به کمک روش پیشنهادی برای اندازه‌گیری ولتاوری جم فیبروزیل در نمونه‌های حقیقی به کار گرفته شد. نتایج به دست آمده کارایی حسگر پیشنهادی را برای اندازه‌گیری این ترکیب در نمونه‌های حقیقی تایید می‌کند.

چنان‌که در بخش ۱۱-۶ اشاره شد، تنها یک مطالعه الکتروشیمیایی مربوط به اندازه‌گیری جم فیبروزیل گزارش شده است (جدول ۶۹-۲). مقایسه حسگر تهیه شده در این مطالعه با

گزارش قبلی نشان می‌دهد که حسگر پیشنهادی علی‌رغم روش تهیه آسان و سریع دارای حد تشخیص بالاتر و گستره خطی محدودتری است.

جدول (۶۹-۲) الکترودهای کربن شیشه اصلاح شده مختلف برای اندازه‌گیری جم فیبروزیل

روش اندازه‌گیری	نوع اصلاحگر	ناحیه خطی (مولار)	حد تشخیص	مرجع
ولتامتری موج مربعی	نانو لوله‌های کربنی حاوی فیلم دی هگزادسیل هیدروژن فسفات	$75/0 \times 10^{-9}$ - $1/0 \times 10^{-6}$	$53/0 \times 10^{-9}$	[۱۶۶]
ولتامتری پالس تفاضلی	فیلم پلی آلیزارین قرمز/نانو لوله‌های کربنی	$22/0 \times 10^{-6}$ - $1/0 \times 10^{-4}$	$2/40 \times 10^{-7}$	تحقيق حاضر

فصل سوم-نتیجه گیری

نتیجه‌گیری کلی

در این کار تحقیقاتی، محور مطالعات بر اساس تهیه الکترودهای اصلاح شده حساس و گزینش‌پذیر برای اندازه‌گیری برخی از ترکیبات دارویی نظیر وراپامیل، دوپامین و جم فیروزیل بوده است. در این راستا، بستر الکترود کربن شیشه برای ثبیت اصلاح‌گرهايی نظیر نانولوله‌های کربنی چند دیواره، نانو ذرات طلا و پلی آلیزارین قرمز مورد استفاده قرار گرفت. در حالیکه اصلاح توده الکترود خمیر کربن به کمک متیل تیوراسیل انجام شد.

در گام اول این مطالعات، الکترود کربن شیشه‌ای اصلاح شده با نانو لوله‌های کربنی چند دیواره تهیه شد. ریخت شناسی سطح الکترود به کمک میکروسکوپ الکترونی روبشی مورد مطالعه قرار گرفت و مساحت سطح الکترودهای اصلاح شده و اصلاح نشده به کمک روش ولتاوری چرخه‌ای در سرعت روبش‌های مختلف بررسی شد. نتایج به دست آمده نشان داد که نانو لوله‌های کربنی چند دیواره موجب افزایش سطح الکتروفعال الکترود شده است. در این مطالعه الکترواکسایش وراپامیل در سطح الکترود کربن شیشه‌ای اصلاح شده با نانو لوله‌های کربنی به روش‌های مختلف الکتروشیمیایی نظیر ولتاوری چرخه‌ای و ولتاوری پالس تفاضلی مورد بررسی قرار گرفت و نتایج نشان داد که حضور نانو لوله‌های کربنی چند دیواره روی سطح الکترود کربن شیشه‌ای باعث افزایش حساسیت تجزیه‌ای برای اندازه‌گیری ولتاوری این ترکیب شده است. در بخشی از این مطالعه تاثیر سرعت روبش پتانسیل بر رفتار الکتروشیمیایی وراپامیل بررسی و مشخص شد که فرایند اکسایش وراپامیل در سطح این الکترود اصلاح شده تحت کنترل سرعت انتشار آن از توده محلول به سطح الکترود قرار دارد. همچنین در این مطالعه، ضریب انتشار وراپامیل برابر با $10^{-4} \times 69/2$ سانتی‌مترمربع بر ثانیه محاسبه شد. در این بخش، با استفاده از روش ولتاوری پالس تفاضلی و ولتاوری چرخه‌ای حد تشخیص برای وراپامیل در سطح این الکترود اصلاح شده به ترتیب برابر با $1/6$ و $2/0$ میکرومولار محاسبه شد. سپس بهمنظور بررسی کارایی الکترود اصلاح شده برای اندازه‌گیری وراپامیل، مطالعات

ولتامتری در نمونه‌های دارویی و بیولوژیکی انجام شد که نتایج کارایی مناسب حسگر پیشنهادی برای اندازه‌گیری و راپامیل در نمونه‌های مورد آزمایش را تایید کرده است.

در بخش بعدی، کارایی الکترود خمیر کربن اصلاح شده با متیل تیوراسیل به عنوان عامل نوکلئوفیل در اکسایش الکتروشیمیایی دوپامین مورد بررسی قرار گرفت. پاسخ الکتروشیمیایی دوپامین در حضور و غیاب عامل اصلاحگر در سطح الکترود خمیر کربن بررسی و مقایسه شد. نتایج مطالعات ولتامتری حاکی از این است که در سطح الکترود اصلاح شده نه تنها دماغه آندی دوپامین به طور چشمگیری افزایش می‌یابد، بلکه پتانسیل نیز نسبت به الکترود خمیر کربن اصلاح نشده به سمت مقادیر منفی جابجا می‌شود. علاوه بر این دماغه کاتدی مربوطه نیز به سمت مقادیر مثبت جابجا می‌شود. در این مطالعه برای تعیین پارامترهای موثر بر اکسایش دوپامین از روش طراحی آزمایش استفاده شد تا بتوان علاوه بر تاثیر یک پارامتر، اثر برهمنش پارامترهای موثر روی یکدیگر را نیز مورد توجه و بررسی قرار داد. مطالعات کرونوكولومتری نیز در این بخش انجام شد و میزان ضریب نفوذ دوپامین در سطح الکترودهای اصلاح شده و اصلاح نشده به ترتیب برابر با 10^{-5} و $10^{-5} \times 10^{-5}$ سانتی‌متر مربع بر ثانیه محاسبه شد. این نتایج نشان می‌دهد که اصلاحگر متیل تیوراسیل منجر به تسهیل انتشار دوپامین به سطح الکترود می‌شود. بررسی اکسایش الکتروشیمیایی دوپامین در این مطالعه از طریق روش ولتامتری برنه سازی جذب سطحی پالس تفاضلی صورت گرفت و حد تشخیص برای دوپامین در سطح الکترود اصلاح شده برابر با ۷۳٪ نانومولار محاسبه شد. هم‌چنین کارایی الکترود با مطالعه نمونه‌های حقیقی مانند سرم خون، آمپول و نمونه آب شهر بررسی و تایید شد.

در بخش دیگر، یک حسگر الکتروشیمیایی با استفاده از ترسیب نانو لوله‌های کربنی چند دیواره و نانو ذرات طلا در سطح الکترود کربن شیشه‌ای تهیه شد و برای اندازه‌گیری جم فیبروزیل مورد استفاده قرار گرفت. در این مطالعه، ریخت شناسی و تعیین ترکیب اصلاحگر به کمک SEM و EDX انجام شد. نتایج بدست آمده حضور نانو لوله‌های کربنی چند دیواره و

نانو ذرات طلا را تایید نمود و مقادیر کمی آن‌ها نیز گزارش شد. نتایج نشان می‌دهد که به کارگیری همزمان نانو لوله‌های کربنی و نانو ذرات طلا نه تنها موجب افزایش سطح الکتروفعال الکترود می‌گردد بلکه نانو ذرات طلای به کار گرفته شده برای اصلاح الکترود باعث افزایش قدرت جذب سطحی جم فیبروزیل در سطح الکترود اصلاح شده می‌گردد که این امر توسط مطالعات کرونوکولومتری و اندازه‌گیری مقدار مازاد سطحی گونه الکتروفعال بررسی و تایید شد. در این قسمت از مطالعه تحقیقاتی، دو روش ولتا مترا برخenne سازی موج مربعی جذب سطحی و امپدیمتری برای اندازه‌گیری جم فیبروزیل مورد استفاده قرار گرفت. حد تشخیص اندازه گیری جم فیبروزیل به این روش‌ها به ترتیب $100/0$ و $74/0$ نانو مولار محاسبه شد.

در بخش پایانی، حسگر الکتروشیمیایی دیگری با استفاده از تثبیت فیلم پلیمری با استفاده از رنگدانه آلیازین قرمز S و نانو لوله‌های کربنی چند دیواره در سطح الکترود کربن شیشه‌ای تهیه شد. نتایج حاصل از بررسی‌های SEM و طیف‌بینی امپدانس الکتروشیمیایی حضور فیلم پلیمری و نانو لوله‌های کربنی و بهبود خواص سطح الکترود بواسطه حضور این ترکیبات را تایید نمود. الکترود اصلاح شده در این مطالعه به روش ولتا مترا پالس تفاضلی برای اندازه‌گیری جم فیبروزیل مورد استفاده قرار گرفت. حد تشخیص اندازه گیری جم فیبروزیل به این روش $2/0$ میکرو مولار محاسبه شد.

در یک بیان کلی، اصلاح کردن بستر الکترودی، تاثیر چشمگیری بر افزایش کارایی الکترود مورد استفاده برای اندازه‌گیری ترکیبات دارویی دارد. مطالعات انجام گرفته در کار تحقیقاتی حاضر، نشان داده است که اصلاح الکترود به کمک نانو ذرات در سطح و یا اصلاح توده، می‌تواند رویکرد مناسبی در راستای افزایش حساسیت حسگرهای الکتروشیمیایی محسوب شود.

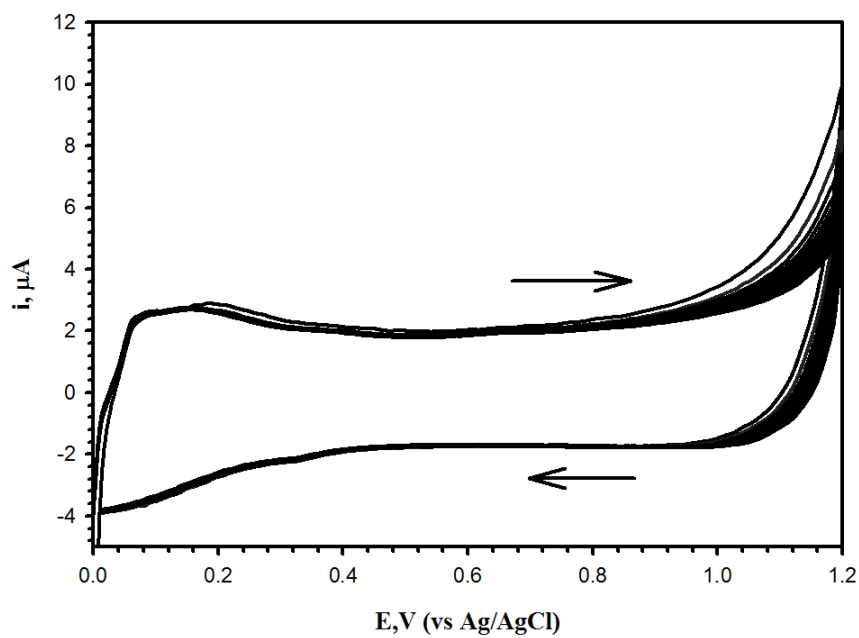
آینده‌نگری

با توجه به قابلیت‌های منحصر به فرد انواع نانومواد، واسطه‌گرها و الکترودهای به کار رفته در این تحقیق، می‌توان پیشنهادات زیر را جهت تهیه حسگرهای الکتروشیمیایی

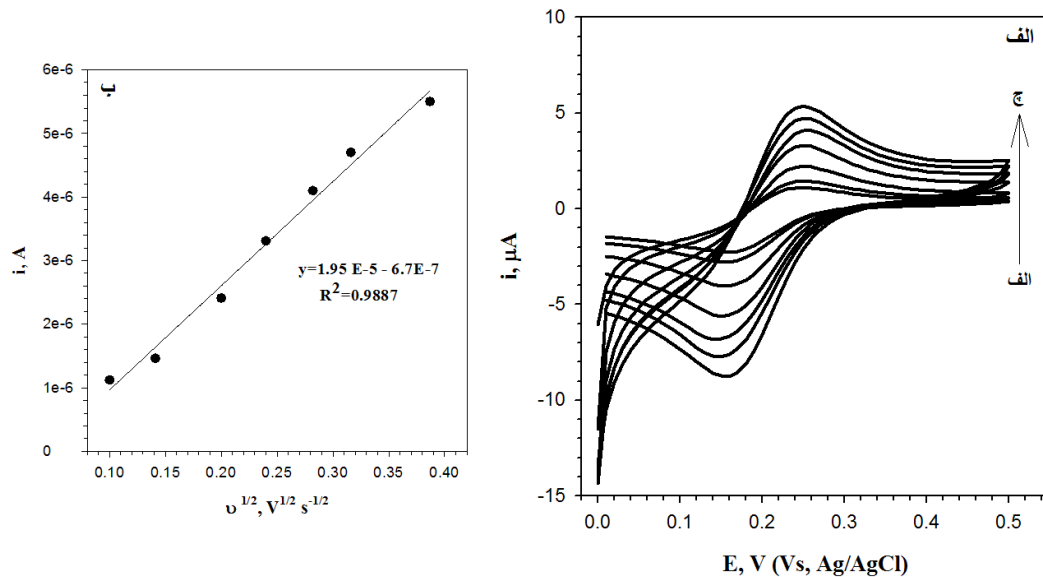
جدید، ارائه نمود:

- ساخت الکترودهای اصلاح شده بر پایه سایر نانومواد، نظیر: نانو ذرات پلاتین و نانو ذرات معناظبیسی برای اندازه‌گیری سایر ترکیبات دارویی در نمونه‌های بیولوژیکی
- استفاده از دیگر ترکیبات به عنوان واسطه‌گرها انتقال الکترون برای تهیه الکترودهای خمیر کربن اصلاح شده به منظور اندازه‌گیری الکتروشیمیایی برخی از ترکیبات مهم بیولوژیکی و دارویی
- به کارگیری سایر نانو ذرات فلزی به عنوان اصلاح کننده برای ساخت حسگر جهت اندازه‌گیری گونه آزمایشی هدف

پیوست



شکل (۱ پ): ۵۰ ولتاموگرام چرخهای متواالی در محلول بافر فسفاتی $۰/۰۲۷$ مولار با $pH=۵/۰$ در سطح MWCNT/GCE با سرعت روبش ۱۰۰ mVs^{-1} .

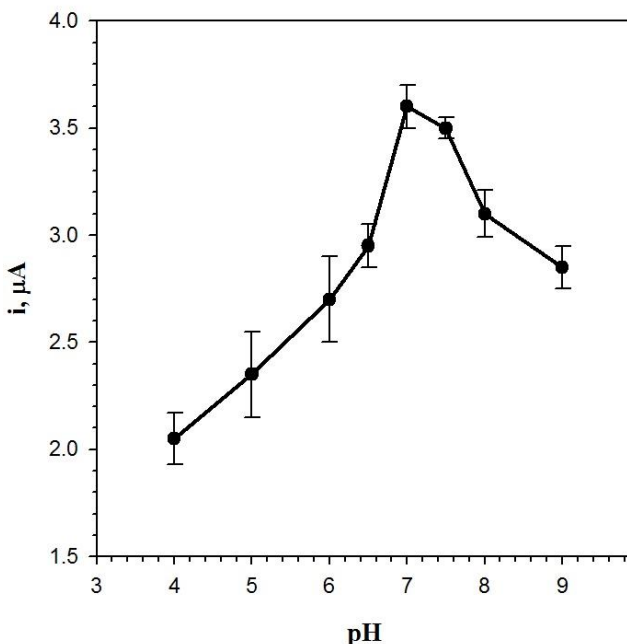


شکل (۲ پ): (الف) ولتاموگرامهای چرخهای GCE در محلول $K_4Fe(CN)_6$ $۰/۱۰\text{ mM}$ حاوی KCl $۰/۱۰\text{ M}$ در سرعت روبش‌های مختلف: (الف تا ج) مربوط به سرعت‌های روبش ۱۰ ، ۲۰ ، ۴۰ ، ۶۰ ، ۸۰ و ۱۰۰ و ۱۵۰ mVs^{-1} . (ب) نمودار تغییرات شدت جریان دماغه آندی بر حسب جذر سرعت روبش.

جدول (۱ پ) نتایج به دست آمده از شدت جریان دماغه اکسایش $10/0$ میکرومولار دوپامین در محلول حاوی بافر فسفاتی با pH های مختلف در سطح الکترود MT/MCPE به روش ولتاوری پالس تفاضلی جذب سطحی

pH	سیگنال تجزیه‌ای* (μA)
۴/۰	$۲/۰۵ \pm ۰/۱۲$
۵/۰	$۲/۳۵ \pm ۰/۲۰$
۶/۰	$۲/۷۰ \pm ۰/۲۰$
۶/۵	$۲/۹۵ \pm ۰/۱۰$
۷/۰	$۳/۶۰ \pm ۰/۱۰$
۷/۵	$۳/۵۰ \pm ۰/۰۵$
۸/۰	$۳/۱۰ \pm ۰/۱۱$
۹/۰	$۲/۸۵ \pm ۰/۱۰$

* میانگین سه اندازه‌گیری



شکل (۳ پ): نمودار تغییرات جریان آندی بر حسب pH برای محلول $10/0$ میکرومولار دوپامین. تمامی اندازه‌گیری‌ها در محلول $۰/۰۲۷$ مولار بافر فسفاتی و در سطح الکترود خمیر کربن اصلاح شده با متیل تیوراسیل. سرعت روبش ۵۰ میلی ولت بر ثانیه، پتانسیل انباشت: $-۰/۲$ ولت، زمان انباشت: ۱۲۰ ثانیه و زمان استراحت: ۲۰ ثانیه، ارتفاع پالس ۷۰ میلی ولت و مدت زمان اعمال پالس ۵۰ میلی ثانیه.

جدول (۲ پ): نتایج حاصل از بررسی حجم‌های متفاوت بافر فسفاتی 0.027 Molar در $\text{pH}=7.0$ در محلول $10.0\text{ میکرومولار دوپامین در سطح الکترود MT/MCPE}$ به روش ولتاوری پالس تفاضلی جذب سطحی

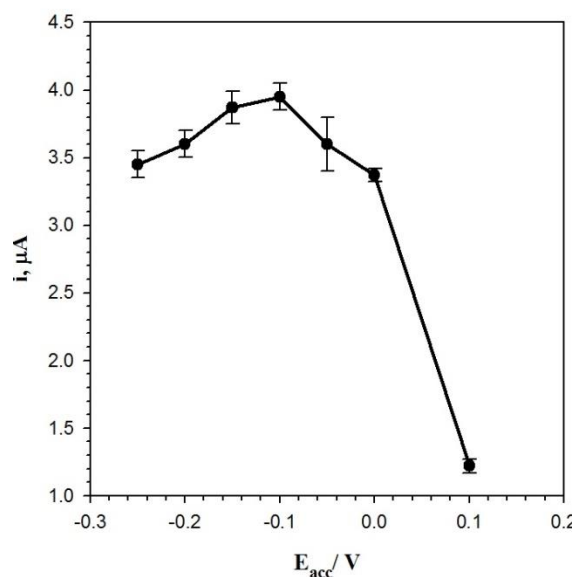
حجم بافر (mL)	سیگنال شاهد*	سیگنال تجزیهای*	انحراف استاندارد سیگنال تجزیهای (μA)
(μA)	(μA)	(μA)	(μA)
۲/۰	۳/۵۰	۲/۶۰	۰/۰۵
۳/۰	۲/۵۰	۳/۳۰	۰/۰۷
۴/۰	۱/۴۰	۳/۶۰	۰/۱۱
۵/۰	۱/۴۰	۳/۶۰	۰/۱۱
۶/۰	۱/۳۵	۳/۵۸	۰/۰۵
۸/۰	۱/۳۰	۳/۵۹	۰/۱۰

* میانگین سه اندازه‌گیری

جدول (۳ پ): نتایج حاصل از بررسی پتانسیل‌های انباشت متفاوت در محلول بافر فسفاتی 0.027 M مولار $\text{pH}=7.0$ حاوی $10.0\text{ }\mu\text{M}$ دوپامین در سطح الکترود MT/MCPE به روش ولتاوری پالس تفاضلی

پتانسیل انباشت (mV)	جذب سطحی سیگنال تجزیه‌ای* (μA)	انحراف استاندارد سیگنال تجزیه‌ای (μA)
-0.25	3.45	0.10
-0.20	3.60	0.11
-0.15	3.87	0.12
-0.10	3.95	0.10
-0.05	3.60	0.21
0.00	3.37	0.05
0.10	1.22	0.05

* میانگین سه اندازه‌گیری

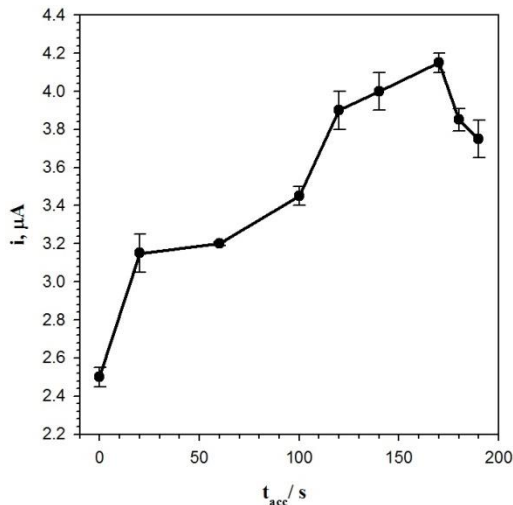


شکل (۴ پ): تاثیر پتانسیل انباشت بر روی شدت جریان دماغه دوپامین با غلظت $10.0\text{ }\mu\text{M}$ میکرومولار در محلول بافر فسفاتی با $\text{pH}=7.0$. سرعت روبش $5.0\text{ }\mu\text{M}\text{/s}$ و لولت بر ثانیه، زمان انباشت: 120 ثانیه و زمان استراحت: 20 ثانیه، ارتفاع پالس $7.0\text{ }\mu\text{s}$ و مدت زمان اعمال پالس $5.0\text{ }\mu\text{s}$ ثانیه.

جدول (۴ پ): نتایج حاصل از بررسی زمان‌های انباشت متفاوت در محلول بافر فسفاتی pH=۷/۰ ۰/۰۲۷ مولار حاوی ۱۰/۰ میکرومولار دوپامین در سطح الکترود MT/MCPE به روش ولتمتری پالس تفاضلی جذب سطحی

زمان انباشت (s)	سیگنال تجزیه‌ای * (μA)	انحراف استاندارد سیگنال تجزیه‌ای (μA)
۰/۰	۲/۵۰	۰/۰۵
۲۰	۳/۱۵	۰/۱۰
۶۰	۳/۲۰	۰/۱۱
۱۰۰	۳/۴۵	۰/۰۵
۱۲۰	۳/۹۰	۰/۱۰
۱۴۰	۴/۰۰	۰/۱۰
۱۷۰	۴/۱۵	۰/۰۵
۱۸۰	۳/۸۵	۰/۰۶
۱۹۰	۳/۷۵	۰/۱۰

* میانگین سه اندازه‌گیری

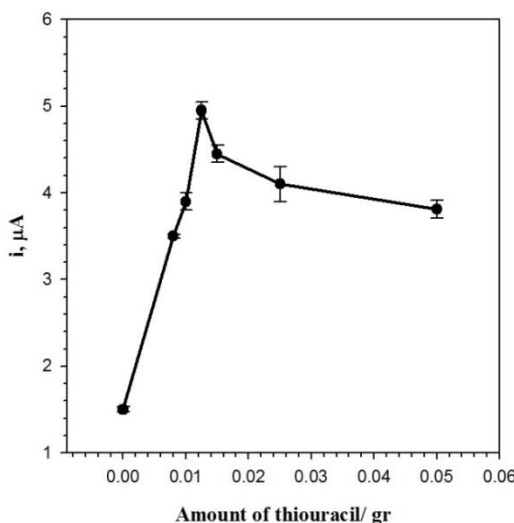


شکل (۵ پ): تاثیر زمان انباشت بر روی شدت جریان دماغه دوپامین با غلظت ۱۰/۰ میکرومولار در محلول بافر فسفاتی با pH=۷/۰. سرعت روبش ۵۰ میلی ولت بر ثانیه، پتانسیل انباشت: ۰/۰۱ ولت و زمان استراحت: ۲۰ ثانیه، ارتفاع پالس ۷۰ میلی ولت و مدت زمان اعمال پالس ۵۰ میلی ثانیه.

جدول (۵ پ) نتایج حاصل از بررسی مقدار متیل تیوراسیل در محلول بافر فسفاتی $\text{pH}=7/0$ مولار $0/027$ میکرومولار دوپامین به روش ولتاوتمتری پالس تفاضلی جذب سطحی
حاوی $10/0$ میکرومولار دوپامین به روش ولتاوتمتری پالس تفاضلی جذب سطحی

انحراف استاندارد سیگنال تجزیه‌ای (μA)	سیگنال تجزیه‌ای * (μA)	سیگنال شاهد* (μA)	(g) متیل تیوراسیل
$0/03$	$1/50$	$0/850$	$0/0$
$0/02$	$3/50$	$0/950$	$0/00800$
$0/10$	$3/90$	$1/15$	$0/0100$
$0/10$	$4/95$	$1/20$	$0/0125$
$0/10$	$4/45$	$1/30$	$0/0150$
$0/20$	$4/10$	$1/55$	$0/0250$
$0/10$	$3/81$	$1/57$	$0/0500$

* میانگین سه اندازه‌گیری

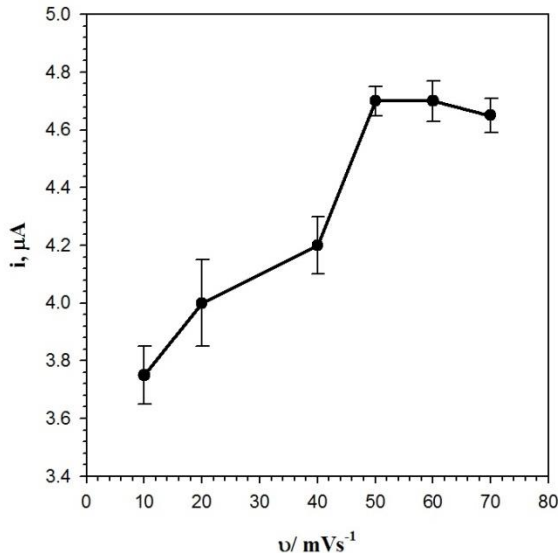


شکل (۶ پ): تاثیر مقدار اصلاحگر روی شدت جریان دماغه دوپامین با غلظت $10/0$ میکرومولار در محلول بافر فسفاتی با $\text{pH}=7/0$. سرعت روبش 50 میلی ولت بر ثانیه، پتانسیل انباشت: $0/1$ ولت، زمان انباشت: 170 ثانیه و زمان استراحت: 20 ثانیه، ارتفاع پالس 70 میلی ولت و مدت زمان اعمال پالس 50 میلی ثانیه.

جدول (۶ پ): نتایج حاصل از بررسی سرعت روبش در محلول بافر فسفاتی $10/0$ مولار $pH=7/0$ حاوی $10/0$ میکرومولار دوپامین در سطح الکترود MT/MCPE به روش ولتاویری پالس تفاضلی جذب سطحی

انحراف استاندارد سیگنال (mVs^{-1})	سرعت روبش سیگنال شاهد* (μA)	سیگنال تجزیهای* (μA)	تجزیهای (μA)
۱۰	۱/۳۰	۴/۷۵	۰/۱۰
۲۰	۱/۳۵	۴/۰۰	۰/۱۵
۴۰	۱/۴۰	۴/۲۰	۰/۱۰
۵۰	۱/۸۰	۴/۸۵	۰/۰۵
۶۰	۱/۹۰	۴/۹۰	۰/۰۷
۷۰	۲/۰۰	۴/۹۳	۰/۰۶

* میانگین سه اندازه‌گیری

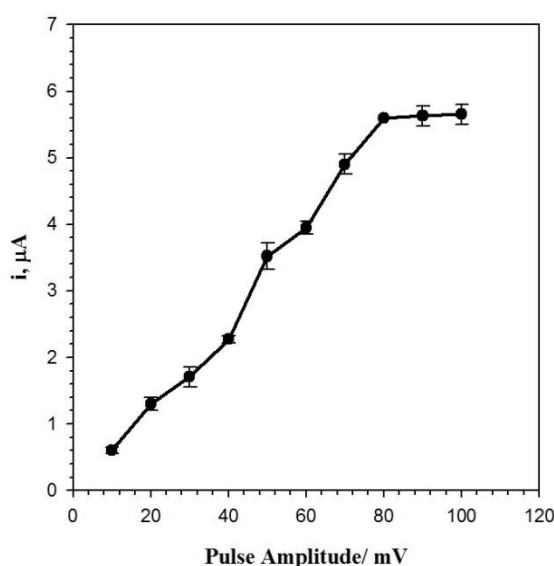


شکل (۷ پ): تاثیر سرعت روبش روی شدت جریان دماغه دوپامین با غلظت $10/0$ میکرومولار در محلول بافر فسفاتی با $pH=7/0$. پتانسیل انباشت: $10/0$ ولت، زمان انباشت: $17/0$ ثانیه و زمان استراحت: 20 ثانیه، ارتفاع پالس 70 میلی ولت و مدت زمان اعمال پالس 50 میلی ثانیه.

جدول (۷ پ): نتایج حاصل از بررسی ارتفاع پالس در محلول بافر فسفاتی 0.27 M مولار $\text{pH}=7.0$ حاوی 0.1 M دوپامین در سطح الکترود MT/MCPE به روش ولتامتری پالس تفاضلی جذب سطحی

ارتفاع پالس (mV)	سیگنال تجزیه‌ای * (μA)	انحراف استاندارد سیگنال تجزیه‌ای (μA)
۱۰	۰/۶۰	۰/۰۵
۲۰	۱/۳۰	۰/۱۰
۳۰	۱/۷۱	۰/۱۵
۴۰	۲/۲۷	۰/۰۵
۵۰	۳/۵۲	۰/۲۰
۶۰	۳/۹۵	۰/۱۰
۷۰	۴/۹۰	۰/۱۵
۸۰	۵/۶۰	۰/۰۱
۹۰	۵/۶۳	۰/۱۵
۱۰۰	۵/۶۷	۰/۱۵

* میانگین سه اندازه‌گیری

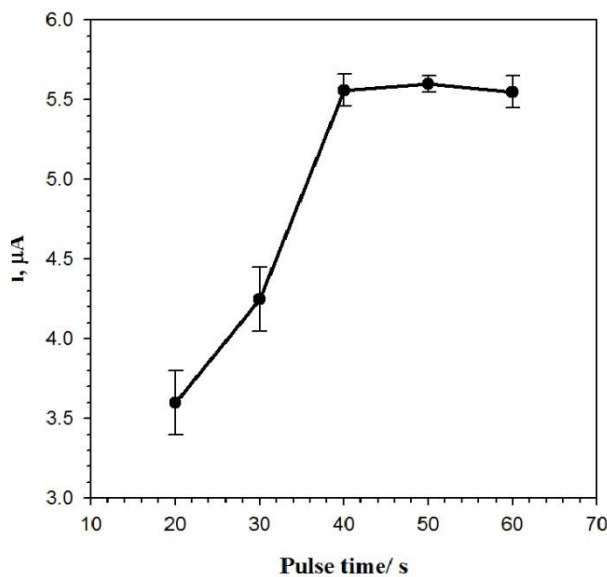


شکل (۸ پ): تاثیر ارتفاع پالس روی شدت جریان دماغه دوپامین با غلظت 0.1 M میکرومولار در محلول بافر فسفاتی با $\text{pH}=7.0$. سرعت روبش $50\text{ میلی ولت بر ثانیه}$ ، پتانسیل انباشت: -0.1 ولت ، زمان انباشت: 170 ثانیه و زمان استراحت: 20 ثانیه ، مدت زمان اعمال پالس 50 میلی ثانیه .

جدول (۸ پ): نتایج حاصل از بررسی مدت زمان اعمال پالس در محلول بافر فسفاتی pH=۷/۰ ۰/۰۲۷ مولار حاوی ۱۰/۰ میکرومولار دوپامین در سطح الکترود MT/MCPE به روش ولتاوری پالس تفاضلی جذب سطحی

مدت زمان اعمال پالس (s)	سیگنال تجزیهای * (μA)	انحراف استاندارد سیگنال تجزیهای (μA)
۲۰	۳/۶۰	۰/۲۰
۳۰	۴/۲۵	۰/۲۱
۴۰	۵/۵۶	۰/۱۰
۵۰	۵/۶۰	۰/۰۵
۶۰	۵/۵۵	۰/۱۰

* میانگین سه اندازه‌گیری



شکل (۹ پ): تاثیر مدت زمان اعمال پالس روی شدت جریان دماغه دوپامین با غلظت ۱۰/۰ میکرومولار در محلول بافر فسفاتی با pH=۷/۰، سرعت روبش ۵۰ میلی ولت بر ثانیه، پتانسیل انباشت: ۰/۰ ولت، زمان انباشت: ۱۷۰ ثانیه و زمان استراحت: ۲۰ ثانیه، ارتفاع پالس ۸۰ میلی ولت.

جدول (۹ پ) ماتریس طراحی آزمایش پلاکت-برمن و نتایج سیگنال‌های تجزیه‌ای مربوط به هر آزمایش برای غلظت ۱۰/۰ میکرومولار دوپامین در محلول بافر فسفاتی pH=۷/۰ مولار در سطح الکترود MT/MCPE

به روش ولتاوتمتری پالس تفاضلی جذب سطحی

جریان * (μA)	$v(\text{mV s}^{-1})$	$W_m (\text{g})$	$t_{\text{acc}} (\text{sec})$	$E_{\text{acc}} (\text{v})$	pH
۶/۸ (۱), ۷/۱ (۷)	۶۰	۰/۰۱۰۰	۱۸۰	۰/۰	۷/۶
۴/۲ (۲), ۴/۱ (۱۶)	۶۰	۰/۰۱۰۰	۱۸۰	۰/۰	۴/۰
۲/۶ (۳), ۲/۸ (۲۳)	۶۰	۰/۰۲۵۰	۶۰	۰/۰	۷/۶
۱/۵ (۴), ۱/۳ (۲۰)	۲۰	۰/۰۲۵۰	۱۸۰	۰/۰	۴/۰
۴/۰ (۵), ۳/۶ (۸)	۲۰	۰/۰۲۵۰	۱۸۰	-۰/۲	۷/۶
۳/۴ (۲۲), ۳/۲ (۶)	۲۰	۰/۰۱۰۰	۶۰	-۰/۲	۴/۰
۱/۶ (۹), ۱/۴ (۱۸)	۶۰	۰/۰۲۵۰	۶۰	-۰/۲	۴/۰
۶/۸ (۱۰), ۶/۴ (۱۱)	۲۰	۰/۰۱۰۰	۱۸۰	-۰/۲	۷/۶
۱/۹ (۱۲), ۱/۸ (۲۱)	۶۰	۰/۰۲۵۰	۱۸۰	-۰/۲	۴/۰
۲/۴ (۱۳), ۲/۳ (۱۷)	۲۰	۰/۰۲۵۰	۶۰	۰/۰	۷/۶
۶/۹ (۱۴), ۶/۰ (۱۹)	۶۰	۰/۰۱۰۰	۶۰	-۰/۲	۷/۶
۲/۸ (۱۵), ۲/۹ (۲۴)	۲۰	۰/۰۱۰۰	۶۰	۰/۰	۴/۰

* اعداد موجود در پرانتز ترتیب انجام آزمایش را نشان می‌دهد.

جدول (۱۰ پ) ماتریس طراحی آزمایش مکعب مرکزی مرکز وجوه پر و نتایج سیگنال‌های تجزیه‌ای مربوط به هر آزمایش برای غلظت $10/0$ میکرومولار دوپامین در محلول بافر فسفاتی $0/0\cdot27$ مولار $pH=7/0$ در سطح الکترود MT/MCPE به روش ولتاوری پالس تفاضلی جذب سطحی

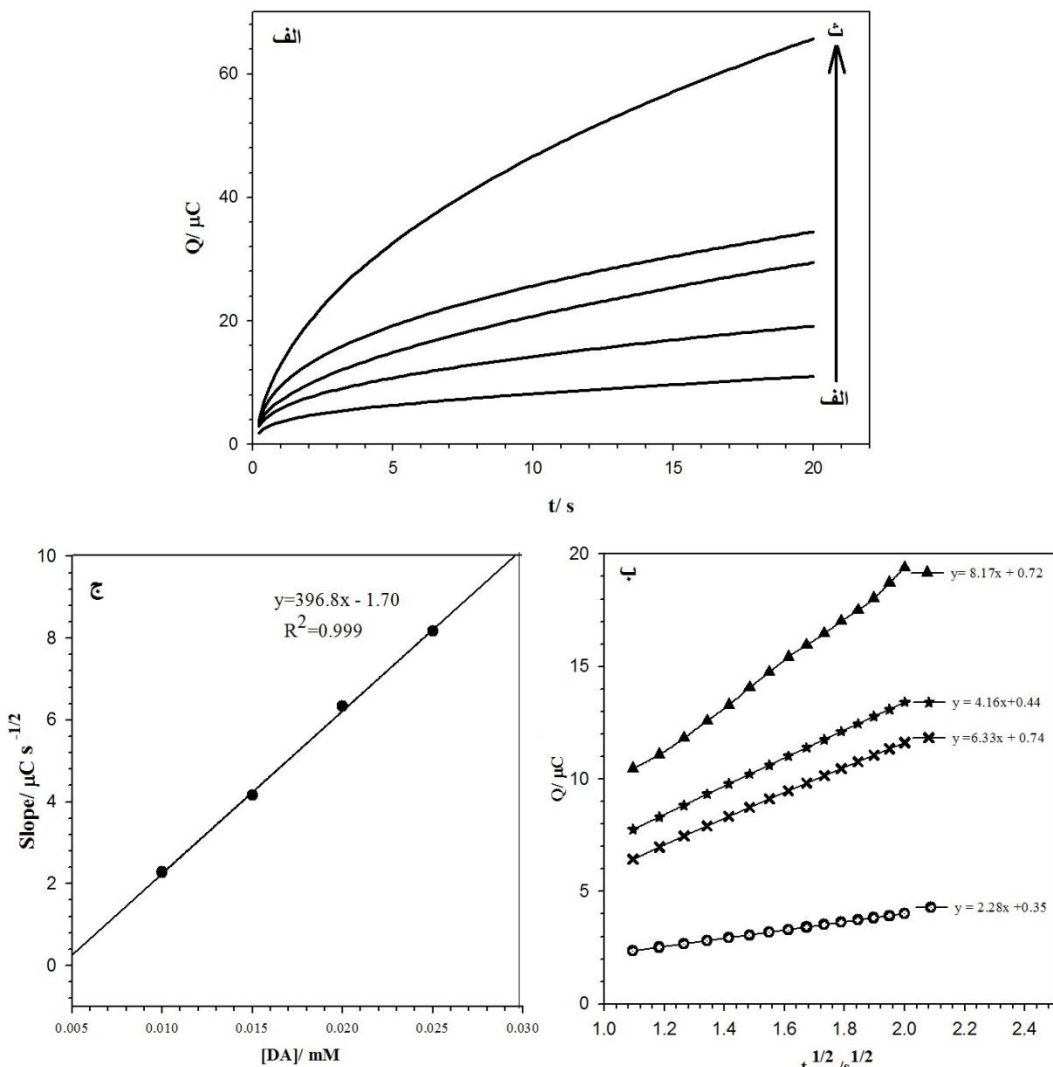
جریان*(μA)	$v(mV s^{-1})$	$W_m(g)$	$t_{acc}(sec)$	$E_{acc}(v)$	pH
۲/۱ (۱), ۲/۹ (۹)	۶	۰/۰۲۵۰	۱۸۰	-۰/۰	۷/۶
۳/۰ (۲), ۳/۶ (۳۰)	۶	۰/۰۲۵۰	۶۰	-۰/۲	۷/۶
۲/۱ (۳), ۲/۸ (۵۰)	۶	۰/۰۱۰۰	۶۰	-۰/۲	۴/۰
۲/۵ (۴), ۳/۱ (۱۶)	۴	۰/۰۱۷۵	۱۲۰	-۰/۰	۵/۸
۳/۲ (۵), ۴/۰ (۲۳)	۲	۰/۰۲۵۰	۱۸۰	-۰/۲	۷/۶
۱/۴ (۶), ۱/۲ (۴۴)	۲	۰/۰۲۵۰	۶۰	-۰/۲	۴/۰
۷/۱ (۷), ۶/۳ (۱۴)	۶	۰/۰۱۰۰	۱۸۰	-۰/۲	۷/۶
۲/۴ (۸), ۳/۳ (۲۶)	۲	۰/۰۲۵۰	۶۰	-۰/۰	۷/۶
۲/۵ (۱۰), ۱/۹ (۲۵)	۴	۰/۰۱۷۵	۶۰	-۰/۱	۵/۸
۲/۹ (۱۱), ۳/۶ (۴۷)	۲	۰/۰۱۰۰	۶۰	-۰/۰	۴/۰
۳/۴ (۱۲), ۴/۳ (۳۵)	۲	۰/۰۱۰۰	۱۸۰	-۰/۰	۷/۶
۲/۸ (۱۳), ۳/۸ (۱۹)	۴	۰/۰۱۷۵	۱۲۰	-۰/۱	۵/۸
۳/۵ (۲۲), ۳/۳ (۵۲)	۴	۰/۰۱۷۵	۱۲۰	-۰/۱	۵/۸
۲/۰ (۱۵), ۲/۷ (۱۷)	۴	۰/۰۱۷۵	۱۲۰	-۰/۱	۴/۰
۳/۴ (۱۸), ۴/۲ (۳۸)	۴	۰/۰۱۷۵	۱۲۰	-۰/۲	۵/۸
۳/۵ (۲۰), ۳/۱ (۴۰)	۴	۰/۰۲۵۰	۱۲۰	-۰/۱	۵/۸
۱/۴ (۲۱), ۱/۰ (۵۱)	۶	۰/۰۲۵۰	۶۰	-۰/۰	۴/۰
۲/۵ (۲۴), ۱/۹ (۳۶)	۶	۰/۰۲۵۰	۱۸۰	-۰/۲	۴/۰
۳/۴ (۲۷), ۲/۸ (۳۳)	۲	۰/۰۱۷۵	۱۲۰	-۰/۱	۵/۸
۱/۶ (۲۸), ۱/۹ (۴۱)	۲	۰/۰۲۵۰	۱۸۰	-۰/۰	۴/۰
۴/۱ (۲۹), ۳/۹ (۵۳)	۲	۰/۰۱۰۰	۶۰	-۰/۲	۷/۶
۴/۴ (۳۱), ۴/۰ (۴۲)	۶	۰/۰۱۰۰	۱۸۰	-۰/۰	۴/۰
۳/۰ (۳۲), ۳/۷ (۵۵)	۴	۰/۰۱۷۵	۱۲۰	-۰/۱	۷/۶
۲/۷ (۳۴), ۳/۲ (۵۶)	۶	۰/۰۱۷۵	۱۲۰	-۰/۱	۵/۸
۵/۸ (۳۷), ۶/۴ (۴۶)	۴	۰/۰۱۰۰	۱۲۰	-۰/۱	۵/۸
۲/۸ (۳۹), ۳/۴ (۴۹)	۲	۰/۰۱۰۰	۱۸۰	-۰/۲	۴/۰
۳/۳ (۴۳), ۳/۹ (۵۴)	۶	۰/۰۱۰۰	۶۰	-۰/۰	۷/۶
۲/۷ (۴۵), ۳/۴ (۴۸)	۴	۰/۰۱۷۵	۱۸۰	-۰/۱	۵/۸

* اعداد موجود در پرانتز ترتیب انجام آزمایش را نشان می‌دهد.

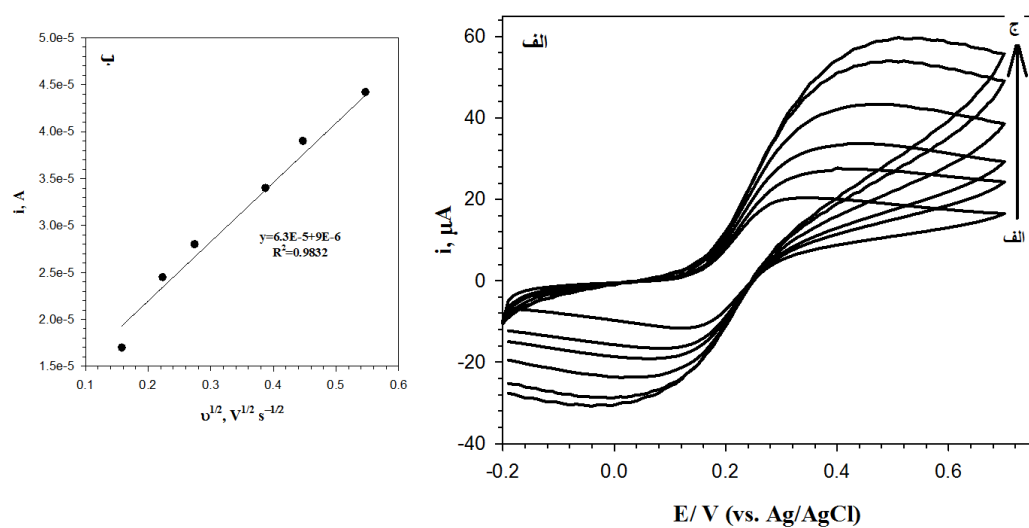
جدول (۱۱ پ) ضرایب حاصل از طرح مرکزی برای اندازه‌گیری دوپامین در محلول بافر فسفاتی $\text{pH}=7/0$ مولار $10/0$ میکرومولار دوپامین در سطح الکترود MT/MCPE به روش ولتاوری پالس

تفاضلی جذب سطحی

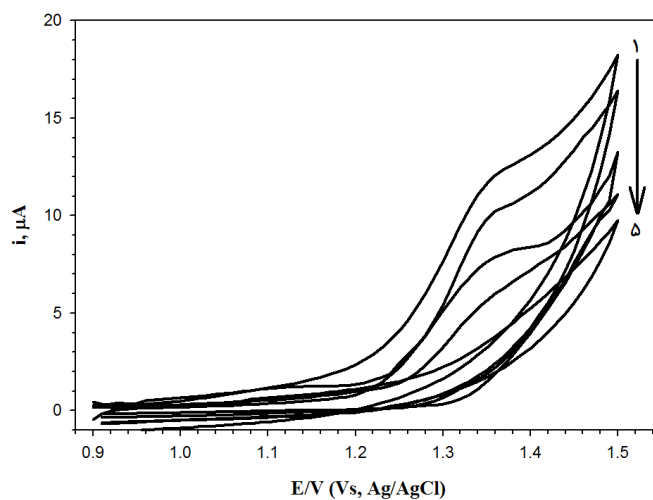
P	خطای استاندارد	ضرایب	عبارت
$0/000$	$0/0758$	$0/674$	A
$0/003$	$0/0758$	$-0/245$	B
$0/000$	$0/0758$	$0/377$	C
$0/000$	$0/0758$	$-0/847$	D
$0/016$	$0/0758$	$0/134$	E
$0/016$	$0/205$	$-0/522$	A^2
$0/853$	$0/205$	$-0/0382$	B^2
$0/001$	$0/205$	$-0/716$	C^2
$0/000$	$0/205$	$1/344$	D^2
$0/146$	$0/205$	$-0/306$	E^2
$0/000$	$0/0804$	$-0/381$	AB
$0/858$	$0/0804$	$-0/0145$	AC
$0/615$	$0/0804$	$0/0408$	AD
$0/434$	$0/0804$	$0/0636$	AE
$0/020$	$0/0804$	$-0/197$	BC
$0/0502$	$0/0804$	$-0/0545$	BD
$0/033$	$0/0804$	$-0/178$	BE
$0/023$	$0/0804$	$-0/192$	CD
$0/003$	$0/0804$	$0/254$	CE
$0/019$	$0/0804$	$-0/197$	DE



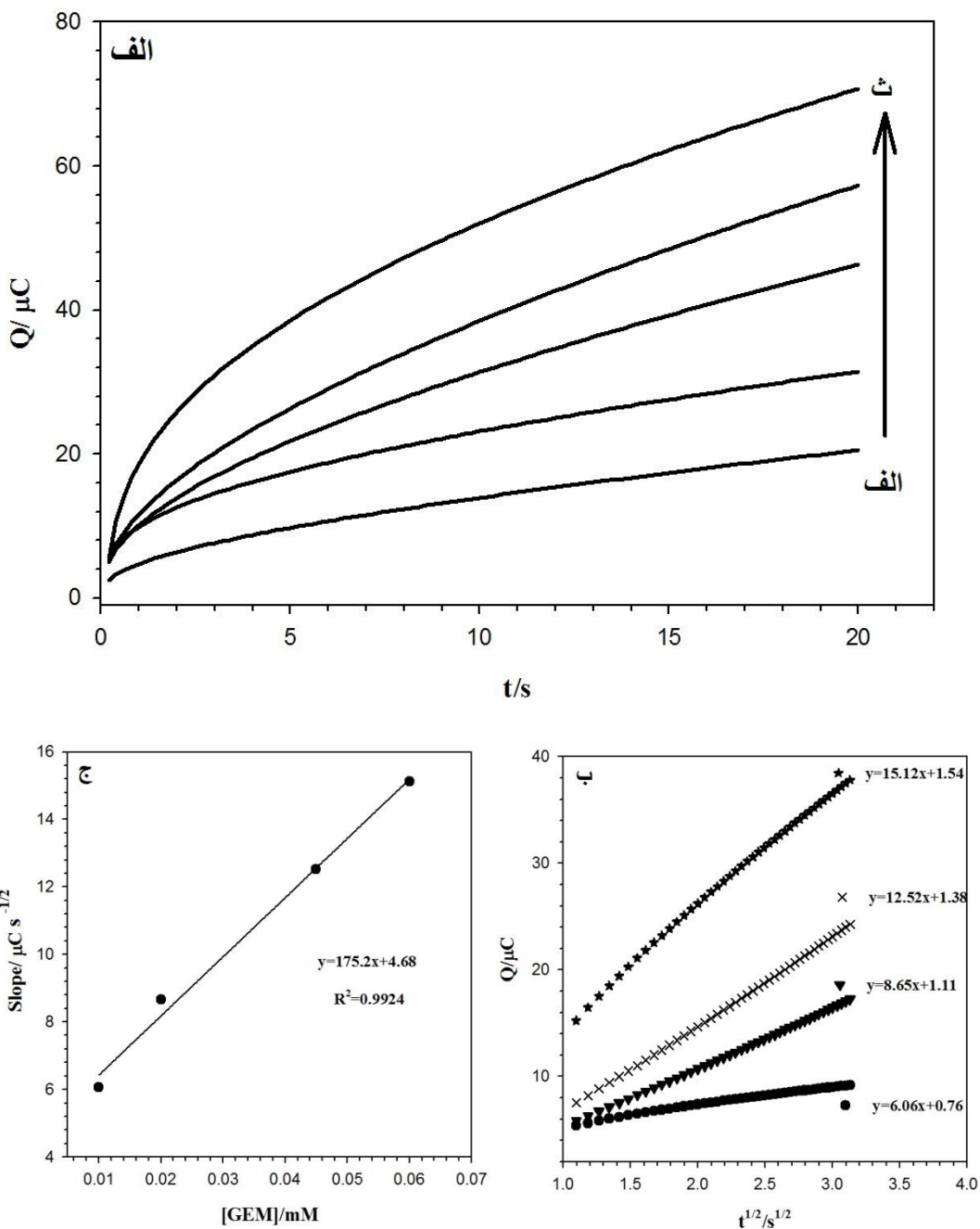
شکل (۱۰ پ): (الف) کرونوکولوگرام‌های CPE در محلول بافر فسفاتی با $pH=7.0$ حاوی غلظت‌های متفاوت دوپامین (الف) غیاب (ب)، $10/0$ ، (پ)، $15/0$ و (ت) $20/0$ میکرو مولار. پله پتانسیل آندی در $4/0$ ولت نسبت به الکترود شاهد می‌باشد. پتانسیل انباشت: $2/0$ - $0/2$ ولت، زمان انباشت: 160 ثانیه و زمان استراحت: 20 ثانیه. (ب) نمودار تغییرات $t^{1/2}$ - Q - $t^{1/2}$ به دست آمده از کرنوکولوگرام‌های ب-ت بعد از کم کردن نقطه به نقطه از زمینه است. (ج) نمودار شبی خطوط $t^{1/2}$ - Q بر حسب غلظت دوپامین.



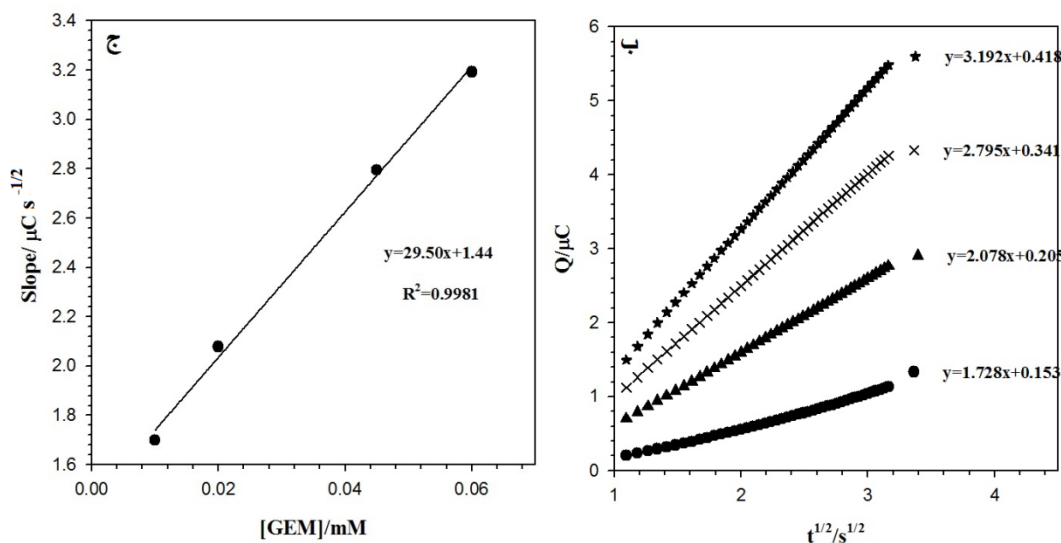
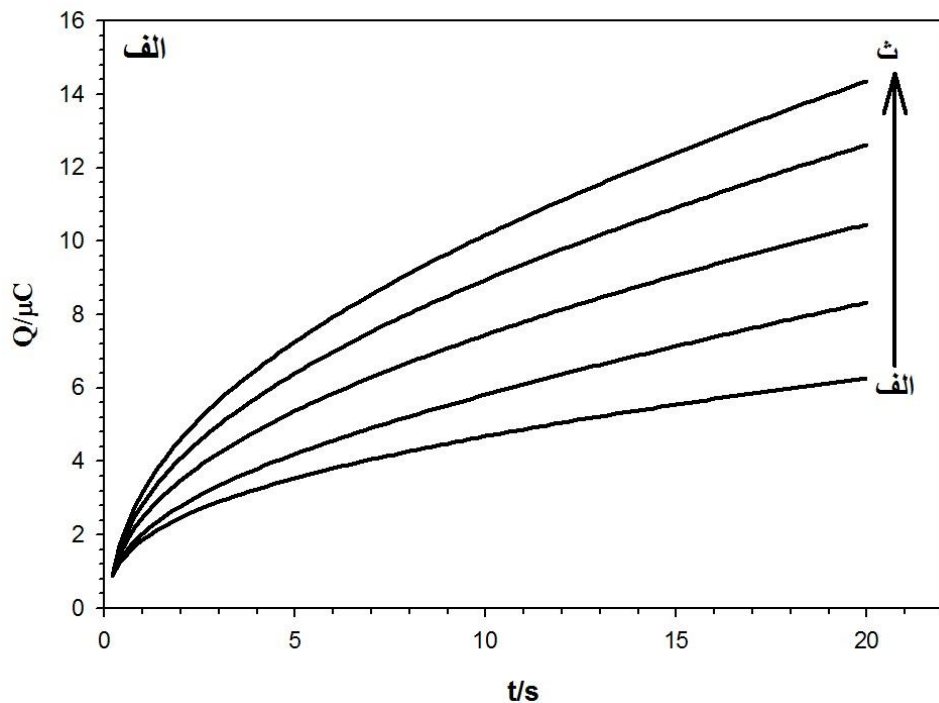
شکل (۱۱ پ): (الف) ولتاوگرامهای چرخهای در محلول $MWCNT/GCE$ حاوی $K_4Fe(CN)_6$ ۱/۰ mM در 10.0 mM KCl در سرعت روش‌های مختلف: (الف تا ج) مربوط به سرعت‌های روش ۲۵، ۵۰، ۷۵، ۱۵۰، ۲۵۰، و ۳۰۰ میلی ولت بر ثانیه می‌باشند. (ب) نمودار تغییرات شدت جریان دماغه آندی بر حسب جذر سرعت روش.



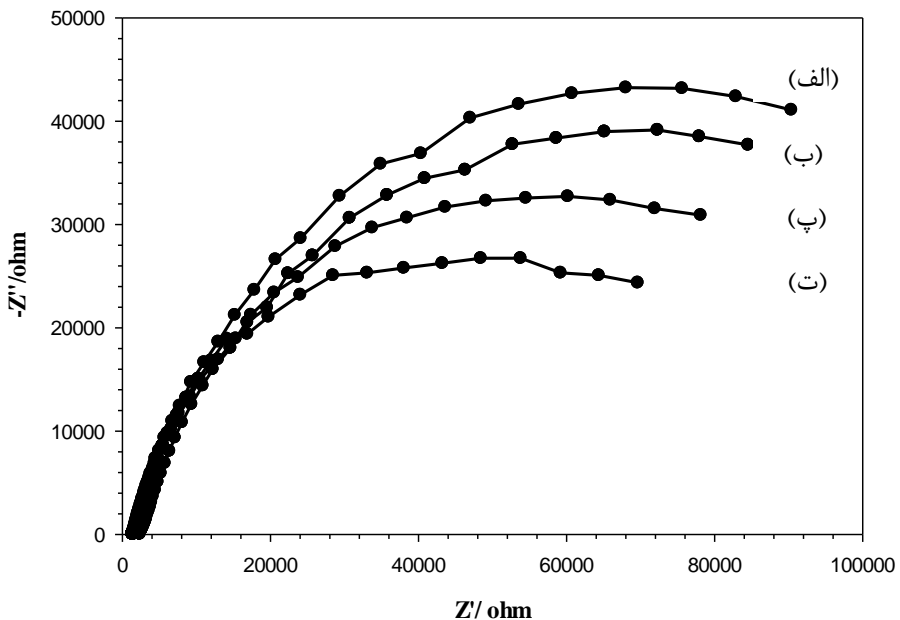
شکل (۱۲ پ): ولتاوگرامهای چرخهای در محلول بافر فسفاتی ۰/۰۲۷ مولار با $pH=۳/۰$ مولار با برای از بین بردن اثر حافظه جم فیبروزیل در سطح الکترود با سرعت روش 100 mVs^{-1} .



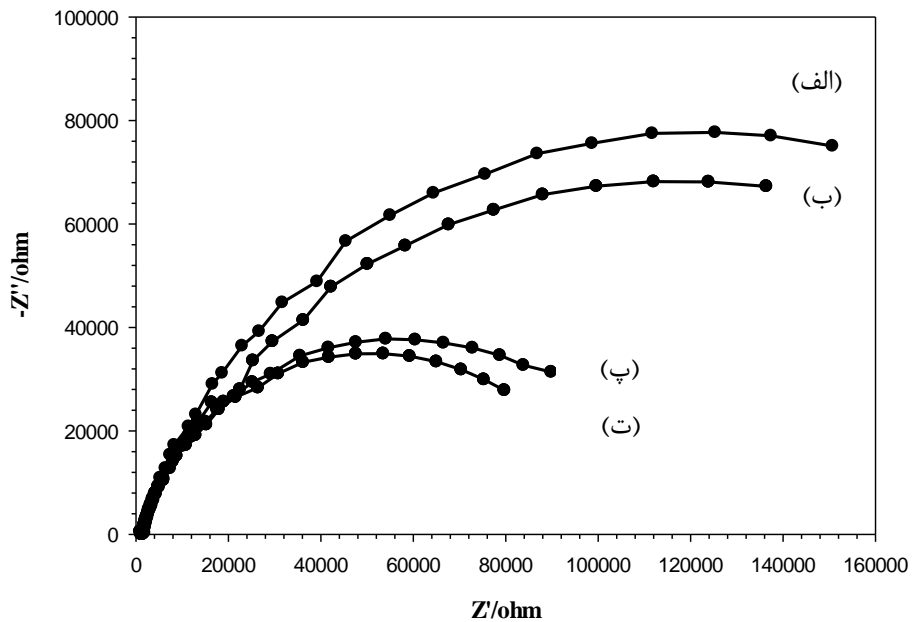
شکل (۱۳ ب): (الف) کربنونکولوگرام‌های MWCNT/GCE در محلول بافر فسفاتی با $\text{pH}=۳/۰$ حاوی غلظت‌های متفاوت جم فیبروزیل (الف) غیاب (ب) $۲۰/۰$ ، (پ) $۴۵/۰$ و (ت) $۶۰/۰$ میکرو مولار. پله پتانسیل آندی در $۱/۴۵$ ولت نسبت به الکترود شاهد می‌باشد. زمان انباشت: ۵۰ ثانیه و زمان استراحت: ۱۰ ثانیه. (ب) نمودار تغییرات $Q-t^{1/2}$ بدست آمده از کربنونکولوگرام‌های ب-ث بعد از کم کردن نقطه به نقطه از زمینه است. (ج) نمودار شب خطوط $t^{1/2}-Q$ بر حسب جم فیبروزیل.



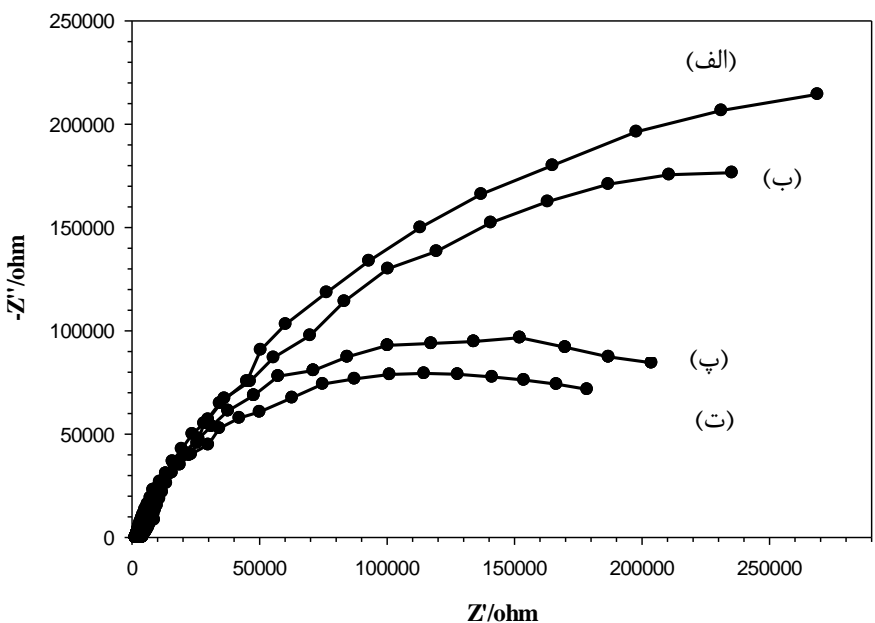
شکل (۱۴ پ): (الف) کرونوکولوگرام‌های GCE در محلول بافر فسفاتی با $\text{pH}=۳/۰$ حاوی غلظت‌های متفاوت جم فیبروزیل (الف) غیاب (ب) $۱۰/۰$ ، $۲۰/۰$ ، $۴۵/۰$ و (ت) $۶۰/۰$ میکرومولار. پله پتانسیل آندی در $۱/۴۵$ ولت نسبت به الکترود شاهد می‌باشد. زمان انباشت: ۵۰ ثانیه و زمان استراحت: ۱۰ ثانیه. (ب) نمودار تغییرات $Q - t^{1/2}$ به دست آمده از کرونوکولوگرام‌های ب-ت بعد از کم کردن نقطه به نقطه از زمینه است. (ج) نمودار شبیه خطوط $t^{1/2} - Q$ بر حسب غلظت جم فیبروزیل.



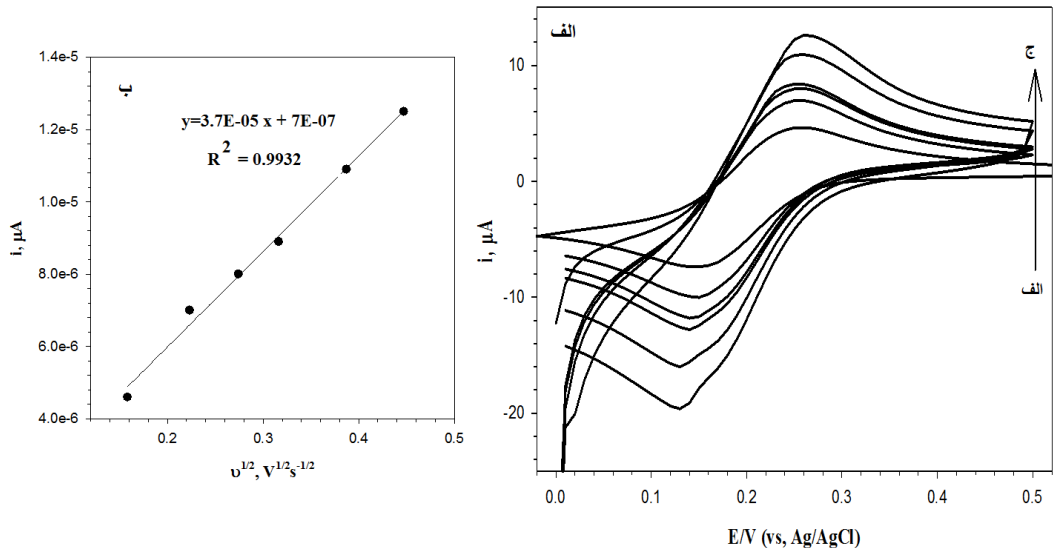
شکل (۱۵ پ): نمودار نایکوئیست مربوط به نمونه کپسول در سطح Au/MWCNT/GCE در غیاب (الف) و حضور (ب) $۰/۰۰$ و (پ) $۰/۰۰$ میکرومولار جم فیبروزیل در بافر فسفاتی $E_{dc}=۳/۳۴$ ، $pH=۳/۰$ ولت و فرکانس $۱/۰۰$ تا ۱۰۰۰۰۰ هرتز. زمان انباشت ۵۰ ثانیه و زمان استراحت ۱۰ ثانیه.



شکل (۱۶ پ): نمودار نایکوئیست مربوط به نمونه آب شهر در سطح Au/MWCNT/GCE در غیاب (الف) و حضور (ب) $۰/۰۵$ و (پ) $۰/۲۰$ و (ت) $۰/۳۰$ میکرومولار جم فیبروزیل در بافر فسفاتی $E_{dc}=۳/۳۴$ ، $pH=۳/۰$ ولت و فرکانس $۱/۰۰$ تا ۱۰۰۰۰۰ هرتز. زمان انباشت ۵۰ ثانیه و زمان استراحت ۱۰ ثانیه.



شکل (۱۷ پ): نمودار نایکوئیست مربوط به نمونه سرم در سطح Au/MWCNT/GCE در غیاب (الف) و حضور (ب) $۴/۰۰$ میکرومولار جم فیبروزیل در بافر فسفاتی $\text{pH}=۳/۰$ ، $E_{\text{dc}}=۱/۳۴$ ولت و فرکانس $۱/۰$ تا ۱۰۰۰۰۰ تا هرتز. زمان انباشت ۵۰ ثانیه و زمان استراحت ۱۰ ثانیه.



شکل (۱۸ پ): (الف) ولتاومگرام‌های چرخه‌ای PARS/GCE در محلول $\text{K}_4\text{Fe}(\text{CN})_6$ $۱/۰$ mM حاوی $۰/۱۰$ M KCl در سرعت روبش‌های مختلف: (الف تا ج) مربوط به سرعت‌های روبش ۲۵ ، ۵۰ ، ۷۵ ، ۱۰۰ ، ۱۵۰ ، و ۲۰۰ میلی ولت برثانیه می‌باشند. (ب) نمودار تغییرات شدت جریان دماغه آندی بر حسب جذر سرعت روبش.

مراجع:

- (1) Brunetti B., Valdés-Ramírez G., Litvan I. and Wang J. (2014) “A disposable electrochemical biosensor for L-DOPA determination in undiluted human serum” **Electrochim. Commun.**, **48**, pp 28-31.
- (2) Nayak D. S. and Shetti N. P. (2016) “Electrochemical oxidation of provitamin B5,D-panthenol and its analysis in spiked human urine” **J. Anal. Sci. Technol.**, **7**, **12**, pp 1-8.
- (3) Hart J. P., Crew A., Crouch E., Honeychurch K. C. and Pemberton R. M. (2004) “Some recent designs and developments of screen-printed carbon electrochemical sensors/biosensors for biomedical, environmental, and industrial analyses” **Anal. lett.**, **37**, **5**, pp 789-830.
- (4) Salimi A., Compton R. G. and Hallaj R. (2004) “Glucose biosensor prepared by glucose oxidase encapsulated sol-gel and carbon-nanotube-modified basal plane pyrolytic graphite electrode” **Anal. biochem.**, **333**, **1**, pp 49-56.
- (5) Wang J. (1999) “Amperometric biosensors for clinical and therapeutic drug monitoring: a review” **J. Pharm. Biomed. Anal.**, **19**, **1**, pp 47-53.
- (6) Wang J. (2006), “**Analytical electrochemistry**”; 2nd Edition, John Wiley & Sons.
- (7) Sanghavi B.J., Wolfbeis O.S., Hirsch T. and Swami N.S. (2015) “Nanomaterial-based electrochemical sensing of neurological drugs and neurotransmitters” **Microchim. Acta**, **182**, **1**, pp 1-41.
- (8) Jadon N., Jain R., Sharma S. and Singh K. (2016) “Recent trends in electrochemical sensors for multianalyte detection – A review” **Talanta**, **161**, **1**, pp 894-916.
- (9) Edmonds T. (2013), “**Chemical sensors**”; Vol., Springer Science & Business Media, pp
- (10) Baldwin R. P., Christensen J. K. and Kryger L. (1986) “Voltammetric determination of traces of nickel (II) at a chemically modified electrode based on dimethylglyoxime-containing carbon paste” **Anal. Chem.**, **58**, **8**, pp 1790-1798.
- (11) Geno P. W., Ravichandran K. and Baldwin R. P. (1985) “Chemically modified carbon paste electrodes: Part IV. Electrostatic binding and electrocatalysis at poly (4-vinylpyridine)-containing electrodes” **J. Electroanal. Chem. Interfacial Electrochem.**, **183**, **1-2**, pp 155-166.
- (12) Halbert M. K. and Baldwin R. P. (1985) “Electrocatalytic and analytical response of cobalt phthalocyanine containing carbon paste electrodes toward sulphydryl compounds” **Anal. Chem.**, **57**, **3**, pp 591-595.
- (13) Koval C. A. and Anson F. C. (1978) “Electrochemistry of the ruthenium (3+, 2+) couple attached to graphite electrodes” **Anal. Chem.**, **50**, **2**, pp 223-229.
- (14) Miller L. L. and Van de Mark M. R. (1978) “Electrode surface modification via polymer adsorption” **J. Am. Chem. Soc.**, **100**, **2**, pp 639-640.
- (15) Oyama N. and Anson F. C. (1979) “Facile attachment of transition metal complexes to graphite electrodes coated with polymeric ligands. Observation and control of metal-ligand coordination among reactants confined to electrode surfaces” **J. Am. Chem. Soc.**, **101**, **3**, pp 739-741.
- (16) Gomathi H. and Rao G. P. (1985) “Chemical and electrochemical modification of the glassy carbon surface with quinhydrone” **J. Electroanal. Chem. Interfacial Electrochem.**, **190**, **1**, pp 85-94.

- (17) Larochelle J. and Johnson D. (1978) "Chromatographic determination of chromium (VI) with coulometric detection based on the electrocatalysis by adsorbed iodine of the reduction at platinum electrodes in acidic solutions" **Anal. Chem.**, **50**, 2, pp 240-243.
- (18) Taylor L. R. and Johnson D. C. (1974) "Determination of antimony using forced-flow liquid chromatography with a coulometric detector" **Anal. Chem.**, **46**, 2, pp 262-266.
- (19) Nowak R., Schultz F., Umana M., Abruna H. and Murray R. W. (1978) "Chemically modified electrodes: Part XIV. Attachment of reagents to oxide-free glassy carbon surfaces. Electroactive RF polymer films on carbon and platinum electrodes" **J. Electroanal. Chem. Interfacial Electrochem.**, **94**, 3, pp 219-225.
- (20) Jannakoudakis A., Missaelidis N. and Theodoridou E. (1985) "Chemical modification of electrochemically oxidized and partially rereduced carbon fibre electrodes" **Synth. Met.**, **11**, 2, pp 101-108.
- (21) Lennox J. C. and Murray R. W. (1977) "Chemically modified electrodes: VI. Binding and reversible electrochemistry of tetra-(aminophenyl) porphyrin on glassy carbon" **J. Electroanal. Chem. Interfacial Electrochem.**, **78**, 2, pp 395-401.
- (22) Lindsey S. and Street G. (1984) "Conductive composites from polyvinyl alcohol and polypyrrole" **Synth. Met.**, **10**, 1, pp 67-69.
- (23) Noufi R. (1983) "The Incorporation of Ruthenium Oxide in Polypyrrole Films and the Subsequent Photooxidation of Water at n-GaP Photoelectrode" **J. Electrochem. Soc.**, **130**, 10, pp 2126-2128.
- (24) Pfluger P. and Street G. (1984) "Chemical, electronic, and structural properties of conducting heterocyclic polymers: a view by XPS" **J. Chem. Phys.**, **80**, 1, pp 544-553.
- (25) Roullier L. and Waldner E. (1985) "The electrochemical behaviour of vinylferrocene and N-vinylcarbazole copolymer modified electrodes in aqueous and nonaqueous media" **J. Electroanal. Chem. Interfacial Electrochem.**, **187**, 1, pp 97-107.
- (26) Tourillon G., Dartige E., Dexpert H., Fontaine A., Jucha A., Lagarde P. and Sayers D. (1984) "Electrochemical inclusion of metallic clusters in organic conducting polymers An in situ dispersive x-ray absorption study" **J. Electroanal. Chem. Interfacial Electrochem.**, **178**, 2, pp 357-366.
- (27) La Salle A. L. G., Limoges B., Anizon J., Degrand C. and Brossier P. (1993) "Utilization of a Nafion®-modified electrode in a competitive homogeneous electrochemical immunoassay involving a redox cationic labelled hapten—phenytoin" **J. Electroanal. Chem.**, **350**, 1-2, pp 329-335.
- (28) Ghorbani-Bidkorbeh F., Shahrokhian S., Mohammadi A. and Dinarvand R. (2010) "Simultaneous voltammetric determination of tramadol and acetaminophen using carbon nanoparticles modified glassy carbon electrode" **Electrochim. Acta**, **55**, 8, pp 2752-2759.
- (29) Wang J. (2005) "Carbon-nanotube based electrochemical biosensors: A review" **Electroanalysis**, **17**, 1, pp 7-14.
- (30) Gan Z.-H., Zhao Q., Gu Z.-N. and Zhuang Q.-K. (2004) "Electrochemical studies of single-wall carbon nanotubes as nanometer-sized activators in enzyme-catalyzed reaction" **Anal. Chim. Acta**, **511**, 2, pp 239-247.
- (31) Gooding J. J., Chou A., Liu J., Losic D., Shapter J. G. and Hibbert D. B. (2007) "The effects of the lengths and orientations of single-walled carbon

- nanotubes on the electrochemistry of nanotube-modified electrodes” **Electrochim. Commun.**, **9**, 7, pp **1677-1683**.
- (32) Antiochia R. and Gorton L. (2007) “Development of a carbon nanotube paste electrode osmium polymer-mediated biosensor for determination of glucose in alcoholic beverages” **Biosens. Bioelectron.**, **22**, 11, pp **2611-2617**.
- (33) Ensafi A. A., Karimi-Maleh H., Mallakpour S. and Rezaei B. (2011) “Highly sensitive voltammetric sensor based on catechol-derivative-multiwall carbon nanotubes for the catalytic determination of captopril in patient human urine samples” **Colloids Surf., B**, **87**, 2, pp **480-488**.
- (34) Fagan-Murphy A., Allen M. C. and Patel B. A. (2015) “Chemically modified multiwall carbon nanotube composite electrodes: An assessment of fabrication strategies” **Electrochim. Acta**, **152**, pp **249-254**.
- (35) Teymourian H., Salimi A. and Khezrian S. (2013) “Fe 3 O 4 magnetic nanoparticles/reduced graphene oxide nanosheets as a novel electrochemical and bioelectrochemical sensing platform” **Biosens. Bioelectron.**, **49**, pp **1-8**.
- (36) Kroto H. W., Heath J. R., O'Brien S. C., Curl R. F. and Smalley R. E. (1985) “C 60: buckminsterfullerene” **Nature**, **318**, **6042**, pp **162-163**.
- (37) Iijima S. (1991) “Helical microtubules of graphitic carbon” **Nature**, **354**, **6348**, pp **56-58**.
- (38) Britto P., Santhanam K. and Ajayan P. (1996) “Carbon nanotube electrode for oxidation of dopamine” **Bioelectrochem. Bioenerg.**, **41**, 1, pp **121-125**.
- (39) Harris P. J. and Harris P. J. F. (2001), “**Carbon nanotubes and related structures: new materials for the twenty-first century**”; Cambridge university press.
- (40) Raoof J.-B., Ojani R. and Hosseini S. R. (2011) “A novel, effective and low cost catalyst for methanol oxidation based on nickel ions dispersed onto poly (o-toluidine)/Triton X-100 film at the surface of multi-walled carbon nanotube paste electrode” **J. Power Sources**, **196**, 4, pp **1855-1863**.
- (41) Rivas G. A., Rubianes M. D., Rodriguez M. C., Ferreyra N. F., Luque G. L., Pedano M. L., Miscoria S. A. and Parrado C. (2007) “Carbon nanotubes for electrochemical biosensing” **Talanta**, **74**, 3, pp **291-307**.
- (42) Britto P. J., Santhanam K. S., Rubio A., Alonso J. A. and Ajayan P. M. (1999) “Improved charge transfer at carbon nanotube electrodes” **Adv. Mat.**, **11**, 2, pp **154-157**.
- (43) Mohan P., Shinta R., Fujiwara J., Takahashi H., Mott D., Matsumura Y., Mizutani G., Iwami K., Umeda N. and Maenosono S. (2012) “Boehmite nanorod/gold nanoparticle nanocomposite film for an easy-to-use optical humidity sensor” **Sens. Actuator, B**, **168**, pp **429-435**.
- (44) Sanghavi B. J. and Srivastava A. K. (2013) “Adsorptive stripping voltammetric determination of imipramine, trimipramine and desipramine employing titanium dioxide nanoparticles and an Amberlite XAD-2 modified glassy carbon paste electrode” **Analyst**, **138**, 5, pp **1395-1404**.
- (45) Fung K. H. and Chan C. T. (2008) “A computational study of the optical response of strongly coupled metal nanoparticle chains” **Optics commun.**, **281**, 4, pp **855-864**.
- (46) Arvand M. and Gholizadeh T. M. (2013) “Gold nanorods-graphene oxide nanocomposite incorporated carbon nanotube paste modified glassy carbon electrode for voltammetric determination of indomethacin” **Sens. Actuator, B**, **186**, pp **622-632**.

- (47) Li J. and Lin X. (2007) “Electrocatalytic oxidation of hydrazine and hydroxylamine at gold nanoparticle—polypyrrole nanowire modified glassy carbon electrode” **Sens. Actuator, B**, **126**, 2, pp 527-535.
- (48) Tan Y., Li Y. and Zhu D. (2002) “Fabrication of gold nanoparticles using a trithiol (thiocyanuric acid) as the capping agent” **Langmuir**, **18**, 8, pp 3392-3395.
- (49) Fukushima M., Yanagi H., Hayashi S., Suganuma N. and Taniguchi Y. (2003) “Fabrication of gold nanoparticles and their influence on optical properties of dye-doped sol-gel films” **Thin Solid Films**, **438**, pp 39-43.
- (50) El-Deab M. S., Okajima T. and Ohsaka T. (2003) “Electrochemical reduction of oxygen on gold nanoparticle-electrodeposited glassy carbon electrodes” **J. Electrochem. Soci.**, **150**, 7, pp A851-A857.
- (51) Finot M. O., Braybrook G. D. and McDermott M. T. (1999) “Characterization of electrochemically deposited gold nanocrystals on glassy carbon electrodes” **J. Electroanal. Chem.**, **466**, 2, pp 234-241.
- (52) Wang P., Mai Z., Dai Z., Li Y. and Zou X. (2009) “Construction of Au nanoparticles on choline chloride modified glassy carbon electrode for sensitive detection of nitrite” **Biosens. Bioelectron.**, **24**, 11, pp 3242-3247.
- (53) Brown K. R., Fox A. P. and Natan M. J. (1996) “Morphology-dependent electrochemistry of cytochrome c at Au colloid-modified SnO₂ electrodes” **J. Am. Chem. Soc.**, **118**, 5, pp 1154-1157.
- (54) Castañeda M. e. T., Alegret S. and Merkoci A. (2007) “Electrochemical sensing of DNA using gold nanoparticles” **Electroanalysis**, **19**, 7-8, pp 743-753.
- (55) Tang H., Chen J., Nie L., Kuang Y. and Yao S. (2007) “A label-free electrochemical immunoassay for carcinoembryonic antigen (CEA) based on gold nanoparticles (AuNPs) and nonconductive polymer film” **Biosens. Bioelectron.**, **22**, 6, pp 1061-1067.
- (56) Carey F. A. and Sundberg R. J. (2007), “**Advanced Organic Chemistry: Part A: Structure and Mechanisms**”; Vol., Springer Science & Business Media.
- (57) Zeng C. C., Liu F. J., Ping D. W., Cai Y., Zhong R. and Becker J.Y. (2009) “Electrochemical oxidation of catechols in the presence of 4-amino-3-methyl-5-mercaptop-1,2,4-triazole bearing two nucleophilic groups” **J. Electroanal. Chem.**, **625**, pp 131-137.
- (58) Afkhami A., Nematollahi D., Madrakian T. and Khalafi L. (2005) “Investigation of the electrochemical behavior of some catecholamines in the presence of 4-aminobenzoic acid” **Electrochim. Acta**, **50**, 28, pp 5633-5640.
- (59) Yeh W.-L., Kuo Y.-R. and Cheng S.-H. (2008) “Voltammetry and flow-injection amperometry for indirect determination of dopamine” **Electrochim. Commun.**, **10**, 1, pp 66-70.
- (60) Ke N. J., Lu S.S. and Cheng S.H. (2006) “A strategy for the determination of dopamine at a bare glassy carbon electrode: p-Phenylenediamine as a nucleophile” **Electrochim. Commun.**, **8**, 9, pp 1514-1520.
- (61) Ameri M., Asghari A., Amoozadeh A., Daneshinejad H. and Nematollahi D. (2014) “Electrosynthesis of hydroquinonethioethers using electrochemical oxidation of hydroquinone in the presence of thiouracil derivatives” **Chin. Chem. Lett.**, **25**, 5, pp 797-801.
- (62) Arab Chamjangali M., Bakherad M. and Ameri M. (2015) “Electrochemical oxidation of catechol derivatives in the presence of 3-acetyl dihydro-2 (3H)-furanone: efficient and green method for synthesis of new

- butyrolactone derivatives” **Monatshefte für Chemie**, **146**, **1**, pp 111-117.
- (63) Huang T. H., Kuwana T. and Warsinke A. (2002) “Analysis of thiols with tyrosinase-modified carbon paste electrodes based on blocking of substrate recycling” **Biosens. Bioelectron.**, **17**, **11**, pp 1107-1113.
- (64) Lawrence N. S., Davis J. and Compton R. G. (2001) “Electrochemical detection of thiols in biological media” **Talanta**, **53**, **5**, pp 1089-1094.
- (65) Roussel C., Rohner T. C., Jensen H. and Girault H. H. (2003) “Mechanistic Aspects of On-Line Electrochemical Tagging of Free L-Cysteine Residues during Electrospray Ionisation for Mass Spectrometry in Protein Analysis” **ChemPhysChem**, **4**, **2**, pp 200-206.
- (66) White P. C., Lawrence N. S., Tsai Y. C., Davis J. and Compton R. G. (2001) “Electrochemically driven derivatisation-detection of cysteine” **Microchim. Acta**, **137**, **1-2**, pp 87-91.
- (67) Gerard M., Chaubey A. and Malhotra B. (2002) “Application of conducting polymers to biosensors” **Biosens. Bioelectron.**, **17**, **5**, pp 345-359.
- (68) Bard A. J. and Faulkner L. R. (2001) “Fundamentals and applications” **Electrochemical Methods**, **2nd ed.**; Wiley: New York.
- (69) Nicholson R. S. and Shain I. (1964) “Theory of stationary electrode polarography. Single scan and cyclic methods applied to reversible, irreversible, and kinetic systems” **Anal. Chem.**, **36**, **4**, pp 706-723.
- (70) Testa A. and Reinmuth W. (1961) “Stepwise reactions in chronopotentiometry” **Anal. Chem.**, **33**, **10**, pp 1320-1324.
- (71) Pletcher D., Greff R., Peat R., Peter L. and Robinson J. (2001), “**Instrumental methods in electrochemistry**”; Southampton Electrochemistry Group, Horwood Publishing.
- (72) Arabzadeh A. and Salimi A. (2015) “Novel voltammetric and impedimetric sensor for femtomolar determination of lysozyme based on metal-chelate affinity immobilized onto gold nanoparticles” **Biosens. Bioelectron.**, **74**, pp 270-276.
- (73) Plesu N., Kellenberger A., Taranu I., Taranu B. O. and Popa I. (2013) “Impedimetric detection of dopamine on poly (3-aminophenylboronic acid) modified skeleton nickel electrodes” **React. Funct. Polym.**, **73**, **5**, pp 772-778.
- (74) Rafiee B., Fakhari A. R. and Ghaffarzadeh M. (2015) “Impedimetric and stripping voltammetric determination of methamphetamine at gold nanoparticles-multiwalled carbon nanotubes modified screen printed electrode” **Sens. Actuator, B**, **218**, pp 271-279.
- (75) Cachet C., Saidani B. and Wiart R. (1988) “The kinetics of zinc deposition at low overpotentials in alkaline electrolytes” **Electrochim. Acta**, **33**, **3**, pp 405-416.
- (76) Cachet C., Saidani B. and Wiart R. (1991) “The Behavior of Zinc Electrode in Alkaline Electrolytes I. A Kinetic Analysis of Cathodic Deposition” **J. Electrochem. Soci.**, **138**, **3**, pp 678-687.
- (77) Cachet C., Saïdani B. and Wiart R. (1989) “A model for zinc deposition in alkaline electrolytes: inhibition layer and activation mechanism” **Electrochim. Acta**, **34**, **8**, pp 1249-1250.
- (78) Danaee I. (2011) “Kinetics and mechanism of palladium electrodeposition on graphite electrode by impedance and noise measurements” **J. Electroanal. Chem.**, **662**, **2**, pp 415-420.
- (79) Esseghaier C., Helali S., Fredj H. B., Tlili A. and Abdelghani A. (2008)

- “Polypyrrole–neutravidin layer for impedimetric biosensor” **Sens. Actuator, B, 131, 2**, pp **584-589**.
- (80) Pejic B. and De Marco R. (2006) “Impedance spectroscopy: Over 35 years of electrochemical sensor optimization” **Electrochim. Acta, 51, 28**, pp **6217-6229**.
- (81) Rahman N. and Hoda M. (2002) “Spectrophotometric determination of verapamil hydrochloride in drug formulations with chloramine-T as oxidant” **Anal. Bioanal. Chem., 374, 3**, pp **484-489**.
- (82) Lien T. T., Takamura Y., Tamiya E. and Mun'delanji C. V. (2015) “Modified screen printed electrode for development of a highly sensitive label-free impedimetric immunosensor to detect amyloid beta peptides” **Anal. Chim. Acta, 892**, pp **69-76**.
- (83) Bethell D., Brust M., Schiffrian D. and Kiely C. (1996) “From monolayers to nanostructured materials: an organic chemist's view of self-assembly” **J. Electroanal. Chem., 409, 1**, pp **137-143**.
- (84) Fisher R. A. (1971), “**The Design of Experiments**”; 8th ed. Hafner Publishing Co., New York.
- (85) Montgomery D. C. (2008), “**Design and analysis of experiments**”; 7th ed John Wiley & Sons.
- (86) Morgan E. D (1995), “**Chemometrics: experimental design**”; London, by J. Wiley.
- (87) Myers R. H., Montgomery D. C. and Anderson-Cook C. M. (2016), “**Response surface methodology: process and product optimization using designed experiments**”; 3rd ed, John Wiley & Sons.
- (88) Ryan T. P. (2007), “**Modern experimental design**”; Wiley and sons, pp **447-474**.
- (89) Derringer G. (1980) “Simultaneous optimization of several response variables” **J. Qual. Technol., 12**, pp **214-219**.
- (90) Beck E., Sieber W. J. and Trejo R. (2005) “Management of cluster headache” **Am Fam Physician, 71, 4**, pp **717-724**.
- (91) Rybalchenko V., Prevarskaya N., Van Coppenolle F., Legrand G., Lemonnier L., Le Bourhis X. and Skryma R. (2001) “Verapamil inhibits proliferation of LNCaP human prostate cancer cells influencing K⁺ channel gating” **Mol. Pharmacol., 59, 6**, pp **1376-1387**.
- (92) Tsuruo T., Iida H., Tsukagoshi S. and Sakurai Y. (1981) “Overcoming of vincristine resistance in P388 leukemia in vivo and in vitro through enhanced cytotoxicity of vincristine and vinblastine by verapamil” **Cancer Res., 41, 5**, pp **1967-1972**.
- (93) Zhang C., Lv F., Zhou L., Li X., Wu X.-X. and Hoffman R. M. (2009) “Effect of verapamil on the expression of EGFR and NM23 in A549 human lung cancer cells” **Anticancer Res., 29, 1**, pp **27-32**.
- (94) Patlak M. (2004) “From viper's venom to drug design: treating hypertension” **The FASEB Journal, 18, 3**, pp **421e-421e**.
- (95) Asafu-Adjaye E. and Shiu G. K. (1998) “Solid-phase extraction–high-performance liquid chromatography determination of verapamil and norverapamil enantiomers in urine” **J. Chromatogr. B: Biomed. Sci. Appl., 707, 1**, pp **161-167**.
- (96) Ho P., Saville D. and Wanwimolruk S. (2000) “Simultaneous HPLC analysis of S-and R-verapamil and metabolites, S-and R-norverapamil in human

- plasma" **J. Liq. Chromatogr. Relat. Technol.**, **23**, **11**, pp **1711-1723**.
- (97) Lau-Cam C. and Piemontese D. (1998) "Simplified reversed-phase HPLC method with spectrophotometric detection for the assay of verapamil in rat plasma" **J. Pharm. Biomed. Anal.**, **16**, **6**, pp **1029-1035**.
- (98) Negrusz A., Wacek B., Toerne T. and Bryant J. (1997) "Quantitation of verapamil and norverapamil in postmortem and clinical samples using liquid-liquid extraction, solid phase extraction, and HPLC" **Chromatographia**, **46**, **3-4**, pp **191-196**.
- (99) Yulan Z., Jie L., Caihui J. and Maonian Z. (1999) "High Performance Liquid Chromatographic Determination of Verapamil in Vitreous Body and Aqueous Humour" **J. Instrumental Anal.**, **18**, **6**, pp **76-78**.
- (100) Hege H. (1978) "Gas chromatographic determination of verapamil in plasma and urine" **Arzneimittel-Forschung**, **29**, **11**, pp **1681-1684**.
- (101) McAllister R., Tan T. and Bourne D. (1979) "GLC assay of verapamil in plasma: Identification of fluorescent metabolites after oral drug administration" **J. Pharm. Sci.**, **68**, **5**, pp **574-577**.
- (102) Shin H.-S., Oh-Shin Y.-S., Kim H.-J. and Kang Y.-K. (1996) "Sensitive assay for verapamil in plasma using gas-liquid chromatography with nitrogen-phosphorus detection" **J. Chromatogr. B: Biomed. Sci. Appl.**, **677**, **2**, pp **369-373**.
- (103) Walles M., Mullett W., Levsen K., Borlak J., Wünsch G. and Pawliszyn J. (2002) "Verapamil drug metabolism studies by automated in-tube solid phase microextraction" **J. Pharm. Biomed. Anal.**, **30**, **2**, pp **307-319**.
- (104) McAllister R. and Howell S. (1976) "Fluorometric assay of verapamil in biological fluids and tissues" **J. Pharm. Sci.**, **65**, **3**, pp **431-432**.
- (105) Kasim E. A., Ghadour M., El-Haty M. and Ahmed M. M. (2002) "Determination of verapamil by adsorptive stripping voltammetry in urine and pharmaceutical formulations" **J. Pharm. Biomed. Anal.**, **30**, **4**, pp **921-929**.
- (106) Chen A., Tsao M.-J., Chuang J.-F. and Lin C.-H. (2013) "Electrochemical determination of Verapamil with a microchip embedded with gold nanoelectrode ensemble electrodes" **Electrochim. Acta**, **89**, pp **700-707**.
- (107) Semaan F. S., Cavalheiro É. T. and Brett C. M. (2009) "Electrochemical behavior of verapamil at graphite-polyurethane composite electrodes: determination of release profiles in pharmaceutical samples" **Anal. lett.**, **42**, **8**, pp **1119-1135**.
- (108) Demircan Ş., Kir S. and Ozkan S. (2007) "Electroanalytical characterization of verapamil and its voltammetric determination in pharmaceuticals and human serum" **Anal. lett.**, **40**, **6**, pp **1177-1195**.
- (109) Oliveira G. G., Azzi D. C., Vicentini F. C., Sartori E. R. and Fatibello-Filho O. (2013) "Voltammetric determination of verapamil and propranolol using a glassy carbon electrode modified with functionalized multiwalled carbon nanotubes within a poly (allylamine hydrochloride) film" **J. Electroanal. Chem.**, **708**, pp **73-79**.
- (110) Hasanzadeh M., Pournaghi-Azar M. H., Shadjou N. and Jouyban A. (2013) "A verapamil electrochemical sensor based on magnetic mobile crystalline material-41 grafted by sulfonic acid" **Electrochim. Acta**, **89**, pp **660-668**.
- (111) Alkire R. C., Kolb D. M. and Lipkowski J. (2006), "**Advances in electrochemical science and engineering**"; Vol. 9, John Wiley & Sons.
- (112) Streeter I., Wildgoose G. G., Shao L. and Compton R. G. (2008) "Cyclic

voltammetry on electrode surfaces covered with porous layers: an analysis of electron transfer kinetics at single-walled carbon nanotube modified electrodes” **Sens. Actuator, B, 133, 2**, pp 462-466.

(113) Xiao L., Wildgoose G. G. and Compton R. G. (2009) “Exploring the origins of the apparent “electrocatalysis” observed at C 60 film-modified electrodes” **Sens. Actuator, B, 138, 2**, pp 524-531.

(114) Alothman Z. A., Bukhari N., Wabaidur S. M. and Haider S. (2010) “Simultaneous electrochemical determination of dopamine and acetaminophen using multiwall carbon nanotubes modified glassy carbon electrode” **Sens. Actuator, B, 146, 1**, pp 314-320.

(115) Jose P. A., Eisner G. M. and Felder R. A. (2003) “Regulation of blood pressure by dopamine receptors” **Nephron Physiol., 95, 2**, pp p19-p27.

(116) Raj C. R., Okajima T. and Ohsaka T. (2003) “Gold nanoparticle arrays for the voltammetric sensing of dopamine” **J. Electroanal. Chem., 543, 2**, pp 127-133.

(117) Kumar S. A., Wang S.-F., Yang T. C.-K. and Yeh C.-T. (2010) “Acid yellow 9 as a dispersing agent for carbon nanotubes: Preparation of redox polymer–carbon nanotube composite film and its sensing application towards ascorbic acid and dopamine” **Biosens. Bioelectron., 25, 12**, pp 2592-2597.

(118) Alarcón-Angeles G., Pérez-López B., Palomar-Pardave M., Ramírez-Silva M., Alegret S. and Merkoci A. (2008) “Enhanced host–guest electrochemical recognition of dopamine using cyclodextrin in the presence of carbon nanotubes” **Carbon, 46, 6**, pp 898-906.

(119) Franken I. H., Booij J. and van den Brink W. (2005) “The role of dopamine in human addiction: from reward to motivated attention” **Eur. J. Pharmacol., 526, 1**, pp 199-206.

(120) del Pozo M., Mejías J., Hernández P. and Quintana C. (2014) “Cucurbit [8] uril-based electrochemical sensors as detectors in flow injection analysis. Application to dopamine determination in serum samples” **Sens. Actuator, B, 193**, pp 62-69.

(121) Seckin Z. E. and Volkan M. (2005) “Flow injection fluorescence determination of dopamine using a photo induced electron transfer (PET) boronic acid derivative” **Anal. Chim. Acta, 547, 1**, pp 104-108.

(122) Virag L. and Whittington R. A. (2002) “Highly sensitive chromatographic assay for dopamine determination during in vivo cerebral microdialysis in the rat” **Journal of Chromatogr. B, 772, 2**, pp 267-272.

(123) Zhao H.-X., Mu H., Bai Y.-H., Yu H. and Hu Y.-M. (2011) “A rapid method for the determination of dopamine in porcine muscle by pre-column derivatization and HPLC with fluorescence detection” **J. Pharm. Anal., 1, 3**, pp 208-212.

(124) Naccarato A., Gionfriddo E., Sindona G. and Tagarelli A. (2014) “Development of a simple and rapid solid phase microextraction-gas chromatography-triple quadrupole mass spectrometry method for the analysis of dopamine, serotonin and norepinephrine in human urine” **Anal. Chim. Acta, 810**, pp 17-24.

(125) Khajehsharifi H., Pourbasheer E., Tavallali H., Sarvi S. and Sadeghi M. (2014) “The comparison of partial least squares and principal component regression in simultaneous spectrophotometric determination of ascorbic acid, dopamine and uric acid in real samples” **Arab. J. Chem..**

- (126) Luo J., Jiang S., Zhang H., Jiang J. and Liu X. (2012) “A novel non-enzymatic glucose sensor based on Cu nanoparticle modified graphene sheets electrode” **Anal. Chim. Acta**, **709**, pp 47-53.
- (127) Yu X., Chen Y., Chang L., Zhou L., Tang F. and Wu X. (2013) “ β -cyclodextrin non-covalently modified ionic liquid-based carbon paste electrode as a novel voltammetric sensor for specific detection of bisphenol A” **Sens. Actuator, B**, **186**, pp 648-656.
- (128) Liu S., Xing X., Yu J., Lian W., Li J., Cui M. and Huang J. (2012) “A novel label-free electrochemical aptasensor based on graphene–polyaniline composite film for dopamine determination” **Biosens. Bioelectron.**, **36**, **1**, pp 186-191.
- (129) Wang Y. (2011) “Simultaneous determination of uric acid, xanthine and hypoxanthine at poly (pyrocatechol violet)/functionalized multi-walled carbon nanotubes composite film modified electrode” **Colloids Surf., B**, **88**, **2**, pp 614-621.
- (130) Sun W., Yang M. and Jiao K. (2007) “Electrocatalytic oxidation of dopamine at an ionic liquid modified carbon paste electrode and its analytical application” **Anal. Bioanal. Chem.**, **389**, **4**, pp 1283-1291.
- (131) Zhu Z., Qu L., Guo Y., Zeng Y., Sun W. and Huang X. (2010) “Electrochemical detection of dopamine on a Ni/Al layered double hydroxide modified carbon ionic liquid electrode” **Sens. Actuator, B**, **151**, **1**, pp 146-152.
- (132) Sun C.-L., Lee H.-H., Yang J.-M. and Wu C.-C. (2011) “The simultaneous electrochemical detection of ascorbic acid, dopamine, and uric acid using graphene/size-selected Pt nanocomposites” **Biosens. Bioelectron.**, **26**, **8**, pp 3450-3455.
- (133) Yue Y., Hu G., Zheng M., Guo Y., Cao J. and Shao S. (2012) “A mesoporous carbon nanofiber-modified pyrolytic graphite electrode used for the simultaneous determination of dopamine, uric acid, and ascorbic acid” **Carbon**, **50**, **1**, pp 107-114.
- (134) Thomas T., Mascarenhas R. J. and Swamy B. K. (2012) “Poly (Rhodamine B) modified carbon paste electrode for the selective detection of dopamine” **J. Mol. Liq.**, **174**, pp 70-75.
- (135) Reddy S., Swamy B. K. and Jayadevappa H. (2012) “CuO nanoparticle sensor for the electrochemical determination of dopamine” **Electrochim. Acta**, **61**, pp 78-86.
- (136) Mahanthesh K., Swamy B. K., Chandra U., Shankar S. S. and Pai K. (2012) “Electrocatalytic oxidation of dopamine at murexide and TX-100 modified carbon paste electrode: a cyclic voltammetric study” **J. Mol. Liq.**, **172**, pp 119-124.
- (137) Shankar S. S., Swamy B. K. and Chandrashekhar B. (2012) “Electrochemical selective determination of dopamine at TX-100 modified carbon paste electrode: A voltammetric study” **J. Mol. Liq.**, **168**, pp 80-86.
- (138) Thomas T., Mascarenhas R. J., Nethravathi C., Rajamathi M. and Swamy B. K. (2011) “Graphite oxide bulk modified carbon paste electrode for the selective detection of dopamine: A voltammetric study” **J. Electroanal. Chem.**, **659**, **1**, pp 113-119.
- (139) Sathisha T., Swamy B. K., Schell M. and Eswarappa B. (2014) “Synthesis and characterization of carbon nanoparticles and their modified carbon paste electrode for the determination of dopamine” **J. Electroanal. Chem.**, **720**, pp 1-8.

(140) گلابی س، م، ۱۳۸۴، "مقدمه‌ای بر الکتروشیمی تجزیه‌ای". چاپ سوم، انتشارات دانشگاه تبریز، تبریز ص ۳۶۴-۳۷۱.

(141) Shahrokhian S. and Saberi R.-S. (2007) "Differential pulse voltammetric determination of propylthiouracil and methylthiouracil using their catalytic effects on the electrochemical oxidation of catechol" *Int. J. Electrochem. Sci.*, **2**, 2, pp 158.

(142) Bockris J. O. M. and Reddy A. K. (2001), "**Modern Electrochemistry 2B: Electrodics in Chemistry, Engineering, Biology and Environmental Science**"; Vol. 2, Springer Science & Business Media.

(143) Niranjana E., Swamy B. K., Naik R. R., Sherigara B. and Jayadevappa H. (2009) "Electrochemical investigations of potassium ferricyanide and dopamine by sodium dodecyl sulphate modified carbon paste electrode: A cyclic voltammetric study" *J. Electroanal. Chem.*, **631**, 1, pp 1-9.

(144) Tashkhourian J., Nezhad M. H., Khodavesi J. and Javadi S. (2009) "Silver nanoparticles modified carbon nanotube paste electrode for simultaneous determination of dopamine and ascorbic acid" *J. Electroanal. Chem.*, **633**, 1, pp 85-91.

(145) Chitravathi S., Swamy B. K., Mamatha G. and Sherigara B. (2012) "Electrochemical behavior of poly (naphthol green B)-film modified carbon paste electrode and its application for the determination of dopamine and uric acid" *J. Electroanal. Chem.*, **667**, pp 66-75.

(146) Shahrokhian S. and Zare-Mehrjardi H. R. (2007) "Cobalt salophen-modified carbon-paste electrode incorporating a cationic surfactant for simultaneous voltammetric detection of ascorbic acid and dopamine" *Sens. Actuator, B*, **121**, 2, pp 530-537.

(147) Sathisha T. V., Swamy B. E. K., Reddy S., Chandrashekar B. N. and Eswarappa B. (2012) "Clay modified carbon paste electrode for the voltammetric detection of dopamine in presence of ascorbic acid" *J. Mol. Liq.*, **172**, pp 53-58.

(148) Chandrashekar B., Swamy B. K., Pandurangachar M., Sathisha T. and Sherigara B. (2011) "Electropolymerisation of L-arginine at carbon paste electrode and its application to the detection of dopamine, ascorbic and uric acid" *Colloids Surf., B*, **88**, 1, pp 413-418.

(149) Nasirizadeh N., Shekari Z., Zare H. R. and Makarem S. (2013) "Electrocatalytic determination of dopamine in the presence of uric acid using an indenedione derivative and multiwall carbon nanotubes spiked in carbon paste electrode" *Mat. Sci. Eng. C*, **33**, 3, pp 1491-1497.

(150) Atta N. F., Ali S. M., Ekram H. and Galal A. (2014) "Nano-perovskite carbon paste composite electrode for the simultaneous determination of dopamine, ascorbic acid and uric acid" *Electrochim. Acta*, **128**, pp 16-24.

(151) Ghoreishi S. M., Behpour M. and Fard M. H. M. (2012) "Electrochemical methods for simultaneous determination of trace amounts of dopamine and uric acid using a carbon paste electrode incorporated with multi-wall carbon nanotubes and modified with α -cyclodextrine" *J. Solid State Electrochem.*, **16**, 1, pp 179-189.

(152) Shams E., Babaei A., Taheri A. R. and Kooshki M. (2009) "Voltammetric determination of dopamine at a zirconium phosphated silica gel modified carbon paste electrode" *Bioelectrochemistry*, **75**, 2, pp 83-88.

(153) Vidya H. and Swamy B. K. (2015) "Voltammetric determination of

- dopamine in the presence of ascorbic acid and uric acid at sodium dodecyl sulphate/reduced graphene oxide modified carbon paste electrode” **J. Mol. Liq.**, **211**, pp **705-711**.
- (154) Soltani N., Tavakkoli N., Ahmadi N. and Davar F. (2015) “Simultaneous determination of acetaminophen, dopamine and ascorbic acid using a PbS nanoparticles Schiff base-modified carbon paste electrode” **Comptes Rendus Chimie**, **18**, **4**, pp **438-448**.
- (155) Afraz A., Rafati A. A. and Najafi M. (2014) “Optimization of modified carbon paste electrode with multiwalled carbon nanotube/ionic liquid/cauliflower-like gold nanostructures for simultaneous determination of ascorbic acid, dopamine and uric acid” **Mat. Sci. Eng. C**, **44**, pp **58-68**.
- (156) Rafati A. A., Afraz A., Hajian A. and Assari P. (2014) “Simultaneous determination of ascorbic acid, dopamine, and uric acid using a carbon paste electrode modified with multiwalled carbon nanotubes, ionic liquid, and palladium nanoparticles” **Microchim. Acta**, **181**, **15-16**, pp **1999-2008**.
- (157) Raghav R. and Srivastava S. (2013) “Core-shell gold–silver nanoparticles based impedimetric immunosensor for cancer antigen CA125” **Sens. Actuator, B**, **220**, pp **557–564**.
- (158) Daneshinejad H., Chamjangali M. A., Goudarzi N. and Roudbari A. (2016) “Application of a thin film of poly (solochrome black T) as a redox mediator for the electro-catalytic simultaneous determination of dopamine and acetaminophen in the pharmaceutical and biological samples” **Mat. Sci. Eng. C**, **58**, pp **532-540**.
- (159) Rashid M. H., Bhattacharjee R. R., Kotal A. and Mandal T. K. (2006) “Synthesis of spongy gold nanocrystals with pronounced catalytic activities” **Langmuir**, **22**, **17**, pp **7141-7143**.
- (160) Guo S. and Wang E. (2007) “Synthesis and electrochemical applications of gold nanoparticles” **Anal. Chim. Acta**, **598**, **2**, pp **181-192**.
- (161) Spencer C. M. and Barradell L. B. (1996) “Gemfibrozil” **Drugs**, **51**, **6**, pp **982-1018**.
- (162) Craig C. R. and Stitzel R. E. (2004), “**Modern pharmacology with clinical applications**”; Lippincott Williams & Wilkins.
- (163) Lilja J. J., Backman J. T. and Neuvonen P. J. (2005) “Effect of gemfibrozil on the pharmacokinetics and pharmacodynamics of racemic warfarin in healthy subjects” **Br. J. Clin. Pharmacol.**, **59**, **4**, pp **433-439**.
- (164) Todd P. A. and Ward A. (1988) “Gemfibrozil” **Drugs**, **36**, **3**, pp **314-339**.
- (165) Panahi H. A., Feizbakhsh A., Karimpour M. and Moniri E. (2013) “Determination of gemfibrozil in drug matrix and human biological fluid by dispersive liquid-liquid microextraction with high performance liquid chromatography” **J Food Drug Anal.**, **21**, **10**.
- (166) Ardila J. A., Oliveira G. G., Medeiros R. A. and Fatibello-Filho O. (2013) “Determination of gemfibrozil in pharmaceutical and urine samples by square-wave adsorptive stripping voltammetry using a glassy carbon electrode modified with multi-walled carbon nanotubes within a dihexadecyl hydrogen phosphate film” **J. Electroanal. Chem.**, **690**, pp **32-37**.
- (167) Li J., Xie H. and Chen L. (2011) “A sensitive hydrazine electrochemical sensor based on electrodeposition of gold nanoparticles on choline film modified glassy carbon electrode” **Sens. Actuator, B**, **153**, **1**, pp **239-245**.

- (168) Cliff G. and Lorimer G. W. (1975) "The quantitative analysis of thin specimens" **Journal of Microscopy**, **103**, 2, pp 203-207.
- (169) Yanni S. B. (2015) "**Translational ADMET for Drug Therapy, Distribution: Principle, Methods, and Applications**", John Wiley & Sons.Inc,pp 37-62.
- (170) Amjadi M., Manzoori J. L. and Farzampour L. (2008) "Development of a new analytical spectroscopic methodology based on the competitive aggregation in a dye–surfactant–drug system: Application to the determination of gemfibrozil" **J. Spectr.**, **22**, 4, pp 309-317.
- (171) Dai X., Nekrassova O., Hyde M. E. and Compton R. G. (2004) "Anodic stripping voltammetry of arsenic (III) using gold nanoparticle-modified electrodes" **Anal. Chem.**, **76**, 19, pp 5924-5929.
- (172) Osteryoung J. G. and Osteryoung R. A. (1985) "Square wave voltammetry" **Anal. Chem.**, **57**, 1, pp 101A-110A.
- (173) Kamalzadeh Z. and Shahrokhian S. (2014) "Electrochemical determination of atorvastatin on nano-scaled polypyrrole film" **Bioelectrochemistry**, **98**, pp 1-10.
- (174) Abbar J. C. and Nandibewoor S. T. (2013) "Voltammetric oxidation and determination of atorvastatin based on the enhancement effect of cetyltrimethyl ammonium bromide at a carbon paste electrode" **Colloids Surf., B**, **106**, pp 158-164.
- (175) Razavi B., Song W., Cooper W. J., Greaves J. and Jeong J. (2009) "Free-radical-induced oxidative and reductive degradation of fibrate pharmaceuticals: kinetic studies and degradation mechanisms" **J. Phys.Chem. A**, **113**, 7, pp 1287-1294.
- (176) Frederix F., Bonroy K., Laureyn W., Reekmans G., Campitelli A., Dehaen W. and Maes G. (2003) "Enhanced performance of an affinity biosensor interface based on mixed self-assembled monolayers of thiols on gold" **Langmuir**, **19**, 10, pp 4351-4357.
- (177) Sun J., Guo A., Zhang Z., Guo L. and Xie J. (2011) "A conjugated aptamer-gold nanoparticle fluorescent probe for highly sensitive detection of rHuEPO- α " **Sensors**, **11**, 11, pp 10490-10501.
- (178) Han H., Wu X., Wu S., Zhang Q., Lu W., Zhang H. and Pan D. (2013) "Fabrication of alizarin red S/multi-walled carbon nanotube nanocomposites and their application in hydrogen peroxide detection" **J. Mat. Sci.**, **48**, 9, pp 3422-3427.
- (179) Habibi B., Abazari M. and Pournaghi-Azar M. H. (2012) "A carbon nanotube modified electrode for determination of caffeine by differential pulse voltammetry" **Chin. J. Catal.**, **33**, 11, pp 1783-1790.
- (180) Salimi A., Banks C. E. and Compton R. G. (2004) "Abrasive immobilization of carbon nanotubes on a basal plane pyrolytic graphite electrode: application to the detection of epinephrine" **Analyst**, **129**, 3, pp 225-228.
- (181) Valentini F., Amine A., Orlanducci S., Terranova M. L. and Palleschi G. (2003) "Carbon nanotube purification: preparation and characterization of carbon nanotube paste electrodes" **Anal. Chem.**, **75**, 20, pp 5413-5421.
- (182) Zhang W. and Silva S. R. P. (2010) "Raman and FT-IR studies on dye-assisted dispersion and flocculation of single walled carbon nanotubes" **Spectrochim. Acta Part A**, **77**, 1, pp 175-178.
- (183) Deng P., Fei J., Zhang J. and Li J. (2008) "Determination of trace copper

- by adsorptive voltammetry using a multiwalled carbon nanotube modified carbon paste electrode" **Electroanalysis**, **20**, **11**, pp **1215-1219**.
- (184) Deng P.-H., Zhang J., Liao S.-F. and Li J.-N. (2008) "Adsorption voltammetry of the zirconium-alizarin red S complex at a multi-walled carbon nanotubes modified carbon paste electrode" **Microchim. Acta**, **161**, **1-2**, pp **123-128**.
- (185) Schumacher S., Nagel T., Scheller F. W. and Gajovic-Eichelmann N. (2011) "Alizarin Red S as an electrochemical indicator for saccharide recognition" **Electrochim. Acta**, **56**, **19**, pp **6607-6611**.
- (186) Liu H., Chen Y., Liu Y. and Yang Z. (2013) "A sensitive sensor for determination of l-tryptophan based on gold nanoparticles/poly (alizarin red S)-modified glassy carbon electrode" **J. Solid State Electrochem.**, **17**, **10**, pp **2623-2631**.
- (187) Zhong H., Li N., Zhao F. and an Li K. (2004) "Determination of proteins with Alizarin Red S by Rayleigh light scattering technique" **Talanta**, **62**, **1**, pp **37-42**.
- (188) Soriaga M. P. and Hubbard A. T. (1982) "Determination of the orientation of adsorbed molecules at solid-liquid interfaces by thin-layer electrochemistry: aromatic compounds at platinum electrodes" **J. Am. Chem. Soc.**, **104**, **10**, pp **2735-2742**.
- (189) Brown A. P. and Anson F. C. (1977) "Cyclic and differential pulse voltammetric behavior of reactants confined to the electrode surface" **Anal. Chem.**, **49**, **11**, pp **1589-1595**.

Abstract

Applications of nanomaterials such as multi-walled carbon nanotubes (MWCNTs) and gold nanoparticles, electrochemical mediators such as methylthiouuracil and poly alizarin red S were investigated for modifying the surface of glassy carbon and carbon paste electrodes for fabrication of electrochemical sensors for the determination of drug compounds such as verapamil, gemfibrozil and dopamine.

In this regard, the glassy carbon electrode was modified with multi-walled carbon nanotubes (MWCNT/GCE) and electrochemical oxidation and voltammetric determination of verapamil were studied at the surface of this modified electrode. The results revealed that oxidation of the mentioned compound at the surface of unmodified electrode exhibits an ill-defined oxidation peak; while at the surface of the modified electrode a sharp peak with significant current was observed. The linear calibration ranges of the method for determination of verapamil using cyclic and differential pulse voltammetry were $2.50\text{-}70.00 \mu\text{mol L}^{-1}$; while the detection limits based on these methods were $2.00 \mu\text{mol L}^{-1}$ and $1.60 \mu\text{mol L}^{-1}$, respectively. The modified electrode as an electrochemical sensor has the capability for the determination of the verapamil in the pharmaceutical samples and also in the biological samples like human serum.

The carbon paste electrode was modified with methylthiouuracil and was used for the determination of dopamine using voltammetric methods. Due to the presence of nucleophile agent as the modifier in the bulk of carbon paste electrode, the prepared electrochemical sensor shows high electrocatalytic activity towards the oxidation of dopamine through 1,4 Michael addition reaction. The electrochemical behavior of dopamine at the surface of methylthiouuracil modified carbon paste electrode was studied using cyclic voltammetry and chronocoulometry. The more effective variables on the sensitivity of the electrode were screened by Plackett–Burman design and subsequently optimized using central composite design. Under the optimum conditions a linear calibration graph over the range of $0.20\text{-}15.00 \mu\text{mol L}^{-1}$ with a detection limit of $73.00 \text{ nmol L}^{-1}$ was obtained using adsorptive stripping differential pulse voltammetry. The conducted studies confirmed the ability of the proposed sensor for dopamine determination in the pharmaceutical samples.

The glassy carbon electrode surface was modified with multi-walled carbon nanotubes. Afterward, gold nanoparticles were electrochemically immobilized at the MWCNT/GCE. Scanning electron microscopy (SEM), energy dispersive x-ray (EDX) and electrochemical impedance spectroscopy (EIS) were used for characterization of the MWCNT/Au modified glassy carbon electrode (MWCNT/Au/GCE) surface. Determination of gemfibrozil was studied by adsorptive stripping square wave voltammetry as well as impedimetry. The linear calibration ranges for determination of gemfibrozil were $0.15\text{-}45.00 \mu\text{mol L}^{-1}$ and $0.10\text{-}45.00 \mu\text{mol L}^{-1}$, respectively; while detection limits of voltammetry technique was $0.10 \mu\text{mol L}^{-1}$ and for impedimetry it was $74.00 \text{ nmol L}^{-1}$, respectively. Finally, gemfibrozil determination in the pharmaceutical and biological samples was assessed at the surface of the proposed modified electrode.

An electrochemical sensor based on deposition of polymeric film by using electrochemical method on the surface of glassy carbon electrode was fabricated for determination of gemfibrozil using differential pulse voltammetry. For this purpose, Alizarin red S which is a dye was used in order to increase the dispersion ability of MWCNT in aqueous medium and this phenomenon took place by non-covalent interactions between the dye and MWCNT. The resulting composite was then electropolymerized at the surface of GCE by cyclic voltammetry method. Then the fabricated electrode was used for determination of gemfibrozil using differential pulse voltammetry technique and the linear concentration range and detection limit for the determination of this analyte at the surface of poly alizarin red S/MWCNT were $1.00\text{-}22.00 \mu\text{mol L}^{-1}$ and $0.24 \mu\text{mol L}^{-1}$, respectively. In addition, determination of the gemfibrozil was evaluated in real samples of human blood serum, water and capsules with differential pulse voltammetry.

Keywords: Multi-walled carbon nanotubes; Methylthiouuracil; Gold nanoparticles; 1,4 Michael addition; Impedimetry; Alizarin red S; polymeric film; Electrochemical sensors.



Shahrood University of Technology

Faculty of Chemistry

Ph.D. Dissertation in Analytical Chemistry

**Design and Application of Chemically Modified
Electrodes for Voltammetric Determination of Some Drug
Compounds**

By:

Atiye Ahmadi Reskety

Supervisors:

Dr. Mansour Arab Chamjangali

Dr. Nasser Goudarzi

Advisor:

Dr. Ghadamali Bagherian Dehaghi

May 2017